UUS ЦИБРОРЧИ АСТРОФИЗИКА

TOM 30

ФЕВРАЛЬ, 1989

ВЫПУСК 1

СВЯЗЬ МЕЖДУ ПЕРЕМЕННОСТЬЮ BL Lac В РАДИО И ОПТИЧЕС-	
КОМ ДИАПАЗОНАХ В. Н. Белов, В. А. Газен-Торн, С. Г. Марченко	7
ДЕТАЛЬНАЯ ПОВЕРХНОСТНАЯ ФОТОМЕТРИЯ ГАЛАКТИКИ С ПО- ЛЯРНЫМ КОЛЬЦОМ NGC 2685	
В. В. Макаров, В. П. Решетников, В. А. Яковлева 15	,
СОПОСТАВЛЕНИЕ НЕОТОЖДЕСТВЛЕННЫХ ЛИНИЙ ПОГЛОЩЕНИЯ В СПЕКТРАХ КВАЗАРОВ С НЕОТОЖДЕСТВЛЕННЫМИ ЛИНИЯ-МИ В СПЕКТРАХ ЗВЕЗД И. Е. Вальту 27	7
ИССЛЕДОВАНИЕ ДАЛЬНЕГО ИНФРАКРАСНОГО ИЗЛУЧЕНИЯ ГАЛАКТИК МАРКАРЯНА. І. СРАВНЕНИЕ ХАРАКТЕРИСТИК ГАЛАКТИК В ОПТИЧЕСКОМ И ИК-ДИАПАЗОНАХ О. И. Изотов. И. Ю. Изотова 34	4
формирование и ранняя эволюция галактик: ограниче-	
ния на свойства горячих протогалактик	
В. Г. Берман, А. А. Сучков 48	3
ЭВОЛЮЦИЯ СКОПЛЕНИЙ ГАЛАКТИК С. Г. Симаков, С. Ф. Шандарин 60	0
СТРУКТУРА СКОПЛЕНИЙ. ПРИМЕНЕНИЕ НОВЫХ МЕТОДОВ АНА-	
ЛИЗА	1
СПЕКТРОФОТОМЕТРИЯ НЕПРЕРЫВНОГО СПЕКТРА ПЛЕЙОНЫ В 1972—1986 гг)
СПЕКТРОФОТОМЕТРИЧЕСКОЕ ИССЛЕДОВАНИЕ Hg—Mn ЗВЕЗДЫ 2 Cnc. I. ВЫБОР ПАРАМЕТРОВ МОДЕЛИ АТМОСФЕРЫ И ОПРЕ- ДЕЛЕНИЕ СОДЕРЖАНИЯ ГЕЛИЯ	
B M ADDOUGE A B POURDER I A Vahuurder I II I onusticed U	1

(Продолжение на 4-й странице обложки)

EPEBAH

Խմբագրական կոլեգիա՝ Գ. Ս. Բիսնովատի-Կոգան, Վ. Գ. Գորբացկի (գլխ. խմբագրի տեղակալ), Վ. Պ. Գրինին, Վ. Վ. Իվանով, Լ. Ս. Լուոտ, Ն. Ս. Կարդաջև, Վ. Հ. Համբարձումյան, Ա. Գ. Մասևիչ, Լ. Վ. Միրզոյան (գլխ. խմբագիր), Գ. Ս. Սահակյան, Վ. Յու. Տերերիժ, Ա. Տ. Քալլօղլյան (պատ. քարտուղար).

Խմբագրական խորքուրդ՝ Ա. Ա. Բոյարչուկ, Ե. Կ. Խարաձե, Ի. Մ. Կոպիլով, Վ. Հ. Համրարձումյան, Լ. Վ. Միրզոյան, Վ. Վ. Սոբոլև (նախագահ).

Редандионна я ноллегия: В А. Амбарцумин, Г. С. Бисноватый-Коган, В. Г. Горбадкий (зам. главного редактора), В. П. Гринин, В. В. Иванов, А. Т. Каллоглян (ответ. секретарь), Н. С. Кардашев, Л. С. Лууд, А. Г. Масович, Л. В. Мирзоян (главный редактор), Г. С. Саакян, В. Ю. Теребим.

Роданционный совет: В. А. Амбарцумян, А. А. Боярчук, И. М. Копылов, Л. В. Мирвоян, В В. Соболев (председатель), Е. К. Харадзе.

«АСТРОФИЗИКА» — научный журнал, издаваемый Ажадемией наук Армянской ССР. Журнал печатает оригинальные статьи по физике звезд, физике туманностей и меманездной среды, по ввездной и внегалактической астрономии, а также статьи по областии науки, сопредельным с астрофизикой. Журнал предназначается для научных работников, аспарантов и студентов старших курсов.

Журнал выходит 6 раз в год, подписная плата за год 10 р. 80 к. Подписку можно вромваестя во всех отделениях Союзпечати, а за границей чорез агентство «Междуна-родная инига», Москва, 200.

«ԱՍՏՂԱՖԻԶՈԿԱ»—Ն գիտական ճանգես է, ուր նշատասակում է Հայկական ՍՍՀ Գիտությունների ակադեմիան։ Հանդեսը տպագրում է ինքնատիպ նոդվածներ աստղերի ֆիզիկայի, միգամածությունների ու միչաստղային միջավայրի ֆիզիկայի, աստղաբաչխության և աստագալակաիկական աստղագիտության, ինչպես նաև աստղաֆիզիկային սանմանակից ընագավառների գծով։ Հանդեսը նախատեսված է գիտական աշխատակիցների, ասպիշանաների և բարձր կուրաերի ուսանողների նամար։

Հանդիսը լույս է ահանում տարհկան 6 անգամ, րաժանորդագինը 10 ա. 80 կ. միկ տարվա Ֆամար։ Բաժանորդագրվիլ կարհլի է «Սոյուզպելատ»-ի րոյսը րաժանմունքներում, իսկ արտաատեմանում՝ «Մեժդունարոդնայա կնիգա» գործակալության միջոցով, Մոսկվա, 200.

Издательство АН Арм.ССР, Астрофизика, 1989.

АСТРОФИЗИКА

TOM 30

ФЕВРАЛЬ, 1989

выпуск 1

УДК: 524-56-77

СВЯЗЬ МЕЖДУ ПЕРЕМЕННОСТЬЮ BL Lac В РАДИО И ОПТИЧЕСКОМ ДИАПАЗОНАХ

В. Н. БЕЛОВ, В. А. ГАГЕН-ТОРН, С. Г. МАРЧЕНКО
Поступила 15 февраля 1988
Превята к печати 16 марта 1988

Проводится сопоставление изменений потоков в оптическом и радво диапазонах у ВL Lac по данным в полосе В и из 3.7 см за период 1968—1984 гг. Установлено присутствие корреляции между радно и оптической переменностью при запаздывании вариаций в раднодиапазоне на ≈ 480 дней. Это указывает на общность причин переменности и дает сведения о различиях в пространственной структуре оптического и радиоисточника. Сопоставление поляризационных данных в оптиже и радно указывает на наличие у ВL Lac крупномасштабного стабильного магнитного поля, охнатывающего области, излучающие и в оптике, и в радио.

1. Введение. Одним из характерных свойств лацертид является переменность их потока как в оптическом, так и в радио диапазонах. Изучение связи между этими изменениями может дать важную информацию об источнике, ответственном за переменность. Существование корреляции между изменениями потоков в разных диапазонах может свидетельствовать об общности причин, вызывающих эти изменения, а величина временной вадержки дает сведения о пространственной структуре источника.

В литературе вмеются указания на наличие корреляции между изменениями потока в радио и оптическом диапазонах у лацертид. Так, ОЈ 287 по данным за 1970—75 гг. отмечена такая корреляция при задержке вариаций радиопотока относительно оптического на 0.9 года [1], а у АО 0235+164 уверенно зарегистрированы две одновременные вспышки (в 1975 г. и в 1979 г.) большой амплитуды в радио п оптическом диапазонах [2].

Имеются некоторые указания на наличие подобных корреляций и у ВL Lac. Так, в работе Хекни и др. [3] по данным за период с апреля 1968 г. по декабрь 1971 г. было отмечено запаздывание радиовспышек на 2.8 см по отношению к оптическим (в полосе В) на 2—8 месяцев. В работе Помфри и др. [1], в которой проводилось сопоставление изменений потоков в радио и оптическом диапазонах для целого ряда активных внегалактических объектов, изучена и ВL Lac. Для нее по данным за 1968—76 гг.

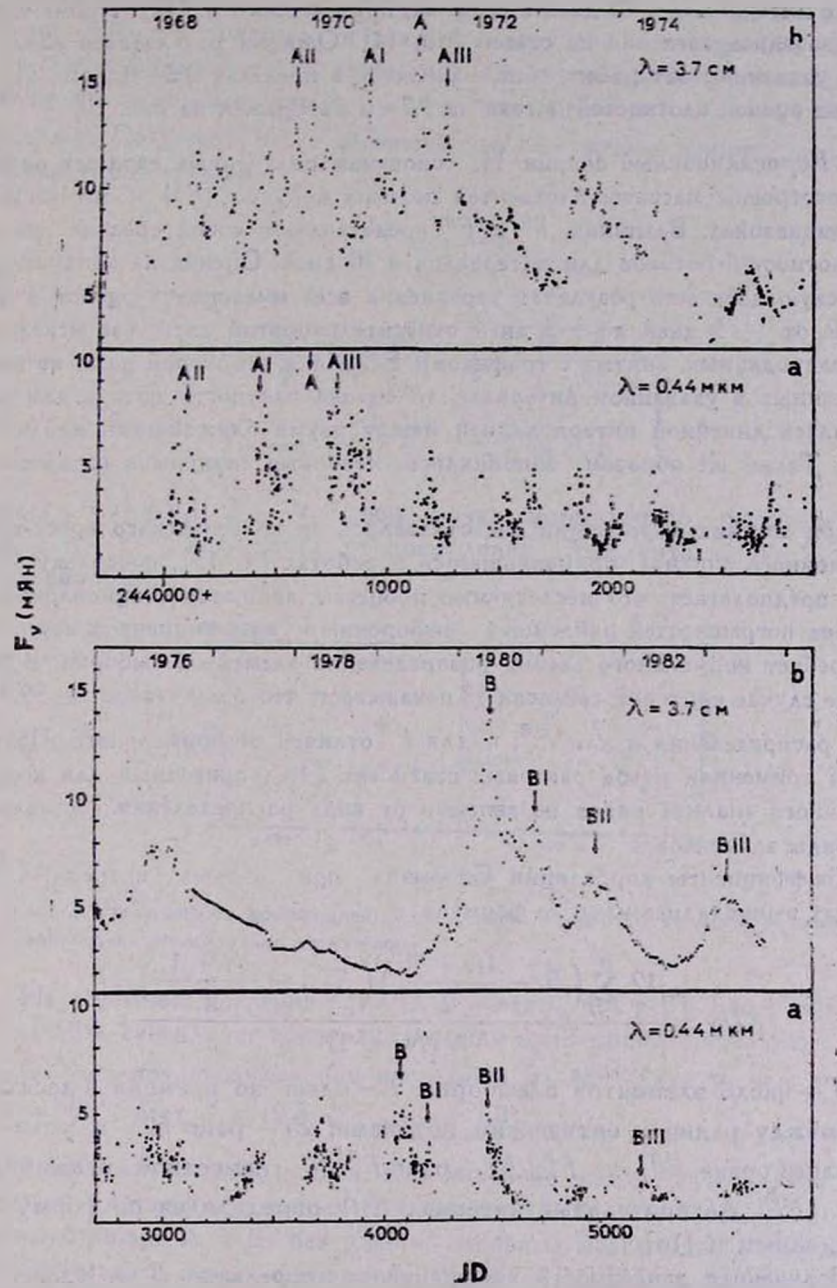
отмечено возможное существование корреляции между изменениями потоков в оптике и на 2.8 см с запаздыванием в радиодиапазоне примерно на 0.5 года.

В 80-х годах у ВL Lac была отмечена повышенная активность в радиодиапазоне. На сантиметровых волнах зарегистрирован целый ряд вспышек: наиболее сильная — в середине 1980 г., следующая — в начале 1981 г.,
третья — в конце 1982 г. и четвертая — в середине 1983 г. [4, 5]. Нами
в этот период велись фотометрические наблюдения ВL Lac в полосе В [6].
Таким образом, для ВL Lac в настоящее время имеется богатый наблюдательный материал для проведения поисков взаимной корреляции в изменениях потоков в радио и оптическом диапазонах. Этому вопросу и посвящена настоящая статья.

2. Построение сводных кривых блеска в радио и оптическом диапавонах. Основу исследуемого ряда наблюдений BL Lac в оптике составляют оценки блеска в полосе В, полученные в Астрономической обсерватоочи Ленинградского университета в рамках обширной программы фотометоического патрулирования компактных внегаликтических объектов. Этот ряд был дополнен данными других авторов. Большая часть их наблюдений также выполнена в полосе В, но нами использовались и опенки блеска в полосе V. Для этого на основании фотовлектрических оценок блеска BL Lac в полосах В и V была изучена связь между показателем цвета B—V и величиной V (соответствующий график приведен в нашей работе [7]). Эта овязь была представлена линейной зависимостью, по которой по величине V находился показатель цвета В—V, а затем величина В. Для фотоэлектрических наблюдений (которых немного по сравнению с фотографическими оценками блеска) проводилась коррекция результатов к двафратме дваметром 7", для чего были использованы результаты наблюдений BL Lac с разными диафрагмами из работы Кинмана [8]. Сводная кривая блеска BL Lac в полосе В, построенная нами по данным 1968—1982 гг. [9], была дополнена данными работы [6].

Величины В переводились в плотности потока в миллиянских с использованием абсолютной калибровки Джонсонг [10]. Полученный ряд оценок плотностей потока ВL Lac в полосе В за период с 1968 г. по 1984 г., насчитывающий 1089 точек, изображен графически на рис. 1а. Ошибки оценок плотностей потока в оптике не превышают 0.5 мЯн.

Данные для радиоднапазона представляют собой оценки плотностей потока в янских на 3.7 см. Результаты за 1968—76 гг. найдены по таблице, содержащейся в работе [11], в которой приведены плотности потоков на 2.8 см и 4.5 см. Данные на 3.7 см получены интерполяцией с учетом спектрального индекса, найденного в тех случаях, когда имеются одновременные наблюдения на 2.8 см и 4.5 см. За период с 1979 г. по 1984 г. данные



Р. 1. Изменение со временем плотности потока BL Lac: а) в оттическом диапавоне; b) в радиодимлазоне.

сняты с интервалом в 10 дней с графика, приведенного в [12]. Кроме того использовались сведения из статей [13, 14]. Ошибки результатов наблюдений, указанные авторами работ, находятся в пределах 0.2—0.5 Ян. Полный ряд оценок плотностей потока на 3.7 см изображен на рис. 1b.

3. Корреляционный анализ. На основании полученных сводных рядов были построены массивы плотностей потоков в радио $\{F^R\}$ и оптическом $\{F^B\}$ диапазонах. Величины F^R и F^B представляют собой средние значения плотностей потоков для интервалов в 10 дней. Оценка на конкретную юлианскую дату есть результат усреднения всех имеющихся оценок в интервале от — 5 дней до + 5 дней относительно этой даты (за исключением радиоданных, снятых с графиков). Если для некоторой даты не имелось данных в указанном интервале, то оценка плотности потока для нее получалась линейной интерполяцией между двумя ближайшими наблюдениями. Таким же образом заполнялись сезонные лакуны в оптическом ряду.

При поисках корреляции мы отказались от классического кросс-корреляционного анализа, применявшегося в работах [1, 15], поскольку этот метод предполагает, что исследуемые процессы являются стационарными, а оценка погрешностей найденных выборочных коэффициентов корреляции требует нормального закона распределения элементов выборки. В нашем же случае критерий согласия χ^2 показывает, что с вероятностью 99.9% закон распределения и для F^R , и для F^B отличен от нормального. Поэтому мы применили метод ранговых статистих [16], пригодный для корреляционного анализа рядов независимо от вида распределения составляющих ряды влементов.

Коэффициенты корреляции Спирмэна при разных временных задержках вычислялись нами по формуле

$$S(t) = \frac{12\sum_{i=1}^{N} \left(B_i - \frac{N+1}{2}\right) \left(R_{t+i} - \frac{N+1}{2}\right)}{N(N^2 - 1)},$$
 (1)

тде N — число элементов в выборке; t — сдвиг по времени в десятках дней между радио и оптическим потоками; B_i — ранг F_i^B в совместной ранжировке F_1^B , ... F_N^B ; R_i — ранг F_i^R в совместной ранжировке F_1^R , ... F_N^R . Доверительный интервал S(t) определялся по формулам, приведенным в [16].

Полученная зависимость коэффициента корреляции S от сдвига по времени между радио и оптическими потоками представлена на рис. 2. Вертикальной чертой отмечена величиьа доверительного интервала для S при уровне значимости $\alpha=0.01$. Максимальное значение S (0.63 \pm

± 0.12) достигается при времени запаздывания радиопотока на 480°. Можно оценить, является ли указанное значение коэффициента корреляции достаточным для того, чтобы принять гипотезу о существовании корреляции между изменениями радио и оптического потокоз при найденной задержке. Согласно [16], с вероятностью 1—2 можно принять рассматриваемую гипотезу, если

$$J > j_{(2, N-2)}, \tag{2}$$

где

$$J = \frac{S}{2} \left(\sqrt{N-1} + \sqrt{\frac{N-2}{1-S^2}} \right)$$

$$J_{(\alpha, N-2)} = \frac{1}{2} Z_{\alpha_1} + \frac{1}{2} T_{(\alpha_2, N-2)}$$
(3)

эдесь $\alpha=\alpha_1+\alpha_2$; $Z_{\alpha_1}-\alpha_1^{-0}/_0$ -ная точка нормального распределения; $T_{(\alpha_1,\ N-2)}-\alpha_2^{-0}/_0$ -ная точка распределения Стьюдента с N-2 степенями свободы.

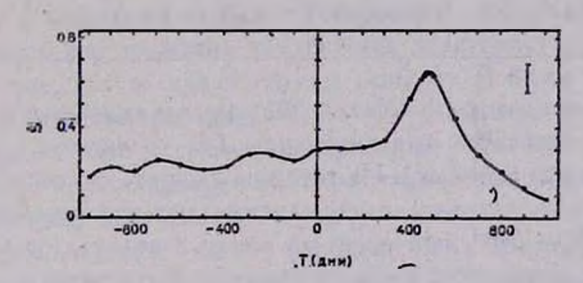


Рис. 2. Зависимость коэффициента корреляции Спирызна от времени запаздываняя радиопотока относительно оптического.

На основании критерия (2) можно считать, что у BL Lac с вероятностью 99.8% существует корреляция между изменениями оптического и радио потоков при запаздывании последнего на 480^d (для $\alpha_1 = \alpha_2 = 0.001$ и N = 500 будет J = 12.8, $J_{(a, N-2)} = 3.3$).

4. Обсуждение результатов. Как видно из рассмотрения рис. 1, и в радио, и в оптических данных выделяются две группы вспышек. Они отмечены буквами A и B: без цифр — основные максимумы, с цифрами — максимумы до и после основного (будем называть их боковыми). Обе группы вспышек имеют одинаковую продолжительность в оптическом и радио диапавонах: $A \sim 4$ лет, $B \sim 2.5$ лет. Максимальная плотность потока, зафиксированная на длине волны 3.7 см во время вспышки A

(14.8 Ян), является самой большой за весь исследуемый период. Основной максимум в оптике (если считать, что запаздывание радиопотока равняется 480^d) должен приходиться на период, когда оптические наблюдения отсутствуют, но ближайшее к этому моменту зарегистрированное значение плотности потока (9.5 мЯн) также является максимальным в полосе В за 1968—84 гг.

Таблица 1 ХАРАКТЕРИСТИКИ ВСПЫШЕК В ОПТИЧЕСКОМ И РАДИО ДИАПАЗОНАХ

	Момент. J. D. 2440000+		C -=	Ампантуда		
Вспышка	Оптика	Радио	Сдвиг, дни	Оптика	Радио	
AI	42	575	533	0.86	0.81	
A II	411	907	485	0.86	0.53	
Α -	592	1128	536	1.0	1.0	
A III	774	1253	479	0.88	0.90	
В	4070	4470	490	1.0	1.0	
BI	4200	4670	470	0.56	0.65	
BII	4460	4900	440	0.77	0.50	
B III	5130	5530	400	0.27	0.39	

В таба. 1 приведены моменты наблюдаемых основных и боковых максимумов и их относительные ампантуды (по сравниямо с максимальной для данной группы вспышек). Из таблицы следует, что моменты наблюдаемых максимумов в радиодиапазоне вапаздывают относительно максиму мов в оптиже на 400^d-540^d , причем имеет место довольно хорошее сходство в относительных ампантудах вспышеж, что свидетельствует в пользу общности причины их появления.

Такая картина может наблюдаться, если первоначально событие проявьяется в области, ответственной за оптическое излучение. Оценка размеров этой области, полученная по скорости переменности, составляет $R \lesssim 10^{14} \div 10^{15}$ см [17]. Выброшенные релятивистские электроны достигают области, ответственной за радиоизлучение, за время, равное задержие изменений потока в радиодиапазоне по отношению к оптическому. При красном смещении z=0.07 [18]. время запаздывания в системе источника будет 450^d . Считая, что скорость электронов $v\sim (0.5 \div 0.8)$ с, получим оценку расстояния между оптическим и радиоисточником $d\simeq 0.2$ пк.

В работе Филлинса и Мьютела [19] приведены карты распределения радиояркости ВL Lac, полученные при наблюдениях со сверхдлинной базой на $\lambda = 2.8$ см в две эпохи: 1980.93 (декабрь 1980 г.) и 1981.44 (июнь 1981 г.). На обеих картах источник имеет вытянутую структуру и состоит из двух компонентов (эбозначенных авторами «А» и «В»). Из сопоставления этих карт авторы статьи делают вывод о существовании быстрого расширения источника с видимой скоростью, превышающей 5 с (при $H_0 = 55$ км/с/Мпк и $q_0 = 0.05$), причем есть основания предподагать, что компонент «В» удаляется от стационарного компонента «А» («В» «выброшен» из «А»). Если считать, что скорость компонента «В» постоянна, то момент его «выброса» приходится приблизительно на JD 2444300, что совпадает с началом группы вспышек В на $\lambda = 3.7$ см (рис. 1b).

Итак, общий сценарий события можно представить себе следующим образом. В результате взрыва на центральном объекте, природу которого мы не конкретизируем, происходит выброс релятивистских влектронов, которые менее, чем за день (а возможно и сразу же) достигают области, дающей оптическое излучение (согласно [20] это излучение синхротронное). Радиоизлучающая область отстоит от излучающей в оптике на расстоянии $\simeq 0.2$ пк. По достижении электронами этой области (через \approx 450 дней) начинается вспышка в радиодиапазоне. В этот момент в радиоструктуре появляется компонент, который в дальнейшем фиксируется при наблюдениях со сверхдлинной базой (компонент «В»). Кажущаяся сверхсветовая скорость его движения объясняется релятивистскими эффектами.

Отметим еще, что во время группы вспышек В были выполнены наблюдения линейной поляризации BL Lac на сантиметровых длинах волн [5] и установлено, что степень поляризации у BL Lac увеличилась до 10%, а направление поляризации менялось очень мало. Коррекция направлений поляризации, полученных на разных длинах волн, на оптическую область с использованием меры фарадеевского вращения в Галактике RM = -198 рад/м², найденной для BL Lac в [21], дает направления в интервале $20^{\circ} \div 30^{\circ}$. Ранее нами было установлено [17], что в оптическом диапазоне у BL Lac существует преимущественное направление поляризации $\theta_0 \approx 20^{\circ}$. Можно считать, таким образом, что у BL Lac имеется крупномасштабное стабильное магнитное поле, охватывающее области как оптического, так и радиоизлучения.

5. Заключение. Основные результаты этой работы можно резюмировать следующим образом. У ВL Lac присутствует корреляция между радио и оптической переменностью при запаздывании вариаций в радиодиапавоне на ≈ 480 дней. Это указывает на сбщность причин переменности и дает сведения о различиях в пространственной структуре оптического и радио-источника. Сопоставление шоляризационных данных в сптике и в радио указывает на наличие у ВL Lac крупномасштабного стабильного магнитного поля, охватывающего области, излучающие и в оптике, и в радио. Усиление активности в радиодиапазоне сопровождается появлением в ра-

диоструктуре компонента, фиксируемого впоследствия по данным интерферометрии со сверхдлинной базой.

Ленинградский государственный

университет

CORRELATION BETWEEN RADIO AND OPTICAL FLUX VARIATIONS OF BL LAC

V. N. BELOV, V. A. HAGEN-THORN, S. G. MARCHENKO

Comparison is carried out of BL Lac flux variations (1968–1984) in optical (B) and radio (3.7 cm) wavelengths. The correlation is found with time delay of \approx 480 days for radio fluxes. This is an evidence of common origin of variability. It gives some information on differences in space structure of optical and radio sources. Optical and radio polarization data on BL Lac indicate that both optical and radio sources are embedded in stable large-scale magnetic field.

ЛИТЕРАТУРА

1. R. B. Pomphry, A. G. Smith, R. J. Leacock, C. N. Olsson, R. L. Scott, J. T. Pollock, P. Edwards, Astron. J., 81, 489, 1976.

2. T. J. Balonek, W. A. Dent, Astrophys. J., 240, L3, 1980.

- 3. R. L. Hackney, K. R. Hackney, A. G. Smith, G. H. Folsom, R. J. Leacock, R. L. Scott, E. E. Epstein, Astrophys. Lett., 12, 147, 1972.
- 4. H. D. Aller, P. E. Hodge, M. E. Aller, Astrophys. J., 274, L19, 1983.

5. H. D. Aller, M. E. Aller. P. A. Hughes, Astrophys. J., 298, 296, 1985.

- 6. В. А. Газен-Торн, Н. С. Денисенко, Т. М. Максимова, С. Г. Марченко, О. Б. Миколайчук, Тр. АО ЛГУ, 41, 96, 1987.
- 7. В. А. Газен-Торн, С. Г. Марченко, В. А. Яковлева, Аспров. ж., 61, 925, 1984.
- 8. T. D. Kinman, Astrophys. J., 197, L49, 1975.
- 9. В. А. Газен-Торн, Диссертация, ЛГУ, 1986.
- 10. H. L. Johnson, Com. LPL, 3, 79, 1965.
- 11. B. H. Andrew, J. M. MacLeod, G. A. Harvey, W. J. Medd, Astron. J., 83, 863, 1978.
- 12. E. B. Waltman, B. J. Geldzahler.K. J. Johnston, J. H. Spencer, P. E. Angerhofer, D. R. Florkowski, F. J. Josties, D. D. McCarthy, D. N. Matsakis, Astron. J., 91, 231, 1986.

13. H. D. Aller, M. E. Aller, P. E. Hodge, Astron. J., 86, 325, 1981.

- K. J. Johnston, B. J. Geldzahler, J. H. Spencer, E. B. Waltman, W. J. Klepczgnski, F. J. Josties, P. E. Angerhofer, D. R. Florkowski, D. D. McCarthy, D. N. Matsakis, Astrophys. J., 277, L30, 1984.
- 15. М. К. Бабаджаняну, Е. Т. Белоконь, В. А. Горохов, Астрофиянка, 22, 247, 1985.
- 16. М. Холлендер, Д. А. Вульф, Непараметрические методы статистики, Финансы и статистика, М., 1983.
- 17. В. А. Газен-Торн, С. Г. Марченко, В. А. Яковлева, Астрофизика, 22, 5, 1985.
- 18. T. X. Thuan, J. B. Oke, J. E. Gunn, Astrophys. J., 201, 45, 1975.
- R. B. Phillips, R. L. Mutel, Astrophys. J., 257, L19, 1982.
 B. A. Гаген-Торн, С. Г. Марченко, В. А. Яковлева, Астрофизика, 25, 485, 1986.
- 21. L. Rudnick, T. W. Jones, B. K. Edgar, J. A. Pedetly, Astron. J., 89, 316, 1984.

АСТРОФИЗИКА

TOM 30

ФЕВРАЛЬ, 1989

выпуск 1

УДК: 524.7—862:520.82

ДЕТАЛЬНАЯ ПОВЕРХНОСТНАЯ ФОТОМЕТРИЯ ГАЛАКТИКИ С ПОЛЯРНЫМ КОЛЬЦОМ NGC 2685

В. В. МАКАРОВ, В. П. РЕШЕТНИКОВ, В. А. ЯКОВЛЕВА Поступила 27 июля 1988
Принята к печати 20 августа 1988

Приведены результаты детальной поверхностной UBV-фотометрии пекулярной галактики NGC 2685. Определены стандартные фотометрические пираметры: интегральные величины и показателя цвета главного тела галактики, системы полярных колец, внешней оболочки, найдены параметры приближения главного тела двухкомпонентной моделью (балдж + экопоненциальный лиск). Показано, что цвета системы полярных колец (U—B = -0.05, B—V = +0.5) бливии к цветам Sb-Sc-галактик, что, возможно, свидетельствует о ее возникновении в результате взаимодействия спиральной и S0-галактик. Внешняя оболочка состоит из двух подсистем, вероятно, различного происхождения.

1. Введение. Пекулярная галактика NGC 2685 принадлежит к недавно выделениому классу объектов, получивших в литературе название «галактики с полярными кольцами» [1]. Спектральные и фотометрические наблюдения галактик втого класса (например, [1, 2]) показывают, что обычно вто видимая почти с ребра галактика типа SO, вокруг которой в плоскости, близкой к полярной, вращается кольцо или диск, состоящий из газа, пыли и звезд. Сложность наблюдений галактик с полярными кольцами обусловлена тем, что они, как правило, имеют небольшие угловые размеры и низкую поверхностную яркость. В втом отношении NGC 2685 является исключением: она расположена ближе всех галактик из списка [1] и поэтому может быть более детально изучена.

Как известно [3, 4], в структуре NGC 2685 выделяются три компонента: 1) вытянутое веретенообразное главное тело равмером ~ 25"×120", 2) система колец или волокон, расположенных примерно перпендикулярно большой оси галактики и проявляющихся в виде темных полос в северовосточной части главного тела, а вне его переходящих в светлые кольца, и 3) внешняя слабосветящаяся оболочка, которая обнаруживается лишь на глубоких снимках. Большинство имеющихся спектральных [5—7], фотометрических [4] и поляривационных [8, 9] наблюдательных данных от-

носятся к главному телу. В радиодиапазоне ($\lambda=21~{\rm cm}$) NGC 2685 была исследована Шейном [10], обнаружившим две кинематические системы нейтрального водорода, одна из которых овязана с системой полярных колец, а вторая — с протяженной внешней оболочкой. Оптические данные о системе колец и слабой внешней оболочке очень скудны. Целью данной работы является исследование внешней малоконтрастной оболочки и восполнение недостающих оведений о распределении поверхностной яркости и показателей цвета в кольцах.

2. Наблюдательный материал и его обработка. В настоящей работе использован тот же наблюдательный материал, что и в [4] (9 UBV-фотопластинок, по три в каждом цвете, полученных в прямом фокусе 2.6-метрового телескопа БАО АН Арм.ССР). Обработка фотопластинок была произведена заново. Измерение и запись на магнитную ленту были осупрествлены на автоматическом микроденситометре АМД-1 в САО АН СССР. Размер измерительной диафрагмы составлял 30×30 мкм .0."65×
×0."65), шаг записи по оканам и отсчетам — 30 мкм, размер записанного участка — 512×512.

Дальнейшая обработка была выполнена в ВЦ ЛГУ на ЕС-1033 с помощью комплекса программ цифровой обработки изображений протяженных объектов [11]. Она шключала стандартные процедуры: переход от плотностей почернения к относительным яркостям, учет фона неба, сложение нескольких изображений, стандартизацию, определение показателей цвета. Для повышения точности поверхностной фотометрии и выявления слабой малоконтрастной внешней оболочки была произведена оглаживающая линейная фильтрация каждого изображения (частота среза фильтра $\omega_c = 4.4$ цикла/мм) и полиномиальная аппроксимация фона неба. Константы стандартизации определялись привязкой к фотоэлектрическим измерениям яркости фона неба, полученным одновременно со снимками галактики [4]. Точность определения констант стандартизации в полосах B и $V \sim 0^m 1 - 0^m 2$, в полосе U — несколько хуже. Константы стандартивации показателей цвета найдены с точностью $\sim 0^m 1$, так как при их определении меньше сказываются систематические ошибки.

Результаты нашей фотометрической обработки для главного тела хорошо согласуются с полученными ранее в работе [4]. Хорошо согласуются они также и с фотовлектрическими измерениями Дресслера и Сендиджа [12] (см. далее рис. 6).

3. Результаты. Изофоты NGC 2685 в цветовых полосах U, B и V представлены на рис. 1—3. Распределение показателя цвета B—V дается на рис. 4.

3.1. Главное тело. Фотометрическое исследование главного тела NGC 2685 было выполнено в работе [4], здесь же мы остановимся на ранее не обсужденных его особенностях.

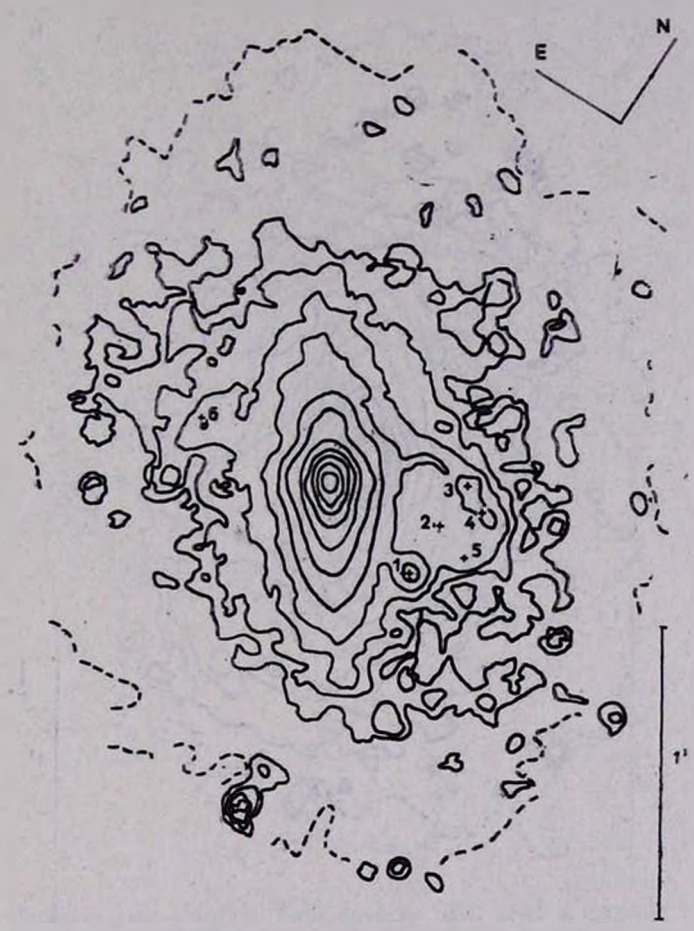


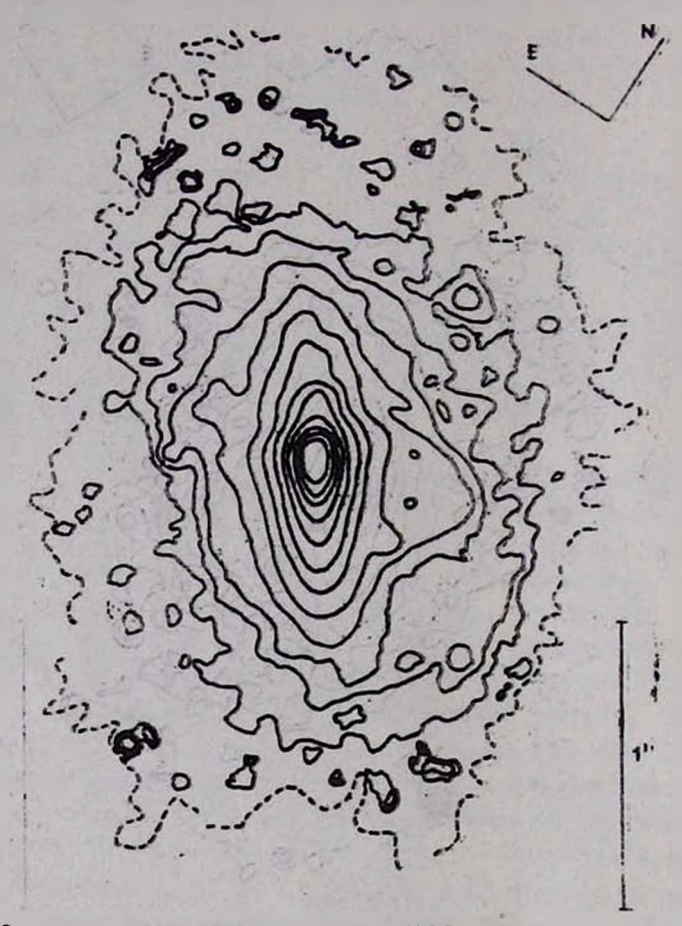
Рис. 1. Распределение поверхностной яркости NGC 2685 в цветовой полосе U. Ярчайшая непрерывная изофота соответствует поверхностной яркости 19.0, крайняя—24.5, пунктир — 25.5. Шаг изофот — 0.5.

Поглощение света в темных полосах NE-части главного тела проявилось на наших картах в искривлении изофот и в увеличении градиента яркости, особенно заметного в цвете U. Сами полосы не выделились, так так после линейного сглаживания всех обрабатываемых изображений минимальный размер сохранившихся деталей ~ 5 ".

О форме изофот главного тела талактики можно судить лю ее не искаженной поглощением SW-люловине. В цвете B и особенно в V форма изо-



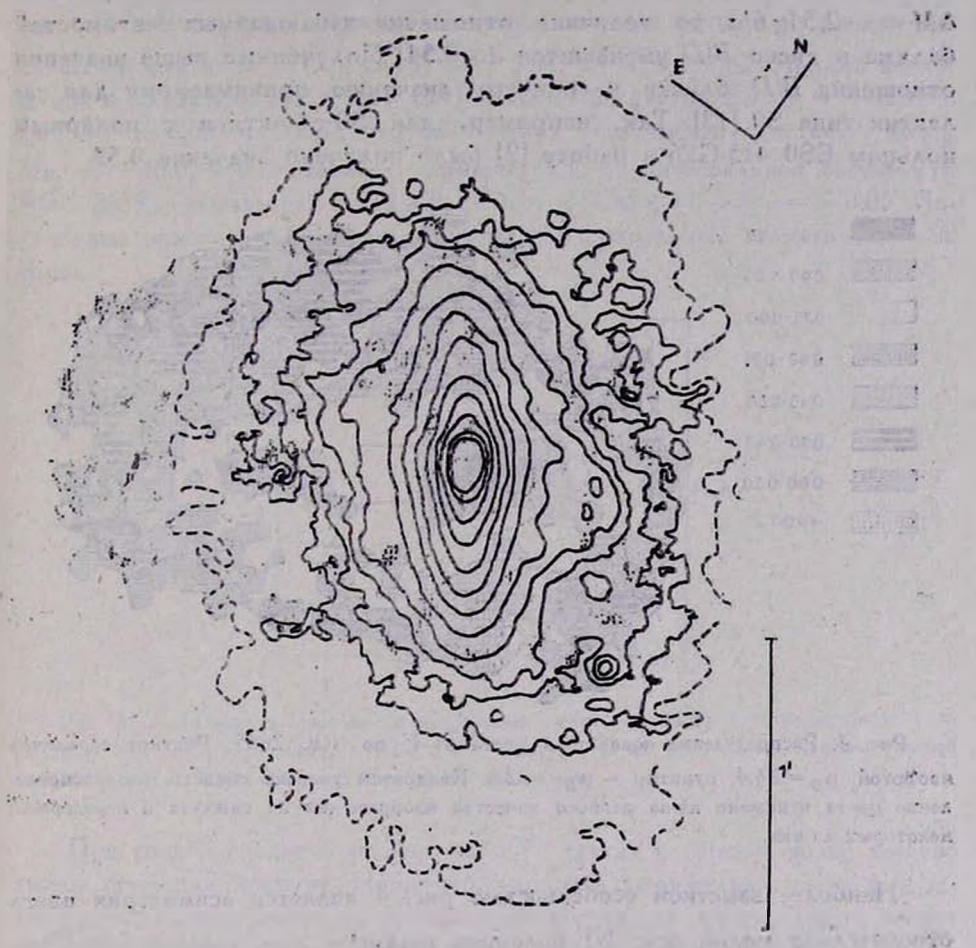
фот бливка к валиптической. Рис. 5 изаюстрирует изменение орнентации валипсов в картинной плоскости и их сжатия с изменением расстояния от центра. Повиционный угол большой оси р (штриховая линия) меняется.



Рыс. 2. Распределение поверхностной ярхости NGC 2685 в цветовой полосе В. Центральная непрерывная изофота — 19.0, крайняя — 24.5, пунктир — 25.5. Шаг насфот — 0.5.

мало — с удалением от центра он монотонно воврастает от 34° при r = 10'' до 40° на расстоянии 60". Сплошной линией на рисунке представлено воведение отношения размеров малой и большой полуосей. Внешний гид изофот, фотометрические раврезы вдоль большой и малой оси [4], высовая скорость вращения ввездной составляющей и низкая дисперсия скоростей [7] — вся эта совокупность данных свидетельствует о линзовидности галактики. Еще одним подтверждением этого служит ход зависимость.

отношения b/a от r на рис. 5. Зависимости такого вида характерны для двухкомпонентных систем типа S0, содержащих балдж и диск.



Рыс. 3. Распределение поверхностной яркости NGC 2685 в фильтре V. Центральная непрерывнея изофота — 18.5, крайняя — 24.0, пунктир — 25.5, шаг — 0.5.

Приняв стандартные распределения поверхностной яркости для балджа ($\sim r^{1/4}$) [и диска ($\sim e^{-ar}$) мы представили фотометрический разров вдоль большой оси галактики в цвете B суммой этих компонентов (рис. 6). Параметры балджа и диска, найденные методом наименьших квадратов, приведены в табл. 1.

Наблюдаемые абсолютные ввездные величины балджа и диска в полосе В при R=17 Млж [10] составляют — 18.52 и — 18.60 соответственню. Абсолютная звездная величина главного тела NGC 2685 оказывается равной — 19.3.

Отношение наблюдаемой светимости балджа к светимости диока составляет в фильтре B 0.93. Если ввести поправку за наклон по фермуле $\Delta M = -2.5 \lg b/\alpha$, то величина отношения наблюдаемых светимостей балджа и диска B/D уменьшится до 0.54. Полученные выше значения отношения B/D близки к среднему значению, принимаемому для галактик типа S0 [13]. Так, например, для S0-галактики с полярным кольцом ES0 415-G26 в работе [2] было получено значение 0.52.

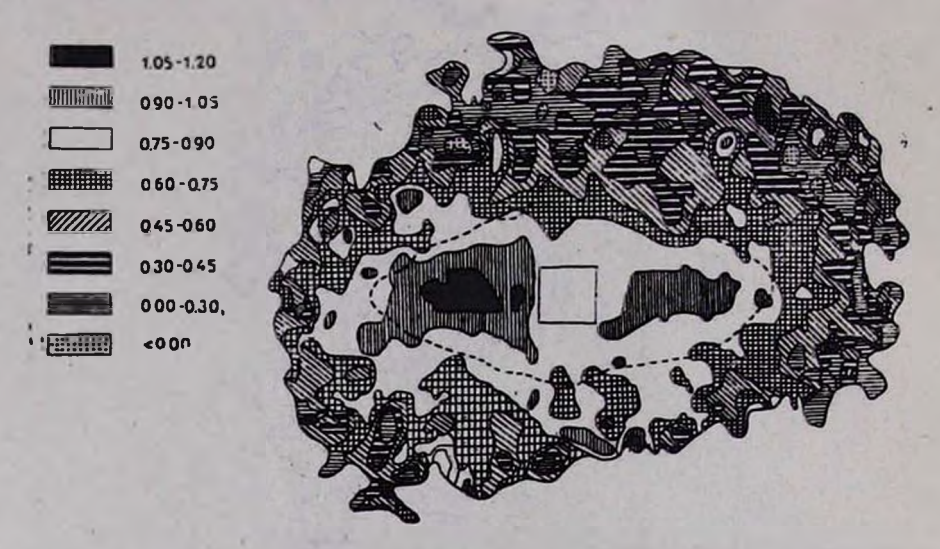


Рис. 4. Распределение показателя цвета B—V по NGC 2685. Рисунок ограничен изофотой $\mu_B=24.4$, пунктир — $\mu_B=22.8$. Квадратом указана область, где распределение цвета искажено вз-за развого качества изображения на снимках и передержки некоторых из них.

Наиболее ваметной особенностью рис. 4 является асимметрия цвета относительно малой оси: NE-половина главного тела краснее ($B-V\approx$ $\approx+1.05$), чем SW-половина ($B-V\approx+0.95$), что объясняется селективным поглощением света пылью в области темных полос. Отметим, что наиболее красные части главного тела разделены в центре относительно более голубой полосой ($B-V\approx+0.8$), примерно совпадающей по нацравлению с малой осью. Цвет B-V SW-части главного тела довольно постоянен и изменяется от $+1^m0$ до $+0^m8$ при изменении рестояния от ядра вдоль большой оси от 10^m до 50^m .

3.2. Полярные кольца. Структура системы колец хорошо видна в цветах U и B. Размер большой оси самого яркого светящегося кольца в пределах изофоты $\mu_B=23.0$ составляет около 80°, позиционный угол $p\approx$

 $\approx 100^{\circ}$. При определении интегральных характеристик кольца учитывались все детали, выступающие над главным телом галактики до изофоты $\mu_U = 23.0$. Получены следующие значения видимой яркости и средних показателей цвета: B = 15.3, $\overline{B-V} = +0.54$, $\overline{U-B} = -0.02$. Приняв поглощение в Галактике $A_B = 0.15$ [14] и избытки цветов $E_{B-V} = +0.04$ и $E_{U-B} = +0.03$, находим, что абсолютная светимость системы колец $M_{B_0} = -16.0$, что составляет примерно 3% от интегральной светимости NGC 2685, а показатели цвета (B-V)0 = +0.50 и (U-B)0 = -0.05. Полученные показатели цвета характерны для спиральных галактик Sb—Sc типов.

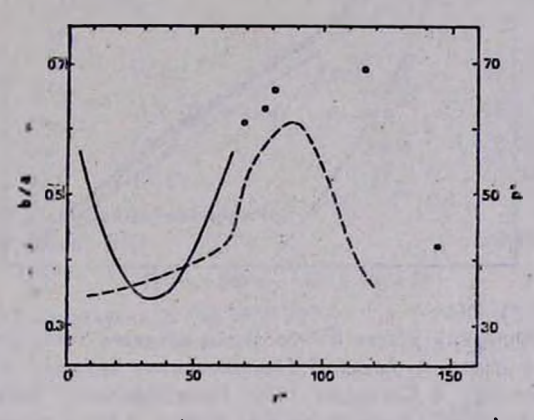


Рис. 5. Зависимость сжития (вепрерывная линия, пружки) и повиционного угла: большой оси (пунктир) изофот NGC 2685 в полосе В от расстояния вдоль большой оси. Ивмерения выполнены по SW-половине галактики.

При тонкой градации изофот на *UBV*-картах в системе колец хорошо видны стущения яркости. Например, наиболее выраженная часть (западная) кольца имеет довольно резкий край, состоящий из отдельных стущений. Фотометрические характеристики наиболее ярких стущений приведены в табл. 2, где в последнем столбце указана изофота, до которой производилось суммирование для данной конденсации. Номера сгущений приведены в соответствии с рис. 1. Звездочкой в таблице отмечен двойной сгусток.

Следует отметить, что приведенные в табл. 2 значения светимостей являются лишь нижней оценкой истинной светимости втих образований, так как нам не известна величина потлощения в самих кольцах. Существование же пыли в системе колец подтверждается, во-первых, обнаружением поляризации [8] с направлением, перпендикулярным к направлению колец и, во-вторых, наличием темных полос в NE-части главного тела, являющихся продолжением светлых волокон. Цвета и абсолютные величи-

ны сгущений яркости (их средние величины — B=V=+0.45, U=B==-0.3 и $M_{B_1}=-12.6$) типичны для гигантских областей Н II в ветвях спиральных галактик.

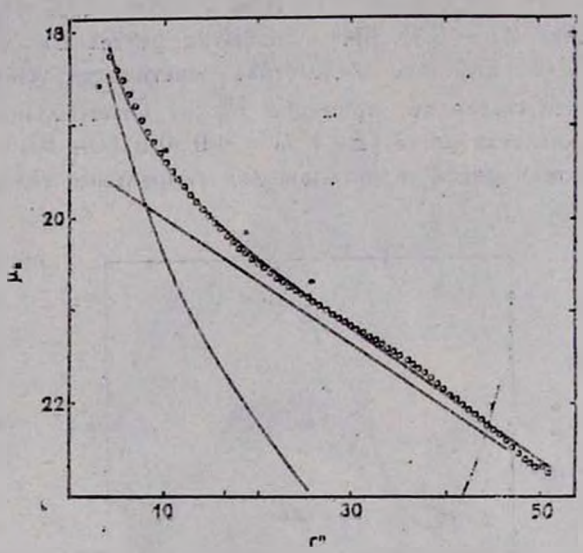


Рис. 6. Фотомотряческий разрез SW-половины главного тела галахтики NGC 2685 вдоль большой оси в цветовой полосе В (незаполненные кружки — измерения Дресслера и Сендиджа [12]. Непрерывными линиями изображены распределения яркости в бладже и дноке (см. раздел 3.1), а также результирующее приближение наблюдаемого профиля яркости.

- 3.3. Слабосветящаяся оболочка. Изофота 25.5 лишь приблизительно очерчивает внешнюю оболочку (см. рис. 1—3). Четкой границы у нее нет и, по-видимому, в северном направлении она простирается за обработанную нами область фотоснимков. Если называть внешней оболочкой всю протяженную слабосветящуюся область, поверхностная яркость которой в полосе В не превышает 23.5, то, по нашему мнению, ее следует разделить на две подсистемы.
- 1) Внутренняя относительно яркая оболочка (23.6 $\leq \mu_B <$ 24.4), развернутая на 20° относительно главного тела (обозначена (А) в табл. 1). Ей соответствует максимальное значение позиционного угла большой оси при r = 90'' на рис. 5. Размер большой оси в пределах изофоты 24.4 около 155''. Видимая звездная величина и средняя поверхностная яркость этой подсистемы в фильтре В равны соответственно 14.65 и 24.0, а $M_{B_0} = -16.65$. По-видимому, эта оболочка имеет сравнительно резкий край и состоит из отдельных голубых волокон и аморфных уярчений, хорошо видимых на картах B и U. В цвете V оболочка кажется более однородной.

ФОТОМЕТРИЧЕСКИЕ ХАРАКТЕРИСТИКИ NGC 2685

Гадактика в цело	M:
Расстояние, R (Мпя) [10]	17
Поглощение в Галактике, A_B [14]	0.15
Абсолютная зв. велячина, М	-19.6
$(B-V)_{\tau}$ [16]	. +0.85

SO-ROMHOHORT:

Размер (
$$\mu_B = 23.5$$
)
 $\sim 30^o \times 120^o$
 $(B - V)_0$
 $+0.95$
 $(U - B)_0$
 $+0.3$
 M_{B_0}
 -19.45

$$B_{RAAM}$$
 μ^B 19.32 A_{MCR} μ^B 19.43
 a 5"9 (0.49 RUR) a^{-1} 16"1 (1.32 RUR)
 b/a 0.6: b/a 0.35
 M_{B_0} -18.67 M_{B_0} -18.75

Отношение наблюдаемых светимостей $6 a \lambda \mu a$ и диска, B/D

0.93

Полярные кольца:

Большая полуось,
$$\alpha$$
 ($\mu_B=23.0$) 40" (3.3 ких) ($B-V$) $_0$ +0.50 ($U-B$) $_0$ —0.05 —16.0

Внешняя оболочка:

(A)
$$23.6 < \mu_B < 24.4$$
 (B) $24.4 < \mu_B < 25.5$ $\alpha \ (\mu_B = 24.4)$ $80'' \ (6.6 \ \text{enr})$ $\alpha \ (\mu_B = 25.5)$ $2'.5 \ (12.4 \ \text{edr})$ $\overline{\mu}_B$ 24.0 $\overline{\mu}_B$ 24.8 M_{B_0} -16.65 $(B-V)_0$ $+0.45$ M_{B_0} -16.5

Таблица 2

No.	В	B_0	$(B-V)_0$	$(U-B)_0$	M_{B_0}	μB
1	17.63	17.5	+0.4	-0.4	-13.7	22.5
2	18.72	18.6	+0.4	-0.1	-12.6	22.6
3	18.52	18.4	+0.4	-0.1	-12.8	22.6
4*	18.48	18.3	+0.5	-0.4	-12.9	22.7
5	19.34	19.2	+0.4	-0.3	-12.0	22.7
6	19.58	19.4	+0.5	-0.4	-11.8	22.9

YADAKTEDUCTUKU KOHJEHCALIUM R NGC 2685

Покаватели цвета внутренней оболочки ближки к средним покавателям цвета полярного кольца, но имеется и ряд более голубых аморфных уярчений. Наряду с втим в западной части оболочки наблюдаются детали с покавателем цвета U-B более красным, чем $+0.^m4$. Эти области частично вахватывают SW-край галактики. На прямых снимках NGC 2685 (см., например, [15]) в этом районе заметно падение яркости и, возможно, эдесь тоже проходит пылевая полоса.

Приняв во внимание разворот внутренней оболочки относительно главного тела, наличие пыли и совпадение показателей цвета со средними значениями для полярных колец, мы пришли к ваключению, что эта подсистема скорее связана с полярными кольцами, чем с внешней эллиптической оболочкой.

2) Наружная более слабая оболочка, ограниченная изофотами 24.4 $<\mu_B < 25.5$ (обозначена (В) в табл. 1). Возможно, оболочка простирается и дальше, но ее край очень размыт и при определении видимой звездной величины и других ее характеристик суммирование производилось до изофоты $\mu_B = 25.5$. Средняя поверхностная яркость этой оболочки 24.8, а ее абсолютная светимость $M_{B_0} = -16.5$. Размер большой оси оболочки около 5′, а направление вытянутости примерно совпадает с направлением большой оси главното тела (черный кружок на рис. 5, соответствующий r = 145″). Отметим, что в цвете U сжатие оболочки меньше, чем в B и V. На снимках в B на северо-восток и, вероятно, на юго-запад от примерно вллиптической оболочки тянутся слабые хвосты. Слабое волокно, тянущееся на северо-восток, совпадает с вытянутостью на радиокарте в линии 21 см [10].

Характерный цвет B—V наружной оболочки ± 0.45 , но дисперсия вначений велика. Показатель цвета U—B изменяется в широких пределах от ± 0.6 до ± 0.2 , более красные участки редки. Частично большой разброс значений объясняется плохой точностью фотометрии для столь низжих значений поверхностной яркости, однако можно утверждать, что средние значения показателей цвета внешней оболочки близки к цветам, полученным для спущений яркости в системе колец.

На жарте в полосе B (рис. 2) обращает на себя внимание цепочка конденсаций, имеющих неправильную, часто вытянутую форму. В NE-части оболочки большая часть втих сгущений ложится на дугу вллипса. Для двух средних по яркости стущений были найдены интегральные характеристики: их абсолютные светимости в B оказались равными —10.5—10.8, а показатель цвета $B-V \approx +0.2$. По втим характеристикам сгущения яркости близки к ассоциациям молодых эвезд в БМО.

Полученные в настоящей работе фотометрические характеристики NGC 2685 и ее подструктур суммированы в таба. 1.

4. Обсуждение. Из восьми галактик с полярными кольцами, приведенных в [1], лишь у NGC 2685 размер системы колец существенно меньше размера главного тела. По своей структуре система кольцевых воложон в этой галактике также заметно отличается от подобных образований в других, более далеких SO-галактиках — геометрически тонких и, как правило, одиночных колец или дисков. Эти очевидные отличия приводят к выводу о том, что система полярных колец в NGC 2685 находится, вероятно, в стадии формирования или, наоборот, разрушения.

Среди гипотез образования полярных колец наибольшее число сторонников имеет гипотеза об образовании колец вследствие аккреции вещества из межталактического облака или из соседней галактики. Различаются две возможности: 1) захват и погружение соседней карликовой галактики, богатой газом и пылью, и 2) аккреция части вещества сблизившейся галактики вследствие приливного взаимодействия. Шейн [10], вслед за Тумре [17], рассматривает захват жарликовой галактики или межгалактического облака, двигавшегося почти параллельно оси вращения S0-галактики. В этом случае оффект дифференциальной прецессии незначителен, основная масса газа не может быстро осесть к экваториальной плоскости галактики, но динамическое трение с газом в дисковой составляющей линзы, а также взаимодействие со звездным ветром приводят к потере углового момента. Так может появиться туго закрученная спираль из газа и пыли, охватывающая главное тело. Перечислям основные трудности, с которыми встречается эта гипотеза в случае NGC 2685:

- 1) Если считать кольца спирали лежащими в одной плоскости, то ее истинные размеры должны заметно превосходить видимые.
- 2) Центр галажтики не совпадает с центром системы спиральных волокон.
- 3) Относительное положение светящихся ветвей и пылевых полос на фоне NE-части тлавного тела имеет систематическое различие, характерное для спиральных галактик.
- 4) Средние цвета выступающих над телом галактики частей кольца характерны для спиралей Sb—Sc-типов. Цвета и абсолютные звездные величины сгущений яркости в кольце типичны для гитантских областей Н II в ветвях спиральных галактик.

Последние три обстоятельства позволяют предположить, что наблюдаемая картина скорее объясняется столкновением линзовидной галактики со спиральной. Остаются загадочными возможная некомпланарность колец и вращение звезд и газа вдоль малой оси в разных направлениях.

Что же касается внешней оболочки, то кажется вполне разумным предположение Шейна [10], считающего, что внешнее кольцо может быть вначительно более старым, чем полярные кольца и могло быть образовано

в результате столкновения с межгалактическим облаком или сохранить-

Для дальнейшего продвижения в исследовании NGC 2685, на наш взгляд, большое значение имеет изучение структуры протяженной внешней оболочки и динамики системы полярных колец, для чего необходимы новые фотометрические и спектральные наблюдения высокого качества.

. Ленинградский государственный униворситет

DETAIL SURFACE PHOTOMETRY OF THE GALAXY WITH POLAR RING NGC 2685

V. V. MAKAROV, V. P. RESHETNIKOV, V. A. YAKOVLEVA

Absolute surface UBV-photometry of the peculiar galaxy NGC 2685 is provided. Integral magnitudes and colour indices of the "main body", polar rings and outer envelope are obtained. The buldge and disk components are distinguished in the spindle and this is one more argument that NGC 2685 is a normal lenticular galaxy seen nearly edge-on. The colours of the polar rings (U-B=-0.05, B-V=+0.50) are very similar to those of Sb-Sc galaxies. These rings may be caused by interaction of the spiral galaxy with a S0 companion. The outer envelope consists of two subsystems, probably of different origin.

ЛИТЕРАТУРА

- 1. F. Schweizer, B. C. Whitmore, V. C. Rubin, Astron. J., 83, 909, 1983.
- 2. B. C. Whitmore, D. B. McElroy, F. Schweizer, Astrophys. J., 314, 439, 1987.
- 3. E. M. Burbidge, G. R. Burbidge, Astrophys. J., 130, 20, 1959.
- 4. В. А. Газен-Тори, И. И. Попов. В. А. Яковлева, Астрофизика. 19, 599, 1983.
- 5. M.-H. Demoulin, Comp. Red. Acad. Sci., 260, 3287, 1965.
- 6. M.-H. Ulrich, Publ. Astron. Soc. Pacif., 87, 965, 1975.
- 7. P. L. Schechter, J. E. Gunn, Astron. J., 83, 1360, 1978.
- 8. A. Elvius, Astrophys. and Space Sci., 55, 49, 1978.
- 9. В. А. Газен-Торн, И. И. Попов, В. А. Яковлева, Пысьма в Астрон. ж., 5, 8, 1979.
- 10. W. W. Shane, Astron. and Astrophys., 82, 314, 1980.
- 11. В. В. Макаров, В. П. Решетников, В. А. Яковлева, Т.р. АО ДГУ, 41, 112, 1987.
- 12. A. Dressler, A. Sandage, Astrophys. J., 265, 664, 1983.
- 13. F. Simien, C. de Vaucouleurs, Astrophys. J., 302, 564, 1986.
- 14. D. Burstein, C. Heiles, Astrophys. J. Suppl. Ser., 54, 33, 1984.
- 15. A. R. Sandage, The Hubble Atlas of Galaxies, Washington, 1961.
- G. de Vaucouleurs, A. de Vaucouleurs, H. G. Corwin. Second Reference Catalogue of Bright Galaxies, Univ. Texas, Austin, 1976.
- 17. A. Toomre, in "The Evolution of Galaxies and Stellar Populations", ed. B. Tinsley, R. B. Larson, New Haven. Yale Univ. Observ., 401, 1977.

АСТРОФИЗИКА

TOM 30

ФЕВРАЛЬ, 1989

ВЫПУСК 1

УДК: 524-355

СОПОСТАВЛЕНИЕ НЕОТОЖДЕСТВЛЕННЫХ ЛИНИЙ ПОГЛОЩЕНИЯ В СПЕКТРАХ КВАЗАРОВ С НЕОТОЖДЕСТВЛЕННЫМИ ЛИНИЯМИ В СПЕКТРАХ ЭВЕЗД

И. Е. ВАЛЬТЦ Поступила 21 октября 1987 Пранята к печати 14 января 1988

В работе рассматривается возможность отделить часть неотождествленных линий спектров квазаров от «леса L_a » путем сопоставления их с неотождествленными линиями спектров звезд. В случае квазара 2351—154 для уверенной абсорбционной системы с $z_a = 2.6775$ наблюдается превышение числа совпадений линий спектра квазара с линиями спектра ζ Рир. Восемь линий спектра квазара, которые совпали с линиями спектра ζ Рир, ранее не были отождествлены.

Абсорбщионные линии в оптических спектрах квазаров в настоящее время являются практически единственным источником сведений о физическом состоянии вещества в межгалактической среде. Несмотря на большое количество квазаров, обнаруженных к настоящему времени (более 3000 на 1987 г.), квазаров с линиями поглощения известно не более 500. Для них опубликовано всего около 100 спектров, причем не более 50 имеют число линий, достаточное для отождествления с некоторой степенью надежности.

С хорошим спектральным разрешением — $\Delta\lambda \approx 0.8\,\mathrm{A} - 2\,\mathrm{A}$ — получено не более трети абсорбционных спектров; обычно в них отождествляются несколько абсорбционных систем, насчитывающих от двух до десяти линий, в исключительных случаях — больше десятка линий. Уверенных систем в каждом спектре — одна-две, остальные системы относятся к системам низкой степени надежности. В работе [1] мы обратили внимание на то, что системы, отождествленные с низкой степенью надежности, не подтверждаются при улучшении спектрального разрешения.

Таким образом, строго говоря, наблюдательный материал по абсороционным линиям в спектрах квазаров, на основе которого можно было бы сделать более или менее правильные выводы о физических свойствах поглощающего газа, в настоящий момент довольно беден. В теоретических работах привлекают к анализу все системы линий поглощения, как правило, с одинаковым весом, не обращая особого внимания на различные градации надежности отождествления систем. Такой подход сильно снижает ценность теоретических моделей. Поэтому повышение степени надежности отождествления линий и увеличение числа отождествленных линий — задача не последней важности в спектроскопни квазаров.

Одной из главных трудностей в отождествлении абсорбционных линий в спектрах квазаров является, конечно, разброс по г. Однако в звездных спектрах, все линии которых находятся в системе покоя, тоже имеются неотождествленные линии. Например, на 200 отождествленных линий в спектре звезды СРир [2] приходится 52 неотождествленных, на 252 отождествленных в спектре С Oph [3] — 45 неотождествленных. Возможно, что в случае СОрh и некоторых других звезд неотождествленных возможнии являются слабыми линиями железа Fe II, других ниэкононизованных атомов, например, СІ, или линиями молекул, силы осцилляторов которых определены не очень надежно. В случае СРир, на которую проектируется менее плотное облако, спектр поглощения формируется более высокононивованными ионами, для линий которых спектроскопические таблицы должны быть достаточно полными. Поэтому ситуация с СРир остается неясной [2].

Если считать, что большинство ужих абсорбционных линий в спектрах кваваров формируется в межэвездной среде галактик, находящихся на луче эрения между наблюдателем и квазаром, можно ожидать, что спектры линий поглощения квазаров и звезд Галактики будут подобны. В общих чертах спектры линий поглощения звезд СОрћ (плотное холодное облако) и СРир (разреженная межоблачная среда, зона Н ІІ) можно было бы считать эталонными для сравнения со спектрами «ниэкононизованных» систем и систем «промежуточной» стадии ионизации», характерных для абсорбционных спектров квазаров. При этом возможно, что сходными окажутся не только отождествляемые линии спектров, но и те детали, которые не удается отождествить по причине недостаточно высокого жачества спектроскопических таблиц. В данной работе мы решили сопоставить именно неотождествленные детали спектров квазаров с неотождествленными деталями спектров звезд (сопоставление с отождествленными линиями мы приведем в другой работе).

Списки эвездных линий, которые мы брали для сравнения, приводятся в работах Мортона [2] — ζ Pup и [3] — ζ Oph. Поскольку длины воли неотождествленных линий звездных спектров заключены в пределах от 960 A до 1390 A, имеет смысл проводить сопоставление этих линий с линиями в спектрах квазаров только для самых далеких абсорбционных систем. Мы отобрали для нашей цели квазары (см. ниже), в которых имеются абсорбционные системы с $z_0 > 2$ и спектры которых получены с раз-

решением $\Delta\lambda$ не хуже 2.0 А. Отождествление линий проводилось по стандартной методике: вычислялась длина волны $\lambda_i = \lambda_0 \cdot (1+z)$ и сопоставлялась с наблюдаемой. Линия считалась отождествленной, если $|\lambda_i - \lambda_0| \leq \Delta\lambda$. Процедура проводилась не по всему спектру квазара, а только в рамках абсорбционных систем: $z_a \pm 0.01$, шаг процедуры $\Delta z \approx 0.0001$ (зависит от разрешения).

Перейдем к описанию результатов.

РКЅ 0424—131. Спектр из работы Робертса и др. [4], $z_e=2.165$. Имеется 18 абсорбинонных систем с z_a от 0.7472 до 2.1752. Поскольку z_a малы, сопоставление возможно только с линиями ζ Pup (опектр неотождествленных линий ζ Pup более длинноволновый, чем ζ Oph). Превышение числа совпадений над оредним уровнем около 3 σ заметно для уверенной оистемы с $z_a=2.1333$ (на $z_a=2.1281$ совпало 10 линий из 26 возможных; средний уровень совпадений,— 3—4 линии) и около 2 σ для возможной системы с $z_a=2.1505$ (на $z_a=2.1504$ совпало 8 линий из 26 возможных при том же среднем уровне).

MC5 0824+110. Спектр работы Робертса и др. [4], $z_e=2.278$. 11 абсорбинонных систем, из них 4 уверенных: $z_a=0.4990$, 1.6229, 2.1090. 2.1803. 2 далекие системы формируются в высокононизованных сбластях, поэтому совпадений линий с линиями спектров эвезд, восбще говоря, быть не должно. В самом деле, ни для одной из систем не наблюдается превышения числа совпадений линий над средним уровнем

MC 1226+105. Спектр из работы Робертса и др. [4], $z_e=2.296$, 4 системы линий поглощения. Подходящая по z_a для нашего исследования относится к классу возможных ($z_a=2.1981$), отождествлена по трем линиям — L_a и дублету С IV, представляющему собой широкую деталь в спектре. Превышения числа совпадений линий квазара с линиями ζ Рир над средним уровнем не обнаружено.

PKS 0457+024. Спектр из работы Робертса и др. [4], $z_a = 2.384$. 8 абсорбционных систем, 2 системы с достаточно большими z_a (2.3385 ч 2.8567) низкой степени надежности. Превышение числа совпадений надередним уровнем (> 2 σ) имеется для системы с $z_a = 2.3385$ при $z_a = 2.3410$ и для системы с $z_a = 2.8567$ при $z_a = 2.8504$ при сразнении со спектром ζ Рир.

Q 0453—423. Спектр из работы Саржента и др. [5], $z_e=2.656$ 6 абсорбционных систем, 4 уверенных. Спектр получен с разрешением 0.8 A, средний уровень случайных совпадений низкий. Незначительное превышение над средним уровнем (> 2σ) обнаружено только для уверенной системы с $z_a=2.2765$ на $z_a=2.2705$ при сравнении со спектром ζ Pup.

MC 2351—154. Спектр из работы Робертса и др. [4], $z_e=2.665$. 11 абсорбционных систем, из них 3 имеют достаточно большие z_e : 2.0949. 2.6447 — системы низкой достоверности и 2.6775 — уверенная система. В пределах этой системы с несколько смещенным z_a (2.6786) имеется максимум, выходящий за уровень 3 σ при сопоставлении спектра квазара со спектром ζ Рир.

РНС 957. Мы скомпилировали спектр из двух спектров, полученных с разным разрешением: от $\lambda=3100\,\mathrm{A}$ до $\lambda=3500\,\mathrm{A}$ — спектр Колемана и др. [6]; от $\lambda=3500\,\mathrm{A}$ до $\lambda=5100\,\mathrm{A}$ — спектр Саржента и др. [7]. Разрешение в первой части спектра $\Delta\lambda=4\,\mathrm{A}$, во второй — $\Delta\lambda=0.8\,\mathrm{A}$; $z_e=2.69$. По Колеману, спектр содержит 5 абсорбционных систем, данная система с $z_a\sim2.30$, отождествленная Колеманом как «уверенная», подтвердилась Саржентом при улучшении разрешения. Превышение числа совпадений на уровне $>2\sigma$ при сравненин со спектром ζ Рир имеется для $z_a=2.3182$: отличие от z_a уверенной системы довольно велико.

Q 0002—422. Спектр из работы Саржента и др. [5] $z_e=2.763$. 5 абсорбционных систем, 3 далеких: $z_a=2.1683$ (возможная), $z_a=2.3018$ (уверенная), $z_a=2.4641$ (вероятная). Незначительное превышение числа совпадений над средним уровнем ($\approx 2\sigma$) наблюдается для системы $z_a=2.4641$ при $z_a=2.4687$.

РКЅ 0528—250. Спектр ив работы Мортона и др. [8], $z_e = 2.765$. Имеются 3 системы линий шоглощения: $z_a = (2.81322 \text{ и } 2.81100)$, 2.53758, 2.14077. Ни в одном случае не обнаружено превышение числа совпадений $> 2\sigma$ ии для спектра ζ Орһ, ни для спектра ζ Рир.

4С 05.34. Спектр из работы Чен-Ян-шента и др. [9], $z_0 = 2.8772$, 5 систем линий поглощения: 2 уверенных, $z_0 = 2.87717$ и $z_0 = 2.47568$; три возможных с $z_0 < 2$. Превышения числа совпадений $> 2\sigma$ имеются в пределах системы $z_0 = 2.47$ для ζ Орһ и ζ Рир и в пределах системы $z_0 = 2.87$ для ζ Рир на нескольких значениях z_0 , поотому, даже если какойлибо максимум является реальным, его трудно отличить от случайного, т. к. все максимумы приблизительно одинаковой величины.

MC5 0830+115. Спектр вз работы Робертса и др. [4], $z_s=2.974$. 3 абсорбционных системы с $z_a=2.1247$, 2.2168 (уверенные) и с $z_a=2.7664$ — вероятная. Превычление числа совпадений на уровне 2 σ имеется только для системы $z_a=2.7664$ при $z_a=2.7090$ для спектра ζ Oph.

РКЅ 2126—158. Спектр из работы Янга и др. [10], $z_e = 3.28.5$ систем линий поглощении, из них 4-c $z_a < 2$: 2.3938 (4 линии), 2.6381 (14 линий, уверенная система), 2.7685 (16 линий, уверенная система), 3.1668 (6 линий). Превышения числа совпадений над средним уровнем не обнаружено.

Перейдем к обсуждению результатов. Из исследованных нами 35 абсорбционных систем в абсолютном большинстве случаев превышение числа совпадений над средним уровнем не выходит за уровень 20 и, скорее всего, носит случайный характер. Мы остановимся подробнее только на одной абсорбционной системе: квавар 2351—154, уверенная абсорбционная система $z_0 = 2.6775$, спектр звезды ζ Рир.

В спектре этого квазара имеется 114 линий поглощения, ив которых отождествлено 42 линии с ниэкой степенью надежности. Уверенная система при $z_a = 2.6775$ включает в себя 7 линий: L_a , одну блендированную линию дублета NV 1238 — другая не обнаружена, две линии дублета С IV, одну линию Si III 1206 (в бленде) и две линии дублета Si IV ($\lambda\lambda$ 1393, 1402). Система, таким образом, формируется в области высокононизованного газа. Сопоставление возможно только с 30 линиями ζ Рир, для которых $\lambda > 1133$ А. При $z_a = 2.6786$ совпали следующие линии:

	Таблица 1	
2351—154	(Pup	$\lambda_{n} - \lambda_{n}$
λ ₈₈ 6λ. (A)	λ _{mada} . (A)	(A)
4194.6	1140.269 1140.521	0.00 -0.69 npm z ₄ = 2.684
4283.23	1164.177 1164.275 1164.462	0.68 0.31 -0.35
4490.45	1120.502 1220.752	0.72 -0.20
4511.1	1226.246	-0.22
4542.36	1235.014	-0.75
4655.0	1265.378	0.17
4880.22	1326.732	-0.29
5088.03	1383.720	-0.25

Ни одна из линий сшектра квазара, приведенная в таба. 1, не была отождествлена ранее. Средний уровень совпадений при данном z составляет 2-4 линий. Поскольку уверенная система $z_a=2.6775$ содержит всего 7 линий, 4-5 линий, которые можно было бы приписать ей на основании подобного сопоставления, составили бы значительную долю отождествлений в системе — около 30%. Некоторое расхождение в z_a можно объяснить неточностью в определении центров линий, неточностью в определении врасных смещений или реальным несовпадением поглощающих областей. Так как система $z_a=2.6775$ формируется, по-видимому, в области высоковонивованного газа, а облако, проектирующееся на ζ Pup — более

холодное и может ассоциироваться с близкой к основному z_a , но другой котлощающей областью. То есть несовпадение поглощающих областей в данном случае вполне допустимо.

Выводы. Итак, мы рассмотрели возможность сопоставления неотождествленных линий спектров квазаров и неотождествленных линий спектров звезд. Поскольку большинство линий поглощения в спектре 5 Oph имеет длину волны короче 1000 А. практически можно было проводить сопоставление только с линиями потлощения 5 Pup. Существенных превышений числа совпадений над средним уровнем не обнаружено, но в случае квазара 2351—154 число таких совпадений в пределах уверенной системы неоколько выше, чем для других спектров. Интересно, что все выделенные нами линии спектра этого квазара относятся к числу кеотождествленных.

Конечно, подобное сопоставление абсорбционных линий спектров квазаров и линий спектров звезд можно рассматривать только как слабую попытку «отвоевать» у «леса L_a » хотя бы несколько линий в пользу абсорбционных систем. Однако для более далеких абсорбционных систем, которые, возможно, будут обнаружены, этот метод может сыграть роль более существенную.

Институт космических исследований АН СССР

COMPARISION OF UNIDENTIFIED ABSORPTION LINES OF QUASAR SPECTRA WITH UNIDENTIFIED LINES OF STELLAR SPECTRA

I. E. VAL'TTS

A possibility to separate part of unidentified lines in QSO spectra from "Lyman-a forest" by comparing them with unidentified lines in stellar spectra is discussed. The higher number of line coincidences between QSO spectrum and ζ Pup spectrum over their mean value is observed for the certain absorption system with $z_a=2.6775$ in the case of QSO 2351-154. Eight QSO lines which coincide with lines of ζ Pup spectrum have not been identified earlier.

ЛИТЕРАТУРА

- 1. И. Е. Вальту. Препр. ИКИ АН СССР, № 1224, 1987.
- 2. D. C. Morton, Astrophys. J., 222, 863, 1978.
- 3. D. C. Morton, Astrophys. J., 197, 77, 1975.

- D. H. Roberts, E. M. Burbidge, G. R. Burbidge, A. H. Crowne et al., Astrophys. J., 224, 344. 1978.
- W. L. W. Sargent, P. J. Young, A. Boksenberg, R. F. Carswell, J. A. J. Whelan, Astrophys. J., 230, 49, 1979.
- G. Coleman, R. F. Carswell, P. A. Strittmatter et al., Astrophys. J., 207, 1, 1976.
- 7. W. L. W. Sargent, P. J. Young, A. Boksenberg, D. Tytler, Astrophys. J. Suppl. Ser., 42, 41, 1980.
- 8. D. C. Morton, Chen Jian-sheng. A. E. Wright, B. A. Peterson, D. L. Jauncey, Mon. Notic. Roy. Astron. Soc., 193, 359, 1980.
- Chen Jian-sheng, D. C. Morton, B. A. Peterson, A. E. Wright, D. L. Jauncey, Mon. Notic, Roy. Astron. Soc., 196, 715, 1981.
- P. J. Young, W. L. W. Sargent, A. Boksenberg, R. F. Carswell, J. A. J. Whelan, Astrophys. J., 229, 891, 1979.

АСТРОФИЗИКА

TOM 30

ФЕВРАЛЬ, 1989

выпуск т.

УДК: 524.7

ИССЛЕДОВАНИЕ ДАЛЬНЕГО ИНФРАКРАСНОГО ИЗЛУЧЕНИЯ ГАЛАКТИК МАРКАРЯНА. І. СРАВНЕНИЕ ХАРАКТЕРИСТИК ГАЛАКТИК В ОПТИЧЕСКОМ И ИК-ДИАПАЗОНАХ

Ю. И. ИЗОТОВ, И. Ю. ИЗОТОВА Поступила 16 марта 1988 Поденята к печата 1 мая 1988

Проведено статистическое всследование галактик Маркаряна в оптическом и дальнем вифракрасном диалазонах. Результаты исследования оривниваются с данными, получеными для галактик из скопления Девы. Построены функции ИК-светимости талактик Маркаряна, учитывнощие верхине границы измореными потохов. Показано, что зарегистрированные и не зарегистрированные опутивком IRAS сейфертовские галактики по своим светимостям в оптическом и дальнем РК-двапазонах не различаются, тогда как Н II-галактики, не зарегистрированные на IRAS, имеют в среднем меньшие светимости как в оптическом, так и в дальнем РК-днапизонох. Галактики Маркаряна имеют большие температуры пыли, чем галактики в Дове. Скорость звездообразования в галактиках Маркаряна в несколько раз выше, чем в нормальных спиральным галактиках.

1. Ввеление. Галактики Маркаряна, характеризующиеся избытками излучения в ультрафиолетовом диапазоне, привлекают в последние годы внимание как объекты, в которых происходят процессы активного звездообразования. Некоторые из них содержат активные ядра и относятся к сейфертовским галактикам, однако большинство галактик имеют спектры с узкими эмиссионными линиями, характерными для зон ионизованного водорода. С появлением наблюдений, проведенных на инфракрасном спутнике IRAS, предоставилась возможность детального исследования галактик Маркаряна в дальнем ИК-диапазоне, наиболее удобном для изучения областей звездообразования.

Такие исследования свойств галактик Маркаряна в дальнем ИК-диапавоне проводились в ряде работ. В [1] показано, что светимость галактик Маркаряна со вспышками звездообравования в дальнем ИК-диапазоне L_{FIR} в \sim 5 раз больше светимости спиральных галактик из скопления
Девы. Отношение светимости L_{FIR} к светимости в оптическом диапазоне L_{B} в сейфертовских галактиках в несколько раз больше, чем у нормальных

галактих из мини-обзора по каталогу Shapley-Ames [2, 3]. В [4] показаво, что излучение сейфертовских галактик в дальнем ИК-диапазоне не
связано с активным ядром, а обусловлено переработкой пылью излучения молодых массивных эвезд в областях звездообразования. Галактики
с активным звездообразованием (Н II-галактики) по своим свойствам в
двльнем ИК-диапазоне не отличаются от сейфертовских галактик [2]. Однако в [5] показано, что галактики Sy 2 имеют большие, чем галактики
типа Sy 1 и H II, избытки инфракрасного излучения L_{FIR}/L_B , что, по-видимому, связано с экранированием активного ядра пылевым слоем. В [6]
установлено, что излучение голубых компактных галактик в дальнем ИКдиапазоне, часть из которых входит в список Маркаряна, обусловлено излучением пыли в областях ионизованного водорода, а не в гигантских молекулярных облаках.

В работе [7] исследуются процессы формирования эвеэд в активных карликовых галактиках. Установлена тесная корреляционная связь L_{FIR} — L_B ; сравниваются коротко- и долгопериодичная скорости ввездообразования; показано, что вффективность звездообразования у активных карликовых галактик и Галактики сравнима.

В перечисленных работах исследования проводились для отдельных выборок из списка Маркаряна. В данной работе делается сравнительный анализ физических характеристик галактик из всего списка Маркаряна в оптическом и дальнем инфракрасном днапазонах, получены функции светимости в ИК-диапазоне. Более половины галактик Маркаряна не были варегистрированы при наблюдениях на IRAS. Одной из вадач данной работы является выяснение причины их ненаблюдаемости.

2. Данные каталога точечных источников IRAS. В каталоге точечных всточников IRAS содержатся данные о потоках взлучения для 622 галактик Маркаряна, варегистрированных, по крайней мере, в одной из четырех полос на длинах волн 12, 25, 60 и 100 мкм. Информяция об ИК-излучении галактик была предоставлена Центром астрономических данных Астрономического совета АН ОССР. Результаты наблюдений в оптическом диапазоне содержатся в работах [8—23]. Формулы расчета абсолютных характеристик излучения галактик в оптическом и инфракрасном диапавонах приведены в приложении.

Для анализа характеристик галактик Маркаряна в настоящей работе отобраны объекты с уверенно измеренными потоками излучения на длинах волн 60 и 100 мкм. Все галактики в соответствии с [12] были разделены на две группы. К первой труппе отнесены галактики Сейферта, условно обозначим их IRS (78 объектов), ко второй — IRE-талактики с узкими вмиссионными линиями в спектре, представляющие, в основном, Н II-талактики (271 объект).

Аналогично, незарегистрированные в дальнем ИК-диапазоне галактики Маркаряна также разделены на 2 группы: галактики Сейферта ndS (78 объектов) и Н II-галактики ndE (381).

Для расчета верхних пределов светимостей L_{FIR} галактик, не зарегистрированных в дальнем ИК-диапазоне, были приняты, согласно [3], пороговые значения плотностей потоков на 60 и 100 мкм, равные соответственно 1 и 2 Ян.

3. Функции светимости галактик Маркаряна в оптическом диапавонс. Данные о звездных величинах галактик Маркаряна неоднородны и включают фотовлектрические, фотографические значения, а также грубые оценки для слабых объектов. Поэтому для выяснения причины ненаблюдаемости ndS и ndE-талактик аппаратурой IRAS были исследованы только галактики с фотовлектрическими эвездными величинами.

Таблица 1 СРЕДНИЕ ХАРАКТЕРИСТИКИ ГАЛАКТИК МАРКАРЯНА С ИЗВЕСТНЫМИ ФОТОЭЛЕКТРИЧЕСКИМИ ЗВЕЗДНЫМИ ВЕЛИЧИНАМИ

Тип	T _d K	B-V	U-B	lg L _B apr c-1	lg L_{FIR} spr c-1	$lg \frac{L_{FIR}}{L_B}$	m _B
IRS	39.9(64)	0.75(63)	-0.07(63)	44.9(58) 44.4(80)*	44.2(58)	-0.7(58) 2*	13.9
IRE	37.0(70)	0.60(70)	-0.13(70)	44.2(70) 43.3(97)	43.8(70)	0.5(70) + .5	13.9
ndS		0.74(53)	-0.23(53)	44.7(53) 44.0(55)	44.0(53)	-0.7(55) 0	14.9
ndE		0.56(55)	-0.14(55)	43.3(55) 41.9(55)	42.9(55)	-0.5(55) +1.0	15.1

^{*}Среднее вначение с учетом селекции наблюдений.

Средние характеристики галактик с и эвестными фотоэлектрическими звездными величинами тв приведены в табл. 1. В среднем незарегистрированные галактики Маркаряна на одну эвездную величину слабее, что может быть выэвано двумя причинами: либо большей удаленностью, либо меньшей светимостью. Средние величины, приведенные в табл. 1, из-за вффектов селекции, обусловленных ограниченной чувствительностью наблюдений, не совсем отражают истинную картину. Необходимо получить функцию светимости (ФС), учитывающую эффекты селекции наблюдений. Детальное исследование функции светимости сейфертовских галактик проведено в работах [24—26]. Для определения функции светимости в настоящей работе использован метод Неймана и Скотт [27], усовершенствованный и подробно описанный Теребижем [24].

В данной работе по методу, использованному в [24], исследована полнота выборки галактик Маркаряна. Получено, что выборки для IRS и IRE-галактик полные до $m \le 13.5$, для ndS и ndE-галактик — до $m \le 14^m$ 5.

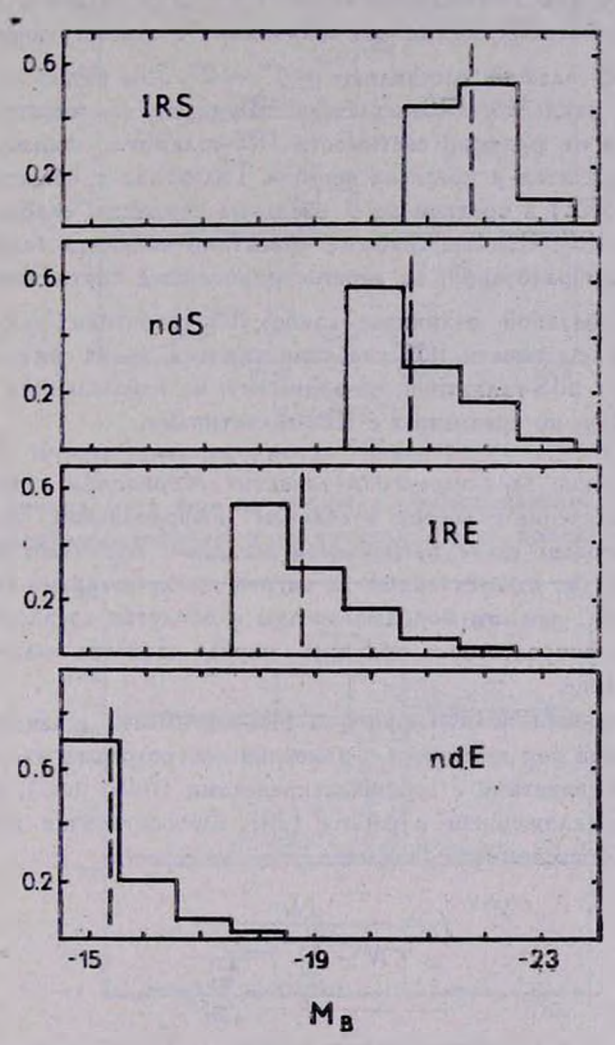


Рис. 1. Диффоренциальные функции оптической светимости галактых Маркаряна.

На рис. 1 приведены дифференциальные функции светимости в интервале — $15.^m$ $5 \gg M_B \gg -24^m$.5 и средние значения M_B для всех типов галактик. Вид функции светимости существенно зависит от распределения галактик низкой светимости и может быть подвержен случайным ошибкам. Повтому при расчете функции светимости не учитывались те интервалы с галактиками низкой светимости, в которых

число галактик меньше 5. Сравнение результатов с учетом и без учета наблюдательной селекции доказывает, что среднее значение Мв для всех IRE-галактик, входящих в каталог Маркаряча, без учета селекции занижено на 2-3^m, для IRS-галактик — на $\sim 1^m$. Для галактик с известными фотоэлектоическими звездными величинами соответствующие значения дая IRE и IRS-гадантик составляют $\sim 1^m - 2^m$. Как видно из оис. 1. самыми яркими являются IRS-галактики. Функция оветимости пdS-галактик отличается от функции светимости IRS-галактик, однако различия невелики и находятся в пределах ошибок. Галактики с областями звездообоазования (IRE) з среднем на 3 эвездные величины слабее сейфертовских галактик IRS. Самыми слабыми объектами являются галактики с областями звездообразования, не зарегистрированные спутником IRAS, которые на 3⁸⁵ звездной величины слабее IRE-галактик. Таким образом, пончина ненаблюдаемости ndE-галактик связана с их нязкой светимостью, тогда как пdS-галактики, по-видимому, не наблюдаются из-за большей удаленности, по сравнению с IRS-галактиками

4. Физические характеристики галактик Маркаряна в инфракрасном диапазоне. Ивлучение галактик в дальнем инфракрасном диапазоне обусловлено свечением пыли, нагреваемой эвездами. Возникает вопрос — являются ли звезды, ответственные за нагрев пыли, звездами старого населения галактики, или это молодые эвезды в областях звездообразования? Ответ на этот зопрос можно получить, изучая свойства галактик в дальнем ИК-диапазоне.

Для построения полной функции ИК-светимости галактик Маркаряна, учитывающей как галактики с измеренными потоками излучения (IRS и IRE), так и галактики с верхними пределами (ndS, ndE), воспользуемся методом, предложенным в работе [28]. Относительная доля галактик в i-ом интервале светимости равна

$$f_{i} = \frac{I_{i}}{N - \sum_{j=1}^{i} \frac{U_{j}}{1 - \sum_{k=0}^{j-1} f_{k}}},$$
 (1)

где $f_0=0$, I_i — количество галактик в i-ом интервале ИК-светимости, U_i — количество галактик, у которых верхние пределы светимостей попадают в j-й интервал, N — полное количество галактик. Полные функции светимостей L_{FIR} сейфертовских IRS + ndS и галактик с областями эвездообразования IRE + ndE приведены на рис. 2. Здесь же дана функции светимости галактик из скопления Девы с измеренными потоками излучения в дальнем ИК-диапазоне. Как следует из рис. 2, светимость галак-

тик Сейферта в ИК-диапазоне заключена в более уэком интервале и в ~ 5 раз выше, чем у галактик с областями звездообразования, которые, в свою очередь, в среднем в ~ 3 раза ярче галактик из скопления Девы.

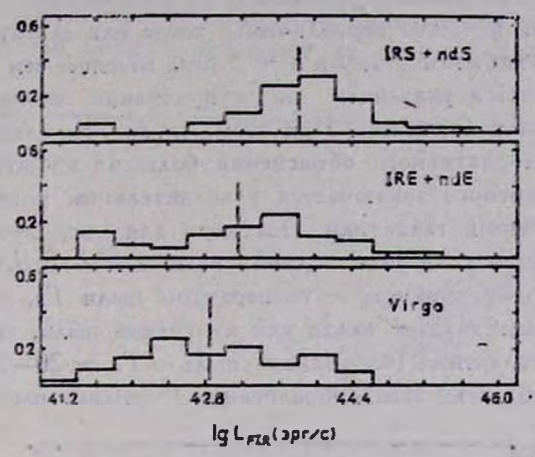


Рис. 2. Дифференциальные функции ИК-светимости галактик Маркаряна.

Однако величина L_{FIR} еще не является исчерпывающей характеристикой окорости ввездообразования в галактиках. Более показательным, как от-

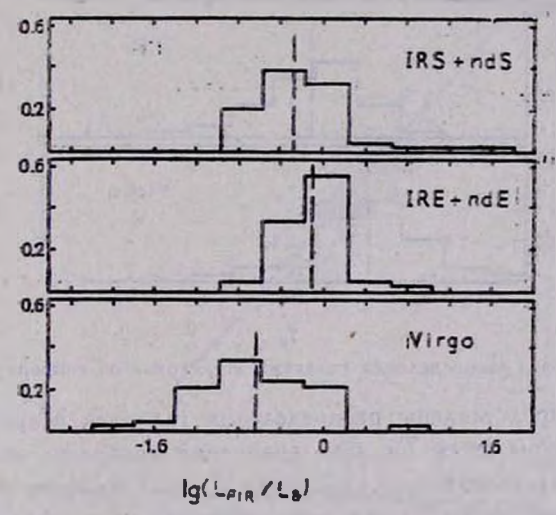


Рис. 3. Гистограммы распределения галактик Маркаряна по инфракрасным избыткам L_{PIR}/L_B .

мечается в ряде работ, является отнощение инфракрасной светимости к смической L_{FIR}/L_B . На рис. 3 приведены распределения галактик IRS+ + ndS и IRE + ndE по избыткам инфракрасного излучения L_{FIR}/L_B .

Здесь так же, как и в случае полных функций ИК-светимостей, учтены галактики с верхними пределами с использованием формулы (1). Несмотря на большие равличия в функциях светимостей сейфертовских галактик и галактик с областями ввездообразования, их распределения по L_{FIR}/L_B на уровне вначимости q = 0.01 неразличимы, тогда жак галактики из скоплсния Virgo имеют избытки L_{FIR}/L_B в ~ 3 раза меньше, чем IRE + пdE галактики, что является указанием на существенно более высокий темп ввездообравования у последних. При этом, однако, не следует вабывать о возможности альтернативного объяснения больших избытков инфракрасного излучения, которое заключается в значительном поглощении пылью оптического излучения галактики. Поэтому для определения скорости. эвездообразования в галактике одной величины L_{FIR}/L_B недостаточно. Необходим еще один параметр — температуры пыли $T_{
m d}$, поскольку в ин-Фракрасную светимость дает вклад как излучение пыли, нагреваемой старым населением галактики («холодная» пыль с $T_d \sim 20-30$ K), так и излучение пыли в областях ввездообразования («теплая» пыль с $T_d \sim 40$ K).

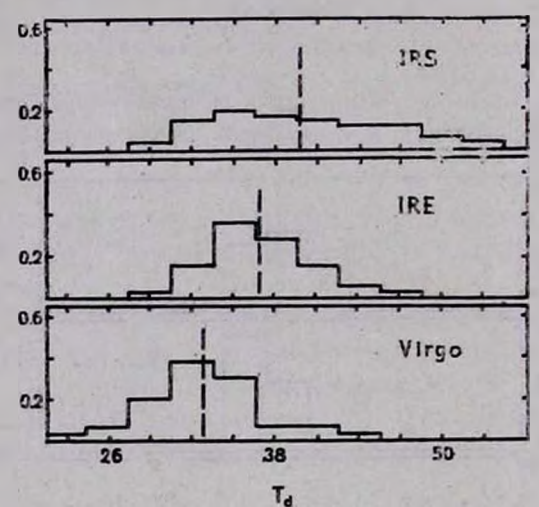
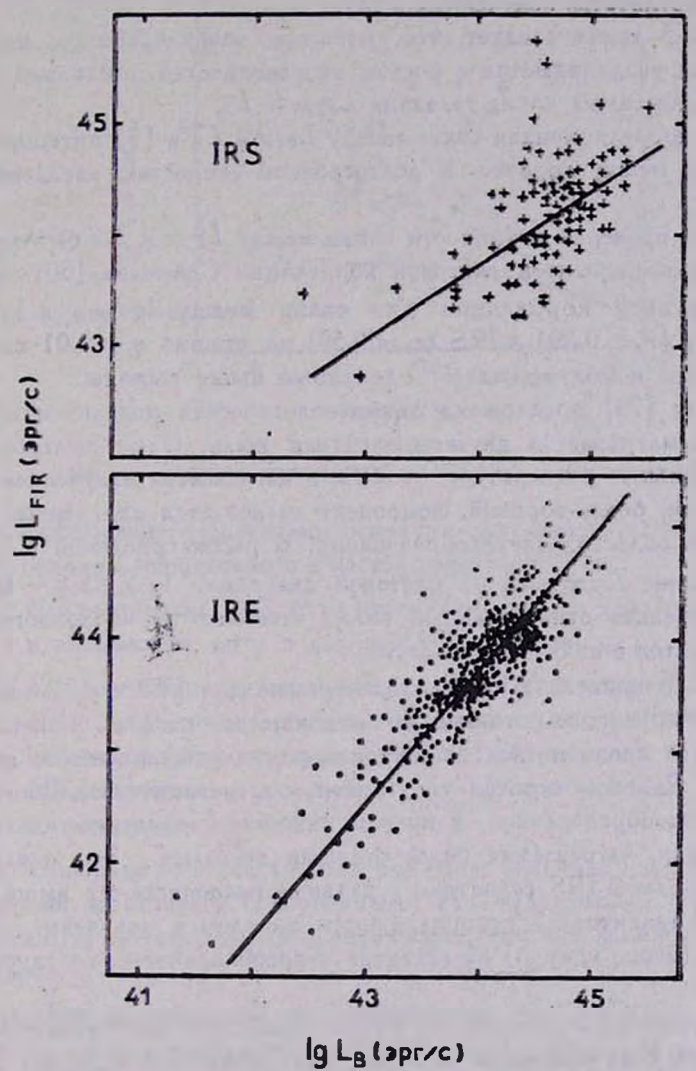


Рис. 4. Гистограммы распределения галактик Маркаряна по температурам пыли T_{d^+}

На рис. 4 представлены распределения галактик Маркаряна по значениям температуры пыли T_d . Для сравнения приведено соответствующее распределение для галактик из скопления Девы. Обращает внимание большой диапазон изменения T_d для сейфертовских галактик, что, по-видимому, может объясняться значительным вкладом в инфракрасное излучение сейфертовских галактик «торячего» компонента пыли с $T_d \sim 10^2$ К в околоядерной области, нагреваемой нетепловым излучением ядра [29]. Эначения температуры пыли в IRE-галактиках заключены в более узком интервале, для которых среднее значение равно 36.7 К.

Спиральные галактики из скопления Девы имеют самые низкие значения температур (среднее значение ~ 32 K).

Распределения по T_d галактик скопления Девы и IRE-галактик на уровие значимости q=0.01 статистически различаются, что в сочетании с малыми значениями L_{FIR}/L_B указывает на низкий уровень звездообравования у первых.



Рыс. 5. Зависимость между вифракрасной L_{FIR} и оптической L_B светимостями для IRS в IRE-галактик.

Рассмотрим еще ряд отличий между галактиками Сейферта и Н IIгалактиками в дальнем ИК-диапавоне. На рис. 5 представлены зависимости инфракрасной светимости от оптической светимости для обоих типов объектов. Для Н II-галактик линейная корреляционная связь между L_{FIR} и L_B очень тесная (коффициент линейной корреляции $r \approx 1$), тогда как для галактик Сейферта связь значительно слабее (r = 0.59). Это разлячие объясняется тем, что в сейфертовоких галактиках оптическое излучение слабо связано с областями звездообразования. Такой вывод подтверждает результаты, полученные в [4].

 H_3 рис. 5 также следует, что избытки инфракрасного излучения IRE-галактых увеличиваются с ростом их светимостей, поскольку $L_{FIR} \sim$

 $\sim L_B^{1.28}$, и для самых ярких галактих $L_{FIR} \approx L_B$.

Тесная корреляционная связь между L_{PIR} и L_B в [7] интерпретируется как связь между коротко- и долгосрочной скоростью звездообразования.

С целью проверки истинности связи между L_{FIR} и L_B был использован метод коэффициентов ранговой корреляции Стирмена [30]. Коэффициенты ранговой корреляции для связи между $\lg L_{FIR}$ и $\lg L_B$ для HII-галактик ($r_c=0.79$) и IRS ($r_o=0.50$) на уровне q=0.01 статистически значимы и подтверждают сделанные выше выводы.

В работе [23] предложена феноменологическая модель галактики, в которой рассматривается двухкомпонентная пыль. Один пылевой компонент имеет низкую температуру $\sim 30~\rm K$ и нагревается излучением старых ввезд. Второй, более горячий, компонент нагревается излучением массивных звезд в областях звездообразования. В рассматриваемой в [23] модели положение галактики на цветовой диаграмме $\lg S_{60}/S_{100} - \lg S_{12}/S_{26}$ позволяет оценить относительный вклад «теплого» и «холодного» пылевых компонентов в излучение галактики.

На рис. 6 приведена цветовая диаграмма для IRS и IRE-галактик с надежно измеренными потоками во всех четырех полосах. IRE-галактики располагаются вдоль последовательности нормальных галактик, приведенной в [23]. В левом верхнем утлу диаграммы чаходятся галактики с активным звездообразованием, в правом нижнем — галактики, в которых излучает пыль, нагреваемая более старыми звездами. За исключением двух IRE и одной IRS галактики остальные располагаются выше кривой, отделяющей галактики с преобладающим вкладом в излучение «теплого» компонента (выше кривой) от галактик с преобладанием «холодното» компонента.

Сейфертовские галактики на рис. 6 находятся систематически выше Н II-галактик и их излучение не может быть объяснено з рамках двухком-понентной модели, поскольку эти галактики имеют менее крутые наклоны в спектрах и содержат «горячий» компонент пыля с $T_d \sim 10^2$ K, нагреваемый активным ядром [29].

Наконец, следуя работе [3], оценим скорость звездообразования в галактиках Маркаряна. В IRE-галактиках на образование О-звезд в среднем расходуется $3.3~M_{\odot}$ в год, в сейфертовских галактиках — $5.9~M_{\odot}$ в год. Для сравнения отметим, что в спиральных галактиках в среднем в О-звезды преобразуется $1~M_{\odot}$ в год [3].

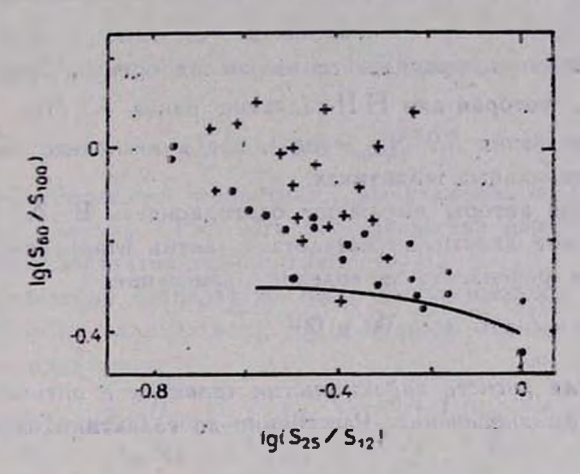


Рис. 6. Цветовая дваграмия для IRS (+) и IRE-галантик (•).

- 5. Заключение. Перечислим основные результаты исследования галактик Маркаряна, проведенного в настоящей работе:
- 1) Сейфертовские галактики относятся к числу ярчайших галактик не только в оптическом, но и в дальнем ИК-диапазонах.
- 2) Неварегистрированные аппаратурой IRAS сейфертовские талактики по своим оптическим карактеристикам не отличаются от галактик Сейферта, наблюдавшихся спутником IRAS. Отсутствие зарегистрированного ИК-излучения у пdS-галактик объясняется их большей, чем IRS-галактики, удаленностью.
- 3) Обнаружено статистически значимое различие между зарегистрированными и незарегистрированными Н II-галактиками. Последние имеют меньшую светимость как в оптическом, так и в дальнем инфракрасном диапазоне.
- 4) Инфракрасные избытки сейфертовоких и Н II-галактих слабо различаются между собой, что в сочетании с высокими значениями температуры пыли T_d в них свидетельствует о сравнимой активности звездообразования в обоих типах галактик.
- 5) Галактики Маркаряна имеют большие температуры пыли, чем галактики в скоплении Девы. Температура пыли в последних заключена в

уэком интервале и ее нагрев производится не в областях звездообразования, а старым населением галактик.

- 6) Найдена тесная корреляционная связь между оптической и инфракрасной оветимостью IRE-галактик. Инфракрасные избытки IRE-галактик увеличиваются с ростом оветимости L_B и для самых ярких объектов $L_{FIR} \approx L_B$.
- 7) По мощности инфракрасного излучения оценена скорость образования О-звезд, которая для Н ІІ-галактик равна 3.3 M_{\odot} год $^{-1}$, а для сейфертовских галактик 5.9 M_{\odot} год $^{-1}$, что в несколько раз выше, чем в нормальных спиральных галактиках.

В заключение авторы выражают благодарность В. А. Липовецкому за предоставленные данные из каталога галактик Маркаряна [12] до их опубликования и рецензенту за полезные замечания.

Приложение

Формулы для расчета характеристик галактик в оптическом и дальнем инфракрасном диапавонах. Расстояние до галактики определяется по формуле

$$d=v/H_0, \qquad (\Pi 1)$$

где d — выражено в Мпк, v — лучевая скорость в км c^{-1} , H_0 — постоянная Хаббла, принятая равной 50 км c^{-1} Мпк $^{-1}$.

Светимости в оптическом и дальнем инфракрасном диапазонах равны соответственно

$$\lg \frac{L_B}{L_\odot} = 0.4 (30.4 - m_B + 5 \lg d),$$
 (\Pi2)

$$L_{FIR} = 4\pi d^2 \Delta v_{80} S_{80}, \tag{\Pi3}$$

где m_B — видимая звездная величина в полосе B,

$$S_{80} = \frac{v_{80}S_{60} + v_{100}S_{100}}{2v_{80}} \tag{\Pi4}$$

— плотность потока на длине волны 80 мкм, ν_{60} , S_{60} , ν_{100} , S_{100} — соотве тственно частоты и плотности потоков излучения на длинах волн 60 и 100 мкм, ν_{80} — частота излучения с длиной волны 80 мкм.

Из (П 4) находим

$$S_{80} = 0.4 (S_{100} + 1.67 S_{60}), \tag{\Pi5}$$

где S_{60} , S_{80} и S_{100} выражены в Янских. В формуле (ПЗ) Δv_{80} — полоса, в которой регистрировалось излучение, принята равной

$$\Delta v_{80} = \frac{c\Delta i_{80}}{i_{80}^2} = \frac{c(i_{100} - i_{80})}{i_{80}^2} = 1.88 \cdot 10^{12} \, \Gamma \text{g}.$$

Тогда окончательно получим

$$\frac{L_{FIR}}{L_{\odot}} = 6 \cdot 10^5 d^2 S_{80}, \tag{\Pi6}$$

где d выражено в Мпк, S_{80} — в Янских.

В работе [3] светимость галактик в ИК-диапазоне вычислялась по формуле

$$L_{FIR} = 4\pi d^2 v_{60} S_{60}. \tag{\Pi7}$$

В среднем светимость галактики, вычисляемая по $(\Pi 7)$, в 1.8 раза выше, чем по формуле $(\Pi 3)$. Это обстоятельство необходимо учитывать при сравнении результатов данной работы с [3].

При определении температуры пыли использовалось отношение плотностей потоков на длинах волн 100 и 60 мкм, S_{100}/S_{60} в предположении чернотельного излучения:

$$\frac{S_{100}}{S_{60}} = \frac{x_{100}B_{100}}{x_{60}B_{60}} = \left(\frac{y_{100}}{y_{60}}\right)^4 \exp\left[\frac{h(y_{60} - y_{100})}{kT_d}\right],\tag{\Pi8}$$

где x_{00} и x_{100} — непрозрачности на пыли, которые для "загрязненных" силикатов равны $x_{\lambda}=2.4\cdot 10^4~\lambda^{-1}~[6]$, где λ выражена в мкм, B_{00} и B_{100} — значения функции Планка на длинах волн 60 и 100 мкм. Подставляя численные значения, находим

$$T_d = \frac{41.7}{\lg\left(\frac{S_{100}}{S_{40}}\right) + 0.89} \tag{\Pi9}$$

Главная астрономическая обсерватория АН УССР Кмевский государственный университет

STUDY OF FAR INFRARED EMISSION OF MARKARIAN GALAXIES. I. COMPARISON OF THE GALAXY CHARACTERISTICS IN OPTICAL AND FAR INFRARED RANGES

YU. I. IZOTOV, I. YU. IZOTOVA

The statistical study of Markarian galaxies in the optical and far infrared ranges is carried out. The obtained results are compared with the data for sample of the Virgo cluster galaxies. IR-luminosity functions

for Markarian galaxies incorporating both flux measurements and flux upper limits are obtained. Detected and fundetected by IRAS Seyfert galaxies are shown to be undistinguished with their optical and far infrared luminosities. But undetected Hll-galaxies have on the average lesser optical as well as far infrared luminosities in comparison with detected ones. The Markarian galaxies have dust temperature slightly greater than that of the Virgo galaxies. The star formation rate in the Markarian galaxies is shown to be several times larger than in the normal (non-active) spiral galaxies.

ЛИТЕРАТУРА

1. L. K. Deutsch, S. P. Willner, Astrophys. J., 386, L11, 1986.

- 2. J. M. R. Espinosa, R. J. Rudy, B. Janes, Astrophys. J., 312, 555, 1987.
- 3. T. de Jong, P. E. Clegg. B. T. Soifer, M. Rowan-Robinson, H. J. Habing, J. R. Houck. H. H. Aumann, E. Raymond, Astrophys. J., 278, L67, 1984.
- 4. J. M. R. Espinosa, R. J. Rudy, B. Jones, Astrophys. J., 309, 76, 1986.
- 5. J. M. Mazzarella, V. A. Balzano, Astrophys. J. Suppl. Ser., 62, 751, 1986.
- 6. D. Kunth, F. Seure, Inst. Astrophys. Prepr. N114, Paris, 1985.
- 7. H. A. Thronson, C. M. Telesco, Astrophys. J., 311, 98, 1986.
- 8. Б. Е. Маркарян, Астрофизика, 3, 55, 1967; 5, 443, 581, 1969.
- 9. Б. Е. Маркарян, В. А. Липовецкий, Астрофияма, 7, 511, 1971; 8, 155, 1972; 9, 487, 1973; 10, 307, 1974; 12, 389, 657, 1976.
- Б. Е. Маркарян; В. А. Липовецкий, Дж. А. Степанян, Аспрофизика, 18, 225, 397, 1977; 15, 201, 363, 549, 1979; 17, 619, 1981; 16, 5, 609, 1980; 19, 221, 1983; 20, 419, 1984.
- 11. Б. Е. Маркарян, Л.К. Ерастова, В. А. Липовецкий, Дж. А. Степанян, А. И. Шаповалова, Астрофизика, 22, 215, 1985.
- 12. Б. Е. Маркарян, В. А. Липовецкий, Л. К. Ерастова, Дж. А. Степанян, А. И. Шаповалова, Сообщ. САО, 1987 (в печати).
- 13. М. А. Арокелян, Э. А. Дибай, В. Ф. Есипов, Астрофизмка, 6, 39, 1970.
- М. А. Аракелян, Э. А. Дибай, В. Ф. Есипов, Б. Е. Маркарян, Астрофизика, 6, 357, 1970; 7, 177, 1971.
- 15. М. А. Аракелян, Э. А. Дибай, В. Ф. Есипов, Астрофиявыка, 8, 33, 1972; 8, 325, 329, 1972; 9, 325, 1973.
- 16. Э. К. Денисюк, В. А. Липовецкий, Астрофиямка, 10, 315, 1974; 19, 229, 1983.
- 17. Э. К. Денисюк, В. А. Липовецкий, В. Л. Афанасьев, Астрофизика, 12, 665, 1976. 18. И. М. Копылов, В. А. Липовецкий, В. И. Проник, К. К. Чуваев, Астрофизика, 10,
- 483, 1974; 12, 189, 1976.
 G. de Vaucouleurs, A. de Vaucouleurs, H. G. Corwin, Second Reference Catalogue of Bright Galaxies, Texas, 1976.
- 20. M. Dennefeld, F. Sevre, Astron. and Astrophys. Suppl. Ser., 57, 253, 1984.
- 21. M.-P. Veron-Cetty, P. Veron, Sci. Rep. Eur. South. Observ., N4, 1985.
- 22. M.-P. Veron-Cetty, P. Veron, Astron. and Astrophys. Suppl. Ser., 65, 241, 1986.
- 23. G. Helou, Astrophys. J., 311, L33, 1986.
- 24. В. Ю. Теребиж, Астрофивика, 16, 45, 1980.
- 25. Р. А. Кандалян, Астрофизика, 18, 580, 1982; 26, 301, 1987.
- 26. В. П. Решетников, Астрофизика, 24, 33, 1986.

- 27. J. Neyman, E. L. Scott, Confrontation of Cosmological Theories with Observational Data, Symp. No63 IAU, ed. Longair, 1974 (Русск. пер. Космология. Теорин и наблюдения, Мир. М., 1978, стр. 173).
- 28. Y. Avni, A. Solian, H. Tananbaum, G. Zamorani, Astrophys. J., 238, 800, 1980.
- 29. M. H. K. de Grijp, G. K. Miley, J. Lub, T. de Jong, Nature, 314, 240, 1985.

The state of the s

30. М. Дж. Кендалл, А. Стоюарт, Стетистические выводы в связи, Наука, М., 1973.

MI I MARK

A PART OF THE REPORT OF THE PART OF THE PA

and the second of the second o

The same of the sa

The state of the s

many that the state of the stat

appropriate the second of the

and the second s

at the first and the same of t

the state of the s

АСТРОФИЗИКА

TOM 30

ФЕВРАЛЬ, 1989

ВЫПУСК 1

УДК: 524.7—54

ФОРМИРОВАНИЕ И РАННЯЯ ЭВОЛЮЦИЯ ГАЛАКТИК: ОГРАНИЧЕНИЯ НА СВОТОТВА ГОРЯЧИХ ПРОТОГАЛАКТИК

В. Г. БЕРМАН, А. А. СУЧКОВ Поступила 18 августа 1987 Принята к печати 11 января 1988

В рамках «горячей» моделя формирования галактик показано следующее. 1) Дли объяснения массы и химического состава межгалактической среды, массы эвездного компонента и массы рентгеновских корон гигантских эллиптических и опиральных галактик ($M_s \sim 10^{11}~M_{\odot}$) протогалактики должны были нагреваться до температур, примерно в пять раз превышающих «выриальную». 2) Рентгеновская, светимость корон моделей спиральных галактик оказывается меньше, чем у аналогичных моделей эллиптических галактик. При этом на единицу потенциала скрытой массы «звездная» масса спиральных галактик оказывается на порядок больше. 3) Если вначале «горячая» протогалактика компактиа ($R \sim 20~{\rm kmk}$), то эвездный компонент формируется быстро, за время $t \approx 1 \cdot 10^9~{\rm Act}$; если же протогалактика диффузна ($R \sim 100~{\rm kmk}$), то $t \approx (5-7) \cdot 10^9~{\rm Act}$; если же протогалактики протогалактик короны не образуются. 5) Скрытая масса не может быть образована звездами малых масс, которые рождаются в охлаждающихся течениях: такие течения не возникают, если скрытой массы нет взначально.

1. Введение. Данные о химическом составе и массе межгалактической среды (МГС) [1—3], о овязи между химсоставом и массой галактик (см. [4]), о разрыве в возрасте между гало и диском нашей Галактики (см. [5, 6]) и вообще о наличии у галактик нескольких подсистем с резко отличающимися химическими, кинематическими и геометрическими характеристиками [7—13] привели к «торячей» модели формирования галактик [7, 8, 14—16]. Ее идея состоит в следующем. Сверхновые первых поколений звезд нагревают тав протогалактики до температур, превышающих «вириальную», и обогащают его тяжелыми элементами. Протогалактика становится «торячей» и начинает разлетаться. Ее внешние слои уходят в межгалактическое пространство, образуя горячую межгалактическую среду с почти нормальным содержанием железа. Внутренние слои, затормозившись в поле скрытой массы, через несколько миллиардов лет сжимаются к центру, охлаждаются и дают в итоге звездное население с нормальным

кимическим составом. Промежуточные слои образуют квазистационарную горячую корону. При этом объясняется связь между массой и металличностью галактик, а также происхождение подсистем.

В настоящей работе мы исследовали динамику горячих протогалактик с целью получить отраничения на начальные параметры этих систем и выяснить, можно ли в рамках «горячей» модели объяснить непротчворечивым образом данные о галактиках и МГС. Идея работы состоит в том, чтобы найти такие модели «горячих» протогалактик, в которых возможно образование звездного компонента и короны, и при этом есть сброс массы, необходимой для объяснения горячей МГС.

2. О скрытой массе в спиральных и эллиптических галактиках. В «горячей» модели предполагается, что эволюция протогалактики протекает в потенциальной яме темного гало окрытой массы. Данные пожазывают, что в гигантских галактиках при одинаковой эвездной массе, $M_1 \sim 10^{11}~M_{\odot}$, темное гало в случае эллиптических систем примерно на порядок компактиее, чем в спиральных: параметр «компактности» у Е-галактик равен $M_1/R_1 \sim 10^{11}~M_{\odot}$ /кпк, а у S-галактик $M_1/R_2 \sim 10^{10}~M_{\odot}$ /кпк, где M_3 — масса темного гало, R_4 — его радиус [17].

Есть основания считать, что и в спиральных, и в эллиптических галактиках скрытая масса распределена по закону $M_{\star} \propto R$ (см., например, [17]). Ясно, что эта зависимость справеданва аншь до некоторой границы. Однако границу гало R, непосредственно установить трудно. В S-галактиках темное гало удается детектировать по кривым вращения до десятков, иногда до сотни килопарсек. В Е-галактиках с $M_s \sim 10^{11} \ M_{\odot}$ гало простирается по крайней мере до 10-30 кпк, как это следует из данных о горячих коронах [18]. Исходя из этого, мы и выбрали параметры темного гало для моделей гитантских S- и Е-галактик. Далее, можно думать, что к моменту, когда протогалактика становится горячей, темное гало успеет средажсировать. Поэтому, пренебретая влиянием гравитационного поля газа на распределение массы темного гало, мы считаем его поле стационарным. Что касается размеров торячей протогалактики, то разумно предположить, что они ваключены в пределах 10—100 жлж. Мы рассмотрели два крайних случая, $R_{xo} = 20$ жик и $R_{xo} = 100$ кик (компактные и двффувные протогалактики), чтобы посмотреть, как величина $R_{\pi 0}$ влияет на результат. Была рассчитана также модель с $R_{\pi o} = 200$ клк, параметры которой соответствуют галактике М 87.

3. Постановка задачи и основные результаты. Для исследования сферически симметричных моделей протогалактик численно решались уравнения газовой динамики в лангранжевых массовых переменных:

$$\partial R/\partial t = u, \tag{1}$$

$$\partial u/\partial t = -4\pi R^2 (\partial p/\partial M) - GM/R^2 - f(R), \qquad (2)$$

$$\partial \varepsilon / \partial t = -4\pi p \left[\partial (R^2 u) / \partial M \right] - \Lambda \rho / (2\mu m_H)^2, \tag{3}$$

где
$$R$$
 — радиус, t — время, u — скорость, p — давление, $M = \int_{0}^{R} \rho(R') \times$

 \times R'^2dR' — масса газа внутри сферы радиуса R, p — плотность, G — гравитационная постоянная, f(R) — ускорение силы тяжести, созданаемой распределением скрытой массы M, (R), $\varepsilon = 3p/2p$ — внутренняя внергия, $\Lambda(T)$ — функция охлаждения [19], T — температура, $m_H = 1.67 \cdot 10^{-24}$ г, $\mu = 0.6$ — молекулярный вес.

В качестве граничных мы принимали следующие условия: $u|_{M=0}=0$, $p|_{M=M_{xo}}=0$, где M_{xo} — полная масса газа. В начальный момент времени $u=u_0=0$, $T=T_{xo}=$ const; начальная плотность бралась в виде $\rho_{x0}=\rho_c\left(1+R^2/R_{ax}\right)^{-1}$ или $\rho_{xo}=$ const при $R\leqslant R_{xo}$, $\rho_{xo}=0$ при $R\geqslant R_{xo}$; R_{xo} — начальный размер протогалактики.

Величина f(R) задавалась следующим обравом: при $R \leqslant R_a$, $f(R) = \alpha R/R_{a}^2$, при $R_{a} \leqslant R \leqslant R$, $f(R) = \alpha R/R_a$, при R > R, $f(R) = \alpha R/R_a$, где $\alpha = M$, G/R_a , R, — радиус темного гало.

Расчеты локавали, что в эволюции моделей выделяется несколько карактерных стадий и происходит ряд характерных структурных изменений. Вначале горячая «протогалактика» расширяется, скорость газа положительна. С некоторого момента внутренние слои начинают двигаться в обратном направлении, скорость вблизи центра становится отрицательной, плотность шостепенно растет (рис. 1—3). При втом температура до жаких-то лор везде остается высокой, лишь в несколько раз отличающейся от начальной. Но через некоторое время, котда плотность в центре достаточно увеличится, происходит, по существу, фавовый переход: температура в центре быстро падает на несколько порядков, плотность начинает катастрофически нарастать. В результате формируется плотное колодное ядро небольших размеров, $R_N \approx 3-5$ кик, в котором условия крайне благоприятны для звездообразования. Это ядро естественно считать будушим звездным компонентом галактики. Граница ядра очень ревкая, за нейидет разреженная протяженная горячая оболочка, которую столь же естественно рассматривать каж горячую корону галактики.

Параметры ядра и оболочки, характершое время их формирования и установления квавистационарного состояния зависят от начальных условий. В табл. 1—2 представлены результаты для некоторых моделей ко времени установления выхода на квавистационарное состояние. Модели:

разбиты на две труппы, смысл которых ясен из таблиц. Опишем основные результаты по каждой группе и обсудим их.

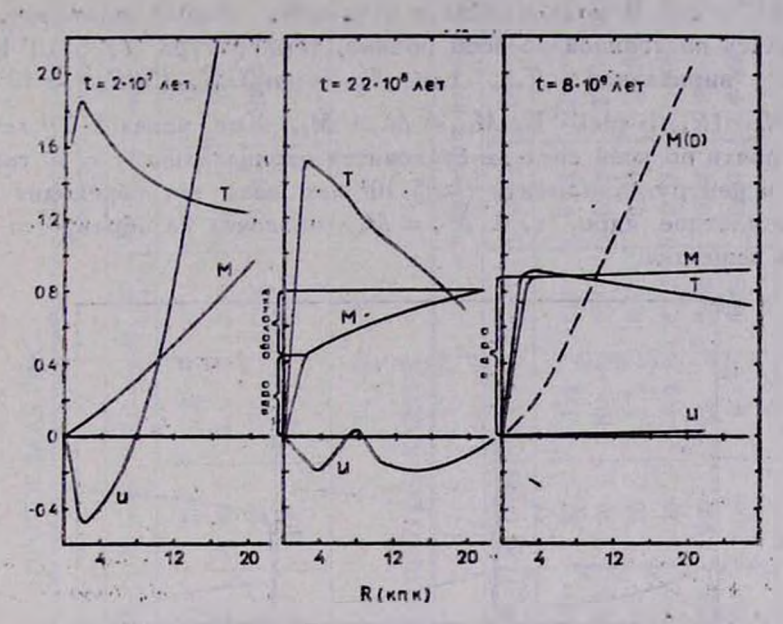


Рис. 1. Профили температуры T, массы M и схорости u для равлечных моментов времени t в модели K93. Единицы измерения: $T=10^7$ K, $M=5\cdot 10^{10}$ M_{\odot} , u=200 км/с, R=1 клк. Штриховой линией изображево начальное распределение массы.

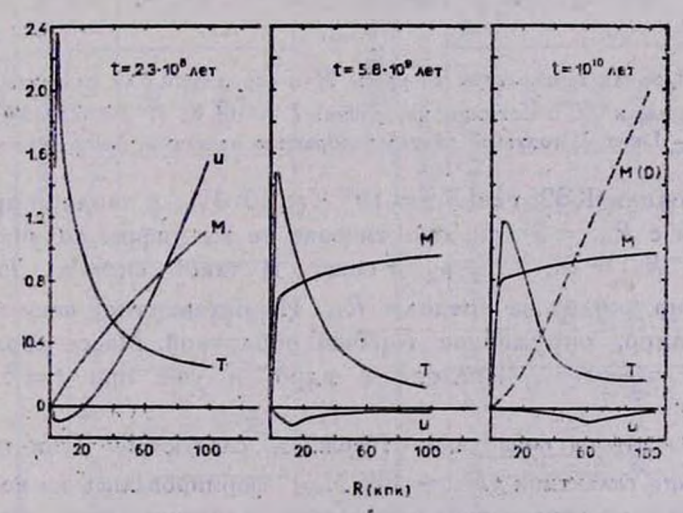
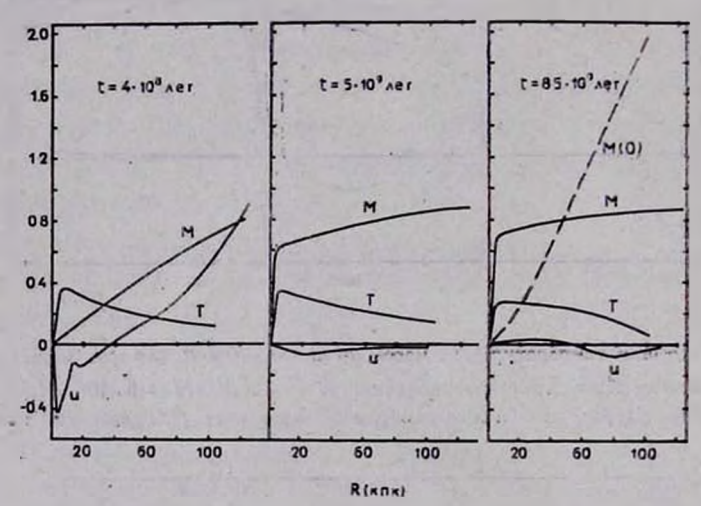


Рис. 2. Профили температуры T, мыссы M и скорости и для различных моментов времени t в модели $A \ni 1$. Единиры вымерения: $T = 10^7$ К, $M = 0.625 \cdot 10^{10}$ M_{\odot} и = 200 км/с, R = 1 жик. Шприховой ливней изображено матальное распределение массы.

I. Компактная «эдашптическая» (КЭ) протогалактика. В моделях КЭ1—КЭЗ средняя плотность газа при t=0 равна $\rho_{cp}=3M_{xo}/(4\pi R_{xo})^3\approx \approx 2\cdot 10^{-25} \ {\rm г/cm}^3$. В модели КЭ1 в начальный момент плотность газа задавалась постоянной во всем объеме, температура $T_{xo}=10^7 \ {\rm K}$ равнялась "вириальной" $T_{\rm vir}$, где $T_{\rm vir}=\mu m_H G M_{\rm tot}/(3k R_{xo})\approx 10^7 (M_{\rm tot}/10^{11}\ M_{\odot})\cdot (R_{xo}/1\ {\rm khk})^{-1}\ {\rm K}$, $M_{\rm tot}=M_{\star}+M_{xo}$. Уже через $5\cdot 10^7$ лет скорость почти по всей системе становится отрицательной, т. е. газ движется к центру. К моменту $t\approx 5\cdot 10^8$ лет весь газ переходит в холодное плотное ядро, т. е. $M_N=M_{xo}$, оболочка не образуется и нет сброса вещества.



Рекс. 3. Профили температуры T, массы M и скорости u для различных моментов времени t в модели ДС1. Единицы измерсния: $T=10^7$ К, M=0.625 10^{10} M_{\odot} , u=200 км/с, R=1 жих. Штриховой линией изображено начельное распределение массы.

Для модели КЭ2, где $T_{xo}=10^8~K\approx 10~T_{\rm vir}$, в таблице приведены результаты с $R_{ax}=2$ кпк; практически те же цифры получились для варианта с $R_{ax}=\infty$, т. е. $\rho_{xo}={\rm const.}~B$ такой системе $75~^0/_0$ газа безвозвратно уходит за пределы R_{xo} . Из оставшегося вещества формируется ядро, окруженное горячей оболочкой. Масса оболочки M_x постепенно убывает, переходя в ядро, и уже при $t=5\cdot 10^9$ лет $M_x\approx 0$.

Эти результаты позволяют утверждать следующее. Если гигантские влаиптические галактики ($M_s \sim 10^{11}~M_{\odot}$) формировались из компактных протогалактик, то температура протогалактик должна быть заключена в интервале от $10^7~\rm K$ до $10^8~\rm K$; она в несколько раз, но не более, чем на порядок, должна превосходить вириальную температуру. Действительно, при

Параметры моделей									Розультаты расчета:				
Модель	M x 0 (M O)	RIR)	Ras (mum)	T _{x0} (K)	T_{xo}/T_{vir}	$M_{\bullet}(M_{\odot})$	R, (RIR)	Ray (REER)	M _N /M _{xo}	M_x/M_{xo}	Lz (spr/c)	M_{ej}/M_{s}	
кәі	1011	20	00	107	1	2-1012	20	1.2	1	0	0	0	
KƏ2	1011	20	2	108	10	2 · 1012	20	1.2	0.25	0	0	0.75	
каз	1011	20	2	5.107	5	2 · 1012	20	1.2	0;44	0.03	0.8-100	0.53	
KC1	1011	20	2	107	5	2.1012	100	6	0.78	0	σ	0.22	

Таблица 2

МОДЕЛИ ДИФФУЗНЫХ ПРОТОГАЛАКТИК

Параметры моделей								Результаты расчета				
Модоль.	M _{xo} (M _O)	R _{xo} (REE)	Rar (Run)	<i>T</i> _{xo} (K)	T_{xo}/T_{vir}	$M_{\bullet}(M_{\odot})$	R, (RIIR)	Ray (RIIR)	M_N/M_{xo}	M _x /M _{zo}	L, (spr/c)	M_{ej}/M_{x}
431	1.25-1011	100	10	107	5	2 · 1012	20	1.2	0.4	0.03	1.2 104	0.57
492	1.25.1011	100	10	107.	5	2.1013	20	10	0.4	0.03	1.2-10 ^u	0.57
Д Э3	1.25-1011	100	50	107	5	2.1013	20	1.2	0.33	0.03	1.2.1011	0.64
494	1.25 1011	100	10	2 - 107	10	2 - 1019	20	1.2	0.22	0.03	1.2-104	0.75
ДӘ 5	1012	200	20	2 - 107	1	3 . 1013	200	12	0.46	0.44	1043	0.1
Д€1	1.25-1011	100	10	107	5	2.1012	100	6	0.35	0.07	2.4.1040	0.58

 $T_{xo} \approx T_{vir}$ (модель KЭ1) весь газ коллансирует на центр системы, и нельзя объяснить происхождение горячей МГС и корон галактик. В то же время при $T_{xo} \approx 10~T_{vir}$ (модель КЭ2) слишком много газа покидает галактику и слишком мало остается на формирование звездного компонента.

Этот вывод подтверждают расчеты модели КЭЗ, в которой $T_{xo} = 5 \cdot 10^7 \approx 5 \ T_{\rm vir}$. Как видно из рис. 1 и табл. 1, модель удовлетворяет требованиям, которые сформулированы во введении. 1) Часть массы газа, $M_N \approx 0.44 \ M_{xo} = 4.4 \cdot 10^{10} \ M_{\odot}$, образует холодное плотное ядро, интерпретируемое как область, где происходит образование звездного компонента галактики. 2) Ядро окружено торячей оболочкой, которую можло отождествить с рентгеновской короной. Масса оболочки $M_x \approx 3 \cdot 10^9 \ M_{\odot}$, ее рентгеновская светимость $L_x \approx 0.8 \cdot 10^{41}$ эрг/с, температура $T_x \approx 10^7 \ K$ и размер $R_c \approx 20$ ких близки к данным, полученным для горячих корон эллиптических галактик (R_x пражтически совпадает с R_z , далее плотность газа заметно падает). 3) Половина начальной массы покидает талактику; такой сброс массы может объяснить происхождение горячей МГС.

II. Диффузная «эллиптическая» (ДЭ) протогалактика. В этих моделях начальная средняя плотность газа на два порядка меньше, чем в предыдущем случае: $\rho_{cp} \approx 2 \cdot 10^{-27} \,$ г/см³. На рис. 2 для разных моментов времени изображено поведение u, M, T з модели ДЭ1, в которой T_{xo} / $T_{vir} \approx 5$. Параметры ядра и оболочки, доля массы газа, покинувшего систему, в данной модели практически такие же, как и в модели КЭЗ, а которой так же T_{xo} / $T_{vir} \approx 5$.

Любопытно следующее. В ядро, раднус которого составляет $R_N \approx 3-5$ ких, вошел газ, занимающий в момент t=0 объем вплоть до $R\approx 50$ ких. При этом в процессе эволюции часть газа сначала сильно растекается, достигая расстояний $R\approx 100$ ких, и только потом возвращается обратно, стятиваясь в конце концов в ядро (см. также [21]).

В модели ДЭ1 величина скрытой массы знутри сферы радиуса R=5 клк составляет примерно $5 \cdot 10^{11}~M_{\odot}$. В модели ДЭ2 мы взяли $R_{\rm av}=10$ клк, при этом $M_{\rm v}|_{R=5\,{\rm min}}=10^{11}~M_{\odot}$. Как видно из табл. 2, такое изменение почти не влияет на эволюцию системы.

Модель ДЭ4 отличается от ДЭ1 в два раза большей начальной температурой, $T_{xo}=2\cdot 10^7$ К. Масса ядра M_N получилась здесь в два раза меньше, чем в модели ДЭ1, масса газа M_{ej} , покинувшего галактику, возросла с 57% до 75%. Параметры оболочки T_x , M_x и L_x не изменились. В целом результаты расчетов модели ДЭ4 оказываются близкими к результатам модели КЭ2, у которой то же отношение начальной температуры к вириальной. $T_{xo}/T_{vir}\approx 10$.

III. «Спиральная» протогалактика. В данных моделях скрытая масса $M.=2\cdot 10^{12}~M_{\odot}$ распределена в пределах $R_*=100$ кпк, так что отношение M_*/R_* . по сразнению с моделями «эллиптических» протогалактик уменьшено в пять раз. Начальные параметры газа в модели компактной «спиральной» протогалактики (КС1) совпадают с моделью КЭ1, в модели ДС1—с ДЭ1.

Несмотря на одинаковую величину $T_{xo}/T_{vir}\approx 5$, модели КС1 и ДС1 вволюционируют существенно по-разному. Если в КС1 быстро, за время $t\approx 5\cdot 10^8$ лет, большая часть газа переходит в ядро $(M_N\approx 0.78~M_{xo})$ и только 22% покидает систему (см. табл. 1), то в модели ДС1 (см. табл. 2 и рис. 3) в МГС уходит уже примерно 58% массы газа, а 35% образует ядро. Внутри начальных размеров, $R_{xo}=100$ кпк, остается $\approx 7\%$ массы газа. Его температура $T_x\approx 2\cdot 10^8$ К близка к вириальной температуре. Рентгеновская светимость газа в области с радиусом R=40 кпк составляет $L_x\approx 2.4\cdot 10^{40}$ эрг/с, внешние слои оболочки лишь немного увеличивают это значение.

Сравнение модели ДС1 с моделью ДЭ1 показывает, что даже значительное уменьшение параметра компактности скрытой массы M_{*}/R_{*} при сохранении самой величины M_{*} почти не меняет значений сброшенной массы газа и массы ядра. Однако светимость горячей оболочки в модели ДС1 даже в пределах 40 кпк в пять раз меньше, чем в ДЭ1 з пределах 20 кпк.

Отсюда выводы: 1) Если спиральные и эллиптические галактики образовались из диффузных горячих протогалактик, то наши результаты объясняют, почему при одинаковой звездной массе, $M_* \sim 10^{11}~M_{\odot}$, у Егалактик есть мощные короны, а у S-талактик их нет или они слабы. 2) Одновременно в этом случае находит объяснение тот факт, что на единицу параметра компактности темного гало M_*/R_* (или потенциала GM_*/R) звездная масса спиральных галактик на порядок зыше, чем эллиптических [17].

IV. Темп формирования «ввездного» компонента. Зависимость скорости эволюции от степени компактности протогалактики. Сравнение поздних стадий эволюции моделей ДЭ1, ДЭ4 и моделей КЭ3 и КЭ2 показывает, что масса ядра M_N , сброшенная масса M_{ej} и параметры оболочки в моделях вланптических протогалактих слабо зависят от степени компактности и определяются, главным образом, отношением T_{xo}/T_{vir} . Оказалось, однако, что различия в степени компактности горячей протогалактики сказываются на темпе оволюции системы. На рис. 4 изображены зависимости массы ядра M_N от эремени для моделей КЭ3, ДЭ1 и ДЭ3, у которых одянакова величина T_{xo}/T_{vir} (модель ДЭ3 отличается от ДЭ1 в пять раз

большим значением R_{ax} , т. е. в ней газ в начальный момент более равномерно распределен по системе). Как видно ив рисунка, если в модели КЭЗ ядро формируется всето за $t\approx 1.5\cdot 10^9$ лет, то в ДЭ1 — уже за $t\approx 7\cdot 10^9$ лет, а в ДЭЗ этот процесс растятивается до $15\cdot 10^9$ лет (75% массы ядра формируется за $8\cdot 10^9$ лет). Окончательные массы ядер во всех трех моделях примерно одинаковы. Таким образом, увеличение размеров газового облака в шять раз приводит к замедлению темпа формирования ядра тоже примерно в шять раз, а пятикратное увеличение параметра R_{ax} замедляет этот процесс в два раза.

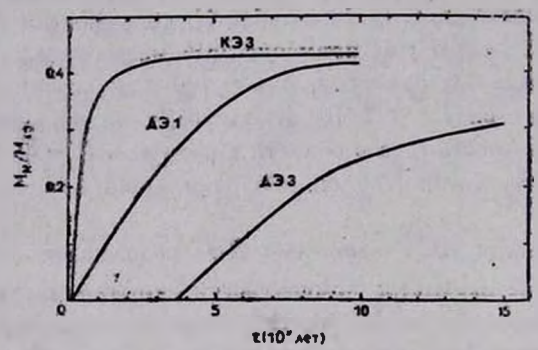


Рис. 4. Зависимость массы ядра от времени в моделях КЭЗ, ДЭ1 и ДЭЗ.

Приложение этих результатов к формированию галактик означает, что основное звездообразование в гигантских эллиптических галактиках может произойти очень быстро и завершится в течение первого миллиарда лет после начальной вспышки звездообразования, нагревшей протогалактику. В втом случае горячие протогалактики должны быть компактными. Если протогалактики были диффузными, то основное эвездообразование могло растягиваться на 5—7 · 10° лет и больше.

Заметим, что возможное затягивание звездообразования в валиптических галактиках на время $\sim 10\cdot 10^9$ лет может быть обязано другому обстоятельству. Фаза горячей протогалактики может быть рекуррентной, так как звездообразование в конце одной фазы может дать начало следующей «горячей» фазе. Продолжение звездообразования отложится при втом до новой стадии формирования холодного ядра. Если последняя впока интенсивного звездообразования в эллиптических галактиках была всего лишь 5—7·10° лет назад [20], то такой механиям рекуррентности может объяснять столь позднее звездообразование.

Различие в динамике компактных и диффузных протогалактик обусловлено в первую очередь равличием в плотности газа и связано с тем, что плотность определяет скорость объемных потерь энергии. Это хорошо видно при сравнении моделей КЭ1 и ДЭ5. У них одинаково отношение T_{∞} / T_{vir} , но начальная средняя плотность в ДЭ5 на два порядка меньше, чем в модели КЭ1: у всех наших диффузных моделей, в том числе ДЭ5, $\rho_{\text{cp}} \approx 2 \cdot 10^{-27} \, \text{г/см}^3$. Как видно из табх. 1—2, в обеих моделях почти весь газ остается в пределах начальных размеров. Однако если в ДЭ5 он одинаково распределен между ядром и оболочкой, то в КЭ1 весь газ быстро остых и перешел в ядро. Кстати, отметим, что параметры оболочки в модели ДЭ5 ($T_x \approx 2 \cdot 10^7 \, \text{K}$, $M_x \approx 5 \cdot 10^{11} \, M_{\odot}$, $L_x \approx 10^{43} \, \text{врг/c}$) согласуются с наблюдениями рентгеновской короны центральной галактики скопления Дева — галактики М87.

Самым заметным обравом различия в начальных распределениях плотности сказываются на вволющии моделей «спиральных» протогалактий КС1 и ДС1. Здесь сильно разнятся и массы ядёр M_N , и массы оброшенього газа M_{ei} (см. табл. 1 и 2). Несмотря на то, что в обеих моделях $T_{xo} \approx 5~T_{vir}$, т. е. достаточно велико, вффекты охлаждения в КС1 из-за большой начальной плотности оказались столь существенными, что в ядро перешло почти 80% всего вещества, и только около 20% смогло покинуты систему. Возможно, для того, чтобы получить в компактной «спиральной» прстогалактике $M_N \approx M_{ej}$, следует T_{xo} брать в несколько раз больше принятой нами величины 10^7 К.

V. Теплопроводная протогалактика. Для учета теплопроводности в правую часть уравнения (3) добавляется член $4\pi w/\partial M$, где $w=4\pi pR^4\times \times (T)(\partial T/\partial M)$, $\times (T)=5\cdot 10^{-7}T^{5/2}$ врг/с см K — ковффициент влектронной теплопроводности. Оказалось, что теплопроводность существенно влияет на эволюцию протогалактики (см. также [21]). Во всех случаях имеет место следующая картина: достаточно быстро (в зависимости от начальных размеров системы) формируется центральное холодное ядро, а остальной газ покидает галактику; в короне газа не остается. При этом, например, в модели ДЭ2 M_{ej}/M_{xo} возрастает до 0.75, а M_X/M_{xo} падает до 0.25; в модели ДЭ5 M_{ej}/M_{xo} возрастает до 0.3, а M_N/M_{xo} — до 0.7. Такое поведение моделей связано, очевидно, с тем, что теплопроводность переносит тепло из центра на периферию, в результате чего внешние слои газа, получая внертию от внутренних, быстро уходят из системы, а внутренние соответственно быстро охлаждаются и коллапсируют.

Невозможность образования корон заставляет думать, что в горячей протогалактике существуют магнитные поля, подавляющие теплопроводность. Вероятно, они попадают туда вместе с веществом сверхновых (см. [21]) и вместе с выброшенным газом протогалактики оказываются в МГС. Согласно [22], в гало скопления Персей поле равно $B \sim 10^{-7} \, \Gamma c$; этогоболее чем достаточно для подавления теплопроводности.

" VI. Протогалактика без скрытой массы. Чтобы проверить гипотезу работы [23] о том, что «темное» гало образозалось из звезд малой массы, жоторые рождаются в охлаждающемся течении, мы рассмотрели следующие модели. Начальное поле задается распределением массы $M=40^{11}\,M_{\odot}$ в пределах R=5 ких, что имитирует звездный компонент гигантских галактик. Эта масса погружена в газ с параметрами МГС: Т = = $10^7 - 10^8$ K, $\rho = 10^{-27}$ r/cm³. Cornacho [23], chequet omnuato что злесь должно вовникать охлаждающееся течение, способное за время $\sim 10^{10}$ дет превратить массу $M \sim 10^{12} \ M_{\odot}$ в невидимые звезды малых масс. Однако втого не происходит: ни в одной из моделей охлаждающееся течение не возникало. Результат достаточно очевиден. Температура газа значительно превышает вириальную температуру, $T_{\rm vir} \sim 10^6$ K, поэтому газ не «чувствует» гравитационного поля галактики. Время охлаждения газа в пределах галактики такое же, как и в окружающей среде, и для типичных параметров МГС превышает хаббловское время. Таким образом, гипотеза [23] не подтверждается прямым расчетом соответствующих моделей, и скрытая масса вряд ли может формироваться за счет охлаждающихся течений.

Ростовский государственный университет

FORMATION AND EARLY EVOLUTION OF GALAXIES: CONSTRAINTS ON THE PROPERTIES OF "HOT" PROTOGALAXIES

V. G. BERMAN, A. A. SUCHKOV

Within the frames of the "hot model" of the formation of galaxies the following is shown. 1) In order to account for the mass and metal abundance of the hot intracluster gas, the mass of stellar component and X-ray coronae of giant elliptical and spiral galaxies $(M_* \sim 10^{11} M_{\odot})$, one must assume that protogalaxies were heated up to temperatures of about five times greater than the virial temperatures. 2) The X-ray luminosity of coronae of spiral galaxies must be significantly smaller than that of massive ellipticall galaxies. The stellar mass per unit of gravitational potential of dark balo in spirals must be ten times larger than in ellipticals. 3) Initially compact ($R_{x0} \sim 20$ kpc) hot protogalaxies form their stellar component in a short time, t = 1.109 yr. For diffuse protogalaxies ($R_{re} \sim 100$ kpc) this time stretches up to $(5-7) \cdot 10^9$ yr. 4) If a protogalaxy is thermally conductive it does not form a hot coronae. 5) The dark halos cannot be constituted of small mass stars forming in cooling flows: no cooling flows develop if massive dark halos are absent initially.

ЛИТЕРАТУРА

- 1. S. S. Holt, R. McCray, Ann. Rev. Astron. and Astrophys., 20, 323, 1982.
- 2. R. Rothenflug, L. Vigroux, et al., Astrophys. J., 279, 53, 1984.
- 3. R. Rothenflug, F. Arnaud, Astron. and Astrophys., 144, 431, 1985.
- 4. J. R. Mould, Publ. Astron. Soc. Pasif., 96, 773, 1984.
- 5. K. Janes, P. Demarque, Astrophys. J., 264, 206, 1983.
- 6. В. А. Марсаков, А. А. Сучков, Астрон. ж.. 62, 687, 1985.
- 7. В. А. Марсаков, А. А. Сучков, Письма з Астров. ж.. 2, 381, 1976.
- . 8. A. A. Suchkov, Astrophys. and Space Sci., 77, 3, 1981.
- 9. G. Gilmore, R. F. G. Wyse, Astron. J., 90, 2015, 1985; Nature, 322, 806, 1986.
- 10. f. Norris, Astrophys. J. Suppl. Ser., 61, No. 4, 1986.
- 11. J. Bahcall, M. Schmidt, Sonetra, Astrophys. J., 265, 730, 1983.
- 12. P. C. van den Krutt, S. Searl, Astron. and Astrophys., 110, 61, 1982.
- 13. J.-L. Nieto, J.-L. Vidal, Astron. and Astrophys., 135, 190, 1984.
- 14. Л. С. Марочник, А. А. Сучков, Галактика, Наука, М., 1984, стр. 82, 194.
- 15. А. А. Сучков, Астрон. цжркуляр, № 1421, 1986.
- 16. А. А. Сучков, В. Г. Берман, Ю. Н. Мишуров, Астров. ж., 64, 708, 1987.
- 17. А. А. Сучков, Астрофизика, 28, 279, 1988.

244

- 18. W. Forman, G. Jones, W. Tucker, Astrophys. J., 293, 102, 1985,
- 19. С. А. Каплан, С. Б. Пикельнер, Физика межзвездной среды, Наука, М., 1979.
- 20. R. W. O'Connell, Astrophys. J., 236, 430, 1980; 257, 89, 1982.
- 21. А. А. Сучков. В. Г. Берман, Астрофизика, 28, 87, 1988; Астрон. циркуляр, ... № 1441, 1986
- 22. M. M. Lau, E. C. M. Young, 19-th Int. Cosmic Ray Conf., 1, 230, 1985.
- 23. A. C. Fabian, K. A. Arnaud, et al., Astrophys. J., 305, 9, 1986.

АСТРОФИЗИКА

TOM 30

ФЕВРАЛЬ, 1989

выпуск 1

УДК: 524.4—54

ЭВОЛЮЦИЯ СКОПЛЕНИИ ГАЛАКТИК

С. Г. СИМАКОВ, С. Ф. ШАНДАРИН Поступила 24 октября 1987 Принята к печати 8 мая 1988

Обсуждается проблема вволюции ансамбля скоплений галактик. Иерархический и блинный сценарии образования крупномасштабной структуры предскавывают быстрое уменьшение характерной массы скоплений с ростом 2. Прв втом нерархическая модель предскавывает рост числа скоплений с увеличением 2, в блинная модель — его умёнишение, что, в привидии поэволяет выбрать модель на освове наблюдений. В обеих моделях вволюций столь быстрая, что ее, по-видимому, можно наблюдать даже при z ≤ 0.5.

1. Введение. Исследование эволюции интетральных параметров скоплений талактик (таких, как их числа в единице сопутствующего объема, характерной массы и т. п.) должно дать важные сведения об образований структуры Вселенной и о природе скрытой массы.

Скопления галактик, среди которых наиболее четко и однозначно выделяется класс ботатых скоплений, или скоплений Эйбелла, являются наиболее массивными объектами, обособленными от общего (хаббловского) расширения Вселенной. Очень грубо богатое скопление характеризуется радиусом Эйбелла $r_A=3h_{50}^{-1}$ Мпк, где h_{50} — безравмерная постоянная Хаббла, выраженная в единицах 50 км с $^{-1}$ Мпк $^{-1}$, и массой, заключенной внутри этого радиуса $\sim 10^{15}~M_{\odot}$. При этом основная доля массы скопления заключена в скрытом веществе, о чем говорит большое отношение массы к светимости $M/L \sim 200~(M/L)_{\odot}~h_{50}$ [1].

Богатые скопления талактик являются протяженными рентгеновскими источниками, в которых основной вклад в рентгеновскую светимость дает горячий межпалактический гав скоплений.

Этой статьей мы хотим привлечь внимание к важнейшей особенности богатых скоплений, а именно — к их эволюции. Наряду с вволюцией, связанной с внутренними динамическими процессами релаксации, существенен процесс роста массы скоплений, который будет обсуждаться в данной работе.

Проблема вволюции скоплений и наблюдательного проявления этой распющии обсуждалась в работе [2]. Отличие настоящей статьи состоит в более подробном анализе эволюции модели блинов, которая реализуется, когда в спектре малых возмущений плотности на линейной стадии присутствует крутой спад на масштабе богатых скоплений. Типичным примером такой модели является нейтринная Вселенная [3].

Рост характерной массы скоплений определяется двумя принципнально различными процессами: притоком темного вещества в виде галактик или газа, которые до этого не входили в скопления, и слиянием более мелких скоплений, образовавшихся на предшествующей стадии. Хотя оба процесса, вообще говоря, могут идти одновременно, приток вещества более характерен для сценария блинов на стадии хорощо развитой ячеистой структуры, тотда как слияние скоплений более типично для иерархической модели. В иерархической модели происхождение горячего газа в скоплениях, по-видимому, овязано в основном со вэрывами сверхновых в талактиках, входящих в скопления. Истечение газа из скопления, так же, как и аккреция первичното газа на скопления в втой модели, вероятно, играет менее важную роль.

Вначале будут даны простые оценки среднего числа окоплений в модели блинов, затем для сравнения мы приведем оценки числа и характерной массы скоплений в иерархической модели, в предположении, что спектр на линейной стадии имел простой степенной вид.

2. Скопления в модели блинов. Модель блинов описывает образоваиме структуры при условии, что в спектре возмущений на линейной стадии на некотором масштабе образуется резжий спад со стороны коротких волн (больших k). Типичным примером блинного сценария является образоваиме структуры в нейтринной модели Вселенной [3—5]. Все качественные черты блинного сценария сохраняются и в модели с нестабильными частидами [6], однако обсуждаемая здесь вволюция идет заметно медленнее.

В рамках приближенного решения Зельдовича с помощью расчетов, описанных в [7, 8], можно довольно хорошо оценить долю массы μ , вошедшую в блины, в зависимости от z и амплитуды возмущений, которая здесь характеризуется величиной $\delta_0 = \langle (\delta \rho/\rho)_{\text{анн.}} \rangle^{1/2}$ — возмущением плотности, рассчитанным по линейной теории, в момент z=0. При втом стоит упомянуть, что доля массы, вошедшей в блины, нейтринного компонента μ , вообще говоря, немного отличается от соответствующей доли массы барионного компонента μ (в начале процесса зарождения блинов μ , ≈ 1.5 μ (в), но здесь мы не делаем различия между μ , и μ и считаем их примерно равными, μ , $\approx \mu$ ϵ ϵ .

На рес. 1 воказано, как μ аволюционирует с изменением z при разных δ_0 . Обращаем веимание на довольно сильную зависимость $\mu_0 = \mu$ (z=0) от δ_0 : при $\delta_0 = 1$ в блины входит более $20\,^0/_0$ вещества, а при $\delta_0 = 3\,^0$ ро.85. Зависимость от z также очень сильная: "при z=0.6 при $\delta_0 = 1$ в блины входит только $1\,^0/_0$ массы, что, очевидно, очень трудно совместить с существованием галактик при $z\gtrsim 1$.

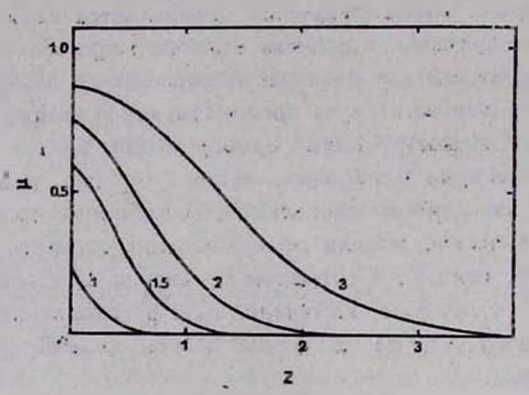


Рис. 1. Зависимость доли массы, вошедшей в блины μ от z при различной ам платуде неоднородностей при z=0, рассчитанной по [линейной теории ($\Omega_0=1$)* Цефры у кривых — величина δ_0 : $\delta_0=\langle \left((\delta \rho/\rho \right)_{\rm лиц.} \right) |_{z=0}^{1/2}$.

Следует подчеркнуть, что в блинной теории р является абсолютно верхней границей доли массы, которая может содержаться в галактиках или скоплениях, так как галактики и скопления образуются только из вещества, испытавшего сжатие в блины. В действительности, учитывая, что от 50% (в барионной Вселенной) до 80% (в нейтринной Вселенной) барионного газа остается горячим ($T > 10^8$ K) после сжатия в блинах, на долю галактик приходится значительно меньше барионного вещества, $\approx (0.1 \div 0.3)$ р.

Немното позднее масса в блинах (т. е. скрытое вещество, галактики и барионный газ, не входящей в состав галактик) начинает перераспределяться, образуя стущения в виде нитевидных структур, а затем и компактных концентраций — протоскоплений галактык [9].

Хорошо известно, что блины начинают образовываться в окрестности точек максимумов (в лагранжевых координатах) наибольшего главного значения тензора деформации α [10]. Как показано в работе [9], положения скоплений галактик (снова лагранжевы координаты), по-видимому, сильнее коррелируют с максимумами наименьшего главного значения γ (в каждой точке $\alpha \gg \beta$, $\beta \gg \gamma$). Блины зарождаются в момент времени когда

$$B(z) \cdot a_m = 1, \tag{1}$$

где $\alpha_m B(z)$ — функция, определяющая рост возмущений в растущей моде линейной теории гравитационной неустойчивости (при $\Omega_0 = 1$, $B(z) = (1+z)^{-1}$), α_n — величина максимума. Аналогично, условие для момента варождения скопления можно приближенно записать как

$$B(z)\cdot\gamma_{m}=1, \qquad (2).$$

где 7 — величина максимума наименьшего собственного значения.

Если известны средние плотности максимумов α и γ различной высоты, то с помощью формул (1), (2) можно рассчитать среднюю плотность (число штук в единице объема) образовавшихся блинов или скоплений в зависимости от z. Плотность максимумов α была рассчитана в работах [7, 8], γ — в [11]. Для удобства соответствующие соотношения приведены в приложении.

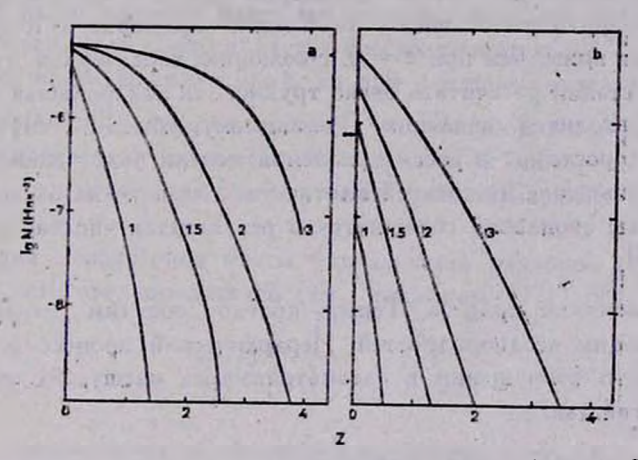


Рис. 2. Средняя плотность числа блинов (максимумов а) (рис. Za) и скоплений (максимумов 7) (рис. Zb) в 1 Млк³ в зависимости от z. Цифры у кривых так же, как и на рис. 1, обозначают амплитуку возмущений. Стрелка у вертикальной оси обозначают воблюдаемое число скоплений Эйбелла в 1 Мпк³.

На рис. 2 показана зависимость средней плотности числа образовавшихся блинов и «скоплений» — максимумов γ — в 1 Мпк³, в зависимости от 2, при равличной амплитуде неоднородностей δ_0 , в модели с $\Omega_0=1$. В представленном днапазоне амплитуды $1\leqslant\delta_0\leqslant 3$ к моменту z=0 образовались практически все блины, поэтому плотность числа блинов при z=0 во всех трех случаях отличеется мало: $N_{\rho}(\delta_0=1)\approx 3.6\cdot 10^{-6}$ Мпк⁻³, а. $N_{\rho}(\delta_0=3)\approx 6.3\cdot 10^{-6}$ Мпк⁻³.

Совсем иная ситуация в случае скоплений (максимумов 7). Их плотность при z=0 изменяется почти на два порядка: при изменении δ_0 от 1 до 3 она минимальная при $\delta_0=1$ $N_c\approx 9\cdot 10^{-8}$, что примерно на порядок меньше плотности скоплений Эйбелла, а при $\delta_0=3$ $N_c\approx 5.5\cdot 10^8$, что примерно в 8 раз больше плотности айбелловских скоплений ($R\geqslant 1$). Согласие с наблюдениями достигается при $\delta_0=1.5$, что согласуется с данными численных расчетов [19]. Однако нужно отметить, что двухточечная корреляционная функция богатых скоплений, согласно численным расчетам [9], примерно в 10 раз меньше наблюдаемой даже при $\delta_0=2$.

Благодаря отмеченной высокой чувствительности плотности числа скоплений к амплитуде неоднородностей, можно с большой точностью укавать амплитуду $\delta_0 = 1.5$. При этом $\delta_0 < 1.2$ и $\delta_0 > 2$ исключаются практически наверняка.

Эволюция плотности числа скоплений при $\delta_0 = 1.5$ с z происходит очень быстро: при z = 0.5 число сконлений примерно в 10 раз, а при z = 1 в 100 раз ниже, чем при z = 0. Эволюцию характерной массы скоплений на этой стадии рассчитать очень трудно, так как большая часть массы блинов не входит в скопления. По-видимому, убывание типичной массы скоплений с ростом z в рассматриваемой модели будет даже более быстрым, чем уменьшение их средней плотности. Указание на очень быструю вволюцию массы скоплений содержится в результатах численного моделирования [9, 13].

3. Иерархический процесс. Теперь кратко обсудим иерархическую картину эволюции неоднородностей. Иерархический процесс осуществляется, если спектр возмущений в рассматриваемых масштабах имеет сравнительно пологий наклон

$$\delta_k^2 \propto k^n, \\ -1 \leqslant n \leqslant 1. \tag{3}$$

Часто и при более крутых наклонах $-3 \le n \le -1$ и $1 < n \le 4$ (3) считают, что процесс скучивания является иерархическим, однако это не совсем точно, хотя некоторые черты иерархического процесса сохраняются и при $-3 \le n \le -1$, рассматривая нелинейную эволюцию всех меньших масштабов, нужно учитывать организующее влияние большого масштаба, где наклон спектра становится более пологим [14]. При отсутствии излома в спектре при малых k нарушается однородность по возмущениям потенциала, так как $\Delta_k^2 \propto k^{-4} \delta_k^2 \propto k^{n-4}$ растет слишком круто при $k \to 0$, если n < -1 (здесь Δ_k — спектр потенциала начальных возмущений $\delta \Phi$, $\delta \rho / \rho \propto (\partial^2/\partial q_1^2) \delta \Phi$).

При более строгом рассмотрении иерархическое образование крупных структур из мелких естественно разделяется на два случая:

- 1) Спектр даминых воли достаточно слаб, $\delta_k^2 \propto k^n$, n > 1, так что нелинейный процесс генерации длинных воли из коротких является более сильным, чем линейный рост неоднородностей, имеющихся в этих масштабах.
- 2) Спектр длинных воли убывает сравнительно медленно при $k \to 0$ или даже растет, но также не слишком быстро $\propto k^n$, $-1 \leqslant n \leqslant 1$ (3). В этом случае структуры определенного масштаба возникают постольку и тогда, когда первичные возмущения в данном масштабе M/M достигают амплитуды порядка единицы. Это согласуется с общепринятой квазилинейной теорией иерархического процесса.

На каждом этапе иерархического процесса более крупные объекты образуются путем слияния менее массивных объектов, образовавшихся ранее. При этом, если среда является бесстолкновительной (слабо взаимодействующие частицы, галактики), то при слиянии отдельные объекты быстро ($t \sim (G_{\rm P})^{-1/2}$) теряют свою индивидуальность, растворяясь в гладком распределении плотности, имеющем один максимум плотности в центре [15, 16]. Здесь мы не обсуждаем, как образуются самые первые объекты.

Эволюция характерной массы определяется наклоном спектра (3) и скоростью роста неоднородностей (см., например, [17]), ($\Omega_0 = 1$)

$$\frac{M_c(z)}{M_0} \approx (1+z)^{-\frac{6}{n+3}},\tag{4}$$

где M_0 — характерная масса объектов в настоящее время (z=0). Поскольку основная масса вошла в объекты еще на стадии образования самых маломассивных образований, то в рамках иерархического сценария основным источником роста характерной массы скоплевий является слияние скоплений друг с другом. Повтому в рассматриваемом случае рост характерной массы скоплений сопровождается соответствующим уменьшением их числа в единице сопутствующего объема, так что $M_c(z) \cdot N_c(z) \approx \text{const}$,

$$\frac{N_e(z)}{N_0} \approx (1+z)^{\frac{6}{n+3}},\tag{5}$$

где N_0 — средняя плотность скоплений при z=0.

В модели холодного скрытого вещества в масштабе скоплений спектр имеет наклон n=-1, поэтому в этой модели (при $\Omega_0=1$) $M_c(z)\propto 5-21$

 $\propto (1+z)^{-3}$, а $N_c(z) \propto (1+z)^{-3}$ [2]. Таким образом, при $z \approx 1$ характерная масса скоплений должна быть в 8 раз меньше современного значения, а средняя плотность в единице сопутствующего пространства в 8 раз больше.

4. Обсуждение. Ботатые скопленяя галактик являются напбольшими объектами Вселенной, которые уже полностью обособились от общего расширения Вселенной. При их образовании и вволющии главную роль итрают гравитационные процессы. Газодинамические и тепловые процессы важны для газового компонента скоплений и рентгеновских свойств, но мало вляяют на их общую эволюцию. Важнейшей чертой скоплений является чрезвычайно быстрый темп вволюции (см. также [2]).

Обе рассмотренные вдесь модели образования структуры Вселенной (блинная и иерархическая) предсказывают уменьшение характерной массы скоплений с ростом z, но в блинной модели вволюция массы происходит быстрее. Однако средняя плотность скоплений в единице сопутствующего объема в обсуждаемых моделях эволюционируют различно: в нерархической модели в прошлом число скоплений было вначительно больше, чем сейчас, а в модели блинов — значительно меньше. Темп эволюции настолько быстрый, что эволюцию ансамбля скоплений, по-видимому, можно заметить при сравнительно малых $z \approx 0.3 \div 0.5$.

Характерной чертой эволюции скоплений в иерархической модели является постоянство общей массы скоплений. Действительно, легко убедиться, что $M_c(z) \cdot N_c(z) = \text{const.}$ Это, естественно, объясняется, если предположить, что еще на ранней стадии вся масса оказалась сосредоточенной в компактных сгущениях (например, галактиках), которые затем растут по массе только благодаря слияниям друг с другом.

Однако ото предположение довольно приближенно, свидетельством чему является современная структура Вселенной — далеко не вся барионная масса галактики и газ соредоточены в скоплениях галактик. Таким образом, гипотеза автомодельности, на которую спирается Кайзер в своей работе [2], требует дополнительного сбоснования.

Как видим, простой подсчет числа скоплений (особенно богатых скоплений), т. е. установление зависимости N_c (z), повволяет сделать выбор того или иного космологического сценария формирования крупномасштабной структуры. Например, путем сравнения результатов теоретического (численного) расчета с наблюдаемыми значениями N_c (z). При втом необходимо более строго определить, как соотпосятся «модельные скопления» с наблюдаемыми при равличных z.

Трудности, возникающие при попытке количественного глисания эволюции характеристик (параметров, массы, плотности и др.) скоплений галактик в рамках аднабатической модели на современном этапе, не повволяют сделать сколько-нибудь точные и простые предскавания наблюдаемых свойств скопленей. Поэтому попытаемся найти их, исходя из наблюдательных данных.

Ренттеновские наблюдения скоплений галактик говорят, по-видимому, о том, что их светимость в рентгеновском диапавоне не возрастает с ростом z, т. е.

$$L_{z}(z) \propto (1+z)^{-m}, \quad m \geqslant 0. \tag{6}$$

Использование отой вависимости повволяет наложить ряд ограничений на поведение других шараметров скоплений: массы M, раднуса $R_{\rm c}$, температуры газа $T_{\rm gas}$ и дисперсии скоростей галактик $\sigma_{\rm gas}$.

По-видимому, можно считать, что средняя по ансамблю плотность вещества в скоплениях меняется с течением времени пропорционально средней плотности Вселенвой [2, 15],

$$\rho \propto (1+z)^3. \tag{7}$$

В пользу етой гипотезы можно привести следующий аргумент. Хотя плотность отдельно взятого скопления после завершения процесса бурной релаксации изменяется слабо вследствие внутренней вволюции, однако скопления эволюционируют благодаря столкновению и слиянию с другими. При втом, как уже было сказано, их средняя масса растет, а средняя плотность скоплений убывает.

Рентгеновская светимость скоплений оценивается известным соотношением

$$L_x \propto \rho_{\rm gas} M_{\rm gas} T_{\rm gas}^{1/2}$$
 (8)

Естественно предположить, что гав и галактики находятся в одной и той же потенциальной яме (об втом говорят и наблюдения); следовательно, $T_{\rm gas}$ есть одновременно и вириальная температура $T_{\rm gas} \propto c_{\rm gal}^2$, и повтому (8) переписывается в виде

$$L_z \propto \rho_{\text{gas}} M_{\text{gas}} (M_t/R_c)^{1/2} = \rho_{\text{gas}}^{5/2} R_c^4$$
 (9)

Здесь $M_t = M_{\rm rat} + M_{\rm gal} + M_{\rm DM}$ — полная масса скопления, $M_{\rm rat} = \alpha' M_t$ ($\alpha' = 0.03 \div 0.1$). Подчеркнем, что речь идет о величинах, усредненных по ансамблю. Из (6), (8) и (9) следует, что характерный размер скоплений изменяется с z как

$$R_{\rm e} \propto (1+z)^{\frac{2m+15}{8}}$$
 (10)

Соответственно масса, температура и дисперсия скоростей галактик скопления будут

$$M_t \propto (1+z)$$

$$T_{\rm gas} \propto \sigma_{\rm gal}^2 \propto (1+z)$$

$$M_t \sim (1+z)$$

$$-\frac{2m+3}{4}$$

$$(11)$$

Подчеркием, что полученные ограничения, карактеризующие ансамбль скоплений, носят довольно грубый предварительный карактер, поскольку основная доля рентгеновской светимости обеспечивается центральными областями скоплений, тде довольно большую роль могут играть различные процессы нагрева и охлаждения газа (см. подробности в работах [2, 18]).

Из приведенных формул видно, что при всех более или менее приемлемых m ($0 \le m \le 1$) характерный размер скоплений убывает в прошлое, что следует учитывать при интерпретации наблюдений. Действительно, процедура отбора скоплений (с классом богатства $R \ge 1$) сводится к подсчету числа галактик в пределах фиксированного (вйбелловского) радиуса $r_A = 3h_{50}^{-1}$ Мпк, так как скопления в прошлом были меньше (в среднем по ансамблю), то в число богатых зачисляются скопления с R < 1, просто потому, что относительный объем, в котором ведется подсчет, для них больше, чем для богатых скоплений.

В данной работе мы не затрагиваем важный вопрос о влиянии байсинга на процесс образования скопления галактик. По-видимому, можно считать, что наибольшие концентрации скрытой массы одновременно являются и самыми богатыми скоплениями галактик при различных формах байсинга [19]. Поэтому выводы, относящиеся в большей мере к свойствам скоплений скрытой массы, остаются в силе и по отношению к богатым скоплениям галактик.

В заключение приведем еще раз основные выводы:

- 1) Существует сильная временная вволюция плотности скоплений галактик, которая носит жачественно различный характер в различных космологических сценариях.
- 2) Существует заметная эволюция усредненных по ансамблю характеристик окоплений.
- 3) Эволюционные эффекты ансамбля богатых скоплений во всех моделях структуры, основанных на гравитационной неустойчивости гауссовых возмущений плотности, столь сильны, что их можно обнаружить при сравнительно небольших $z \lesssim 0.5$.

Авторы пользуются случаем выразить благодарность Я. Б. Зельдожичу и Р. А. Сюняеву за полезные обсуждения работы.

Приложение

Пространственная плотность максимумов α была рассчитана в [7, 8], где была приведена следующая аппроксимационная формула, используемая в данной работе,

$$n_a(\alpha) = n_1 \chi(\alpha) \cdot \alpha^5 e^{-\alpha^5/2},$$

$$n_1 = \frac{\sqrt{15}}{7\sqrt{7}} \pi^{-2} r_e^{-3} \approx 0.02 r_e^{-3},$$

$$\chi(\alpha) \approx 0.65 + 0.22 \arctan (3x - 13).$$

Для высоких максимумов $\alpha \to \infty$, $\chi(\alpha) \to 1$, и (3) представляет собой асимптотический закон; при $\alpha \sim 1$ $\chi(\alpha)$ приближенно аппроксимирует численные расчеты функции распределения $n_{\alpha}(z)$. Аналогично [11]

$$n_{\gamma}(\gamma) \approx n_{3}(\gamma^{4} - 4\gamma^{3} + 4\gamma^{2} + 2\gamma + 1) \cdot e^{-0.9\gamma^{3}},$$

$$n_{3} = \frac{709}{875} \cdot \frac{68}{9} \cdot \sqrt{\frac{3}{7}} (2\pi)^{-5/2} r_{c}^{-3} \approx 0.04 r_{c}^{-3}.$$

Выражение в скобках снова дает правильную асимптотику $n_{\tau}(\gamma) \propto \propto \gamma^4 \cdot e^{-0.9\gamma^2}$ при $\gamma \gg 1$ и аппроксимирует численные расчеты $n_{\tau}(\gamma)$ при $\gamma \approx 1$. Величины α и γ приведены в единицах дисперсии компонентов тензора деформации, который фигурирует в формулах приближенной нелинейной теории. Масштаб r_c определяется формулой

$$r_c^2 = 3 \frac{\int\limits_0^\infty b_k^2 k^2 dk}{\int\limits_0^\infty b_k^2 k^4 dk},$$

где δ_k^2 — спектр возмущений плотности; r_0 зависит не только от масштаба затухания R_1 , но и от вида начального спектра в длинных волнах. При начальном спектре типа Зельдовича-Гаррисона (n=1), $r_0 \approx 17.6 \ m_{30}^{-1}$ Мпк, где m_{30} — масса нейтрино в единицах 30 вВ.

Институт физических проблем АН СССР Государственный астрономический янститут им. П. К. Штернборга

EVOLUTION OF CLUSTERS OF GALAXIES

S. G. SIMAKOV, S. F. SHANDARIN

The problem of the evolution of galaxy cluster ensemble is discussed. Both hierarchical clustering and pancake scenarios predict fast decrease of a typical cluster mass. However, the hierarchical model envisages the increase of the mean number of clusters in unit comoving volume in contrast to the pancake model predicting its decrease. The latter can be used as observational test discriminating the models. The evolution in both models is so quick that it can be observed at z as small as $z \le 0.5$.

ЛИТЕРАТУРА

- 1. G. O. Abell, Astrophys. J., 213, 327, 1977.
- 2. N. Kaiser, Mon. Notic. Roy. Astron. Soc., 222, 323, 1986.
- 3. A. G. Doroshkevich, M. Yu. Khlopov, R. A. Sungaev, A. S. Szalay, Ya. B. Zeldovich, Proc. X-th Texas Symp. Relativ. Astrophys., 1980.
- 4. Я. Б. Вельдович, Итога науки и техн., Астрономия, 22, 4, 1983.
- 5. С. Ф. Шандарин, А. Г. Дорошкевич, Я. Б. Зельдович, Успехи физ. наук, 139, 83,
- 6. А. Г. Дорошкевич, А. А. Клыпин, Э. В. Коток, Астрон. ж., 63, 417, 1986.
- 7. A. G. Doroshkevich, S. F. Shandarin, Mon. Notic. Roy. Astron. Soc., 182, 27, 1978.
- , 8. А. Г. Дорошкевич, С. Ф. Шандарин, Астров. ж., 55, 1144, 1978.
- 9. С. Ф. Шандарин, А. А. Клыпин, Астрон. ж., 61, 837, 1984.
- 10. Я. Б. Зельдович, Астрофизика, 6, 319, 1970.
- 11. А. Г. Дорошкевич, Астрон. ж., 61, 434, 1984.
- 12. A. A. Klypin, S. F. Shandarin, Mon. Notic. Roy. Astron. Soc., 204, 891, 1983.
- S. D. White, M. Davis, C. S. Frenk, Mon. Notic. Roy. Astron. Soc., 209, 27, 1984.
- 14. С. И. Гурбатов, А. Н. Саичев, С. Ф. Шандарин, Докл. АН СССР, 285, 323, 1985.
- 15. S. D. M. White, M. J. Rees, Mon. Notic. Roy. Astron. Soc., 183, 341, 1978.
- 16. T. A. McGlinn, A. C. Fabian, Mon. Notic. Roy. Astron. Soc., 208, 709, 1984.
- 17. Ф. Дж. Э. Пиблс, Структура Вселенкой в больших масштабак, Мир, М., 1983.
- 18. C. L. Sarazin, Rev. Mod. Phys., 56, 1, 1986.
- 19. E. Braun, A. Dekel, P. R. Shapiro, Prepr. WIS-87/61, 1987.

АСТРОФИЗИКА

TOM 30

ФЕВРАЛЬ, 1989

выпуск 1

УДК: 524.45

СТРУКТУРА СКОПЛЕНИЙ. ПРИМЕНЕНИЕ НОВЫХ МЕТОДОВ АНАЛИЗА

Б. И. ФЕСЕНКО

- Поступила 26 ноября 1987 Принята к печати 15 апреля 1988

По опубликованным данным взучено 14 богатых южных скоплений галактик с применением новых приемов анализа. Мелкие субструктуры в этих скоплениях не выделяются на фоне случайных флуктуаций. Обнаружено систематическое несовпадение центроидов галактик со скоростими, большими и меньшими средней скорости смопления. Положительная корреляция между коэффициентами асимметрии распределения координат членов этих групп свищетельствует об асимметричности сглаженных форм центральных областей некоторых окоплений.

1. Введение. При изучении скоплений галактик возникают, в частности, две проблемы, заключающиеся в исключении объектов переднего и заднего фона и в различении реальных субструктур на фоне случайных флуктуаций в распределении членов.

Известно, что скопления, отобранные для исследования, «предпочитают» располагаться в окнах межэвездной среды, числа же галактик фона оценивают, изучая произвольные области. К тому же в критерии отбора скоплений всегда отдается предпочтение тем случаям, когда в области случайно повышено число галактик фона. Это объясияется относительной малочисленностью богатых скоплений. Легче получить ложное богатое скопление в области небольшого реального скопления там, где имеется значительная положительная флуктуация чисел галактик фона.

При анализе второй проблемы необходимо учесть возможный эффект мелких субструктур, способный резко усилить роль случайных флуктуаций. При его наличии в скоплении, например, могут случайно возникнуть два больших сгущения. При отсутствии субструктур вероятность такого распределения галактик ничтожно мала. Если игнорировать возможность присутствия мелких субструктур, то можно придти к ошибочному выводу о свойствах этого скопления.

Рассмотрим новый подход к изучению строения скоплений (он описан также в [1]). Используется некоторая функция от координат и/или скоростей членов. Ее среднее значение для совокупности скоплений несет в себе такую информацию, которую другими методами получить было бы трудно, может быть, невозможно. Недостатком же такого подхода является невозможность судить об особенностях какого-то отдельного скопления. Выводы касаются лишь свойств совокупности скоплений.

Заметим, что субъективное впечатление о существовании субструктур, появляющееся иногда при разглядывании снимков скоплений (и даже используемое некоторыми авторами при классификации) — очень ненадежный способ доказательства, поскольку при этом неизбежно игнорируются флуктуации в распределении галактик.

Ниже основная идея, предложенная в [1], применяется к данным с 14 хорошо изученных скоплениях. При этом предлагается ряд новых приемов исследования, которые, по нашему мнению, будут полезны и при изучении других скоплений.

2. Материал. Рассмотрим выборку [2] ботатых скоплений южного неба, данные о которых получены одними и теми же авторами, инструментами и методами. Эти весьма однородные данные включают лучевые скорости и координаты более 600 галактик в 14 скоплениях, причем изучались лишь центральные области. Лучевые скорости центроидов скоплений заключены в интервале от 14000 до 45000 км/с, а квадратные корни у из дисперсии лучевых скоростей членов изменяются от 453 до 1180 км/с. В качестве членов рассматривались галактики обычно не далее 0.67 Мпк от центра (H = 75 км/с/Мпк). Такое ограничение сильно уменьшает примесь галактик фона. Кроме того, лучевые скорости членов, изученных нами, удовлетворяли условию:

$$|V-\langle V\rangle| < 3\sigma_{\nu},$$
 (1)

где значения $\langle V \rangle$ и σ_V оценены в [2].

3. Метод шестерок. В [1] для каждото из 43 скоплений (из числа ивученных в [3]) по 6 ярчайшим членам определялась функция:

$$m = \left| \sum_{i=1}^{6} \operatorname{sign} (x_i - \langle x \rangle) \right|, \tag{2}$$

где x_i — одна из двух прямоугольных координат и $\langle x \rangle$ — среднее арифметическое из 6 значений. Аналогичная величина определялась для координат y_i . Усреднение по всем скоплениям дало $\langle m \rangle = 1.35 \pm 0.129$, тогда как значение, ожидаемое при отсутствии субструктур, составляет только 0.92.

Этот ревультат проверим здесь для наших 14 окоплений по галактикам, удовлетворяющим условию

$$|V - \langle V \rangle| < 300 \text{ km/c.}$$
 (3)

Всего были выделены 48 взаимно независимых случайных шестерок. Получено значение: $\langle m \rangle = 0.79 \pm 0.155$. Поскольку в первом случае данные о скоростях не использовались, то различие с последним результатом может объясняться эффектом неучтенных галактик фона. Но возможны и другие объяснения.

4. Микроструктура распределений в картинной плоскости. Введем характерную длину:

$$l = 2\sqrt{\sigma_{\alpha}\sigma_{\beta}/N}, \qquad (4)$$

гле σ_x и σ_g — стандарты распределений координат х и у, N — число изучествения членов скопления. Пусть n — число членов, имеющих ближайшего соседа не далее расстояния l, и $\sigma_x = \sigma_g$. В случае усеченно-нормального распределения по каждой координате и при отсутствии субструктур справедливо равенство:

$$\langle n \rangle / N = 1 - c^{-1} \int_{0}^{A} \exp\left(-\frac{2(N-1)}{N} \exp(-z) - z\right) dz,$$
 (5)

где c=1—ехр (—A) и A—параметр усечения. В каждом из 14 скоплений случайно выделялось по 20 галактик, подчиняющихся условию (1), и измерялись расстояния до ближайших галактик из той же выборки. Усреднение по всем скоплениям дало значение $\langle n \rangle/20 = 0.60 \pm 0.015$ в прекрасном согласии с теоретическим значением при A=2.5 (0.595).

			Таблица					
Интервал скоростей	Σ	Σι	Σ2	Σ_3				
1	116	30	86	10				
2	91	22	69	9				
3 .	. 78	25	53	1				
47.19	94	19	75	12				
5	-113	29	84	10				

5. Распределение скоростей. В табл. 1 в столбце Σ приводятся суммарные данные о распределении галактик по 20% интервалам скоростей, рассчитанным для нормального распределения (первый из них, например, соответствует значениям величины ($V-\langle V \rangle$)/ σ_V от $-\infty$ до -0.8416). Столбцы Σ_1 и Σ_2 соответствуют скоплениям с $\sigma_V < 700$ и $\sigma_V > 1000$ км/с. По критерию χ^2 отличие от нормального распределения статистически зна-

чимо в случаях Σ и Σ . Наиболее разителен случай скопления С64 (случай Σ_3 в таблице), отчетливо разделившегося на два субскопления в пространстве скоростей. В картинной плоскости существенного разделения в данном случае не видно.

6. Асимметрия. 1) В качестве конффициента, карактеризующего асимметрию выпирического распределения по координате х, используем величину

$$t_{x} = \sqrt{\frac{(N+1)(N+3)}{6(N-2)}} \cdot \frac{\langle (x-\langle x\rangle)^{3}\rangle}{\langle (x-\langle x\rangle)^{2}\rangle^{\frac{3}{2}}}.$$
 (6)

Аналогияно определим величину. t_y для координат у. Согласно [4] величины t_x и t_y имеют стандартное нормальное распределение — если величины х и у распределены по нормальным законам. В этом случае величина

$$\xi = \sum_{i=1}^{14} (t_{xi}^2 + t_{gi}^2), \tag{7}$$

где суммирование ведется по всем скоплениям, должна подчиняться χ^2 -распределению с 28 степенями свободы. Наблюдаемое значение ξ для галактик, удовлетворяющих условию (1), равно 30.14. При отсутствии субструктур вероятность получить случайно такое или большее значение равна 0.36, то есть достаточно велика. Напомним, что наличие субструктур должно приводить к повышенным значениям ξ .

2) Величину t_{ν} , аналогичную величинам t_{κ} и t_{ν} , можно определить и для распределения скоростей. При тех же предположениях величина

$$\xi_{\nu} = \sum_{i=1}^{14} \ell_{\mathcal{W}}^2 \tag{8}$$

должна подчиняться χ^2 -распределению с 14 степенями свободы. Обработка данных наблюдений приводит к значению $\xi_{\nu}=21.93$, случайное превышение которого может произойти с вероятностью 0.08. Впрочем, следует принять во внимание, что использованное нами ограничение (1) ведет к занижению флуктуаций величины t_{ν} и к завышению вероятности.

7. Подсистемы приближающихся и удаляющихся членов. Галактики, подчиняющиеся условию (1), разобьем на труппы A и В соответственно с $V > \langle V \rangle$ и $V < \langle V \rangle$, где усреднение выполнено по галактикам обеих групп. Сравнение этих двух выборок помогает ответить на интересные вопросы.

1) Если труппы А и В принадлежат единому стационарному скоплению, то координаты их центроидоз должны совпадать в пределах случайных флуктуаций. Для каждого скопления определим зеличину:

$$\eta = \frac{(\langle x \rangle_A - \langle x \rangle_B)^2}{c_{xA}^2 + c_{xB}^2} + \frac{(\langle y \rangle_A - \langle y \rangle_B)^2}{c_{yA}^2 + c_{yB}^2}, \qquad (9)$$

где σ_{xA} , σ_{xB} и т. д. — эмпирические стандарты величин $\langle x \rangle_A$, $\langle x \rangle_B$ и т. д. В нашем случае каждая группа содержит в среднем 17.6 галактик — число достаточно большое, чтобы распределения величин $\langle x \rangle_A$, $\langle x \rangle_B$ и т. д. можно было считать нормальными независимо от вида распределения величин x и y (не очень сильно отличающегося от нормального). Тогда величина η должна приближенно подчиняться χ^2 -распределению с двумя степенями свободы. Если мы просуммируем значения η для всех 14 скоплений, то сумма будет распределена по тому же закону, но число степеней свободы составит 28.

Значение ф определяется по формуле:

$$\sigma_{\overline{A}}^2 = (\langle x^2 \rangle_A - \langle x \rangle_A^2)/(N_A - 1). \tag{10}$$

Аналогичные формулы используются при вычислении величин $\frac{\sigma^2}{xB}$ и т. д. Если в скоплении присутствуют субструктуры, то число взаимно независимых координат уменьшится примерно в S раз, где S—типичная населенность субструктуры; примерно во столько же раз должна быть увеличена величина $\frac{\sigma^2}{xA}$. Если этого не делать, то ожидаемое среднее значение величины π уже не будет равно двум, как раньше, а возрастет примерно в S раз.

Величина $\sum_{i=1}^{14} \eta_i$, определенная для 14 скоплений, оказалась равной 40.65. При отсутствии субструктур вероятность случайного получения такого или большего значения равна 0.058. Если рассмотреть только те четыре скопления, у которых $\sigma_{\nu} > 1000$ км/с, то для них сумма значений η должна иметь χ^2 -распределение с 8 степенями свободы. Наблюдаемая сумма равна 23.54. Вероятность случайного получения такого или большего значения составляет всего 0.0027. У остальных скоплений сумма значений η соответствует вероятности 0.65.

2) Существует ли тенденция галактик данной группы образовывать субструктуры? Ответ попытаемся получить сопоставляя средние числа галактик групп А и В в окрестности каждой галактики (в зависимости от принадлежности последней к той или иной группе). Определим величины:

$$\Delta_{A} = \langle n_{AA} \rangle - ((N_A - 1)/N_B) \langle n_{AB} \rangle$$

H

$$\Delta_{B} = \langle n_{BB} \rangle - ((N_{B} - 1)/N_{A}) \langle n_{BA} \rangle, \qquad (11)$$

где N_A и N_B — числа галактик в группах A и B, n_{AA} — числе галактик группы A в окрестности галактики той же группы; величины n_{BB} , n_{AB} и n_{BA} определяются аналогично (например, в случае n_{AB} подсчитываются объекты типа B в окрестности объектов типа A). Если галактики групп A и B перемешаны в скоплении случайно, то значения Δ_A и Δ_B должны быть близки к нулю. Для наших 14 скоплений значение величины $\Delta = (\Delta_A + \Delta_B)/2$ оказалось равным $+ 0.22 \pm 0.13$. Это означает, что данным методом эффект субструктур не выявляется. В качестве "окрестности" рассматривался квадрат со стороной примерно равной 2l (см. (4)) и с центром в данной галактике.

- 3) Обусловлена ли асимметрия в распределении координат х и у только случайными флуктуациями? Ответ можно получить из сравнения значений t_x и t_y (см. (6)) в группах А и В. При полной симметрии априорного (или стлаженного за случайные флуктуации) распределения корреляции между значениями t_{xA} и t_{xB} t_{yA} и t_{yB} быть не должно. Однако в 28 парах значений ковффициентов асимметрии ковффициент корреляции по Спирмену оказался равным + 0.478. Вероятность случайного получения такого или большего значения составляет всего 0.0054.
- 8. Дисперсия скоростей и структура скопления. В табл. 2 приводятся значения τ_{ν} , заимствованные из [2], а также рассчитанные нами значения η (см. (9)) и Δ (среднее арифметическое из значений Δ_A и Δ_B , определенных формулами (11)). Величина η характеривует сдвиг центроида группы А относительно группы В. Величина Δ является мерой тенденции галактик одной и той же группы располагаться рядом в скоплении. Эти величины взаимно связаны, хотя и не функционально (коффициент корреляции по Спирмену равен +0.912). Как связаны они с дисперсией скоростей?

Коффициент корреляции по Спирмену между величинами и и правен + 0.7055. Вероятность случайно получить такое или большее значение при отсутствии реальной корреляции составляет всего 0.0033. Ранее, используя метод сумм значений право разных скоплений, мы показали, что непомерно большой сдвиг центроидов групп A и В обнаруживается лишь у скоплений с $\sigma_{\nu} > 1000$ км/с.

Корреляция между величинами σ_V и Δ оказалась более слабой (R= + 0.618), но все еще статистически значимой.

- 9. Заключение. Новый подход к анализу структуры скоплений гадактик позволил получить три существенных результата.
- 1. Асимметрия в распределении координат 6 ярчайших членов скоплений заметно выше, чем ожидается при чисто случайных флуктуациях (см. [1]).

Таблица 2 30 Скопление η (KM/C) C02 547 1.52 -0.052C03 1011 1.66 -0.0335.98 +1.208C19 1030 C20 854 1.48 -0.382-0.1681.02 C21 631 AC1 1072 5.43 +0.812C30 615 2.88 +0.5262.22 -0.048C31 769 3.07 +0.024C37 927 453 0.52 -0.171C39 C52 1180 10.47 +0.8642.41 C64 821 +0.4521.72 +0.074C65 797 C67 0.27 -0.088726

- 2. У скоплений с дисперсиями лучевых скоростей, превышающими (1000 км/с)², центроиды галактик с $V > \langle V \rangle$ определенно смещены в картинной плоскости относительно центроидов галактик с $V < \langle V \rangle$. Такое смещение может иметь два объяснения: либо в этих скоплениях существуют пространственно обособленные структуры, движущиеся относительно центра с существенно различающимися скоростями, либо мы имеем дело с перекрывающимися на небе, но взаимно независимыми скоплениями. При H=75 км/с/Мпк и $\Delta V\approx 1.5$ р расстояние между ними по лучу зрения должно быть порядка 20 Мпк. Напомним, что здесь не рассматривались галактики, которые в картинной плоскости находятся примерно далее 0.7 Мпк от центра сгущения; из тех же галактик, которые находятся на меньших расстояниях, не рассматривались объекты с $|V-\langle V \rangle| > 3\sigma_V$.
- 3. Впервые получено объективное свидетельство того, что асимметрия в распределении координат членов скоплений имеет две составляющие.

Одна из них обусловлена случайной флуктуацией, а другая — реальной асимметрией сглаженного распределения галактик. Впрочем, этот результат нуждается в проверке на другом материале.

Поиски мелкомасштабных субструктур в скоплениях (например, двойных галактик) уопехом не увенчались. Это может свидетельствовать об обманчивости субъективного впечатления, возникающего при разглядывании снимков скоплений.

На первый взгляд, наш вывод об асимметрии сглаженных форм хотя бы некоторых скоплений в проекции на картинную плоскость находится в противоречии с тем, что среднее значение квадратов ковффициентов асимметрии t_x и t_y (см. (6)) равно 1.08±0.27, то есть почти равно значению, ожидаемому при точной симметрии априорных распределений (асимметрия возникает только благодаря случайным флуктуациям). Одна-ко большая ошибка наводит на шредположение, что метод корреляций значений t в групшах A и B шросто оказался более чувствительным.

Горьковский педаготический виститут

STRUCTURE OF CLUSTERS — APPLICATION OF NEW METHODS OF INVESTIGATION

B. I. FESENKO

On the basis of published data 14 southern rich clusters of galaxies are studied with the use of new methods of investigation. Small substructures are not distinguished against random fluctuations. It was discovered that the centroids of the galaxies with velocities exceeding and not exceeding the mean velocity of cluster do not coincide. A positive correlation between the coefficients of the asymmetry in the coordinate distributions of the members of these groups is an evidence of the asymmetrical smoothed shape of some clusters.

ЛИТЕРАТУРА

- 1. Б. И. Фесенко, Л. М. Фесенко, Новые приемы изучения строения скоплений галомтик и результаты их применения (руколись готовится к депонированию в ВИНИТИ).
- 2. M. Colless, P. Hewett, Mon. Notic. Roy. Astron. Soc., 224, 453, 1987.
- 3. A. Dressler, Astrophys. J. Suppl. Ser., 42, 565, 1980.
- 4. Б. Л. ван дер Варден, Математическая статистика, М., 1960.

АСТРОФИЗИКА

TOM 30

ФЕВРАЛЬ, 1989

выпуск 1

УДК: 524.3—355:520.84

СПЕКТРОФОТОМЕТРИЯ НЕПРЕРЫВНОГО СПЕКТРА. ПЛЕЙОНЫ В 1972—1986 гг.

В. Т. ДОРОШЕНКО

Поступала 12 апреля 1988 Принята и печати 3 сентября 1988

На основе многолетиях наблюдений Плейоны (1972-1986 гг.) со спектрометрами княкого разрешения фолучены распределения эпоргия в испрерывном спектре в ${\sf врг/cm^2c}$ A и вквивалентные ширины линий ${\sf H_a-H_a}$. Отмечево коррелированное (во со сдвигом по времени) изменение дркости в фильтре V и вувивалентной: ширины эмиссионной линии H_a. Изменения бальмеровского скачка и ультрафиолетового градиента хорото коррельруют с ваменением показателя цвета (U-B). Сопоставление наблюдаемого континуума с распределением энергии в эвездех по моделям Куруца и распределением внертим водородного газа показало, что вклад прозрачного в кон-гвиуме гавового жомпонента в суммарное вылучение уменьшался от ≈ 2.7% в 1970 г. до ≈ 0.8% в 1975 г. Сильное развитие мосорощионного динейчатого спектра, образующегося в оболочие в 1977—1985 гг., способствовало бложировие звездного излучения ва бальмеровским скачком в поняжению спектрофотометрической температуры в этой спектральной области. Цветовые и спектральные характеристики звезды в 1986 г. пришля в соответствие с ее излучением при $T_{eff}=11\,500$ K, что указывает на значательную диссипацию оболочки. Мера вмиссии оболочки в 1975 г. составляла- $\approx 1.6 \cdot 10^{36} \text{ cm}^{-5} \text{ H macca ee} \approx 5 \cdot 10^{-10} \text{ Mg/s}$

1. Введение. Плейона (BS 1180 = BD + 23° 558 = HD 23862 = 28 Таи = BU Таи) принадлежит к классу быстровращающихся В-звезд с оболочкой (v·sin i = 350 км/с [1], B8pV). Одно время считалось, что Плейона — двойная звезда [2]. Однако фотометрические наблюдения звезд в Плеядах [3] не подтвердили версию о ее двойственности. За почтв столетнюю историю ее исследования астрономы дважды были свидетелями образования и дальнейшего развития газовой оболочки вокруг нее: первый впивод длился с 1938 т. по 1954 г., второй начался в 1972 г. и продолжается по настоящее время. Во время последнего оболочечного периода проводились довольно разнообразные по методике исследования Плейоны в равных спектральных интервалах: от ультрафиолетовой области до инфракрасной.

В представленной работе проводится анализ выполненных автором многолетних наблюдений спектра Плейоны со спектрометрами низкого разрешения.

2. Наблюдения. Наблюдения Плейоны в спектральном диапазоне 3200—7600 А проводились автором на 48-см и 60-см рефлекторах Крымской лаборатории ГАИШ со спектрометром Сейа-Намиока с вогнутой решеткой (1972—1982 гг.) и со спектрометром Черны-Тернера с плоской оещеткой (1984—1986 гг.). При работе со спектрометром Сейа-Намиока испольновалась ширина шели 17 А. Запись спектоа осуществлялась на ленту ЭПП-09 и занимала около 7 мин при сканировании от синей области к коасной и столько же в обратном направлении. Спектрометр Черны-Тернера работал в режиме счета фотонов, и регистрация спектра осуществлялась с помощью цифропечатающего устройства. Вращение решетки производилось шаговым двигателем, реальное спектральное разрешение составляло 48 А. Время накопления сигнала на каждом шаге сканирования составляло 10 сек для Плейоны и 1 сек для звезд сравнения. Весь спектоальный диапазон перекрывался 90 шагами. В жаждую наблюдательную ночь получалось не менее двух опектров Плейоны. Описание указанной аппаратуры поиводится в работах [5, 6].

В качестве звезд сравнения иопользовались β Ari, β Tau, α Leo, BS 1149 (январь 1977 г.), BS 1178 (01. 10. 1973 г.), абсолютные потоки которых были взяты из [5,7].

3. Обработка наблюдений. Распределения энергии в непрерывном спектре Плейоны для разных дат за период 1972—1986 гг. были вычислены через 50 А в единицах [θ рт/см² с A] с использованием стандартной методики. Характерные среднеквадратичные эшибки полученных потоков в различных интервалах спектра составили $\approx 3\%$ в области λ 5100 \div \div 6000 A и \approx 6—7% в краевых областях λ 3200 \div 3700 A и λ 7100 \div \div 7600 A. Примеры полученных распределений энергии показаны на рис. 1*.

Помимо распределения энергии в непрерывном спектре, были измерены эквивалентные ширины эмиссионной линии H_2 и линий поглощения H_β , H_γ и H_δ . Их средние значения за ночь и среднеквадратичные ошибки приведены на рис. 3.

Плейона находится в довольно близкой к нам отражательной тума κ ности в Плеядах. Поглощение в туманности хотя и неоднородно, но в среднем невелико. Величина межэвездного покраснения $E\left(B-V\right)$ до самой

^{*} В связи с трудностями с напечатанном таблицы, содержащей вычисленные распределения внергии Плейоны по датам, все желающие получить вти результаты могут обратиться непосредственно к автору.

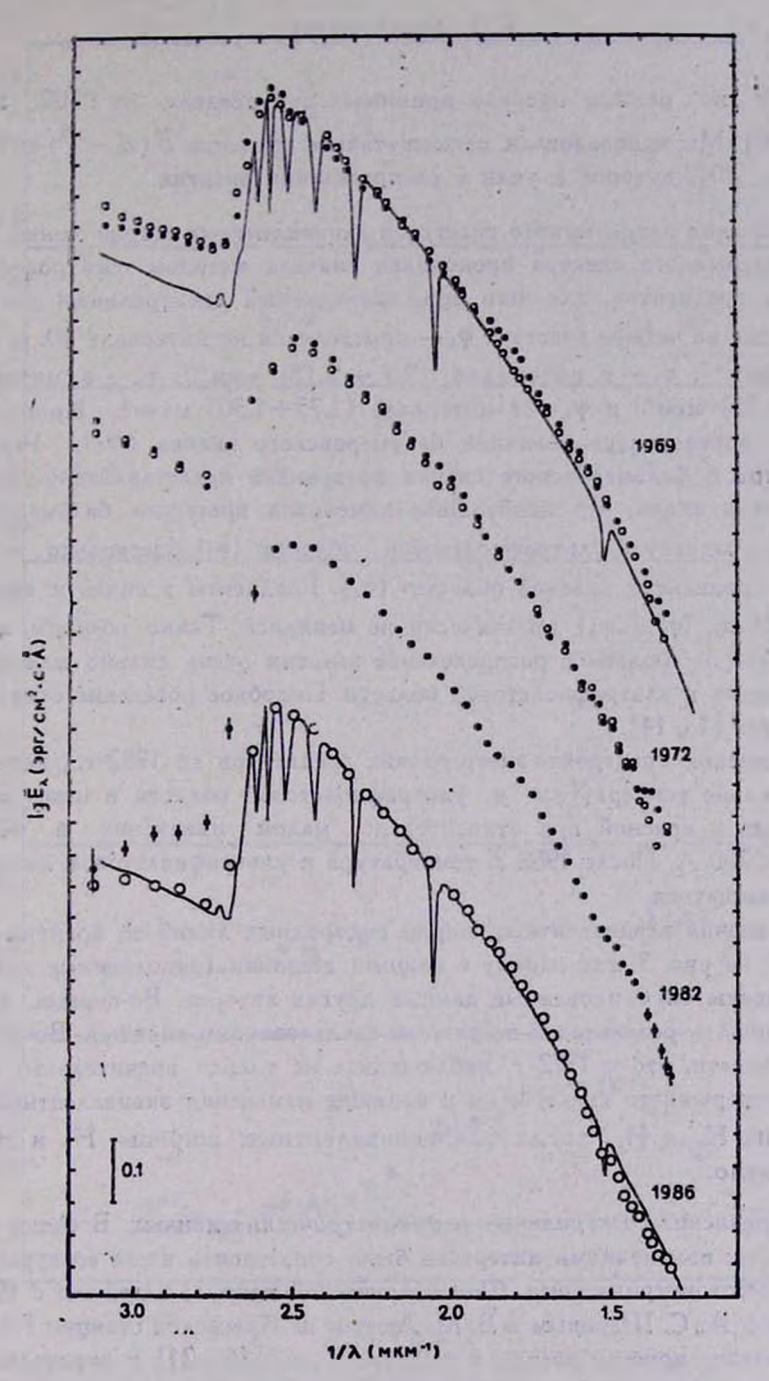


Рис. 1. Распределение внергии в непрерывном спектре Плейоны в относительных единицах. Межзвездное поглощение учтено. Цифры справа относится к году наблюдения: ноябрь—декабрь 1969 г. — наблюдения Маматказиной и Кудрявцевой [12], остальные — автора. Сплошной линией представлено распределение энергии по модели Куруца [4] для нормального химсостава, $lg g = 4.0 \ u \ T_{eff} = 11500 \ K$. 6—21

Плейоны по разным оценкам принимается в пределах от 0.902 [8] до 0.9054 [9]. Мы использовали промежуточное значение $E\left(B-V\right)=0.9035$, согласно [10], которое и учли в распределении внергии.

4. Аналив непрерывного спектра и эквивалентных ширин линий. Аналив непрерывного спектра проводился сначала методом спектрофотометрических градиентов, для чего весь исследуемый спектральный диапазон был разбит на четыре участка: φ_1 — определялся на интервале $1/\lambda$ от 3.125 до 2.7 мкм⁻¹; φ_2 — в интервале $(2.7 \div 2.15)$ мкм⁻¹; φ_3 — в интервале $(2.15 \div 1.75)$ мкм⁻¹ и φ_4 — в интервале $(1.75 \div 1.30)$ мкм⁻¹. Кроме градиентов, определялась величина бальмеровского скачка (ВІ). Развитие градиентов и бальмеровского скачка во времени представлено на рис. 2. Из рисунка видно, что наибольшие изменения претсрпел бальмеровский скачок и градиент в ультрафиолетовой области (φ_4). Градиенты в синей и визуальной областях (φ_2 и φ_3) практически не менялись. Таким образом, можно видеть, что наблюдаемое распределение энергии очень сильно изменилось прежде всего в ультрафиолетовой области. Подобное поведение отмечалось и в работах [13, 14].

Изменения спектрофотометрических градиентов до 1982 г. указывают на понижение температуры в ультрафиолетовой области и некоторое ее повышение в красной при относительно малом изменении в области λ 4200—5700 А. После 1982 г. температура в ультрафиолетовом диапазоне стала повышаться.

Изменения эквивалентных ширин водородных линий во времени представлены на рис. 3, где наряду с нашими данными (заполненные кружки) использованы опубликованные данные других авторов. Во-первых, видно, что сходимость результатов по разным исследованиям хорошая. Во-вторых, можно сказать, что с 1972 г. наблюдались не только значительные изменения непрерывного спектра, но и большие изменения эквивалентных ширин линий H_{α} и H_{β} , тогда как эквивалентные ширины H_{τ} и H_{δ} менялись мало.

5. Сравнение спектральных и фотометрических данных. В связи с обсуждаемыми изменениями интересно было сопоставить наши спектральные данные с фотометрическими. Фотометрический патруль Плейоны с 1971 г. проводится А. С. Шаровым и В. М. Лютым на Крымской станции ГАИШ. Сопоставление яркости звезды в фильтре V из [16—21] и эквивалентной ширины эмиссионной линии Н. (рис. 3) выявляет большое подобие в их изменениях, с той лишь разницей, что значительные изменения блеска V.

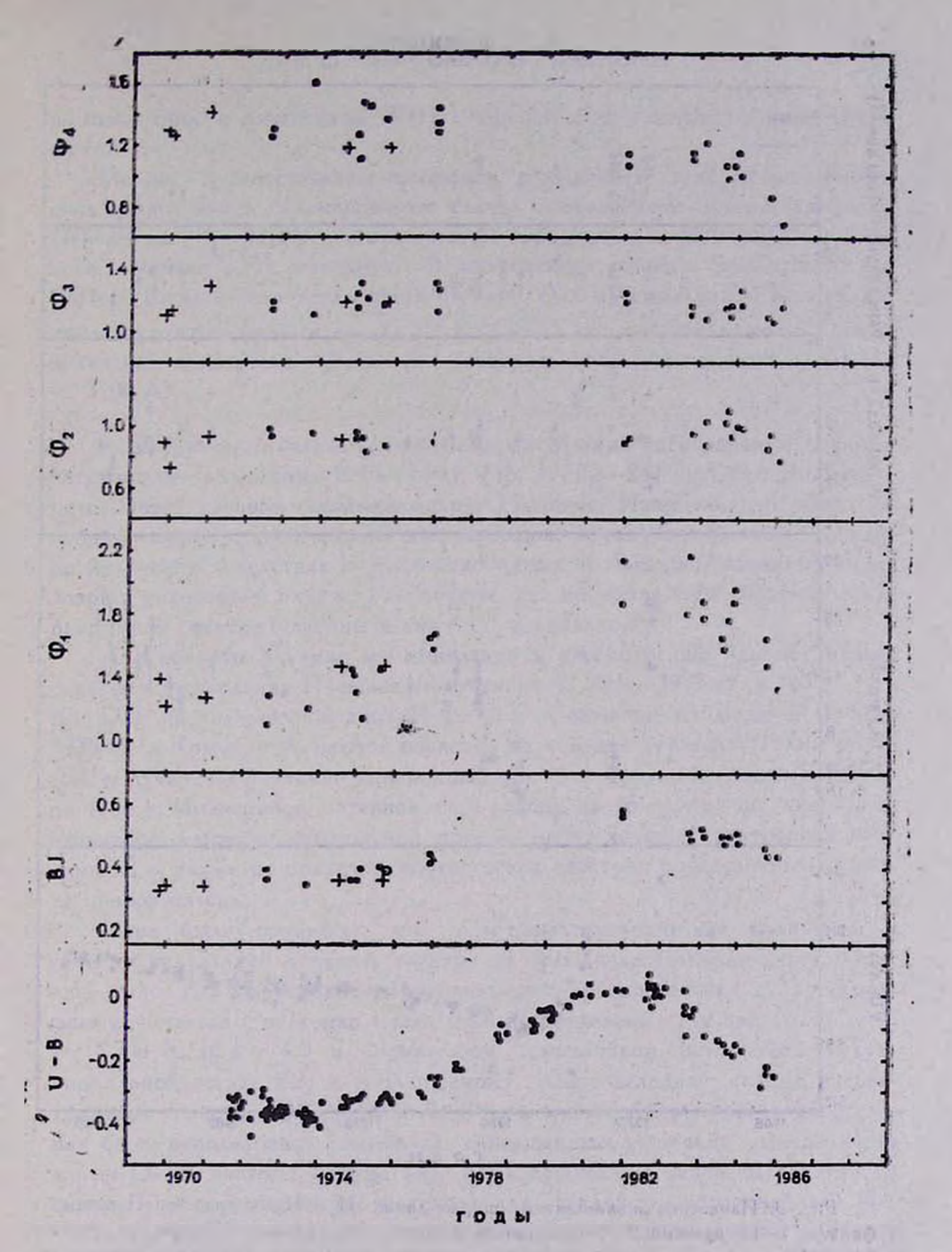
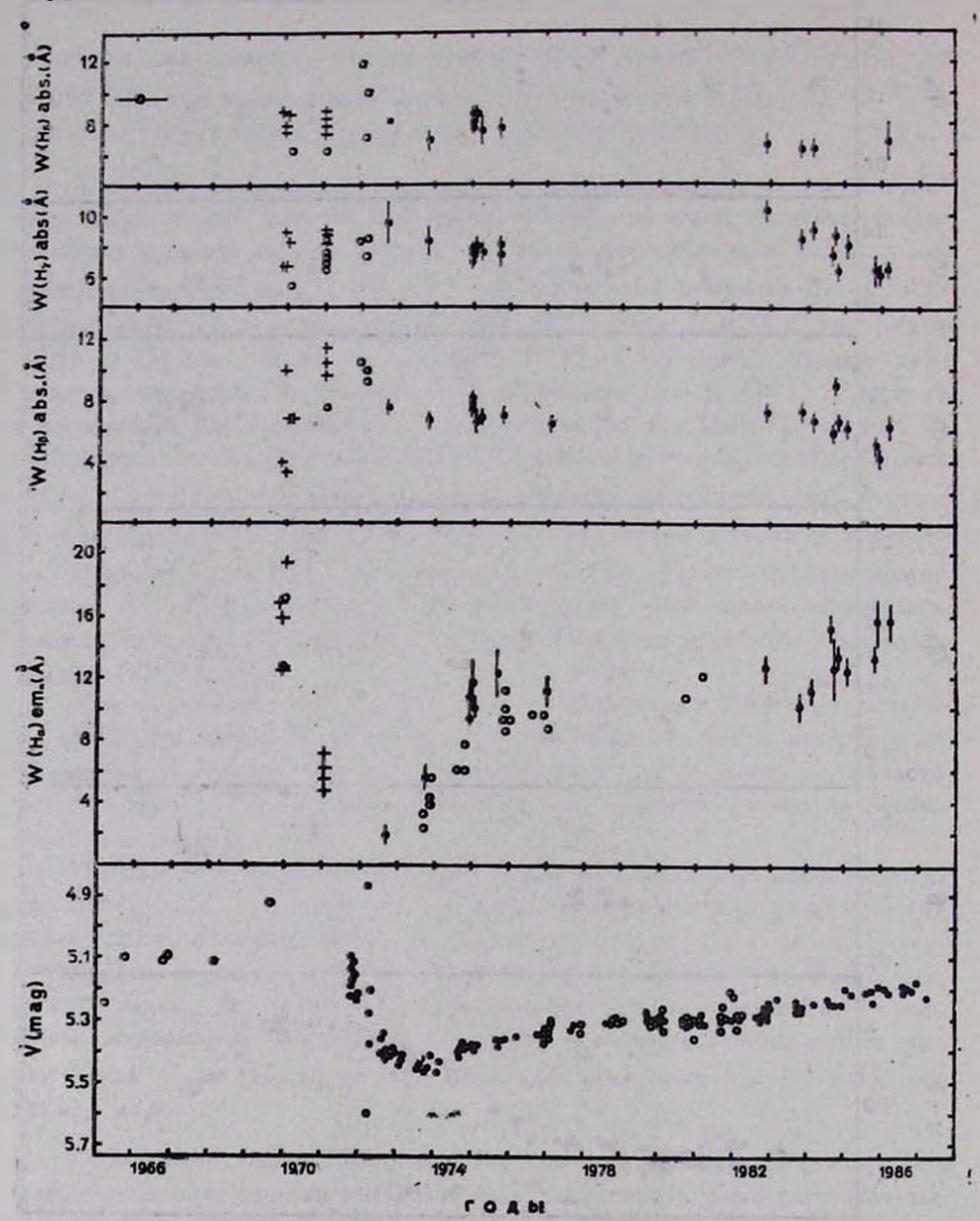


Рис. 2. Изменение спектрофотометрических градвентов ($\phi_1 \div \phi_4$), бальмеровского скачка (BI) и помязателя цвета (U-B) во времени. Фотометрические данные — из работ [16—21].



Рвс. 3. Измененее вквивалентым ширин линий $H_{\alpha}-H_{\delta}$ и яркости Плейоны в фильтре V во времени. V-фотометрия в основном по работам Шарова и Лютого [16—21] представлена ваполненными кружками; открытыми кружками— данные из развых литературных источников. Эквивалентые ширины из работ [11, 15] обозначены прямыми крестиками, а из работ [8, 26, 30—33] — открытыми кружками, точками— данные автора.

по отношению к изменениям $W(H_a)$ происходили с запаздыванием почти на год.

На рис. 2 сопоставлены изменения полученных спектрофотометрических градиентов и бальмеровского скачка с изменением показателя цвета (U-B) из [16—21]. У нас отсутствуют наблюдения в 1978—1981 гг. Однако, согласно [14], максимум бальмеровского скачка приходится на 1981 г., когда и показатель цвета (U-B) был максимальным. Мы видим полное сходство кривых для φ_1 , $B\hat{J}$ и (U-B), что свидетельствует о связи изменений показателя цвета со спектральными изменениями при $\lambda < 3700$ А.

6. Обсуждение изменений континуума. Мнотие спектральные и фотометрические наблюдения 1971—73 гг. [16, 17, 22—24] указывали на появление новой газовой оболочки вокруг Плейоны. Известно, что оболочка может создавать значительные инфракрасные и ультрафиолетовые избытки излучения вследствие свободно-свободных и свободно-связанных переходов в водородной плазме. Рассмотрим, как проявила себя оболочка в непрерывном спектре Плейоны и как она развивалась.

Для полноты анализа мы привлекли к рассмотрению кроме наших данных и наблюдения Плейоны, полученные в 1969—1975 гг. в АФИ АН Каз.ССР на аналогичной атпаратуре [12]. Сравнение наблюдений 1974—1975 гг. в Крыму и Алма-Ате показало их хорошее согласие. Таким образом, получился достаточно однородный ряд спектральных данных с 1969 г. по 1986 г. Имеющийся материал был разбит на 16 групп по принципу временной близости наблюдений друг к другу, хорошей внутренней сходимости, а также по принципу соответствия спектров определенным фазам на кривой блеска.

Ранее было показано, что спектрофотометрические градиенты в синей и визуальной областях спектра за время наших наблюдений менялись мало. Поэтому сравнение наблюдаемого распределения с теоретическим начиналось с подгонки модельного распределения для звезды с T_{eff} = 11500 K, $\lg g = 4.0$ и нормальным химсоставом (что соответствует нормальной эвезде B8) к наблюдаемому распределению именно в спектральной области λ 3800—5800 A. В качестве теоретического распределения были использованы наиболее совершенные для звезд спектрального класса О—А расчеты Куруца [4]. Были вычислены разности потоков (в смысле «наблюдения минус модель») для каждой из образованных 16-и групп. На рис. 4 эти разности представлены лешь для некоторых наиболее характерных групп. Оказалось, что в 1969—1975 гг. в ультрафиолетовой области, начная с бальмеровского скачка, наблюдалось избыточное, по сравнению со звездой B8, излучение. Это добавочное излучение можню представить как явлучение небулярного континуума с электронной темпе-

ратурой $T_e=10\,000~{\rm K}$ и электронной плотностью $N_e>10^6~{\rm cm}^{-3}$ с распределением энергии из [25]. Процентный вклад газовой оболочки в суммарное излучение «звезда + оболочка» варьировался до достижения наилучшего совпадения наблюдаемого и вычисленного распределений энергии. Крестиками на рис. 4 представлены разности между наблюдаемым и вычисленным потоками, а доля газового компонента в суммарном излучении составляла: 2.4% в 1969 г.; 2.7% в 1970 г.; 1.3% в 1971 г.; 1.2% в 1972—1973 гг.; 1% в 1974 г. и 0.8% в 1975 г.

Однако, начиная с 1977 г., такая двухкомпонентная модель уже не могла объяснить наблюдаемое распределение энергии. Дело в том, что с 1977 г. наблюдалась ультрафиолетовая недостаточность излучения по сравнению со звездой В8. Из рис. 4 видно, что при мало меняющемся распределении энергии в области λ 4000—7000 А поглощение за бальмеровским скачком (λ 3200—3700 А) достигло максимальной силы в 1982 г., а затем постепенно уменьшалось. В 1977—1985 гг. величина бальмеровского скачка в спектре Плейоны соответствовала более низкой, чем у звезд В8, вффективной температуре: T_{eff} = 8500 К в 1982 г., 9700 К в 1984 г. и 11000 К в конце 1985 г. Спектрофотометрический градиент в области λ 3200—3700 А (ϕ 1) в 1982 г. соответствовал еще более низкой температуре, чем получалось по бальмеровскому скачку — T_{cn} = 8000 К. Это происходило на фоне мало меняющейся яркости звезды и практически не меняющихся показателей цвета (B—V) и эквивалентной ширины эмиссионной линии H_{z} .

Ультрафиолетовую блокировку излучения звезды трудно связать с увеличением непрозрачности всей оболочки в бальмеровском континуумс, т. к. тогда вряд ли оставались бы неизменными $W(H_{\scriptscriptstyle ullet})$ и яркость звезды в фильтре V. Кроме того, поскольку коэффициент непрерывного поглощения водорода меняется как у-3, то распределение энергии за бальмеровским скачком было бы иное, чем наблюдается. Возможно, после 1977 г. в оболочке усилились процессы, приведшие к стратификации физических условий, к появлению значительных по размеру относительно «холодных» областей. Это, з свою очередь, привело к резкому увеличению бальмеровского скачка и усилению линий поглощения, переналожение которых з ультрафиолетовой области способствовало увеличению следовательно, привело к понижению спектрофотометрической температуры. Действительно, согласно исследованиям линейчатого спектра Плейоны за 1973—1976 гг. [23, 26—28], оптическая толщина оболочки в линия На уменьшалась, а в линиях металлов — росла. В ультрафиолетовой области (д. 3000-3600 A) динии Fe II очень многочисленны и образуют цеаме полосы поглощения. Согласно [29], они реэко усилились в 1977 г., что хорошо видно и на наших спектрах, хотя для детального исследования

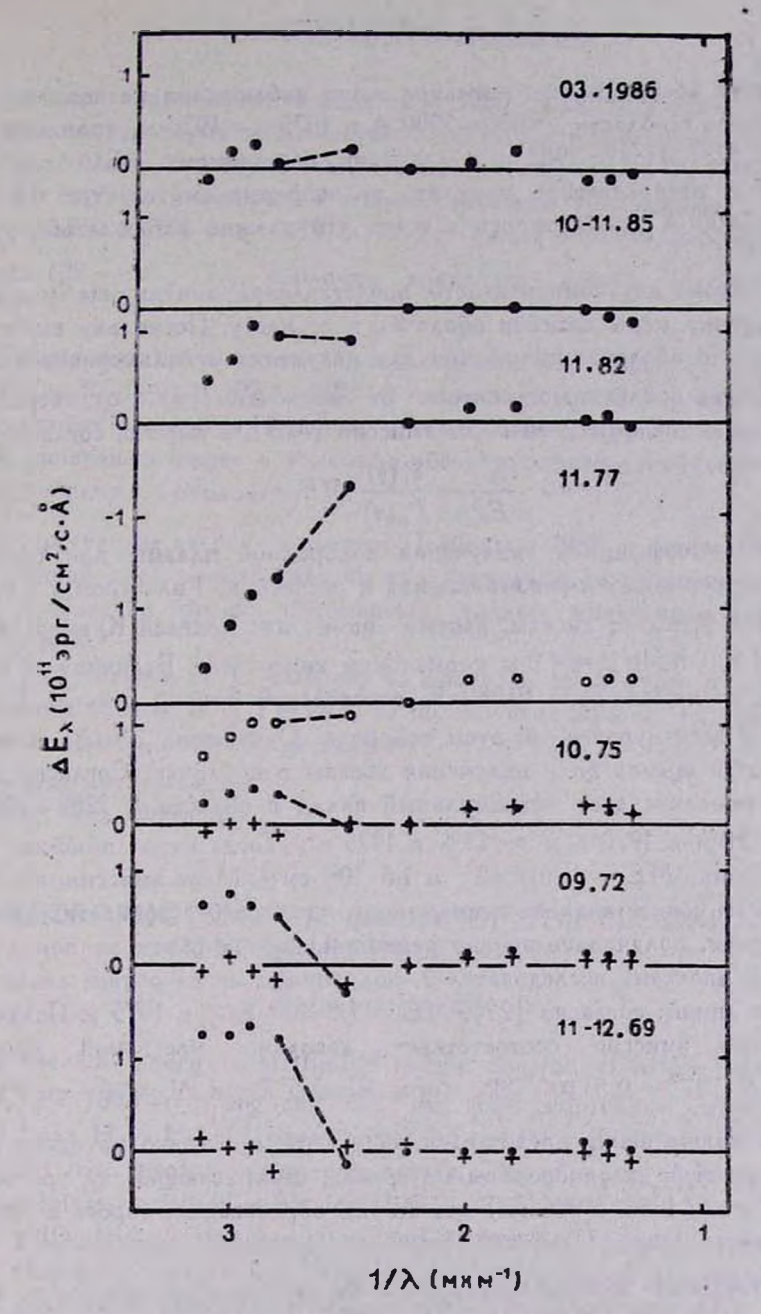


Рис. 4. Разности между наблюдаемым потоком и теоретическим для модели звезды с $T_{eff}=11\,500~{\rm K}$, $\lg g=4.0$ и нермального химсостава в единицах 10^{-11} эрг/см²с А представлены точками. Крестиками обозначены разности между потоком, наблюдаемым и вычисленным для звезды + газ с $T_e=10\,000~{\rm K}$ и $N_e>10^8~{\rm cm}^{-3}$ для некоторых групп. Соответствующие этим группам месяцы и годы указаны цифрами. Доля газового компонента в суммарном излучении приводится в тексте.

линейчатого абсорбционного спектра наши наблюдения не подходят. Линии металлов в области λ 4000—5000 A в 1973 г.—1976 г. усилились почти в 3 раза [28]. После 1982 г. шелл-линии, по-видимому, стали ослабевать, и к 1986 г. распределение энергии в непрерывном спектре в области λ 3200—7600 A приблизилось к тому, что должно наблюдаться у звезды В8.

 H_a основе двухкомпонентного представления континуума можно поаучить оценку меры эмиссии оболочки и ее массу. Поскольку выше было показано, что оболочка проэрачна для излучения в бальмеровской, серии. то отношение наблюдаемого потока от оболочки (S.) и от звездь: (E.)является простой функцией меры эмиссии (ME), а именно, согласно [27],

$$\frac{S_{\star}}{E_{v}} = \frac{\varepsilon'(v)}{F_{*}(v)} \cdot ME,$$

где в'(v) — кооффициент излучения водородной плавмы при свободносвободных переходах и рекомбинациях в расчете на 1 влектрон и 1 протон, а $F_*(v)$ — поток от звезды, взятый нами из моделей Куруца [4] при $T_{eff} = 11500$ K, $\lg g = 4.0$ н нормальном химсоставе. Величину в'(у) мы оценили, принимая $T_e = 10\,000$ K, гаунтовский фактор равным 1 и рассматривая десятиуровенный атом водорода. Отношение S, E, получается из наших оценок доли излучения звезды и оболочки. Согласно нашим данным, оболочка дает максимальный вклад в области д 3200—3500 А: $S_{\rm r}/E_{\rm r} pprox 30\%$ в 1970 г. и pprox 13% в 1975 г. Тогда мера эмиссии будет соответственно $ME = 4 \cdot 10^{35}$ см⁻⁵ и $1.6 \cdot 10^{35}$ см⁻³. Мера эмиссии, вычисленная нами на основе анализа непрерывного спектра без конкретизации формы оболочки, получилась вполне разумной, но она почти на порядок выше, чем у японских исследователей, получивших ее на основе анализа водородных линий: согласно [27], $ME = 1.8 \cdot 10^{84}$ см⁻⁵ в 1975 г. Полученная нами мера вмиссии соответствует довольно массивной $\mathfrak{M}_{\text{об.}} \approx 1.2 \cdot 10^{-9} + 0.5 \cdot 10^{-9} \, \mathfrak{M}_{\odot}$ (при $R_* = 5 \, R_{\odot}$ и $N_{\bullet} = 10^{11} \, \text{см}^{-3}$).

- 7. Заключение. В представленной работе проведено изучение непрерывного спектра на однородном материале, охватывающем на протяжении почти 17 лет (1969—1986 гг.) все стадии образования, сброса и диссипации оболочки вокруг Плейоны. Получены следующие результаты:
- 1. Изменение эквивалентной ширины эмиссионной линии H_{α} коррелирует с изменением блеска в фильтре V, являясь как бы предвестником последних.
- 2. Изменения спектрофотометрического градиента в ультрафиолетовой области (λ 3200—3700 A) и величины бальмеровского скачка коррелируют с изменением показателя цвета (U—B).

- 3. Распределение внергии в области λ 3200—7600 A в 1969—1975 гг. можно представить двумя компонентами: эвездой с эффективной температурой $T_{eff}=11\,500$ К и газом с электронной температурой $T_e=10\,000$ К и $N_e>10^6$ см $^{-3}$, доля которого в общем излучении уменьшалась от 2.4% в 1969 г. и 2.7% в 1970 г. до 0.8% в 1975 г. Таким образом, довольно значительная ($\mathfrak{M}\sim10^{-9}\,\mathfrak{M}_\odot$) оболочка появилась вокруг Плейоны еще в 1969 г.
- 4. Блокировка излучения звезды в ближней ультрафиолетовой области (7. 3200—3600 A) в 1977—1985 гг., возможно, связана с существованием различных условий в оболочке, с появлением обширных «холодных» областей, приведших также к усилению абсорбционного линейчатого спектра, образующегося в оболочке.
- 5. Распределение внергии в спектре Плейоны в 1986 г. свидетельствует о существенной диссипации оболочки или значительном уменьшении ME, т. к. оно достаточно хорошо описывается только излучением ввезды с $T_{ejj}=11\,500$ К.

Автор благодарен А. С. Шарову за проявленный интерес к работе и разносбразные советы, В. П. Гринину за полезную дискуссию и Л. М. Кривошенной за помощь в обработке данных.

Государственный астрономический институт им. П. К. Штериберга

SPECTROPHOTOMETRIC STUDY OF THE PLEIONE'S CONTINUUM IN 1972—1986

V. T. DOROSHENKO

The spectral energy distribution in the continuum of Pleione from λ 3200 A to λ 7600 A in erg cm⁻² s⁻¹ A⁻¹ and equivalent widths for hydrogen lines H_a— H_b has been measured on the basis of the observations with low resolution spectrometers. The changes of V-magnitudes are correlated with H_a-emission line equivalent widths under some temporal shift delate. Balmer jump and ultraviolet spectrophotometric gradient change in accordance to color index (U—B). A comparision of deredded continuum energy distribution with Kurucz's model with $T_{\rm eff}$ = 11 500 K, log g = 4.0 and solar abundances plus optically thin emission from a circumstellar shell with T_e = 10 000 K, N_e > 10° cm⁻³ have shown that the observations can be fitted best if the contribution of shell had decreased from 2.7°/ $_0$ in 1970 to 0.8°/ $_0$ in 1975. Colors and energy distribution in λ 3200—7600 A of Pleione in 1986 nearly cor-

respond to the spectra of B8 star. Emission measure of the envelope in 1975 is $\approx 1.6\cdot 10^{35}$ cm⁻⁵ and its mass is $\approx 5\cdot 10^{-10}$ M_{\odot}.

ЛИТЕРАТУРА

- 1. V. Doaszan, Astron. and Astrophys., 8, 148, 1970.
- 2. N. U. Mayall, Astrophys. J., 69, 272, 1984.

.3. P. Bartholdi, Astron. J., 80, 445, 1975.

- 4. R. L. Kurucz, Astrophys. J. Suppl Ser., 40, 1, 1979.
 - 5. И. Б. Волошина, И. Н. Глушнева, В. Т. Дорошенко, Е. А. Колотилов, Л. В. Моссаковская, С. Л. Овчинников, Т. С. Фетисова, Спектрофотометрия ярких звезд, Справочинк, Наука, М., 1982.

6. А. П. Ипатов, Астрон. циркуляр, № 1160, 1, 1981.

- 7. И. Н. Глушнева, И. Б. Волошина, В. Т. Дорошенко, Л. В. Моссаковская, С. Л. Овчинников, Т. С. Хрузина, Тр. Гос. Астрон. ин-та им. П. К. Штериберга, 54, 3, 1984.
- '8. R. E. Schild, Astrophys. J. Suppl. Ser., 37, 77, 1978.
- 9. M. Golay, N. Manron, Astron. and Astrophys. Suppl. Ser., 47, 547, 1982.
- 110. H. Johnson, W. W. Morgan, Astrophys. J., 117, 313, 1953.
- 11. А. Х. Маматказина, З. А. Кудрявцева, Астрон. циркуляр, № 841, 1, 1974.
- 12. А. Х. Маматказина, З. А. Кудрявцева, Тр. Астрофиз. ин-та АН Каз.ССР, 42, 81, 1983.
- F. Van Leeuven, J. J. M. Meyes, P. Alphenaar, Inform. Bull. Var. Stars, № 2173,
 3, 1982.
- P. S. Goraya, N. S. Tur, B. S. Rautela, Inform. Bull. Var. Stars, No. 3052, 1, 1987.
- 15. Л. М. Сапарзалиева, Тр. Астрофиз. ин-та АН Каз.ССР, 42, 81, 1983.
- 16. А. С. Шаров, В. М. Лютый, Перемен. звезды, 18, 377, 1972.
- 17. А. С. Шаров, В. М. Люгый, Астрон. циркуляр, № 872, 1, 1975.
- 18. А. С. Шаров, В. М. Лютый, Астрон. циркуляр, № 956, 5, 1977.
- 19. А. С. Шаров. В. М. Лютый, Астрон. циркуляр, № 1119, 1, 1980.
- 20. А. С. Шаров, В. М. Лютый, Астрон. циркуляр, № 1333, 1, 1984.
- 21. А. С. Шаров, В. М. Лютый, Астрон. ж., 65, 593, 1988.
- 22. Н. Л. Иванова, Аспрон. циркуляр, № 826, 4, 1974.
- 23. R. Hirata, T. Kogure, Publ. Astron. Soc. Jap., 28, 509, 1976.
- 24. W. W. Morgan, R. A. White, J. W. Tapacott, Astron. J., 78, 302, 1973.
- А. А. Боярчук, Р. Е. Гершберг, Н. В. Головников, Изв. Крым. астрофиз. обсерв., 38, 208, 1967.
- 26. R. Hirata, T. Kogure, Publ. Astron. Soc. Jap., 29, 477, 1977.
- 27. R. Hirata, T. Kogure, Publ. Astron. Soc. Jap., 30, 601, 1978.
- 28. T. Higurashi, R. Hirata, Publ. Astron. Soc. [ap., 30, 615, 1978.
- 29. D. Ballereau, Astron. and Astrophys. Supll. Ser., 41, 305, 1980.
- 30. J. Andrillat, Ch. Ferenbach, Astron. and Astrophys. Suppl. Ser., 48, 93, 1982.
- 31. U. Hopp, S. Witzigmann, E. H. Geyer, Inform. Bull. Var. Stars, No 2148, 1982.
- 32. A. Slettebak, R. S. Reynolds, Astrophys. J. Suppl. Ser., 38, 205, 1978.
- 33. G. Fontaine, B. Villeneuve, J. D. Landstreet, R. H. Taylor, Astrophys. J. Suppl. Ser., 49, 259, 1982.

АСТРОФИЗИКА

TOM 30

ФЕВРАЛЬ, 1989

ВЫПУСК 1

УДК: 524.86Не

СПЕКТРОСКОПИЧЕСКОЕ ИССЛЕДОВАНИЕ Hg — Mn ЗВЕЗДЫ «Спс. І. ВЫБОР ПАРАМЕТРОВ МОДЕЛИ АТМОСФЕРЫ И ОПРЕДЕЛЕНИЕ СОДЕРЖАНИЯ ГЕЛИЯ

В. М. ДОБРИЧЕВ, Д. В. РАЙКОВА, Т. А. РЯБЧИКОВА, Г. П. ТОПИЛЬСКАЯ

> Поступнаа 21 октября 1987 Принята к печати 22 августа 1988

Показано, что бланкетированная модель атмосферы Hg-Mn звезды \varkappa Cne е $T_e=12\,800$ K и $\lg g=3.7$ (Стемпянь, Мутсам) полностью описывает профили линий H_a , H_{\uparrow} и H_{δ} в спектре этой звезды. Методом расчета смитетического опектра опредслено содержание He в атмосфере \varkappa Cnc He/H = 0.017, что почти в 3 раза превышает величину, полученную для этой звезды ранее Адельманом. По изотопному сдвигу линий определено изотопное содержание 3 He/He = 0.35, что свидетельствует о действии процесса диффузионного разделения элементов в атмосфере \varkappa Cnc.

1. Введение. В последние годы интенсивное развитие получило исследование спектров звезд в ультрафиолетовой области, особенно спектров пекулярных звезд, где обнаружены линии элементов, не наблюдающиеся в визуальной области. Из-за сильного блендирования спектров в ультрафиолете выделить те или иные интересные линии, а тем более оценить обилие элемента можно только путем расчета синтетического спектра, а для этого важно знать содержание тех элементов, линии которых хорошо представлены в фотографической области спектра. Звезда × Спс включена в список Нд-Мп звезд для исследования на космическом телескопе и на спутнике «Астрон». Химический состав « Спс изучался рядом авторов [1-6], однако, в определении содержания почти всех элементов, особенно элементов железного пика, имеется значительное расхождение. Это же относится и к определению параметров атмосферы звезды. В последнее время значительно улучшены системы сил осцилляторов для ряда элементов, а также рассчитаны полностью бланкетпрованные модели атмосфер некоторых звезд, в том числе и × Cnc, с учетом существующих аномалий химического состава. Поэтому и было решено провести дополнительный детальный анализ химического состава атмосферы × Cnc. Краткие предварительные результаты втого анализа приведены в работе [7]. В первой части настоящей статьи будет проведено подробное обоснование выбора модели атмосферы к Спс, определено вначение параметра микротурбулентной скорости и содержания Не методом расчета синтетического спектра.

- 2. Наблюдательный материал. Спектральный анализ Hg-Mn звезды х Спс был проведен по 3-м спектрам с дисперсией 4.2 А/мм, полученным в фокусе куда 2-м телескопа Национальной астрономической обсерватории Болгарской Академии наук в области 3700—4800 А. Кроме того, были использованы спектры, шолученные с помощью Ретикона на 3.6-м телескопе обсерватории Машпа-Кеа. Спектры получены в области 20. 4923 и 5035 с полосой 65 А. Эти спектры были любезно присланы нам профессором В. Велау (Канада), подробное описание их приведено в работе [8]. Отождествление линий в спектре х Спс проводилось обычным образом с использованием списков линий из работ [9—11].
- 3. Модель атмосферы. В литературе имеется значительное расхождение в определении эффективной температуры у Спс (от 12800 К в работе [12] до 14 400 К в работе [2]), значения параметра микротурбулентной скорости (от 0 до 5.0 км/с) и в меньшей степени ускорения силы тяжести (от 3.45 до 4.0). В 1981 г. Стемпинь и Мутсам [12] рассчитали бланкетированные модели атмосфер для Нд-Мп ввезд 53 Тац и и Спс с учетом аномалий химического состава. Они нашли, что модель с параметрами $T_c = 12\,800$ K, $\lg g = 3.7$ хорошо представляет наблюдаемое распределение энергии в спектре × Спс в области от 1300 до 8000 А. Выходящий поток излучения более чувствителен к температуре, поэтому для проверки эффективного ускорения силы тяжести нами был проведен расчет профилей бальмеровских линий На, Н, и На, крылья которых для данных температур довольно чувствительны к изменению 1g g. Расчет проводился по программе Куруца «ВАLMER»; использовалась теория уширения из работы [13]. Спекто и Спс в области линии На был любезно получен для нас научным сотрудником Крымской астрофизической обсерватории АН СССР И. С. Савановым на 2.6-м телескопе с помощью ПЗС-матрицы. Точность ~ 2%, что соответствует для исследуемой эффективной температуры точности ± 0.1 в 1g g. Сравнение вычисленных и наблюдаемых профилей линий На, Н, и На приведено на рис. 1. За исключением самого центра линии На модель Мутсама и Стемпиня очень хорошо описывает наблюдаемые профили водородных линий в спектре × Спс. Одной из возможных причин расхождения для ядра линии На является несколько гру-

бая сетка по τ в самых верхних слоях модели атмосферы, что не влияет на расчет спектральных линий других химических элементов. В крыльях линий расхождение не превышает указанной выше точности определения $\lg g$, обусловленной ошибками наблюдений. Поэтому для анализа хими-

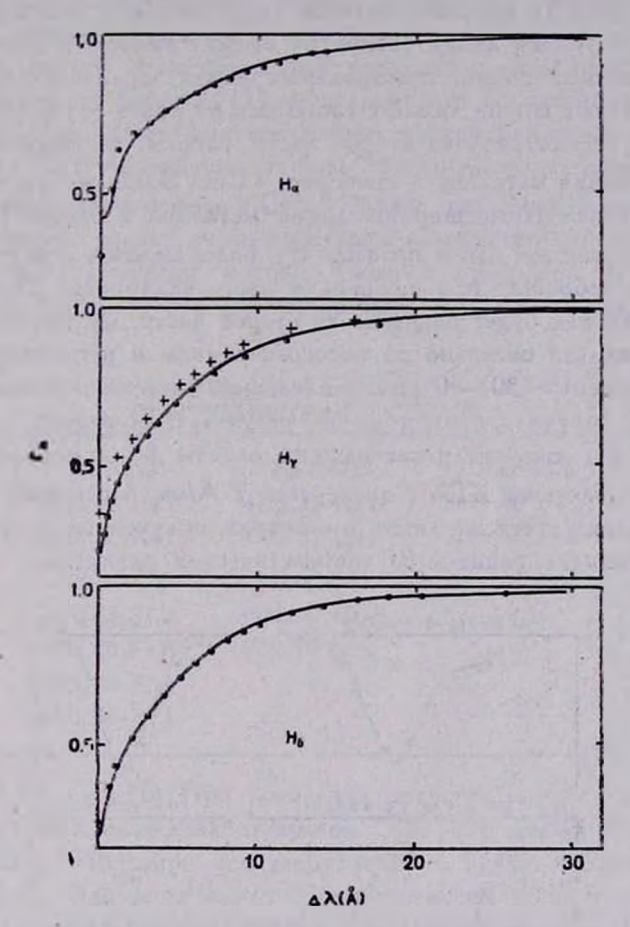


Рис. 1. Сравнение наблюдаемого (\bullet) и теоретического (сплошная линия) профилей H_{α} , H_{γ} и H_{δ} . (+) — наблюдения Адельмана [5].

ческого состава мы в дальнейшем использовали для \times Спс модель Мутсама и Стемпиня с параметрами $T_c = 12\,800$ K, $\lg g = 3.7$. Совсем недавно Мутсам и Зохлинг [6] рассчитали новую бланкетированную модель атмосферы \times Спс, которую они использовали при анализе химического состава. Новая модель имеет те же параметры, но при ее расчете брался химический состав \times Спс, полученный в этой же работе и отличный от того, который использовался в предыдущих расчетах [12]. Сравнение распределе-

ния температуры с глубиной для двух моделей показало, что максимальное отличие не превышает 200-300К. Мутсам и Зохлинг также получили хорошее согласие наблюдаемых и теоретических профилей линий Н, и Н, Однако сравнение нашего наблюдаемого профиля Н, с профилем из работы [5] (см. рис. 1) показало наличие существенного расхождения, которое растет с глубиной линии. Такой же эффект заметен и при сопоставлении эквивалентных ширин опектральных линий. Сравнение нашей системы эквивалентных ширин линий с системами из работ [5] и [6] более подробно будет рассмотрено во второй части работы, посвященной исследованию содержания металлов в атмосфере к Спс. Здесь же мы только отмечаем, что эквивалентные ширины линий металлов в работе [5] систематически ниже, так же, как и профиль Н, более мелкий. Это очень похоже на эффект калибровки. Мы проверяли нашу калибровку двумя способами. Во-первых, как будет показано во второй части, мы проведили анализ содержания железа отдельно по фотографическим и ретиконным спектрам с использованием ~ 30-40 линий в каждой области и с высокой степснью точности получили один и тот же результат. Во-вторых, одним из авторов (Т. А. Р.) уже после завершения работы были получены спектры «Спс на 6-м телескопе БТА с дисперсией 7 А/мм. Сравнение эквивалентных ширин одних и тех же линий в спектрах, полученных на разных телескопах, не выявило каких-либо систематических различий

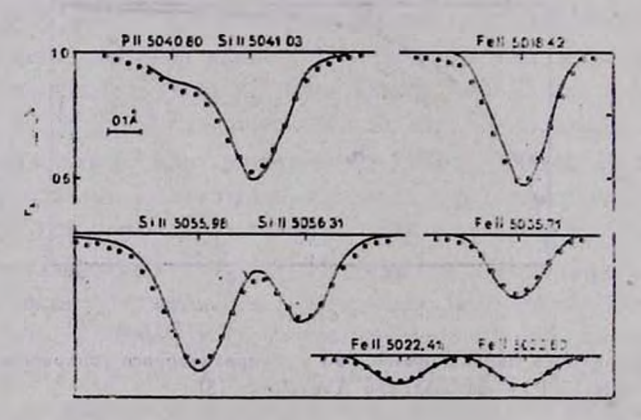


Рис. 2. Синтетический спектр в области некоторых линий Si II и Fe II. • — наблюдения. — — расчеты для Ig Si/H = — 4.40, Ig P/H = — 4.55 g Fe/H = — 4.41 Параметр микротурбулентной скорости выбирался стандартным требованием независимости содержания элемента от эквивалентной ширины линии по линиям Fe II. В атмосфере × Спс втот параметр сказался близок к 0 км/с, что характерно и для других Hg-Mn звезд.

4. Расчет солержания гелия. В имеющейся в нашем распоряжении спектргльной области наблюдаются несколько линий Не I разной интенсивности. По эквивалентным ширинам 5 линий (ДД 4026, 4121, 4471, 4922 и 5016) мы получили среднее содержание Не в атмосфере × Спс Не/Н = 0.017 ± 0.008. Синтетический спектр в области 5 линий Не I, исключая Д 4026, рассчитывался по методике, описанной в работе [14]. Линии Не I рассчитывались с учетом тонкой структуры, силы осциаляторов для них были взяты из работы [15], а штарковские постоянные затухания из работы [16]. При расчете синтетическото спектра для каждой из пяти областей линий Не I учитывалось от 5 до 10 спектральных линий элементов, присутствующих в атмосфере х Спс. Однако реальный вклад в профиль линий Не I вносят только очень небольшое количество линий, главным образом Ті II и Fe II, список которых вместе с линиями Не I приведен в табл. 1. Силы осциаляторов для линий металлов были взяты из работ

Таб.1ица 1 СПИСОК ЛИНИЙ, УЧАСТВУЮЩИХ В РАСЧЕТЕ СИНТЕТИЧЕСКОГО СПЕКТРА

	He I 4121	He I 4713	He I 5016
	4120.81 He I	4713.15 He I	5015.68 He I
	4120.91 He I	4713.38 He I	5015.75 Fe II
	He 4471	He I 4922	
	4470.87 Ti II	4921.30 Mn II	1
4	4471.10 Fe II	4921.93 He I	
	4471.48 He I		
	4471.68 He I		

[17] и [20] (для Fe II) При сравнении расчетов с наблюдениями было отмечено, что некоторые наблюдаемые профили линий He I, особенно λλ 4471, 4922 и 5016, шире, чем теоретические. Также наблюдается сдвиг по длине волны. Одним из возможных сбъяснений этого вффекта, хотя и не для всех линий, является наличие в атмосфере изотопа ³He. В работе [19] исследовалась группа звезд на предмет выявления изотопа ³He по сдвигу длины волны центра линии He I λ 6678, имеющей самый большой изотопный сдвиг в оптической сбласти Δλ = 0.50 A. Для × Спс была получена только верхняя оценка ³He/⁴He ≤ 0.35. Наши расчеты синтетического спектра подтвердили изотопное содержание ³He/⁴He = 0.35 в атмосфере × Спс. При расчете изотопные сдвиги были взяты такие же, как в работе [19]. На рис. З приведено сравнение наблюдаемых и теоретических участ-ков спектра в области линий He I. В центре линий, полученных по фотографическим спектрам, приведены определения профяля при усреднении

трех спектров. Профили линий $\lambda\lambda$ 4922 и 5016. полученные по ретиконным спектрам с точностью $\leq 1\%$ и более высоким спектральным разрешением и имеющие изотопные сдвиги $\Delta\lambda=0.33$ и 0.21 А соответственно, приведены для наглядности с большим масштабом по оси длин волн. Изотопный сдвиг для всех остальных линий He I мал (~ 0.07 А) и не приведен на рис. 3. Попадающий в область λ 4922 профиль линии Xe II λ 4921.50 не рассчитывался, поскольку мы не нашли для этой линии данных по силам осцилляторов. Теоретический спектр не везде соответствует одному значению содержания He: для линий $\lambda\lambda$ 4121 и 4713 He/H = 0.027, для остальных линий He/H = 0.0135. В рамках используемых нами атомных констант и теории уширения мы можем отнести это расхождение только за счет ошибок в определении профилей более слабых линий в фотографических спектрах. Точно так же мы не можем объяснить расхождение между ширинами наблюдаемых и теоретических профилей линии He I λ 4471, изотопный сдвиг для которой мал.

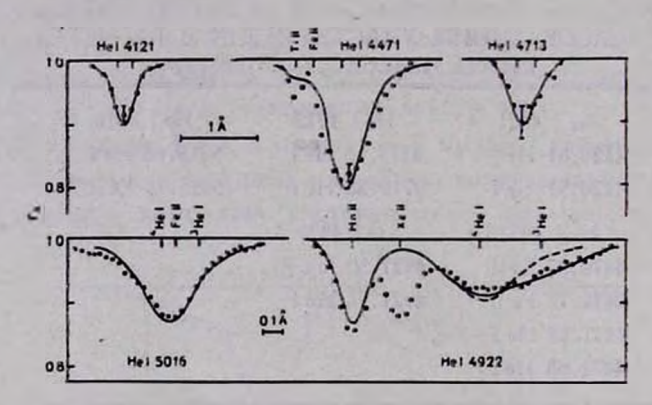


Рис. 3. Синтетический споктр в области 5-и линий Не I. • — наблюдения, — расчеты для He/H = 0.027, $^3He/^4He = 0.35$ ($\lambda\lambda$ 4121 и 4713) и He/H = 0.0135, $^3He/^4He = 0.35$ (остальные линии). ---- расчет для He/H = 0.0135 без учета 3He .

Полученное как по эквивалентным ширинам, так и путем расчета сиптетического спектра среднее значение содержания Нс в атмосфере × Спс Не/Н = 0.017 в 6 раз меньше солнечного, но почти в 3 раза больше значения из работы [5] и даже превосходит соответствующие величины для двух других Нд-Мп звезд 53 Тац и р Lep, исследованных там же. В өтой работе для объяснения дефицита Не привлекается механизм диффузии, и на примере 3-х звезд сделана попытка проследить изменение содержания Не в ходе эволюции, причем степень эволюции от главной последовательности определяется по значению lg g. Существование в атмосфере × Спс ивотопа 3Не, содержание которого почти на 4 порядка превосходит солнечное, является дополнительным свидетельством в пользу процесса диф-

фузионното разделения элементов в атмосфере звезды, предложенного Мишо [21] и специально рассмотренного для объяснения аномалий ³Не в работах [22, 23]. Что касается эволюции содержания Не, то, как показывают результаты нашей работы, которые согласуются с данными работ [1—4, 6] по определению ускорения силы тяжести в атмосфере с Спс, значение $\lg g = 3.45$ вероятнее всего является заниженным. Поэтому выводы работы [5] об эволюции содержания Не в Hg-Mn звездах надо рассматривать с большой осторожностью. Однако мы согласны с автором, что необходимо провести тщательный анализ содержания Не в атмосферах Hg-Mn звезд поля по спектрам с высоким отношением ситнала к шуму, особенно в области линий с большим изотопным сдвигом, чтобы проследить ход изменения содержания Не и, по возможности, его изотопного состава с параметрами, определяющими структуру атмосферы.

Результаты определения содержания металлов в атмосфере « Cnc будут опубликованы во II части данной работы.

В заключение авторы приносят благодарность проф. В. Велау (Канада) и научному сотруднику КрАО АН СССР И. С. Саванову за любезно присланные спектры и Спс, д-ру К. Стемпиню (ПНР) за предоставленную модель атмосферы и Спс и доценту кафедры астрономии Ростовского государственного университета В. В. Леушину за ценные замечания при обсуждении результатов работы.

Секция астрономии с Национальной астрономической обсерваторией Болгарской Ажадемии наук Астрономический совет АН СССР Ростовожий государственный университет

A SPECTROSCOPIC STUDY OF Hg-Mn STAR × Cnc.

1. A CHOICE OF MODEL ATMOSPHERE PARAMETERS
AND DETERMINATION OF HELIUM ABUNDANCE

V. M. DOBRICHEV, D. V. RAYKOVA, T. A. RYABCHIKOVA, G. P. TOPILSKAYA

A blanketed atmosphere model for Hg-Mn star \times Cnc with $T_s=12\,800\,\mathrm{K}$, $\log g=3.7$ (Stepien and Muthsam) is shown to describe fully H_s H_T and H_S line profiles observed in the spectrum of this star. Mean belium abundance derived by the method of spectral synthesis is He/H=0.017. This value is about 3 times greater than that derived by Adelman for \times Cnc. According to isotopic shifts of herm-21

lium lines an isotope ratio ³He/⁴He = 0.35 is obtained and this fact isconsidered as a support for diffusion mechanism operating in the atmosphere of × Cnc.

ЛИТЕРАТУРА

- 1. M. F. Aller, Astron. and Astrophys., 6, 67, 1970.
- 2. K. Kodaira, N. Takada, Ann. Tokyo Astron. Observ., Second Ser., 17, 79, 1978.
- 3. W. D. Heacox, Astrophys. J. Suppl. Ser., 41, 675, 1979.
- 4. B. N. G. Guthrie, Mon. Notic. Roy. Astron. Soc., 206, 85, 1984.
- 5. S. J. Adelman, Mon. Notic. Roy. Astron. Soc., 228, 573, 1987.
- 6. J. Zöchling, H. Muthsam, Astron. and Astrophys., 176, 75, 1987.
- 7. В. М. Добричев, Д. В. Райкова, Т. А. Рябчикова, Звездные атмосферы, Одесси. ум.-т. Одесса, 1987, стр. 119 (руж. деп. в УжрНИИНТИ, № 1230—Ук87).
- 8. J. B. Rice, W. H. Wehlau, Astrophys. J., 278, 721, 1984.
- 9. C. E. Moore, A Multiplet Table of Astrophysical Interest, Princeton, 1945.
- 10. L. Iglestas, R. Velasco, Publ. Inst. Opt. "Daza de Valdes"; No. 23, Madrid, 1964.
- J. Reader, C. H. Corliss, NSRDS-NBS 68, part 1, US Government/Printing Office, Washington, DC, 1980.
- 12. K. Stepten, H. Muthsam, Astron. and Astrophys., 100, 159, 1981.
- 13. C. R. Vidal, J. Cooper, E. W. Smith, Astrophys. J. Suppl. Ser., 25, 37, 1973,
- 14. В. В. Леушин, Г. П. Топильская, Астрофиявка, 25, 103, 1986.
- 15. L. C. Green, N. C. Johnson, E. K. Kolchin, Astrophys. J., 144, 369, 1966.
- 16. Г. Грим, Уширение спектральных анний в плавме, Мир, М., 1978.
- 17. R. Kurucz, E. Pegtremann, SAO Spec. Rep., No. 362, 1975.
- 18. S. C. Wolff, G. W. Preston, Astrophys. J. Suppl. Ser., 37, 371, 1978.
- 19. M. R. Hartoog, A. P. Cowley, Astrophys. J., 228, 229, 1979.
- 20. R. L. Kurucz, SAO Spec. Rep., No. 390, 1981.
- 21. G. Michaud, Astrophys. J., 160, 641, 1970.
- 22. G. Michaud, S. Vauclair, Astrophys. Lett., 11, 117, 1972.
- 23. S. Vauclair, G. Michaud, Y. Charland, Astron. and Astrophys., 31, 381, 1974.

АСТРОФИЗИКА

TOM 30

ФЕВРАЛЬ, 1989

выпуск 1

УДК: 524.3—355

О НАБЛЮДАЕМОМ ДЕФИЦИТЕ УГЛЕРОДА В АТМОСФЕРАХ В-ЗВЕЗД

л. с. любимков

Поступила 15 октября 1987 Принята и печати 5 январи 1988

Обсуждаются ревультаты определения содержания углерода в атмосферах В-звезд главной последовательности; все они указывают на заметный дефицит втого влемента относительно Солнува. Для ранних В-звезд особению вникое содержание С получается по сильным личкям С II λ 4267 г λ 1335, несмотря на учет отклонений от ЛТР. При этом по линия λ 4267 обваружена корреляция с $T_{вфф}$: для звезд В5—В7 эта лички дает практически нормальное содержание С, однако с увеличением $T_{вфф}$ растет дефицит С, который доститает порядка величины у внезд В0—В1. При использовании личий λ 4267 и λ 1335 суммарное содержание С + N в атмосферах ранних В-звезд ПП оказывается существенно ниже солнечного значения, в то время как на более поздней стадви вволюции (F—К-сверхиманты) внезды тех же масс показывают практически нормальную величину С+N. Сделан вывод о присутствии систематических ошибок в оценках, получаемых по λ 4267 и λ 1335. Показано, что ввалия более слабых личий С II в видимой области слектра приводит к результатам, удовлетворяющим условню постоянства С+N в процессе ьволюции.

1. Анализ линий в вивуальной области. Углерод является влементом, участвующим в СПО-цикле, повтому его содержание в атмосферах массивных звезд представляет большой интерес с эволюционной точки эрения. Цель настоящей заметки состоит в том, чтобы обратить внимание на следующее важное обстоятельство: в отличие от других влементов СПО-цикла содержание углерода в атмосферах В-звезд главной последовательности (ГП) показывает систематическое отличие от нормального (солнечного) значения. При втом большой дефицит С, найденный по некоторым линиям, по-видимому, существенно переоценен.

Согласно шоследним данным [1—3] содержавие углерода на Солнце составляет $\lg \epsilon_{\odot}(C) = 8.6 - 8.7$, причем эдесь использована обычная логарифивческая шкала, в которой для водорода принято $\lg \epsilon(H) = 12.0$. Большинство современных оценок, полученных для В-звезд ГП, указывает на существенно более вивкую величину $\lg \epsilon(C)$. Этот вывод следует яз

рассмотрения таба. 1, где представлены результаты массового определения lgs(C) по некоторым линиям С II.

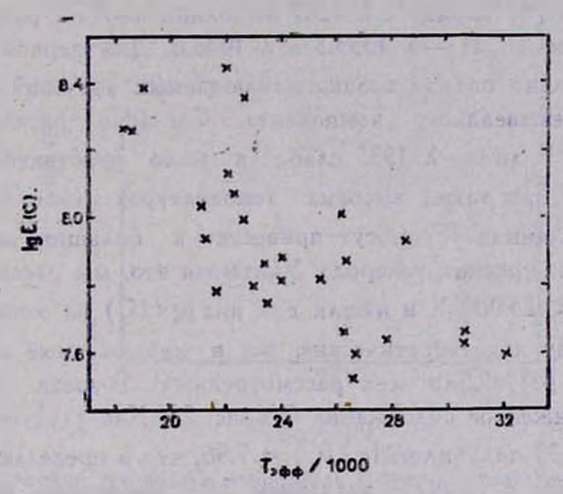
Таблица 1 ОЦЕНКИ СОДЕРЖАНИЯ УГЛЕРОДА, ПОЛУЧЕННЫЕ ПО ОТДЕЛЬНЫМ ЛИНИЯМ С II ДЛЯ ГРУПП В-ЗВЕЗД

Ливия	Метод расчетов	Число эвозд	lg & (C)	Автор, работа
4267	λТР	28	7.77±0.06	Кейн и др. [4]
4267	не-АТР [6]	28	7.91±0.05	Настоящее исслед
4267	яө-АТР	17	<8.0	Ленион [7]
3919	ATP	27	8.11+0.03	Браук и др. [8]
3919, 3921	ATP	4	8.10±0.07	Кинан и др. [9]
1335	но-АТР [6]	16	7.96±0.07	Настоящее исслед

Наиболее сильной линией С II в видимой области спектра является линия λ 4267. В 1980 г. Кейн и др. [4] опубликовали высокоточные измерения вквивалентной ширины W_{λ} этой линии для 28 сравнительно близких В-звезд. Анализ, выполненный при предположении о локальном термодинамическом равновесии (ЛТР), привел к заключению о пониженном содержании углерода. В среднем по данным [4] получаем $g \in (C) = 7.77$. В [4] было высказано предположение, что причиной столь низкого значения $g \in (C)$ является возможная ошибка в силе осциллятора f, принятой для λ 4267. Однако последующие уточнения величины f показали, что от такого объяснения приходится отказаться (см. [5]).

Недавно Сахибуллин [6] выполнил расчеты W_{Λ} трех линий С II при отсутствии Λ TP, в том числе и λ 4267. Используя эти вычисления, мы заново провели анализ линии λ 4267 для 28 звезд, рассмотренных в [4]. Результаты такого не- Λ TP анализа приведены на рис. 1 в зависимости от оффективной температуры $T_{\bullet \bullet \bullet}$. Ив рис. 1 следуют два вывода: 1) даже при отказе от предположения Λ TP все исследованные звезды показывают дефицит С (хотя в среднем содержание углерода несколько повысилось по сравнению с Λ TP, см. табл. 1); 2) величина $\lg \varepsilon$ (С) обнаруживает явный ход с $T_{\bullet \bullet \bullet}$. Очевидная связь между $\lg \varepsilon$ (С) и оффективной температурой звезд вызывает подозрение, что имеется какой-то неучтенный оффект. зависящий от $T_{\bullet \bullet \bullet}$ и приводящий к систематическим погрешностям в $\lg \varepsilon$ (С). Отметим, что если бы принятая для λ 4267 сила осциллятора действительно содержала ошибку, как предполагалось в [4], эта ошибка могла бы привести только к одинаковому сдвигу всех точек на рис. 1 по вертикальной оси, не нарушая хода с $T_{\bullet \bullet \bullet}$.

В среднем логарифм содержания углерода для 28 представленных на рис. 1 звезд составляет около 7.9 (табл. 1). Эта оценка подтверждается не-ЛТР расчетами Леннона [7], согласно которым по линии λ 4267 получиется содержание lg ε (C) < 8.0 (см. рис. 2 в [7]). По мнению этого автора линию λ 4267 лучше не использовать при определении lg ε (С) для звезд ранних типов; следует ограничиться анализом более слабых линий С II, расчеты которых менее подвержены влиянию различных неопределенностей.



Рвс. 1. Содержение углероде в втмосферах ранних В-звезд, спределенное по липип СП λ 4267, как функция эффективной температуры.

Браун и др. [8] нашли $\lg \epsilon(C)$ для 27 звезд южного неба, в основном по линии С II λ 3919. Исследованные звезды принадлежат шести удаленным скоплениям (расстояние d > 1 кпк), и средние значения $\lg \epsilon(C)$ для втих скоплений попадают в интервал от 8.0 до 8.2. Кинан и др. [9] определили содержание С у 4 звезд классов В1—В4 на высоких галактических широтах и получили по линиям С II λ 3919 и λ 3921 значения $\lg \epsilon(C)$ в диапавоне от 8.0 до 8.3. Таким образом, котя анализ линий λ 3919 и λ 3921 несколько повышает оценки $\lg \epsilon(C)$ по сравнению с λ 4267, содержание С все-таки остается существенно ниже солнечного значения $\lg \epsilon_{\odot}$ (C) = 8.6—8.7. Отметим, что в качестве среднего значения для нормальных В-звезд в [8, 9] приведена величина $\lg \epsilon(C) = 8.2$.

2. Аналив линий в ультрафиолетовой области. Линии в ультрафиолетовой области спектра, как выяснилось, также указывают на пониженное содержание С в атмосферах В-звезд. Кемп [10] вычислил эквивалентныеширины ряда УФ-личий СІІ и СІІІ при отсутствии ЛТР и показал, что наблюдаемые значения W_{λ} линий СІІ λ 1335.71 и СІІІ $\lambda\lambda$ 1256.52, 1175.65 и 1247.38 у В-звезд ГП заметно меньше теоретических, причем нередко в 2 раза и более. Сахибуллин и Ван дер Хухт [11] обнаружили аналогичное расхождение: для звезд подкласса О8 и более поздних наблюдаемые эквивалентиые ширины линий СІІІ $\lambda\lambda$ 977 и 1175 лежат существенно ниже теоретических не-ЛТР значений W_{λ} , вычисленных при нормальном содержании углерода, причем различие нарастает с понижением T_{200} .

Свхибуллин [6] наряду с д 4267 выполнил не-АТР расчеты для двух резонансных линий С II — λ 1335.3 и λ 1036.8. Для первой из них в [6] понведена довольно полная сводка наблюдаемых значений W_1 , полученных с учетом межзвездного компонента. Согласно расчетам [6] $T_{\rm 200} > 25\,000$ K линия λ 1335 слаба и мало чувствительна к выбору lg в (C), поэтому при таких высоких температурах небольшие ошибки в измеренных значениях W1 могут привести к большим погосшностям в определяемом содержании углерода. Учитывая это, мы рассмотрели только ввезды с $T_{\bullet \bullet \bullet}$ < 25 000 К и нашан для них $\lg \epsilon$ (C) на основе данных [6] (имеются в виду как теоретические, так и наблюдаемые значения W1235. приведенные в [6]). Для всех рассмотренных В-звезд анализ линии 1 1335 дал пониженное содержание С (рис. 2). Как следует из табл. 1, в среднем по λ 1335 получилось і д ε (С) = 7.96, что в поеделах ошибки опоелеления совпадает с не-ЛТР значением 7.91, найденным нами по линии λ 4267. Отметим, что для λ 1335 не обнаружено такой зависимости от T_{воф.}, какая представлена на рис. 1 для линии λ 4267; возможно, отчасти вто связано с более низкой точностью измеренных значений И, с меньшим числом рассмотренных звезд (16 вместо 28) и с более узким диапазоном ивменения $T_{\text{вес.}}$ (рис. 2).

3. Оценки Ig є (С) для отдельных ярких В-явеяд. До сих пор мы обсуждали результаты массового определения Ig є (С) по отдельным лимиям С ІІ. В дополнение к этим результатам следует рассмотреть данные, полученные для отдельных ярких В-звезд ГП по всему доступному набору линий. Они приведены в табл. 2. Здесь представлены ранние и средние В-звезды с температурами 13 000 К ≤ T_{эфр.} ≤ 31 000 К; более колодные звезды не рассматриваются из-за слабости линий С ІІ в их спектрах. Подчеркнем, что все указанные в табл. 2 оценки Ig є (С) найдены по спектрам с высокой дисперсией.

Приведенные в таба. 2 данные взяты из работ [12—17], опубликованных начиная с 1970 г. Для т Sco и ч Нег представлено по два

вначения $\lg \varepsilon$ (C), причем второе значение для ι Нег получено путем анализа эквивалентных ширин [15] на основе модели атмосферы с параметрами $T_{\rm ext}=18\,000~{\rm K}$ и $\lg g=3.8$ (анализ ι Нег был основан на моделях Куруца [18] и выполнен А. А. Халайджян по нашей методике [19]). Отметим, что все значения $\lg \varepsilon$ (C) определены при условии Λ TP и в одной системе сил осцилляторов [20].

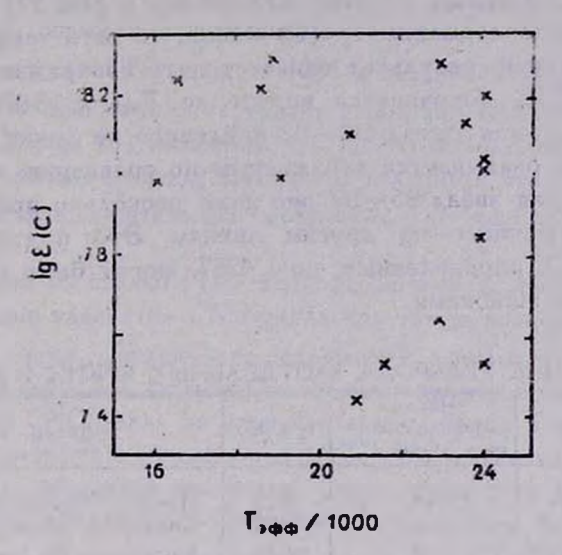


Рис. 2. Содержание углерода в атмосферах В-эвезд, спределенное по резонансной линии С II λ 1335, как функция эффективной температуры.

Поскольку линия λ 4267 дает при $T_{\bullet \bullet \bullet} \gg 18\,000$ К заниженную величину $\lg \varepsilon$ (C), причем ошибка может зависеть от $T_{\bullet \bullet \bullet}$. (рис. 1), мы исключили ее из рассмотрения и находили $\lg \varepsilon$ (C) по всем оставщимся линиям С II. Это не было сделано лишь для данных Петерс и Полидана [12], относящихся к τ Sco и ι Her, так как в [12] не приведены индивидуальные оценки $\lg \varepsilon$ (C) для исследованных линий. Однако это не должно заметно повлиять на точность найденного в [12] содержания углерода, потому что общее число использованных линий С II здесь достаточно велико (табл. 2).

Для всех 9 звезд, представленных в табл. 2, содержание углерода оказалось ниже солнечного значения. В среднем для них получаем $\lg \circ (C) = 8.38 \pm 0.03$. Эта оценка выше любого из значений $\lg \circ (C)$, приведенных в табл. 1. Тем не менее даже она дает содержание C, которое в 2 раза меньше, чем на Солнце. При этом расхождение во много раз превышает среднюю ошибку $\sigma = 0.03$.

Интересно отметить, что данные работ [13-17] по линии д 4267 дорошо укладываются в зависимость, представленную на рис. 1. Например. для т Sco (BOV) и à Lep (B0.5 IV), двух звезд с температурами $T_{\text{вос.}} \approx 30000 \text{ K, } [$ анализ $\lambda 4267 \text{ в } [13]$ привел к эначениям $\log \epsilon (C) =$ = 7.52 и 7.58 соответственно, что на порядок величины ниже солнечного значения. С другой стороны, для 5 приведенных в табл. 2 звезд подклассов В5-В7 (Твор. = 13000-15000 К) в [16, 17] в среднем по). 4267 найдено содержание $\lg \varepsilon(C) = 8.65$, то есть такое же, как на Солнце. Последний результат означает, что изображенный на рис. 1 ход $lg \in (C)$ с T_{200} , сохраняется вплоть до $T_{200} = 13000$ K. Отметим также, что если для звезд ВО-ВЗ найденное по линии д 4267 содержание углерода оказывается заниженным по сравнению с прочими линиями С II, то для эвезд В5-В7 оно даже несколько превышает оценки Іде (С), полученные по другим линиям. Это подтверждает, что значения Ig є (C), определенные по д 4267, могут быть отягощены систематическими ошибками.

Таблита 2 СОДЕРЖАНИЕ УГЛЕРОДА В ОТДЕЛЬНЫХ ЯРКИХ В-ЗВЕЗДАХ

Звезда	Sp	Чесло использован- ных линий С II	lg E (C)	Автор. работа
τSco	B0 V	14 11	8.27 8.20	Поторс и Полидан [12] Хардорп и Шольц [13]
λ Lep	B0.5 IV	7	8.43	Хардорп и Шольц [13]
γ Peg	B2 IV	26	8.45	Петерс [14]
ı Her	B3 IV	32 10	8.42 8.37	Петерс в Полидан [12] Пересчет по данным [15]
τ Her	B5 IV	2	8.32	Адолман [16]
HR 2154	B5 IV	4	8.41	Адолиан [17]
HR 5780	B6 IV	2	8.33	и и
21 Aql	B7 IV	2	8.28	11 11
π Cet	B7 V	2	8.56	11 10

Итак, аналез линий углерода как в визуальной, так и в УФ-области спектра приводит к выводу о пониженном содержании втого влемента в атмосферах В-эвезд. Линия С II λ 4267, являющаяся самой интенсивной в видимой области, обнаруживает сильную вависимость от $T_{\text{эфф.}}$: для ввезд В0—В1 по ней получается дефицит С на порядок величины, в то время как для ввезд В5—В7 по λ 4267 найдено нормальное содержание С. Корреляция с $T_{\text{эфф.}}$, возможно, является следствием систематических погрешностей в $\lg \varepsilon$ (С). Этот вывод кажется неожиданным, так как в случае λ 4267 как со стороны наблюдений (измерения W_{λ} [4]), так и со стороны

теории (не- Λ ТР расчеты [6]) как будто была обеспечена высокая точность значений $\lg \varepsilon$ (C).

4. Соотношение между содержаниями С и N. Углерод является единственным элементом СПО-цикла, обнаруживающим у B-звезд ГП столь явное и устойчивсе отклонение от нормального содержания. Для других элементов — He, N и O — средние содержания у B-звезд находятся в достаточно хорошем согласии с солнечными значениями. Например, для авота на основании не- Λ TP данных [21] в среднем получаем $\lg \varepsilon$ (N) = 8.11 ± 0.05 , что практически совпадает с оценкой $\lg \varepsilon_{\odot}$ (N) = 8.0 ± 0.1 , найденной для Солнца [1]. Отметим, что при этом содержание азота может меняться от звезды к звезде на порядок величины, что связано с равличиями в таких фундаментальных параметрах, как вовраст t и масса M (см. [21]).

Возможно, уже на стадии ГП в атмосферах В-звезд происходят изменен: я в содержании влементов СПО-цикла. На такую возможность указывают найденные нами зависимости содержаний азота и гелия от t и M [21, 22]. Если в фаве ГП существует какой-то механизм. приводящий к выносу продуктов СПО-цикла из недр массивной звезды в поверхностные слои, тогда одновременно с обогащением атмосферы гелием и азотом должно наблюдаться ее обеднение углеродом. Однако при этом суммарное содержание C+N, как отмечено в [23], должно оставаться приблизительно постоянным.

В настоящее время выполнить для углерода такой же аналия, какой был проведен для авота [21] и гелия [22], не представляется возможным, так как индивидуальные оценки $\lg \epsilon$ (C) для исследуемых В-звезд могут содержать систематические ошибки. В частности, несмотря на то, что для линии λ 4267 имеются достаточно обширные и однородные измерения W. [4], использовать вти данные для поиска корреляции между $\lg \epsilon$ (C) и параметрами t и M нельзя, поскольку полученные по ним результаты показывают сильную зависимость от $T_{\mathfrak{spp}}$. В то же время для других, более слабых линий C II подобные измерения отсутствуют. Учитывая скавянное, мы рассмотрим сначала средние значения $\lg \epsilon$ (C) и, сопоставляя их со средними значениями $\lg \epsilon$ (N), проверим, выполняется ли отмеченное выше условие о сохранении суммарното содержания $\lg \epsilon$ (C + N).

На рис. 3 обсуждавшиеся выше оценки содержания углерода $\lg \varepsilon(C)$ представлены в зависимости от содержания азота $\lg \varepsilon(N)$. Здесь же укавана точка S, соответствующая солнечным значениям $\lg \varepsilon_{\mathbb{O}}(C) = \pm 8.67 \pm 0.10$ и $\lg \varepsilon_{\mathbb{O}}(N) = 7.99 \pm 0.10$ [1], а также область, в которой

суммарное содержание $\lg z(C+N)$, оставзясь постоянным, в пределах указанных ошибок совпадает с $\lg z(C+N)$ для Соляца (заштрихованная полоса). Кроме того, по данным Лака и Ламберта [23] построены две точки, соответствующие средним содержаниям С и N для 25 нормальных (непульсирующих) F-, G- и K-сверхгигантов ($T_{\rm вфф.}=4000-7500$ K) и для 16 цефеид ($T_{\rm эфф.}=5009-6500$ K). Отметим, что содержание углерода в [23] определено по линиям CI.

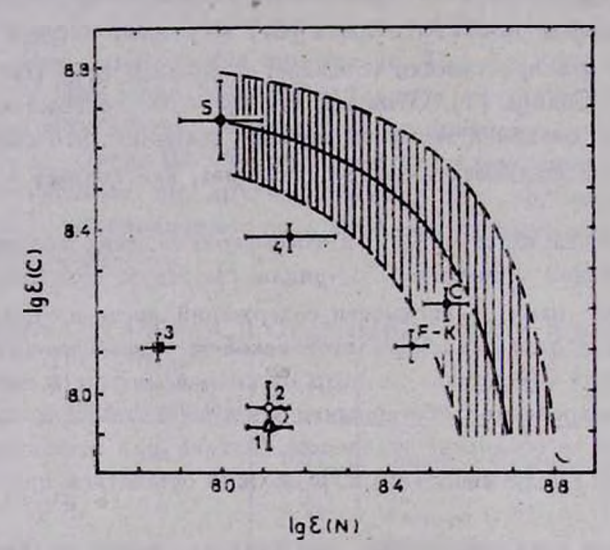


Рис. 3. Соотношение между средними содержаннями С в N в В-звездах и желтых сверхгигантах. Для В-звезд приведены следующие точки: 1—1g є(С) определено по лини λ 4267, 2— по λ 1335, 3— по λ 3919 [8], 4— средняя точка для 9 звезд из табл. 2. Другие обозначения: S— Солице, С— цефенды, F—К— нормальные F-, G- в К-сверхгичанты. Заштрихованная область соответствует нормальному зачачению суммарного содержания С+N.

Сопоставление В-звезд ГП и желтых сверхгигантов интересно по той причине, что эти два типа объектов являются двумя различными фазами в эволюции звезд одних и тех же масс (см. [21]). Из рис. З видно, что как нормальные сверхгиганты классов F—K, так и цефенды обнаружизают дефицит C и избыток N, однако при этом суммарное содержание этих двух элементов в пределах ощибок определения $\lg \circ (C)$ и $\lg \circ (N)$ согласуется с солнечным значением.

Иная ситуация наблюдается для В-звезд ГП. Хотя эта фаза в звездной вволюции предшествует фазе желтых свератигантов, тем не менее для В-звезд ГП часто получается более низкое суммарное содержание С+N, чем наблюдается на Солнце (на рис. 3 этим звездам соответствуют точки 1—4). Особенно большие отличия обнаруживаются для данных, получен-

ных по линиям С II λ 4267 и λ 1335 (точки 1 и 2 на рис. 3: здесь содержание С взято из табл. 1, а содержание N — из [21]), а также для значений $\lg z$ (C) и $\lg \varepsilon$ (N), найденных в [8] для В-звезд из шести удаленных скоплений (точка 3). В случае λ 4267 и λ 1335 такое расхождение можно рассматривать как еще один довод в пользу того, что анализ этих линий длет заниженные оценки $\lg \varepsilon$ (C). Что касается данных [8], то эдесь существуют два возможных объяснения: либо уже в дозвездном веществе, из которого сформировались рассмотренные в [8] удаленные В-звезды, существовал дефицит С (и N?), либо измеренные в [8] эквизалентные ширины занижень: (дисперсия спектрограмм здесь не столько высока, как в других рассмотренных работах).

Значения $\lg \epsilon(C)$ и- $\lg \epsilon(N)$, усредненные для 9 звезд по данным разных авторов (табл. 2), занимают наиболее близкое положение к полосе нормального суммарного содержания C+N (точка 4 на рис. 3). И котя эта точка не попадает в заштрихованную область, расстояние до нее уже сравнимо с ошибкой определения $\lg \epsilon(N)$. При этом полное содержание $\lg \epsilon(C+N)$ у рассматриваемых В-звезд в среднем оказывается почти таким же, как у нормальных F-K сверхгигантов (8.59 и 8.62 соответственно). То есть сохраняется постоянство величины $\lg \epsilon(C+N)$ в процессе вволюции.

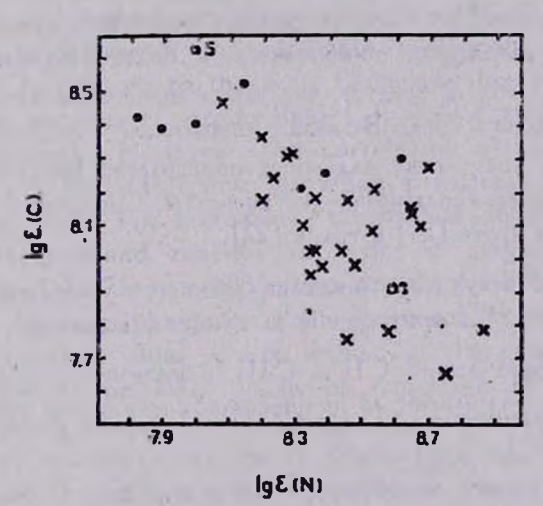


Рис. 4. Соотношение между яндивидуальными оценками lg s (C) и lg s (N), полученными для В-внезд из табл. 2 и для нормальных сверхгигантов классов F—К (по данным [23]). Точки соответствуют В-звездам, крестики — сверхгигантам; S—Солице.

На рис. 4 сопоставлены уже не средние, а индивидуальные оценки $\lg \varepsilon(C)$ и $\lg \varepsilon(N)$ для В-звезд из табл. 2 и для нормальных F—К сверхгигантов (для двух В-звезд из табл. 2 оценки содержания N отсутствуют).

Видим, что углерод и авот в желтых сверхгитантах показывают антикорреляцию, как и должно быть после первого глубокого перемешивания. Что касается В-ввезд ГП, то найденные для них вначения lg є (С) и lg є (N) с учетом ошибок определения неплохо согласуются с той зависимостью, которая получена для F—К сверхгигантов (напомним, что для В-звезд содержание С найдено по линиям С II, а для желтых сверхгигантов — по линиям С I). Интересно, что на рис. 4 нет четкого разделения между этими двумя типами звезд, и вто может свидетельствовать о непрерывной вволюции содержания С и N в атмосферах В-звезд ГП еще до перехода в фаву сверхгиганта (см. также [21]).

На основании рис. 3 и 4 можно сделать вывод, что представленные в таба. 2 оценки lg в (C) наиболее близки к реальному содержанию углерода в атмосферах В-эвезд. С другой стороны, значения lg e(C), найденные выше по линиям д 4267, 21335 и по линии д 3919 в [8] (точки 1-3 на рис. 3), следует признать заниженными, так как полученное на их основе суммарное содержание $\lg \varepsilon (C+N)$ оказывается существенно меньше того значения, которое наблюдается у эвезд тех же масс на более поздней стадин вволюции (фаза F—К сверхгитантов). Необходимы дальнейшие исследования, чтобы разобраться в причинах, приводящих к столь низким оценкам Ige (С) при испольвовании сильных линий С II λ 4267 и λ 1335. Вместе с тем необходимо исследовать больше ввезд по относительно слабым линиям СП, приводящим, по-видимому, к более реалистическим значениям lg e (С). Из таба. 2 следует, что такие значения получены пока лишь для очень небольшого числа В-эвезд. Лишь после того, как будет выполнено достаточное количество надежных определений lg в (С), можно будет искать для углерода эволюционные эффекты, полобные тем, что были найдены нами для авота [21] и гелия [22].

- 5. Выводы. В результате анализа данных о содержании углерода в атмосферах В-звезд ГП приходим к следующим выводам.
- 1) Большинство линий СІІ и СІІІ в видимой и ультрафиолетовой областях спектра указывает на пониженное содержание углерода в атмосферах таких звезд.
- 2) Особенно нижие значения $\lg \epsilon$ (С) для ранних В-звезд дает апализлиния λ 4267, которая является самой сильной линией С II в видимой областя спектра и поэтому часто используется при определении содержания С. Два результата указывают на возможное присутствие систематических ошибок в этих определениях: найденные по λ 4267 значения $\lg \epsilon$ (С) обнаруживают сильную зависимость от $T_{\rm exp}$; суммарное содержание C+N в атмосферах ранних В-звезд ГП оказывается существенно ниже того значе-

ния, которое имеют эвезды тех же масс на более поздней стадии эволюции (фаза F—К сверхгигантов).

- 3) Анализ резонансной линии С II λ 1335 приводит к аналогичному противоречию в величине C+N между В-звездами и желтыми сверхгитантами. Оценки $\lg \varepsilon(C)$, полученные по этой линии, также скорее всего занижены.
- 4) Рассмотрение более слабых линий С II приводит к заключению, что найденные по ним значения lg ε (С) удовлетворяют условию постоянства суммарного содержания C+N (исключая данные [8] по λ 3919). Анализ таких линий по спектрам с высокой дисперсией дает наиболее надежные сведения о содержании углерода в атмосферах В-звезд.

Крымская астрофизическая обсерватория

ON THE OBSERVED CARBON UNDERABUNDANCE IN THE ATMOSPHERES OF B STARS

L. S. LYUBIMKOV

The results of carbon abundance determination for main sequence B-type stars are discussed; they indicate significant underabundance of this element in relation to the Sun. Especially low abundance is obtained from the analysis of strong lines C II \(\lambda\) 4267 and \(\lambda\) 1335 in spite of non-LTE approach. Moreover, the correlation with Teff is found for λ 4267: for B5-B7 stars this line provides practically normal C abundance, however with Toff increasing, the carbon deficit becomes more and more appreciable and reaches an order of magnitude for B0-B1 stars. When the \(\lambda\) 4267 and \(\lambda\) 1335 lines are used, the sum of C and N abundances in the atmospheres of main sequence early B stars is significantly smaller than solar C+N value, at the same time the stars of the same masses on later phase of evolution (F-K supergiants) show approximately normal C+N value. The conclusion is made about the existence of systematic errors in evaluations inferring from \(\lambda \) 4267 and \(\lambda\) 1335 lines. It is shown that the analysis of weaker C II lines in the visible region of the spectrum leads to results which satisfy the condition of C + N conservation during considered stages of evolution.

ЛИТЕРАТУРА

- 1. D. L. Lambert, Mon. Notic. Roy. Astron. Soc., 182, 249, 1978.
- 2. А. А. Боярчук, М. Е. Боярчук, Изв. Крымской обсерв., 63, 66, 1981.
- 3. M. J. Harris, D. L. Lambert, A. Goldman, Mon. Notic. Roy. Astron. Soc., 224, 237, 1987.
- 4. L. Kane, C. D. McKetth, P. L. Dufton, Astron. and Astrophys., 84, 115, 1980.
- 5. H. Nussbaumer, P. J. Storey, Astron. and Astrophys., 96, 91, 1981.
- 6. Н. А. Сахибуллин, Астрон. ж., 64, 291, 1987.
- 7. D. J. Lennon, Mon. Notic. Roy. Astron. Soc., 205, 829, 1983.
- P. J. F. Brown, P. L. Dufton, D. J. Lennon, F. P. Keenan, Mon. Notic. Roy. Astron. Soc., 220, 1003, 1986.
- F. P. Keenan, P. J. F. Brown, D. J. Lennon, Astron. and Astrophys., 155, 333, 1986.
- 10. L. W. Kamp, Astrophys. J. Suppl. Ser., 48, 415, 1982.
- 11. Н. А. Сахибуллин, К. Ван дер Хухт, Астрон. ж., 60, 917, 1983.
- 12. G. J. Peters, R. S. Polidan, in "Calibration of Fundamental Stellar Quantities", IAU Simp. No. 111, 1985, p. 417.
- 13. J. Hardorp, M. Scholz, Astrophys. J. Suppl. Ser., 19, 193, 1970.
- 14. G. J. Peters, Astrophys. J. Suppl. Ser., 30, 551, 1976.
- 15. K. Kodatra, M. Scholz, Astron. and Astrophys., 6, 93, 1070.
- 16. S. J. Adelman, Astron. and Astrophys. Suppl. Ser., 64, 173, 1986.
- 17. S. J. Adelman, Mon. Notic. Roy. Astron. Soc., 206, 637, 1984.
- 18. R. L. Kurucz, Astrophys. J. Suppl. Ser., 40, 1, 1979.
- 19. Л. С. Любимков, Ияв. Крымской обсерв., 62, 44, 1980.
- W. L. Wiese, M. W. Smith, B. M. Glennon, Atomic Transition Probabilities, v. I., NSRDS-NBS 4, Washington, 1966.
- 21. Л. С. Любимков, Астрофизика, 20, 475, 1984.
- 22. Л. С. Любимков, Астрофизика, 29, 479, 1988.
- 23. R. E. Luck, D. L. Lambert, Astrophys. J., 298, 782, 1985.
- 24. F. Eber, K. Butler, Astron. and Astrophys., 202, 153, 1988.
- 25. E. W. Barnett, C. D. McKetth, Mon. Notic. Roy. Astron. Soc. 234, 325, 1988.

Дополнение при корректуре. Уже после сдачи статьи в печать появилась работа Ебера и Бутлера [24] с новыми не-ЛТР расчетами линии λ 4267 для ранних В-звезд (24 000 $K \ll T_{\rm tot} \ll 33\,000$ K). Эти вычисления были основаны на уточненной модели атома утлерода, что привело к существенному улучшению результатов по λ 4267. Переопределение содержания углерода, выполненное нами с помощью [24] для 14 ранних В-звезд из списка [4], дало по λ 4267 среднее значение $\lg \varepsilon$ (C) = 8.37 \pm 0.06, которое почти в точности совпадает с величиной, найденной из табл. 2. Далее, недавно в работе [25] опубликованы оценки $\lg \varepsilon$ (C), полученные по линиям С II $\lambda\lambda$ 6578 и 6583. Для 11 ярких звезд подклассов B2—В3 в среднем найдено $\lg \varepsilon$ (C) = 8.2 \pm 0.2, т. е. и эти две линии указывают на пониженное содержание углерода в атмосферах В-звезд ГП.

АСТРОФИЗИКА

TOM 30

ФЕВРАЛЬ, 1989

выпуск 1

УДК: 524.316—62

ЭМИССИОННЫЙ ДУБЛЕТ 2800 Mg II В СПЕКТРАХ ХОЛОДНЫХ ЗВЕЗД

В. Г. ЧОЛАКЯН

Поступила 1 декабря 1987
Принята и печати 4 марта 1988

Приведены результаты по детектированию в измерению абсолютного энергетического потока $f(Mg\ II)$ в единецах врг/см²с, излучаемого хромосферой холодных звезд в вмиссионном дублете 2800 Mg II. Использованы спектральные снижи «Ориона-2» с низкой плотностью фотометрического почернения на $\lambda=2800$ A. Описана методики построения калибровочной кривой. Хромосферы детектированы у 8 звезд поздних спектральных илассов (К5—М5) из 48 изученных в области неба вокруг Капелам (α Aur). Для втих звезд найдены численные значения $f(Mg\ II)$, а также относительные мощности «мигиневых хромосфер» R.

1. Введение. Эмиссионный дублет ионизованного магния 2800 Mg II, возбуждаемый в хромооферах холодных звезд, является наиболее сильной эмиссионной структурой в спектрах звезд поздних классов в области ближнего ультрафиолета. Благодаря своей исключительной информативности этот дублет используется в качестве надежного, а подчас и единственного средства для детектирования и исследования звездных хромосфер, имея в виду, что на его долю приходится около трети всей излучаемой способности хромосферы, и часто термин «магниевая хромосфера» характеризует всю хромосферу звезды в целом.

Впервые дублет 2800 Mg II в эмиссии был зерегистрирован в 1972 г. с помощью ОАО-2, с разрешением 25 А, в спектрах нескольких холодных гигантов [1]. Спустя тод при помощи «Ориона-2» было шолучено массовым способом большое количество спектральных снимков в ультрафиолете для слабых эвезд, в том числе и поздних классов. В спектрах трех, сравнительно ярких «орионовских» ввезд типа G-M Г. А. Гурзадян [2] выявил и измерил сильные эмиссионные линии 2800 Mg II, с помощью которых ему удалось оценить мощность «магниевой хромосферы» втих эвезд. В последующее десятилетие, с привлечением бслее тонких средств внеатмосферных наблюдекий (BUSS, Copernicus, IUE) дублет 2800 Mg II в эмиссии удается зарегистрировать и измерить с высоким спектральным

разрешением (~ 0.1 A) в спектрах около 200 звезд поздних классов — позднее F0. Анализ этого наблюдательного материала, равно как и первый «Каталог магниевых хромосфер», приведен в [3]. При этом речь идет о хромосферах преимущественно ярких звезд (ярче 7^m).

Подавляющая часть наблюдательного материала «Ориона-26» относится, однако, к слабым звездам (до 12^т), среди которых очень много звезд поздних классов. Между тем, изучение этих звезд в области ближнего ультрафиолета должно представлять особый интерес ввиду того, что вероятность детектирования эмиссионного дублета 2800 Mg II велика как раз в спектрах холодных звезд. Обнаружение и измерение эмиссии в линиях 2800 Mg II у звезд класса К-М представляется наиболее перспективным также из-за слабости самого фотосферного излучения у холодных звезд в области короче 3000 A (при спектральном разрешении ~ 25 A на 2800 A).

Детектированию и измерению эмиссионного дублета ионизованного магния 2800 Mg II в «орионовских» спектрах группы звезд спектральных классов К5—М5 и посвящена настоящая статья.

2. Нахождение абсолютных энергетических потоков в линиях 2800 Mg II. Целью работы является измерение суммарного энергетического потока f (Mg II) на границе земной атмосферы в абсолютных энергетических единицах врг/см² с, излучаемого хромосферой холодных звезд в линиях 2800 Mg II, на основании наблюдательного материала «Ориона-2». Особенность ситуации заключается в том, что по плотности фотометрического почернения область вблизи 2800 A в спектрах интересующих нас звезд находится вне прямолинейного участка характеристической кривой пленки, и повтому традиционный способ измерения спектров в данном случае не может быть применен.

Для решения поставленной задачи Г. А. Гурзадяном [4] было предложено построить и использовать калибровочную кривую зависимости между величиной потока f (Mg II) от звезды с известным абсолютным распределением внергии в ее спектрс, в фиксированном узком диапазоне длин волн (диафрагмы сканирования) с центром на 2800 А, и степенью почернения, в данном случае величиной отброса пера самописца микрофотометра от нулевого уровня фона астронетатива l (Mg II) в миллиметрах. в спектре той же звезды и в том же спектральном диапазоне.

Коль скоро нашей целью является измерение эмиссии в линиях 2800 Mg II после того, как она выявлена, то ширина диафрагмы сканирования не должна превышать полуширины эмиссионной линии, вернес бленды 2800 Mg II. Согласно низкодисперсионным наблюдениям IUE [5], полуширина линии 2800 Mg II в спектрах звезд спектральных классов К5—М5

в среднем порядка 15 А. Учитывая дисперсию «орноновских» спектрограмм (420 А/мм на $\lambda=2800$ А), при 20-кратном проецировании астронегатива на экран микрофотометра ИФО-451, ширина диафрагмы сканирования оказывается порядка ~ 0.7 мм. Высота диафрагмы сканирования равна 1 мм, что несколько меньше ширины спектрограмм звезд в области нормального почернения.

Численные значения потока E_{λ} в абсолютных внергетических единицах для каждой из калибровочных звезд, использованных для построения зависимости f (Mg II) $\sim l$ (Mg II), были взяты из «Каталога спектров «Ориона-2»[6], причем f (Mg II) = $E_{2800} \cdot 15$ А. Для построения калибровочной кривой было использовано 25 звезд спектральных классов В-А5, имея в виду, что в интересующем нас диапазоне длин волн непрерывные спектры у втих классов звезд еще достаточно развиты, а депрессия, вызванная наличием абсорбционного дублета 2800 Mg II, незначительна [7]. Кроме того, наличие надежных теоретических бланкетинт-моделей звезд ранних классов [8], хорошо согласующихся с наблюдениями, позволило нам в случае, когда непрерывный спектр калибровочной звезды не доходил до $\lambda = 2800$ А, проводить его экстраполяцию путем привязки существующей модели к рассчитанному в [6] распределению энергин в спектре данной звезды в области длин волн 2900—3000 А.

Необходимым условием для применения изложенного метода — назовем его условно «методом слабых почернений» — является полная однородность используемого и исследуемого материалов и неизменный режим обработки, а именно:

- все звезды, как калибровочные, так и исследуемые, должны находиться на одном и том же астронетативе;
- все измерения должны проводиться на одном и том же микрофотометре и с одной и той же диафратмой сканирования.

По существу это тот же метод, который обычно применяется при энергетической калибровке рентгеновских фотопленок.

Построенная таким образом эмпирическая кривая зависимости $f(\text{Mg II}) \sim l (\text{Mg II})$ для кадра F21 «Ориона-2» приведена на рис. 1, тде по ординате нанесено значение f(Mg II) в абсолютных энергетических единицах (эрг/см² с), а по абсциссе — l (Mg II) в миллиметрах. Как следует из рисунка, нижний порот чувствительности данного метода применительно к кадру F21 равен приблизительно $6.5 \cdot 10^{-13}$ эрг/см² с, что соответствует отбросу пера самописца ИФО-451 от нулевого уровня фона почернения l (Mg II) = 8 мм.

3. Обсуждение результатов. На «орионовском» кадре F21 нами было отобрано 48 классифицированных О. В. Оганесяном [9] звезд спектраль-8—21

ных классов К5—М5. При этом нуль-пункт шкалы длин воли на исследуемых спектрограммах определялся по изложенной в [11] методике. Во избежание наложения и перекрывания флуктуаций почернения фона астронегатива с реальным наличнем эмиссии дублета 2800 Mg II в опектре данной звезды, существование линии—бленды 2800 Mg II считается реальным, а измерения потока в линии достоверными лишь в случаях, когда / (Mg II) > 35, где с — средняя ошибка измерений флуктуаций фона астронегатива в непосредственной близости от сканируемой звезды. Исходя из этого, звезды с потоком в линиях 2800 Mg II меньше порогового 6.5·10 врт/см² с нами не рассматривались, в результате чего число отобранных для дальнейшего исследования звезд сократилось до 8.

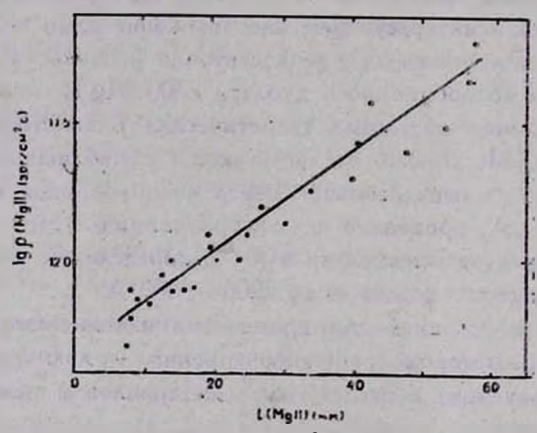


Рис. 1. Эмперическая зависимость — калибровочная кривая — между суммаряным потоком f (Mg II) (орг/см² с) от звезды в спектральном диапазоне шириной 15 A в с центром на 2800 A на границе земной атмосферы в стеленью почернения встронегатива в спектре той же звезды ,в том же спектральном диапазоне l (Mg II) (в мм). Точки — результаты обработки «орноновских» слектральных снимков звезд классов В—А, использованных для построения калибровочной жривой.

В качестве примера на рис. 2 приведено факсимиле микрофотометрической записи спектра звезды ГЛКА 783, спектрального класса МО, где четко просматривается вмиссия на длине волны 2800. А, и которая принадлежит дублету 2800 Mg II. Усомниться в отождествлении нет оснований, так как по многочисленным высокодисперсионным наблюдениям BUSS, Copernicus, IUE следует считать достоверно установленным полное отсутствие сколь-нибудь ощутимой эмиссии в других спектральных линиях, кроме 2800 Mg II. Находя l(Mg II) непосредственно из микрофотометрических ваписей исследуемых звезд, затем при помощи калибровочной кривой (рис. 1) был определен искомый наблюдаемый поток хромосферной эмиссии звезды f(Mg II) в единицах эрг/см² с на границе земной атмосферы.

Основные данные об исследуемых ввездах, наряду с найденными значениями $f(\mathbf{Mgll})$ сведены в табл. 1, где приведены последовательно: номер звезды по спаску ГЛКА [10], спектральный класс [9], видимая ввездная величинг V [9], эффективная температура T_{eff} [12], усредненное для каждого опектрального класса вначение показателя цвета $(V - R)_0$

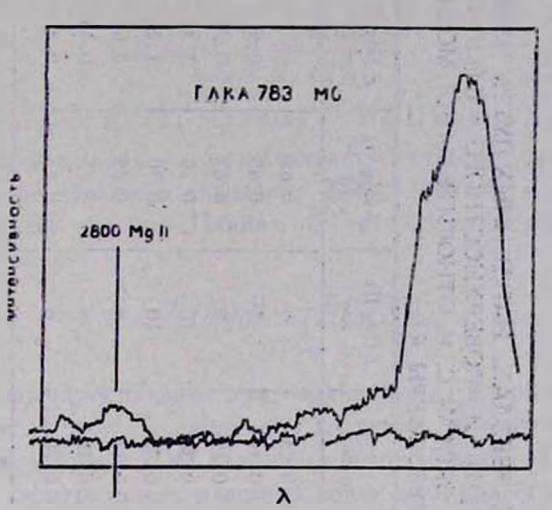


Рис. 2. Пример, иллюстрирующий применение «метода слабых почернений»: выиссионный дублет 2800 Mg II, выделенный в спектре звезды ГЛКА 783 класса МО.

[13], видимый угловой днаметр звезды ϕ в миллисекундах дуги, численное значение l (Mg II) в мм, величина потока в линиях 2800 Mg II на границе земной атмосферы f (Mg II) и на поверхности звезды F (Mg II) в врг/см 2 с. В последнем столбце таблицы приведена относительная (безразмерная) мощность «магниевой хромосферы» R, даваемая соотношением

$$R = \frac{F(\text{Mg Il})}{\sigma T_{eff}}.$$
 (1)

где σ — постоянная Стефана—Больцмана. Здесь величину F(MgII) мы определим из следующего соотношения:

$$\frac{F(\text{Mg II})}{f(\text{Mg II})} = \left(\frac{4.125 \cdot 10^8}{\varphi}\right)^2, \tag{2}$$

где ϕ — угловой диаметр звезды. Для звезд с $(V-R) \geqslant 0.8$ величину ϕ можно определять с достаточной точностью из следующего эмпирического соотношения, не зависящего от класса светимости звезды [14, 15]:

$$\lg \varphi = 0.7594 - 0.2 V + 0.642 (V - R)_0. \tag{3}$$

 $T_{a6\pi uya}$ 1 СВОДКА ОСНОВНЫХ ДАННЫХ ОБ ИССЛЕДУЕМЫХ ЗВЕЗДАХ, НАЙДЕННЫХ ПУТЕМ ИЗМЕРЕНИЙ ЗНАЧЕНИЙ I (Mg II) ВЕЛИЧИН НАБЛЮДАЕМОГО f (Mg II) И ПОВЕРХНОСТНОГО F (Mg II) ПОТОКОВ В ЭМИССИОННОЙ ЛИНИИ 2800 Mg II В ЕДИНИЦАХ ЭРГ/СМ 2 С, И ОТНОСИТЕЛЬНАЯ МОЩНОСТЬ «МАГНИЕВОЙ» ХРОМОСФЕРЫ R

Звезда ГАКА	{Спектр	ν	Teff	(V-R) ₀	m sec	l (Mg II)	$ \begin{array}{c c} f (Mg II) \\ \times 10^{-12} \end{array} $	F (Mg II) ×10 ⁶	×10 [−] 5
1952	K5	10.5	4000	1,11	0.23	8	0.65	2.1	10
1655	K5	9.7	4000	1.1	0.34	8	0.65	0.96	3
1995	К7	11.3	3900	1.2	0.19	9	0.67	3.20	21
1996	K7	10.6	3900	1.2	0.30	10	0.70	1.34	7.5
783	МО	10.4	3800	1.25	0.31	10	0.70	1.24	8
906	MO	11.5	3800	1.25	0.19	8	0.65	3.66	24
2024	MO	9.4	3800	1.25	0.48	8	0.65	0.48	2.5
1720	M5	11.0	3400	2.00	0.70	8	0.65	0.23	3

Классы светимости исследуемых звезд нам неизвестны. Возникающая отсюда неопределенность в оценке численного значения линейного радмуса звезды D и расстояния до звезды r практически исключают возможность использования, с приемлемой точностью, еще одной формулы для определения R:

$$R = \left(\frac{r}{D}\right)^2 \frac{f(\text{Mg II})}{\sigma T_{\bullet ff}^4}.$$
 (4)

В найденную нами из (2) величину $F(Mg\ II)$ кроме собственно потока 2800 Mg II входит, хотя и в незначительной степени, также поток в непрерывном спектре звезды в диапазоне 2790—2810 A, в первсм приближении описываемый законом Планка. С учетом этого факта выражение (1) запишется в виде:

$$R = \frac{F(\text{Mg II}) - B(\lambda, T)}{\sigma T_{\text{eff}}^4},$$
 (5)

где B (λ , T) — функция Планка для заданной T_{eff} и при $\lambda=2800$ A.

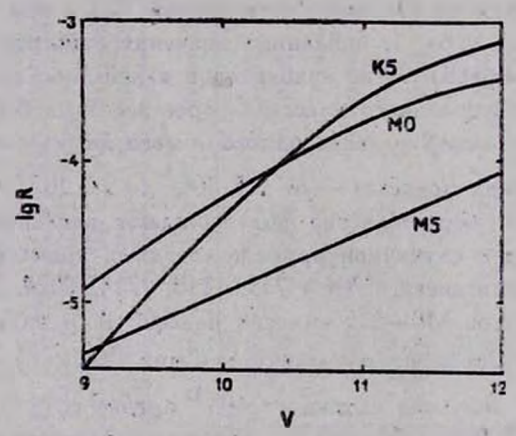
Как следует из табл. 1, найденные значения относительной мощности «магниевой хромосферы» R не находится в какой-либо явно выраженной зависимости от спектрального класса. Скорее всего наоборот, относительная мощность хромосфер у звезд одного и того же класса (скажем, МО) варьирует в широких пределах — от $2.5 \cdot 10^{-5}$ до $24 \cdot 10^{-5}$ т. е. равброс напорядок. Эти два обстоятельства подтверждают сделанный ранее Γ . А. Гурзадяном вывод о случайной природе звездных хромосфер [3].

В спектрах семи звезд, ГЛКА 713, 1218, 1714, 2024, 2064, 2143, 2169 спектральных классов M0—M5 вмиссия на 2800 A в виде слабой бленды хотя и просматривается, но поскольку для них l (Mg II) $< 3\sigma$, однако с оценкой верхнего значения потока $\sim 10^{-12}$ врг/см² с.

Звезда ГЛКА 906, 1195, 1952, у которых найденные значения $R \ge 10$ (в единицах 10^{-5}), вопадают в класс, так называемых, звезд со сверхмощными хромосферами [3]. Эти звезды, как правило, двойные, и представляют собой системы типа RS CVn. Маловероятно, чтобы столь сильная вмиссия могла бы генерироваться в хромосфере составляющих, эта вмиссия генерируется скорее всего в тазовой среде между внешними слоями атмосфер обоих компонентов двойной системы [16]. Мы не располагаем данными относительно двойственности указанных выше трех эвезд со «сверхмощными» хромосферами, и поэтому вопрос об их природе нуждается в дополнительном рассмотрении.

Из более чем 200 ввезд с иввестными значениями R, ввезд со сверхмощными хромосферами известно около 16, т. е. приблизительно с соотношением 1:10. В нашем же случае у почти половины из исследуемых звезд хромосферы оказались сверхмощными, что следует объяснить в первую очередь наблюдательной селекцией низкодисперсионных «орионовских» снимков, а также тем. что «Орион-2» фиксирует на одном кадре одновременно большое число спектрограмм звезд, в результате чего удельная доля звезд с $R \geqslant 10$ в произвольной выборке звезд повышается.

Сделанный вывод подтверждается характером зависимости R от V для звезд одного и того же класса при одном и том же значении f (Mg II); для звезд спектральных классов K5, M0, M5 эта зависимость представлена графиком на рис. 3, из которого следует, что в случае «Ориона-2» у слабых звезд при прочих равных условиях легче выявляются сверхмощные хромосферы. В случае же сразнительно ярких звезд ($< 9^m$) данный метод повволяет регистрировать хромосферы менее мощные. В нашем же списке звезды в основном слабые, поэтому и доля звезд с $R \ge 10$ высока. Очевидно также, что вероятность регистрации хромосфер средней мощности при уменьшения порога чувствительности данного метода возраствет.



Ряс. 3. Зависимость относительной мощности «маганевой хромосферы» R от видимой звевдной величины V при пороговом наблюдеемом потоке $f(Mg|I) = 6.5 \cdot 10^{-13}$ врг/см² с в линии 2800 Mg II для звезд спектральных классов K5, M0 « M5.

Применение «метода слабых почернений» для выявления эмиссии 2800 Mg II у звезд ранее К5 представляется нецелесообразным, так как в этом случае на найденные значения f(Mg II) в эмиссии будут оказывать все возрастающее влияние как непрерывный спектр звезды, так и дублет 2800 Mg II в абсорбции; в этом случае речь идет о так называемых «комбинированных» профилях 2800 Mg II, изучение которых требует иното подхода.

Таким образом, первая попытка по применению «метода слабых почернений» измерений спектрограмм в отношении 48 звезд поздних классов, ультрафиолетовые спектральные снимки которых были получены с помощью «Ориона-2», привела к детектированию дублета 2800 Mg II в эмиссии, а следовательно и кромосфер средней и высшей мощности по крайней мере у восьми звезд классов К5—М5. Тем самым была продемонстрирована эффективность метода при измерении спектрограмм с низкой плотностью фотометрического почернения по крайней мере в тех случаях, когда речь идет о детектировании хромосфер холодных звезд.

Автор статьи выражает глубокую благодарность профессору Г. А. Гурзадяну за постановку задачи, интерес к работе, ценные замечания и полезные дискуссии.

Ереванский политехнический институт

THE EMISSION DOUBLET 2800 Mg II IN THE SPECTRA OF COOL STARS

V. G. CHOLAKYAN

The results for the determination and measurements of the absolute energetic flux f(Mg II) in the units of erg cm⁻² s⁻¹ in the ultraviolet emission doublet 2800 Mg II, which is generated by the chromospheres of cool stars, are presented. The spectrograms with low photometric density on $\lambda = 2800$ A have been obtained by means of the space observatory "Orion-2". The chromospheres were detected for the 8 late type stars (K5—M5) out of 48 observed stars, scattering in the field around Capella (α Aur). The observed flux f(Mg II) and relative power of the "magnesium chromospheres" R for these stars were also determined.

ЛИТЕРАТУРА

- 1. L. R. Doherty, Astrophys. J., 178, 495, 1972.
- 2. G. A. Gurzadyan, Mon. Notic. Roy. Astron. Soc., 172, 617, 1975.
- 3. Г. А. Гурвадян, Звездные кромосфоры или дублет 2800 Mg II в астрофизике, Наука, М., 1984.
- 4. Г. А. Гурзадян, Частное сообщение, Ереван, 1987.
- C. C. Wu. T. B. Ake, A. Bogges, R. C. Bohlin, C. L. Imhoff, A. V. Holm, Z. G. Levay et. al., IUE Ultraviolet Spectral Atlas, NASA, Newsletter 22, 1983
- 6. Г. А. Гурзадян, Дж. Б. Оганесян, С. С. Рустамбекова, Р. А. Епремян, «Оркон-2». Каталог ультрафиолетовых спектров 900 слабых эвеэд, Иэд. АН Арм.ССР, Ереван, 1985.
- 7. Дж. Б. Озанесян, Сообщ. Бюражан. обсерв., 48, 68, 1976.

- 8. R. L. Kurucz, Astrophys. J. Suppl. Ser., 40, 1, 1979.
- 9. О. В. Озанесян, Сообщ. Бюракан. обсерв., 48, 14, 1976.
- 10. Г. А. Гурвадян, Сообщ. Бюракан. обсерв., 48, 5, 1976.
- 11. Г. А. Гурвайян, В. Г. Чолакян, Астрон. ж., 1987, (в печаты).
- 12. V. Straizys, G. Kuriliene, Astrophys. and Space Sci., 80, 353, 1981.
- 13. H. L. Johnson, J. W. MacArthur, R. I. Mitchell, Astrophys. J., 152, 465, 1968.
- J. L. Linsky, P. L. Bornmann, K. G. Carpenter, R. F. Wing, Astrophys. J., 260, 670, 1982.
- T. G. Barnes, D. S. Ivans, T J. Moffett, Mon. Notic. Roy. Astron. Soc., 183, 285, 1978.
- 16. G. A. Gurzadyan, Astrophys. and Space Sci., 123, 67, 1986.

АСТРОФИЗИКА

TOM 30

ФЕВРАЛЬ, 1989

выпуск 1

УДК: 52-325.4-6

ВСПЫШКИ МАЗЕРНОЙ РАДИОЛИНИИ H₂O В ИСТОЧНИКАХ GGD 25 И Sgr B2

И. В. ГОСАЧИНСКИЙ, Р. А. КАНДАЛЯН, Ф. С. НАЗАРЕТЯН, Н. А. ЮДАЕВА

> Поступила 20 апреля 1988 Принята к печати 3 октября 1988

Приведены результаты наблюдений на радиотелескопе РАТАН-600 мазерных источников GGD 25 и Sgr B2 в линии водяного пара на волне 1.35 см с впреля 1982 г. по ноябрь 1986 г. В указанном промежутке временя были варегистрированы ранее не наблюдавшиеся мощные вспышки взлучения у втих объектов. В частности, у источника GGD 25 в впреле 1986 г. на лучевой скорости — 79.0 км/с плотность потока составляла ~ 4900 Ян, а у Sgr B2 в ноябре 1986 г. на лучевой скорости + 65.6 км/с плотность потока достигла 1700 Ян.

1. Введение. Систематические исследования переменности излучения маверных источников могут дать информацию об их физической природе. Практически все маверные источники Н2О в тей или иной степени пожазывают переменнюсть излучения деталей профиля радиолинии, а иногда переменными являются также их лучевые скорости. Некоторые мазерные источники (в основном те, которые встречаются в областях звездообразования) показывают также вспышечную активность излучения (например, Орион A, W 49, W 3 (ОН), GGD 37 и др.) [1], при которой происходит резкое изменение профиля радиолинии. Вопышки мазерных источников, по-видимому, являются следствием бурных процессов звездообразования и в какой-то степени отражают внергетический уровень процессов, происходящих в той области, где они встречаются.

В настоящем сообщении приводятся результаты наблюдений мазерных источников водяного пара GGD 25 и Sgr B2 на волне 1.35 см. Наблюдения проводились с помощью радиотелескопа РАТАН-600 в период с апреля 1982 г. по ноябрь 1986 г. Параметры радиотелескопа и приемной эппаратуры, а также методика спектральных наблюдений на волне 1.35 см описаны в работе [1]. Результаты наблюдений втих источников, проведенных нами до 1985 г., были представлены в указанной работе. Однако, для более полного анализа результатов наблюдений источников GGD 25 и Sgr B2, они частично будут отражены и в настоящей работе.

2. Результаты наблюдений. В табл. 1 приведены результаты наших наблюдений источников GGD 25 и Sgr B2 на волне 1.35 см. Указаны наввания источников, диапазон исследованных лучевых скоростей и даты наблюдений.

Таблица 1 ДАННЫЕ НАБЛЮДЕНИЙ ИСТОЧНИКОВ GGD 25 И Sgr B2

Источник	Полоса обзора (жм/с)	Даты наблюдений
GGD 25	86.9 	Апрель 1982, август 1983, август 1984, ноябрь 1985, январь 1986, апрель 1986, неябрь 1986.
Sgr B2	+55.1÷+70.9	Апрель 1982, мюнь 1982, декабрь 1982, апрель 1983, мюнь 1983, август 1983,
		август 1984, декабрь 1984, ноябрь 1986.

В таба. 2, 3 приведены значения лучевой скорости, плотности потока и полуширины отдельных деталей профиля источников GGD 25 и Sgr B2 соответственно. Эти параметры вычислены в гауссовом приближении деталей профиля. С целью выделения деталей профиля из блендированных спектров был проведен гаусс-анализ профилей по специальной программе с помощью ЭВМ ЕС-1030.

Ниже мы приведем и обсудим более подробно результаты наблюдений мазерных источников GGD 25 и Sgr B2.

GGD 25. Нами проведены семь циклов наблюдений этого источника в период с апреля 1982 г. по ноябрь 1986 г. На рис. 1 приведены профили линии Н2О источника GGD 25. В апреле 1982 г. и августе 1984 г. излучение линии не было обнаружено (<70 Ян). Ках видно на рис. 1, профили состоят из многочисленных неразрешенных деталей, которые в основном расположены в узком интервале лучевых скоростей (~10 км/с). В более ранних наблюдениях GGD 25 детали профиля также сосредоточены в диапазоне лучевых скоростей от —75 до —85 км/с и максимальный поток (~2700 Ян) был зарегистрирован вблизи —79 км/с в июле 1978 г. [2].

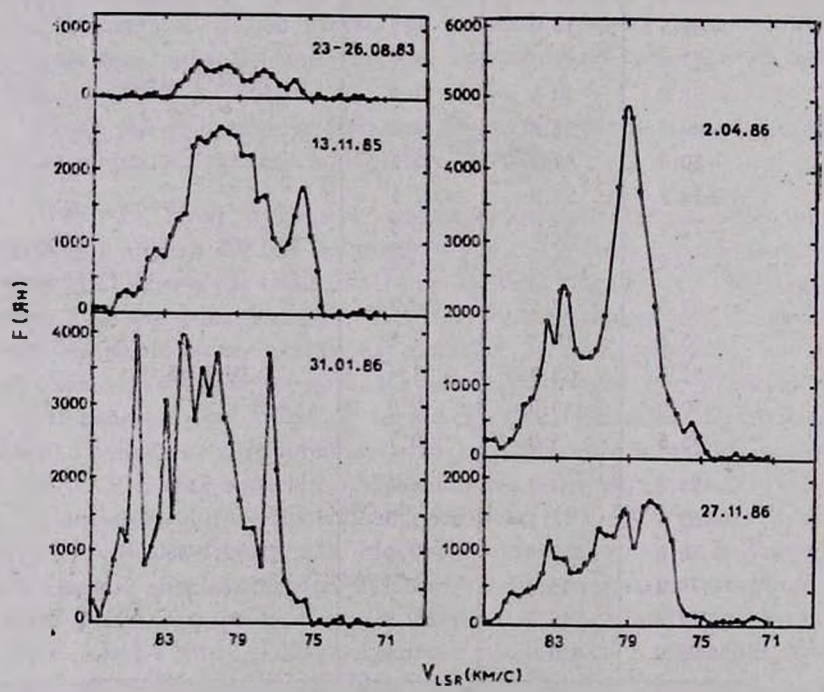
Согласно нашим результатам, после августа 1984 г. спектр источника претерпел резкое изменение. Некоторые детали исчезли и появились новые мощные детали, которых не было в более ранних наблюдениях. В частности, появились очень сильные детали на лучевых скоростях —82.6, —83.4, —84.4 км/с. Большой интерес представляет поведение деталей на скоростях —75.4, —77.2, —79.0, —81.0 км/с. Так, например, в период с ноября 1977 г. по февраль 1979 г. в спектре источника также доминировали детали в диапазоне скоростей —79.0 — 85 км/с. Однако в янва-

Таблица 2 ПАРАМЕТРЫ ЛИНИИ H₂O B GGD 25

V _{LSR} (xx/c)	F·10 ² (Ян)	ΔV (xx/c)	Дата
-81.0	4.8	1.1	90
—79.4	4.2	1.5	23-26.08.1983
—77.6	3.7	1.4	
—75.8	2.9	0.4	
85.0	3.5	0.9	
-83.4	9.1	1.1	
81.8	14.0	1.1	13.11.1985
81.0	24.0	1.6	15.11.1700
—79.8	26.4	2.6	
-78.6	22.6	1.4	
-77.4	1.6	1.3	
-75.4	1.8	1.4	t
-85.2	13.3	1.1	
-84.4	40.0	0.4	
-83.6	14.0	0.7	
-82.8	31.0	0.7	31.01.86
81.8	40.5	1.4	31.01.50
80.8	35.5	1.1	
-80.0	37.5	. 1.5	
-79.2	25.0	1.1	
—77.2	37.3	0.7	
—75.2	3.5	C.4	
-84.8	7.5	0.7	
-83.5	19.8	1.1	
-82.6	23.3	1.4	2.04.1986
-79.0	49.0	2.0	
—75.6	5.0	0.7	
-85.4	4.2	1.4	1017 15
-83.4	11.5	1.5	
-80.6	12.9	1.4	27.11.1986
-79.2	15.8	1.5	
-77.6	16.7	2.2	
-72.0	0.9	0.6	

Таблица 3
ПАРАМЕТРЫ ЛИНИИ Н.О В Spr R2

Дата	Δ <i>V</i> (xm/c)	F·10³ (Ян)	V _{LSR} (RM/c)
	1.1	1.0	56.8
	0.4	1.3	62.2
	0.6	1.9	63.0
	0.4	1.4	64.2
21-30.04.1982	0.4	2.5	65.4
	0.7	2.5	66.2
	1.0	2.2	67.2
	0.7	3.5	69.2
	0.9	6.3	56.2
	1.0	1.7	62.8
21.11.1986	0.9	17.0	65.6
	0.9	2.0	67.2
	1.0	2.3	69.0



Рвс. 1. Профили радиолении H₂O в источнике GGD 25. Справа — дата наблюдения.

ре-апреле 1986 г. интенсивности деталей в указанном диапазоне скоростей смаьно возросам. В апреле 1986 г. плотность потока детали на — 79.0 км/с достигла почти 5000 Ян. В ноябре 1986 т. наблюдалось общее уменьшение интенсивностей основных деталей спектра. Интересно отметить, что в некоторых случаях с изменением интенсивностей отдельных деталей наблюдается также изменение их лучевых скоростей в пределах ~ 0.4 км/с.

Sgr B2. Источники излучения линии H₂O в Sgr B2 образуют четыре группы в области размером 8"×1.'5 [3]. Из-за сравнительно низкого разрешения радиотелескопа РАТАН-600 по склонению зарегистрированный спектр определяется суммарным вкладом всех четырех групп источников (рис. 2). С апреля 1982 г. по ноябрь 1986 г. было проведено 9 се-

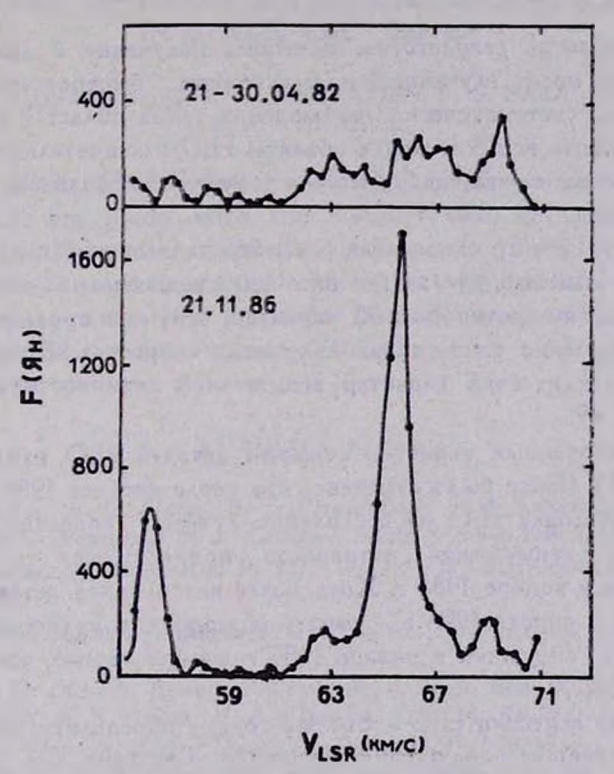


Рис. 2. Профили радиолинии H_2O в источнике Sgr B2.

рий наблюдений источника, причем линия была варегистрирована только в апреле—июне 1982 г. и ноябре 1986 г. В остальных сериях уровень сигнала был ниже 40—50 Ян. Отметим также, что в промежутке апрель—июнь 1982 г. профиль линии практически не менялся.

В ноябре 1986 г. произошла вопышка излучений линии на лучевых скоростях 56.2 и 65.6 км/с. Плотности потоков на указанных скоростях

достигли 630 и 1700 Ян соответственно. На рис. 2 видно, что деталь на 56.2 км/с в апрельском (1982 г.) спектре источника вовсе отсутствовала, а: интенсивность детали на 65.6 км/с в ноябре 1986 г. возросла примерно в

7 раз по сравнению с апрельским спектром.

Согласно [4] максимальный поток (~ 1000 Ян) у источника Sgr B2 варегистрирован в феврале 1977 г. на лучевой скорости 69.8 км/с от южного компонента комплекса. Однако авторы работы [4] отмечают, что вто значение плотности потока завышено и наиболее вероятное значение составляет ~ 600 Ян. Согласно нашим наблюдениям эта деталь в спектре источника практически отсутствует.

Таким образом, в спектре Sgr B2 впервые обнаружена столь сильная деталь излучения, какую мы наблюдаем на 65.6 км/с.

3. Обсуждение ревультатов. Вспышки ивлучения в любых космических объектах носят случайный и, в основном, быстротечный характер. Поэтому лишь систематические наблюдения таких областей дают возможность обнаружить вспыхивающие объекты H_2O в эначительном количестве. Для выполнения такой задачи можно с успехом использовать одиночные радиотелескопы.

В работах [1, 5] нами была рассмотрена вспышка излучения H_2O в W 49. Было отмечено, что в отом источнике вспышки излучения ряда компонентов носят коррелированный характер, т. е. они проявляются практически одновременно на нескольких лучевых скоростях. Кроме этого, был обнаружен циклический характер вспышечной активности мазерното излучения в W 49.

Коррелированный карактер вспышек деталей H₂O наблюдается также в GGD 25. Выше было отмечено, что после августа 1984 г. в GGD 25 произошла вспышка H₂O на нескольких лучевых скоростях. Далее, в январе 1986 г. вспышечная активность приняла еще более сильный карактер, чем в ноябре 1985 г. Хотя более интенсивная деталь (—79 км/с) наблюдается в апреле 1986 г., суммарная мощность излучения в исследуемом диапазоне скоростей в январе 1986 г. намного выше, чем в другие даты наблюдений.

Характер вспышки H₂O в Sgr B2 трудно определить, для этого необкодимы дальнейшие наблюдения источника. Тот факт, что вспышка излучения этого источника произошла после того, как почти в течение 5 лет уровень ситнала был ниже порога обнаружения, сам по себе интересен.

Коррелированный карактер вспышек деталей компонентов линии обнаружен также и у источника Сер А [6, 7]. Согласно [6] коррелированная вспышка деталей, по всей вероятности, указывает на то, что в подобных источниках несколько мазерных деталей накачиваются от единого переменного источника накачки. 4. Заключение. В течение почти 5 лет прослежена переменность источников мазерного излучения H₂O GGD 25 и Sgr B2. Были обнаружены мощные вспышки излучения у этих источников. Найдены вариации лучевой скорости вспыхивающих деталей GGD 25. Вспышка GGD 25 носит коррелированный характер.

Специальная астрофизическая обсерватория АН СССР Бюраканская астрофизическая обсерватория

FLARES OF MASER RADIO LINE EMISSION H₂O IN GGD25 AND Sgr B2

I. V. GOSACHINSKI, R. A. KANDALIAN, F. S. NAZARETIAN, N. A. YUDAEVA

The results of observations of H₂O maser sources GGD25 and Sgr B2 at 1.35 cm made with the RATAN-600 radio telescope from April 1982 till November 1986 are presented. Powerful flares were detected in these sources during the observing period. In particular the flux density at -79.0 km/s for GGD25 was -4900 Jy in April 1986. For Sgr B2 the flux density at +65.6 km/s achieved 1700 Jy in November 1986.

ЛИТЕРАТУРА

- 1. Л. Э. Абрамян, А. П. Венгер, И. В. Госачинский, Р. А. Кандалян, Р. М. Мартиросян, Ф. С. Наваретян, В. А. Санамян, Н. А. Юдаева, Изв. САО, 24, 85, 1987.
- 2. L. F. Rodriguez, J. M. Moran, P. T. P. Ho, E. W. Gottlieb, Astrophys. J., 235, 845, 1980.
- R. Genzel, D. Downes, J. Bieging. Mon. Notic. Roy. Astron. Soc., 177, 101 P., 1976.
- 4. R. Genzel, D. Downes, Astron. and Astrophys. Suppl. Ser., 30, 145, 1977.
- 5. Л. Э. Абрамян, А. П. Венгер, Н. В. Госачинский, Р. А. Кандалян, Р. М. Мартиросян, В. А. Санамян, Н. А. Юдаева, Астрофавика, 19. 830, 1983.
- 6. P. R. Rowland, R. J. Cohen, Mon. Notic Roy. Astron. Soc., 220, 233, 1986.
- 7. K. Mattila, N. Holsti, M. Toriseva, R. Antilla, L. Malkamaki, Astron. and Astrophys., 145, 192, 1985.

АСТРОФИЗИКА

TOM 30

ФЕВРАЛЬ, 1989

ВЫПУСК 1

УДК: 524.523

СТАТИСТИЧЕСКИЙ АНАЛИЗ ГАЛАКТИЧЕСКИХ ОБЛАСТЕЙ Н II, НАБЛЮДЕННЫХ В КОНТИНУУМЕ И РАДИОЛИНИИ Н 110₂. II

А. В. ОСКАНЯН

Поступила 11 февраля 1988 Принята к печати 12 мая 1988

Изучение редуцированных выборок областей H II помазывает, что их распределение по раднусу Галактики соответствует граспределению, наблюденному у спиральных галактик типов Sc и SBc, а интегральная функция радносветимости — аналогичным функциям, построенным для других опиральных галактик. Оценка общего числа областей H II в Галактике ~ 1000 (по порядку равна числу О-ассоциаций), а их средней массы $\sim 100~M_{\odot}$. Масса нейтрального газа, образовавшегося от прекративших свое существование областей H II Галактики, по этим оценкам составляет около 65% общей массы галактического нейтрального газа (время жизни областей H II принято равным 6 \cdot 10^5 лет).

1. Введение. Статистическое исследование результатов радионаблюдений галактических областей HII [1] показывает значение использования редуцированных выборок данных, освобождающих статистические выводы от влияния наблюдательной селекции. Цель данного исследования заключается в получении свободного от влияния наблюдательной селемдии распределения радиоизлучающих областей H II по радиусу Галактики, их интегральной функции радиосветимости, а также в проведении сравнительного анализа результатов с известными исследованиями. Делается также попытка оценки средних масс, общего количества галактических областей Н ІІ и доли межзвездного газа Галактики, возникшего из прекративших свое существование областей H II, возможно, связанных с О-ассоциациями. В свяви с этим надо отметить, что области Н ІІ входят в состав О-ассоциаций вместе со звездами О-ассоциаций, а иногда также с молодыми очагами ввездообравования (например, О-ассоциации Sgr OB 1, Ori OB 1, Cas OB 6 и др.). Следует обратить внимание на то, что термин «области H II» часто употребляется как синоним О-ассоциаций. Это не вполне целесообразно, поскольку существуют О-ассоциации, в которых на наблюдаются области Н II (например, Per, OB 1, Cas OB 2, Cen OB 1

- и др.). Точно также существуют области Н II, которые возбуждаются изолированными звездами или кратными горячими звездами, но находятся вне пределов О-ассоциаций*.
- 2. Распределение областей H II по радиусу Γ алактики. Для построения распределения областей H II по радиусу Γ алактики использованы списки данных, опубликованные в [2]. С применением редуцированных выборок (см. [1]) вычислены поверхностные плотности N_t/S_t объектов в плоскости Γ алактики при значениях $D_{\odot} = 7$, 8, ..., 11 кпк (обозначения в настоящей работе, приведенные без оговорок, те же, что и в [1]), где N_t число объектов, попадающих в Lю зону расстояния от центра Γ алактики, а S_t —площадь, на которой расположены эти объекты (рис. 1),

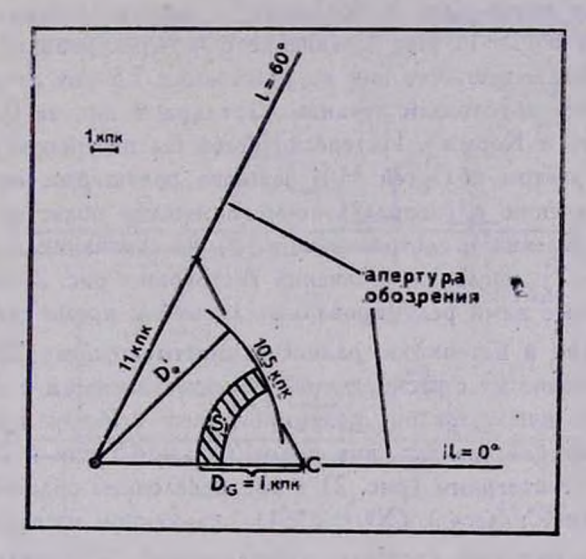


Рис. 1. Определение площадей — S_l галактоцентрического кольца. С и \odot отмечены, соответственно, центр Галактики и Солице. Напривлении $l=0^\circ$ и $l=60^\circ$ указывают на границы радиообоврения по галактической долготе.

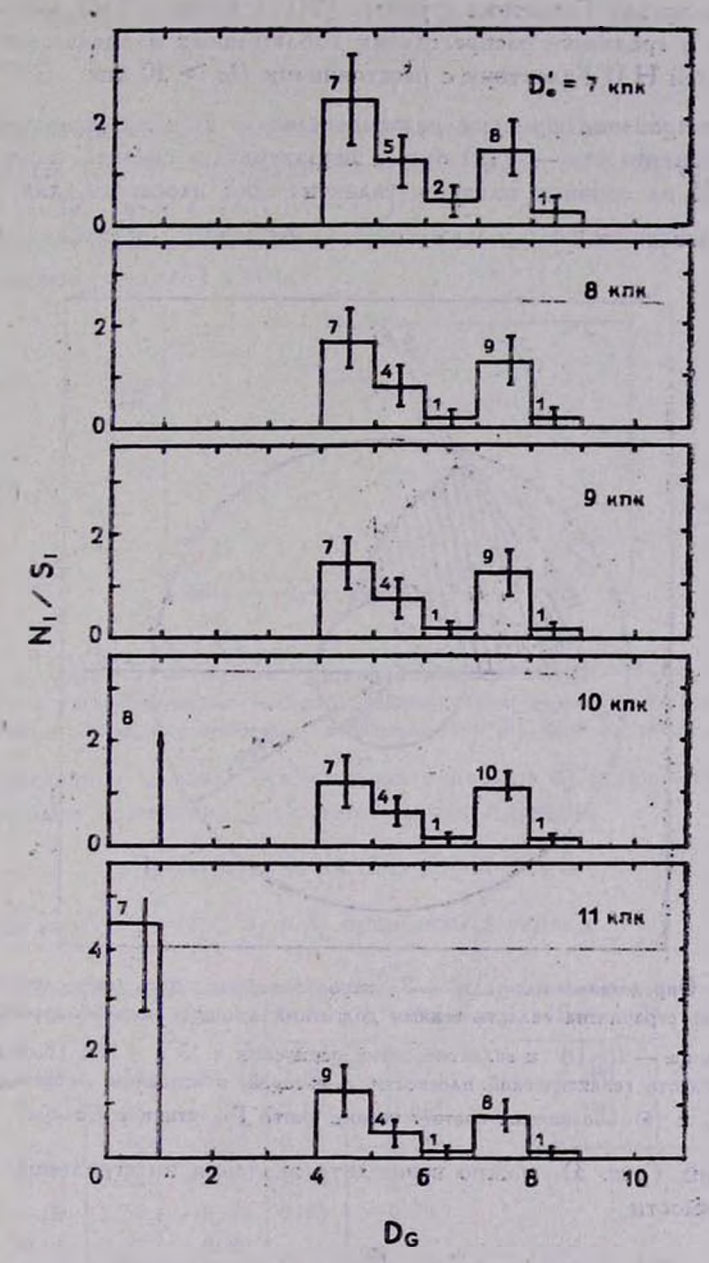
т. е. область, образованная пересечением галактоцентрического кольца с внешним и внутренним радиусами, равными соответственно i и i—1 кпк, и апертурой обозрения. Так как использованный список данных полон до величины потока $s_0 = 2.2$ Ян, то при редуцировании отбрасывались области Н II, радиосветимости которых меньше $2.2 \cdot 7^2$, ..., $2.2 \cdot 11^2$ Ян \cdot кпк², а также те из них, поверхностные яркости которых меньше $2.2/2.6^2$ Ян/ \square ′, где 2.6— полуширина днаграммы направленности антенны в угловых минутах дуги. В данной статистике использованы также объекты с двойны-

^{*} За это замечание мы благодарны В. А. Амбарцумяну.

ми расстояниями, которые составляют не более 25% объектов использованного списка. При редуцировании этих объектов в статистику включались объекты, удовлетворяющие следующим двум условиям: а) D_{\odot} (дальнее) $\leq D_{\odot}$, б) $s_{\rm t} \cdot D_{\odot}$ (ближнее) $\geq s_{\rm t} \cdot D_{\odot}$.

Гистограммы, фостроенные для принятых значений D_{\odot} , приведены на оис. 2. Столбцы гистограмм отмечены числами использованных объектов - И, и среднеквадратичными ошибками, оцененными по $\sigma \sim (N_I)^{1/2}$. Малое количество объектов, с помощью которых построены гистограммы, позволяет делать только оценочные выводы. На гистограммах выделяются два локальных максимума, на расстояниях $D_G = 4.5$ в 7.5 кпк. Поверхностная плотность областей Н II убывает до нуля в интервале (7.5, 9.5 клк). Надо отметить, что, как видно из рис. 1, указанные гистограммы не могут дать информацию о распределении областей HII на расстояниях $D_{\rm G} > 11$ клк. Сравнение с четырехрукавной моделью $\Gamma_{\rm a}$ лактики [3] показывает, что пик на расстоянии 7.5 жлк от центра Галактики может быть обусловлен рукавом Стрельца, а пви на $D_{G}=4.5$ кпк рукавами Шита и Кормы*. Интересно было бы построить распределение $N_t/S_t = D_G$ с учетом областей H II южного полушария, опубликованных в [4]. По сравнению с распределением гигантских областей H II (400 < < ln < 5000 Ян \cdot клк²), построенным в [5] на основании данных, опублякованных в [6, 7], численные значения гистограмм рис. 2 больше, так как в использованные нами редуцированные ансамбли кроме гигантских областей H II входят и источники, радиосветимости которых $200 \lesssim In < 400$ Ян-кпк2. Сравнение же с распределениями, приведенными в работах [2, 8], похавывает, что использование редуцированных выборок привело к более выразительному раздедению двух пиков ($D_G = 4.5$ кпк и $D_G = 7.5$ кпк). Сопоставление гистограмм (рис. 2) с распределением областей Н II в спиральной галактике класса Y (NGC 3184), полученном из наблюдений в линии Н2 [9], показывает сходство распределений. Рассмотрение данных таба. 1, приведенной в [9], показывает, что сбъекты класса У в основном представлены спиральными галактиками типов Sc и SBc, со средней аб-солютной звездной величиной (-20.5 ± 1.0). Распределения отличаются лишь тем, что в центральных областях NGC 3184 не выделяется группа областей HII, как на рис. 2. Не исключено, что вто является следствием ограниченности разрешения наблюдений вбливи вдра втой галактики. Таким обравом, сделанное сопоставление и учет абсолютной звездной велячины Галактики ($M_B = -20.6$) [10] свидетслоствуют в пользу того, что, по-видимому, Галактика принадлежит к типу Sc либо SBc. Почти аналогичное утверждение было сделано на основе распределения О-ассоциации

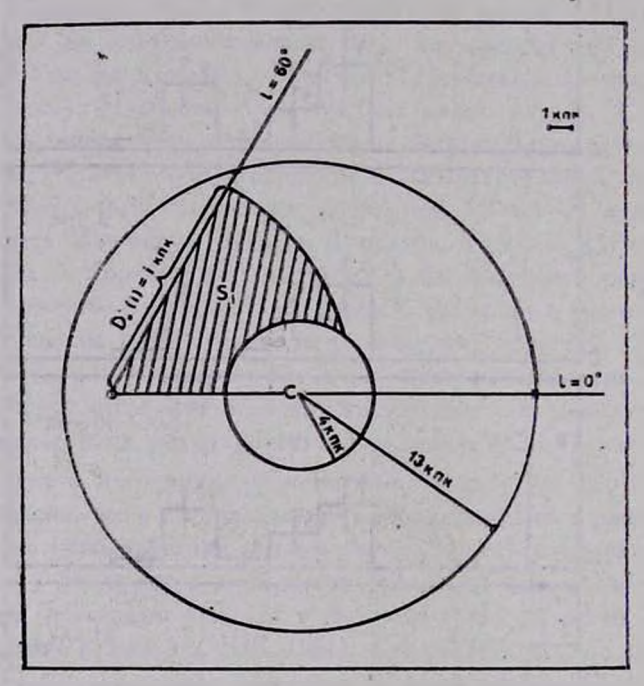
^{*} За вто вамечание им благодарны Р. Р. Андреасяну.



Рвс. 2. Гистограммы распределевия числа областей H II на единицу площади галактической плоскости — N_i/S_i по галактическому раднусу — D_G . Значения D_{\bigodot} указаны в правых верхных углах рисунков.

во внешних частях Галактики в работе [11], а также в [12], основываясь на данных о градиенте распределения наблюденных в оптическом диапавоне областей Н II Галактики с расстояниями $D_G > 10$ кпк.

3. Интегральная функция радиосветимости. Под интегральной функцией радиосветимости — Φ (x) будем подразумевать среднее число тех областей H II на единицу площади галактической плоскости, для которых $In \geqslant x$. Проведя от Солнца последовательные круги с радиусами $D_{\odot} = 1$,



Рыс. 3. Определение площадей — S_t , использованных при вычислениях Φ (In) (1). Площадь опраничена галактическими долготами границы раднообозрения, расстоянием от Солица — $D_{\odot}^{*}(t)$ и галактическими раднусами в 13 и 4 кпк. Последние ограничивают область галактической плоскости, в которой, в основном, встречаются области H II. С и \odot обозначены соответственно центр Галактики и Солице.

2, ..., 18 кпж (рис. 3), можно вычислить значения интегральной функции радиосветимости

$$\Phi(In_j) = \sum_{i=1}^{J} P_{ij} \cdot \frac{N_{ij}}{S_i}, \quad j = 1, 2, \dots, 18,$$
 (1)

где статистические веса определяются из выражения

$$P_{ij} = \frac{N_{ij}}{\sum_{l=1}^{j} N_{lj}},$$

 N_{ij} — число объектов в секторе с индексом i, радиосветимости которых больше In_j , S_i — площадь сектора с индексом i, $D_{\odot}(i)$ — радиус, равный i кпк, $In_j = s_0 \cdot D_{\odot}(j)^2 = s_0 \cdot j^2$.

Значения функции $\Phi(In)$, вычисленные на основе данных списков [2], приведены в табл. 1 и рис. 4.

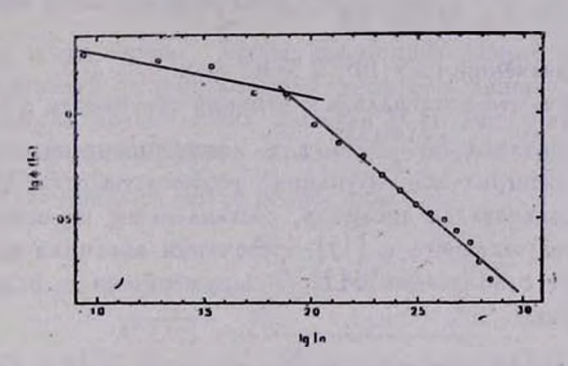


Рис. 4. Эначения интегральной функции радиосветимости — $\Phi(In)$ (обозначены кружками) в логарифмическом масштабе. Прямые представляют аппроженмацию функции для вначений радиооветимостей — In больше 100 Ян \cdot ких².

Приведенные в таба. 1 численные значения функции аппроксимированы методом наименьших квадратов двумя прямыми

$$\lg \Phi(I_n) = \beta_i \cdot \lg I_n + \alpha_i, \quad i = 1, 2. \tag{2}$$

Значения коэффициентов а, и в, приведены в табл. 2.

	1 4/5	100			10000
lg In	lg Φ (In)	lg In	lg Φ (In)	lg In	lg Φ (ln)
0.94	0.28	2.14	-0.14	2.63	-0.51
1.29	0.25	2.25	-0.21	2.69	-0.56
1.54	0.22	2.34	-0.30	2.75	-0.62
1.74	0.09	2.42	-0.37	2.80	-0.71
1.89	0.09	2.50	-0.44	2.85	-0.79
2.03	-0.06	2.57	-0.48		

	100	Таблица 2
In (Ян· впк²)	a _l	βε
≤ 100	0.516	-0.223
≥100	1.728	-0.865
		-

Характерным для кривой $\Phi(In)$ является изменение ее наклона при значении $In \approx 100$ Ян кпк². При исследовании областей Н II в других спиральных галактиках сделан вывод [13], что функция $\Phi(In)$, построев-

ная для больших значений In, должна иметь подобное поведение при переходе к меньшим значениям In. Коэффициент наклона для больших значений In больших к верхней границе интервала значений β , приведенных в [13].

В связи с этим интересно отметить, что, согласно [14], оценка дифференциальной функции светимости — $\nu(L)$ в дальнем инфракрасном диапазоне для горячих молекулярных облаков привела к формуле

$$y(L) = 10^{7.97 \left\{ \substack{0.76 \\ -0.78} \right.} \cdot L^{-2.00 \pm 0.12}$$

для интервала значений (3.5 · 104, 2.5 · 107 L_{\odot}).

Легко видеть, что интегральная функция светимости в этом диапазоне будет пропорциональна $L^{-1.00\pm0.12}$, т. е. кооффициент наклона β близок к значению для интегральной функции радиосветимости. Надо отметить, что в [14] использовался ансамбль, составленный на основе источников списка AFGL, приведенного в [15]. Источники ансамбля характерны тем, что ассоциируют с областями H II, обнаруженными в радио либо оптическом диапазонах.

4. Оденка числа радиоивлучающих областей H II в Галактике. Учитывая физический смысл функции Φ (In), нетрудно оценить общее число радиоизлучающих областей H II, при грубом предположении об их однородном распределении в плоскости Галактики,

$$N_{\rm H\,II} = \pi \cdot (R_2^2 - R_1^2) \cdot \Phi (In_{\rm min}),$$
 (3)

где R2 и R1 — соответственно внешний и внутренний радиусы зоны Галактики, в которой встречаются области Н II ($R_2 = 13$ кик, $R_1 = 4$ кик). Inmin = 10 Ян · кпк² (по данным списка [2] представляется возможным определить значения функции Ф (In) для значений In больше указанной величины). Подстановка соответствующих значений в (3) определяет N_{HII} ≈ 950 областей Н II в Галактике. Таким образом, ожидаемое число областей H II того же порядка, что и число О-ассоцианий ~ 1000, оцененное в [16]. Эти значения в 3-4 раза меньше приведенной в [15] оденкн Л. Блица (3500 галактических молекулярных комплексов ассоциирующих с О-ассоциациями). По-зидимому, можно утверждать, что значительная часть радионолучающих областей Н II связана с О-ассоциациями. Из 24-х радиоисточников и их комплексов с D_{\odot} < 3 кпк [3] все, кроме комплексов Cyg X, NGC 7000, G 305.2 + 0.2, G 308.6 + 0.6 (RCW 79), G 326.5 + 0.9 (RCW 94), G 351.4 + 0.7 (NGC 6334), G 353.1 + 0.7(NGC 6357), ассоциируют с О-ассоциациями, входящими в списки [17-20]. Надо отметить, что расстояние до комплекса Суд X может оказаться больше 1.5 кпк, потому что в данном направлении мы наблюдаем вдоль галактического рукава, и что туманность NGC 7000 проектируется рядом с Т-ассоциацией Т1 Суд. входящей в список Т-ассоциаций, опубликованный в [21].

Интересно также отметить, что подавляющее большинство радиоизлучающих областей Н II, приведенных в [3] с расстояниями от Солнца менсе 3 кик, наблюдаются в оптическом диапазоне. Поэтому не исключено, что далекие радиоисточники не наблюдаются в оптическом диапазоне в основном из-за галактического поглощения.

5. Средние и суммарные массы радиоизлучающих областей H II в Γ алактике. Используя редуцированные ансамбли данных, нетрудно оценить средние массы галактических областей H II. Летко видеть, что в редуцированном ансамбле объектов с радиосветимостями не менее In, средние массы — $\overline{M}(In)$ определяются по формуле

$$\frac{\int_{0}^{\infty} \Phi'(x) M(x) dx}{\overline{M(ln)} = \int_{0}^{\infty} \Phi'(x) dx}.$$
(4)

Здесь $\Phi'(x)$ — производная от $\Phi(x)$, а M(x) — статистическая зависимость между массой области Н II и радиосветимостью (см. [1]).

Вычисленные значения $\overline{M(In)}$ для ряда значений In пряведены в табл. 3 и в логарифмическом масштабе на рис. 5. Аттроксимация полученных значений, проведенная методом наименьших квадратов, позволяет оценить величину $\overline{M'(In)}$ для заданного значения In. Для $In=10~\mathrm{Ян}\cdot$ кпк² получим $\sim 100~\mathrm{M}_\odot$.

Таблица 3 $\overline{M(In)}$ In M(In) $\overline{M(In)}$ I_n In 8.8 82.1 105.6 914.6 316.8 1590.7 140.8 1056.9 371.8 1638.2 19.8 173.8 178.2 1371.5 431.2 2261.5 35.2 167.6 399.8 220.0 1265.04 495.0 2497.2 55.0 79.2 617.1 266.2 1455.8 563.2 2745.6 3400.4 794.2 3655.8 635.8 2824.2 712.8 4622.2 3968.2 970.2 4294.1 1064.8 968.0 1163.8 4793.0

Суммарная масса — M_s галактических сбластей $H ext{ II получается}$ равной

$$M_{\bullet} = 1.0 \cdot 10^{6} M_{\odot}.$$
 (5)

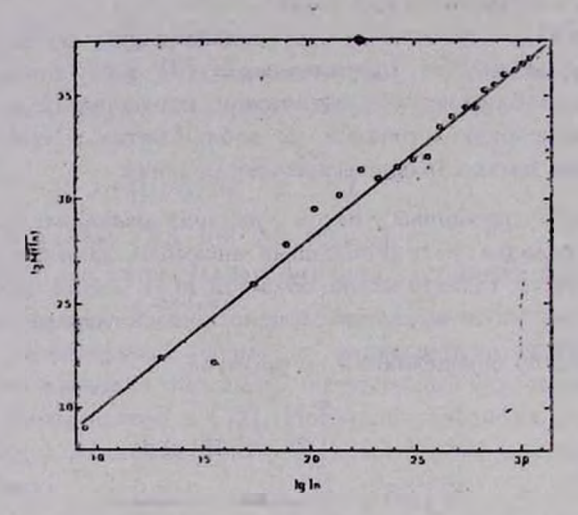


Рис. 5. Значения ородних масс — $\overline{M(In)}$ (обозначены кружками) в логарифмическом масштабе. Прямыя представляет аппроженными вычисленных вначений.

Обозначая черев t и T, соответственно, среднее время жизни области H II и возраст Галактики и исходя из предположения о постоянстве частоты звездообразования, можно оценить общую массу нейтрального газа — $M_{\rm sr}$, образованного за счет прекративших свое существование областей H II (предполагая, что газ не конденсируется в эвезды),

$$M_{nr} = (T/t) \cdot 10^5 M_{\odot},$$
 (6)

Для класса нормальных (In < 400 Ян \cdot кпк²) радиоизлучающих областей Н II околосолнечного пространства $t \simeq 5 \cdot 10^3$ лет [22]. С другой стороны, для класса гитантских (400 < In < 5000 Ян \cdot кпк²) радиоизлучающих областей Н II время жизни оценивается в $7 \cdot 10^5$ лет [23]. Принимая среднее значение этих двух величин за время жизни радиоизлучающих областей Н II и с учетом того, что возраст Галактики $\simeq 10^{10}$ лет, получаем

$$M_{\rm nr} \simeq 1.7 \cdot 10^9 \ M_{\odot}.$$
 (7)

В работе [23] оценена масса (1.6·10⁸ M_{\odot}) так называемой галактической, ELD (extended low density), области H II. Эта область с плотностью $N_{\rm e} \lesssim 50$ см⁻⁸, по-видимому, представляет собой самые поздние ста-

дии расширения радиоизлучающих областей Н II, когда их зоны ионизации сливаются друг с другом, а в их возбуждении существенную роль начинают играть О-звезды поля [23]. Как видно, масса газа, находящегося в ELD-области Н II, составляет всего 10% массы газа, который мог побывать в состоянии Н II за всю историю Галактики.

Суммарная масса галактического нейтрального вещества оценивается в $2.6\cdot 10^9~M_{\odot}$ ($1.2\cdot 10^9~M_{\odot}$ входит в состав непрозрачных облаков, а $1.4\cdot 10^9~M_{\odot}$ в состав межоблачной среды) [24]. Сравнивая эту величину с оценкой (7), получим, что нейтральный газ, образованный из прекративших свое существование областей Н II, того же порядка, что и масса вещества межоблачной среды Галактики.

- 6. Основные выводы. Рассмотрение редуцированных ансамблей галажтических областей Н II привело к следующим результатам.
- а) Распределение областей Н II по радиусу Галактики сходно с распределением областей Н II для галактик класса Y [9]. В этом классе галактики в основном представлены спиралями типов Sc и SBc. Исходя из втого, можно полагать, что Галактика принадлежит к типу Sc либо SBc.
- 6) Интегральная функция радиосветимости галактических областей Н II обладает теми же характеристиками, что и аналогичные функции, построенные для других спиральных галактик.
- в) Число областей Н II в Галактике \simeq 1000, того же порядка, что и число О-ассоциаций. По-видимому, значительная доля радиоизлучающих областей Н II ($In > Ян\cdot кпк^2$) связана с О-ассоциациями.
- г) Средняя масса областей Н II \simeq 100 M_{\odot} , а их суммарная масса \simeq \simeq 10 6 M_{\odot} .
- д) Масса нейтрального газа Галактики, образованного из прекративших существование областей Н II (1.7·10 8 M_{\odot}), составляет около 65% массы газа Галактики (2.6·10 8 M_{\odot}).

Автор считает приятным долгом выразить глубокую благодарность. В. А. Амбарцумяну за рассмотрение настоящей работы и за ряд ценных замечаний, а также сотрудникам обсерватории Ф. Г. Карашетян, М. О. Закаряну и М. С. Мирзояну за помощь, оказанную при вычислениях.

Бюраканская астрофивическая обсерватория

STATISTICAL ANALYSIS OF GALACTIC H II REGIONS OBSERVED IN CONTINUUM AND RECOMBINATION LINE H 110_a. II

A. V. OSKANYAN

The analysis of reduced ensembles of galactic H II regions has shown that the distribution of H II regions along the galactic radius is similar to the distribution observed in spirals of types Sc and SBc, and the integral radio-luminosity function is similar to those obtained for other spiral galaxies. The total number of galactic H II regions is estimated to be of the order of 1000 (it is of the same order, as the number of O-associations in the Galaxy). The mean mass of the H II region is estimated to be 100 M_{\odot} . About 65% of the mass of neutral hydrogen observed in the Galaxy may originate from destroyed H II regions (the lifetime of an H II region is accepted to be equal to 6.10% years).

ЛИТЕРАТУРА

- 1. А. В. Осканян. Астрофизика, 29, 197, 1988.
- 2. D. Downes, T. J. Wilson, J. Bieging, J. Wink, Astron. and Astrophys. Suppl. Ser., 40, 379, 1930.
- 3. Y. M. Georgelin, Y. P. Georgelin, Astron. and Astrophys., 49, 57, 1976.
- 4. J. L. Caswell, R. P. Haynes, Astron. and Astrophys., 171. 261, 1987.
- P. G. Mezger, IAU Symp. No. 38, The Spiral Structure of Our Galaxy, eds. W. Becker, G. Contopoulos, D. Reidel Publishing Company, Dordrecht-Holland, 1970, p. 107.
- E. C. Reifenstein III, T. L. Wilson, B. F. Burke, P. G. Mezger, W. J. Altenhoff, Astron. and Astrophys., 4, 357, 1970.
- 7. T. L. Wilson, P. G. Mezger, F. F. Gardner, D. K. Milns, Astron. and Astrophys., 6, 364, 1970.
- 8. R. Genzel, D. Downes, Astron. and Astrophys., 72, 234, 1979.
- 9. P. W. Hodge, R. C. Kennicutt, Jr., Astrophys. J., 267, 563, 1983.
- 10. К. У. Аллен, Астрофизические величины, Мир. М., 1977.
- 11. В. А. Амбарцумян. Дохл. АН Арм.ССР, 10, 149. 1949.
- 12. P. W. Hodge, Publs. Astron. Soc. Pacif., 95, 721, 1983.
- 13. F. P. Israel. Astron and Astrophys., 90, 246, 1980.
- 14. S. Harris, P. E. Clegg, Mon. Notic. Roy. Astron. Soc., 203, 955, 1983.
- 15. M. Rowan-Robinson, Astrophys. J., 234, 111, 1979.
- 16. В. А. Амбаруумян, Изв. АН СССР, сер. физ., 14, № 1, 15. 1950.
- 17. Б. Е. Маркарян, Докл. АН Арм.ССР. 15, 11, 1953.
- 18. W. W. Morgan, A. E. Whitford, A. D. Code, Astrophys. J., 118, 318, 1953.
- G. Alter. J. J. Ruprecht, V. Vangsek, Catalogue of Star Clusters and Associations, eds. G. Alter, B. Balázs, J. Ruprecht, Akadémiai Kiadó. Budapest, 1970.

- 2). J. Ruprecht, B. Baldzs, R. E. White, Catalogue of Star Clusters and Associations, Suppl. I, Part B2, eds. B. Baldzs, Akadémiai Kiadô, Budapest, 1981.
- П. Н. Холопов, Эруптивные звезды, ред. А. А. Боярчук и Р. Е. Гершберг, Наука, М., 1970, стр. 241.
- 22. L. F. Smith, P. Biermann, P. G. Mezger, Astron. and Astrophys., 66, 65, 1978.
- 23. P. G. Mezger, Astron. and Astrophys., 70, 565, 1978.
- 24. Д. Клейтон, Протозвезды в планеты, т. 1, ред. Т. Герелс, Мир, М., 1982, стр. 18.

1.7

The state of the s

АСТРОФИЗИКА

TOM 30

ФЕВРАЛЬ, 1989

выпуск 1

УДК: 524.7-856

СТРОЕНИЕ СПИРАЛЬНОГО РУКАВА СТРЕЛЬЦА—КИЛЯ И ПАРАМЕТРЫ СПИРАЛЬНОЙ СТРУКТУРЫ

В. С. АВЕДИСОВА

Поступила 17 февраля 1988 Првията к печати 25 марта 1988

Изучено пространственное распределение молодых объектов разных возрастных груши и радиосветимостей — рассеянных скоплений и областей Н II — в рукаве Стрельца — Кили. Обнаружены прадвенты возриста объектов как поперек, так и вдоль рукава. Два гигантских комплекса звездообравования с разморами ~ 1 «пк найдены на $l\sim 285^{\circ}\div 300^{\circ}$ и $l\sim 340^{\circ}\div 20^{\circ}$. Каждый из нях содоржит неоколько гигантоких областей Н II, несколько гыгантских молекулярных облаков и несколько десятков молодых окоплений с воврастом lg t < 7.5. Между этими комплексами обнаружен более старый, таких же размеров, содержащий 30 скольений с возрастом (5 🛖 6) 107 дет. Полагая, что этот комплекс — провволюционаровавший остаток гигантского комплекса эвеэдообразования, получасм, что верхний предел времени жизни таких комплексов и гигантских молекулярных облаков $\sim 5\cdot 10^7$ лет. Оценены параметры опяральной структуры рукава. Обнаружено уменьшение угла закручивания опирального увора с возрастом объектов, что можно объяснить моделью образования гигантских молекулярных облажов в результате массовых варывов сверхновых. Определена угловая скорость спирального узора, 26.8 ± 2.2 км/с мпк, что приводит к заключению, что Солице находится вбливи корротационного радиуса Галактики.

1. Введение. Изучение структуры спиральных рукавов является ключевой проблемой каж для понимания образования спирального узора Галактики, так и для изучения самото процесса звездообразования. Однако такие исследования значительно затруднены из-за недостаточного разрешения и слабости объектов спиральных рукавов во внешних галактиках, с одной стороны, и из-за неточности в определении расстояний до объектов в нашей Галактике, с другой. Рукав Стрельца—Киля (СК) в Галактике наиболее подходит для такого рода исследования. Он является самой близкой и самой яркой деталью главного спирального узора Галактики.

В настоящей статье исследование структуры СК-рукава основано на изучении пространственного распределения основных объектов спиральной структуры — областей H II и рассеянных скоплений, возраст которых не превышает времени, необходимого для пересечения спирального рукава, $\sim 10^8$ лет. Обнаруженные градиенты возрастов объектов вдоль и по-

перек рукава позволили сделать заключения о временах жизни молодых гигантских звездных комплексов (МГЗК) и гигантских молекулярных облаков (ГМО), о параметрах спирального узора и эффективности звездообразования в рукавах.

- 2. Данные. Области Н II, расположенные в области СК-рукава, были взяты из «Каталога областей звездообразования в Галактике» [1]. В окрестности $2\div 2.5$ клк большинство их светятся в оптиже и известны как диффузные туманности. Фотометрические расстояния до них определены по возбуждающим их звездам, с использованием единой калибровки «спектральный класс—светимость» [2]. Точность определения расстояний до областей, лежащих внутри радиуса 2 клк от Солнца, $\sim 0.2\div 0.3$ клк. Все области Н II были подразделены на 5 классов в зависимости от их внутренней спектральной светимости, определяемой параметром S_5D^2 , где S_5 плотность потока от источника на 5 ГГц в Янских, D расстояние в клк:
 - 1. $S_5D^2 \geqslant 400 \text{ Ян кик}^2$ (светимость источника W3);
 - 2. $100 \leqslant S_5 D^2 < 400$ Ян кпк² (светимость туманности Ориона);
 - 3. $25 \ll S_5 D^2 < 100$ Ян кпк²;
 - 4. 2.5 ≤ S₅D² < 25 Ян кпк²;
 - 5. $S_k D^2 < 2.5$ Ян кпк².

Наиболее полный каталог рассеянных скоплений [3] содержит 415 скоплений в интервале долгот 285° ÷ 25°. Из них только 173 имеют оценки расстояний и возрастов. Просмотр литературы последних лет люзволил увеличить число скоплений с известными параметрами до 233. Для некоторых скоплений расстояние оценивалось в предположении их генетической связи с близлежащими областями Н II. Для скоплений, не имеющих надежно определенных значений возраста, но с известным спектральным классом самой молодой звезды, для оценки возраста использовалась корреляция между возрастом и спектральным классом, построенная на основе скоплений из каталога Линги, с достаточно надежными определениями возрастов и спектральных классов (табл. 1).

Таблица 1 ЭМПИРИЧЕСКОЕ СООТНОШЕНИЕ МЕЖДУ ВОЗРАСТОМ СКОПЛЕНИЯ И СПЕКТРАЛЬНЫМ КЛАССОМ ЯРЧАЙШЕЙ ЗВЕЗДЫ СКОПЛЕНИЯ НА ГП

-		تطينا			الشناة					Sec.	Total Column 1	
Cn.	06	08	B0	B1	B2	B3	B4	B5	B6	B8	A0	A2
ig t	6.0-6.2	6.6	7.0	7.2	7.4	7.5	7.6	7.7—7.8	8.0	8.3	8.4-8.5	8.7-8.9

Окончательно получены параметры для 56% скоплений каталога Линги в рассматриваемом диапазоне долгот. Из них были выбраны скопления с возрастами, не превышающими 108 лет, как не успевшие уйти из спираль-

ного рукава, в котором они образовались. Их окавалось 141, а 117 из них лежат внутри рукава СК. Почти во всех случаях принадлежность к тому или иному рукаву не вызывает сомнении.

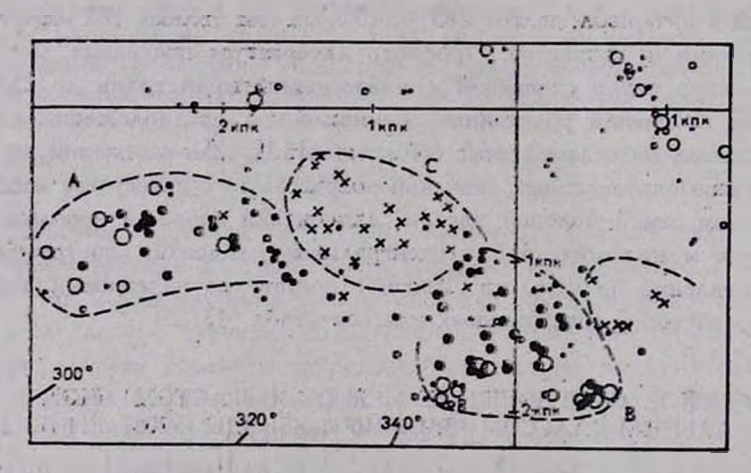
Все скопления были разделены на 3 группы, согласно возрасту: 1. $\lg t < 7.0$; 2. $7.0 \leqslant \lg t < 7.5$; 3. $7.5 \leqslant \lg t < 8.0$. Точность определения расстояний для большинства скоплений в радиусе 2.0 клк от Солнца порядка $0.1 \div 0.3$ клк.

Распределение объектов по группам и классам дано в табл. 2.

Таблица 2
КОЛИЧЕСТВО ОБЪЕКТОВ РАЗЛИЧНЫХ ТИПОВ В ГИГАНТСКИХ
КОМПЛЕКСАХ СК-РУКАВА

Области рукава	OCL 1 THIS	OCL 2 THIS	OCL 3 THE	Bce OCL	Гигант. НП	ГМО	Полная масса ГМО в М _О
A	11	19		30	5	4	3.6-100
В	16	22		38	3	7	2.0.106
C	(J)	1	29	30	-	-	- 5

3. Распределение объектов в галактической плоскости. Положение скоплений различных возрастных групп и областей Н II различной светимости показано на рис. 1 в проекции на галактическую плоскость.



Рыс. 1. Распределение объектов в СК-рукаве. Четыре размера кругов указывают на различные радносветимости НП областей: $SD^2 > 400$ Ян кик 2 (наибольший), $400 > SD^2 > 100$, $100 > SD^2 > 25$, $25 > SD^2 > 2.5$, $SD^2 < 2.5$ (точки). Два размера зачерненных кругов относятся в молодым скоплениям: с возрастами $6.0 < \lg t < 7.0$ (большие) в $7.0 < \lg t < 7.5$. Скопления с $7.5 < \lg t < 8.0$ обозначены крестами.

Наиболее интересная особенность полученного распределения — это крупномасштабное разделение объектов по возрасту и светимости. Четко. различимы три больших (~ 1 кпк) области вдоль рукава — А, В и С, Самые молодые и самые яркие в радиоднапазоне объекты сконцентрированы в двух из иих. А и В, грубо с l ~ 285°÷310° и l ~ 340°÷20°. Эти области. рукава содержат, в основном, молодые скопления с Ig! < 7.5 и области. Н II большой светимости. Между ними находится область С, подобных размеров, основным населением которой являются скопления умеренного возраста (7.5 \leq Ig t < 8.0) и в которой практически отсутствуют яркие области H II и молодые скопления. Лишь несколько очень слабых областел Н II, возбуждаемых ввездами класса В, присутствуют в С. Всего в области С 30 скоплений, чей возраст оказался ограниченным небольшим временным интервалом 7.5÷7.7 по 1g + или (3÷5) · 107 лет. Отсутствие молодых скоплений и ярких областей Н ІІ позволяет предположить, что вта область представляет собой проэволюционировавшую область А или В, т. е. пеовоначально была МГЗК.

Впервые гигантские звездные комплексы были замечены в нашей Галактике по наблюдениям распределения по небу цефенд [4]. Позднее МГЗК были обнаружены и изучены в других галактиках и в нашей [5—7]. МГЗК-представляют собой области когерентного звездообразования в шкале кик и содержат, как правило, несколько ассоциаций, несколько гигантских областей эвездообразования, несколько ГМО и большое количество молодых скоплений. Во внешних галактиках МГЗК выглядят как регулярно расположенные вдоль спиральных рукавов яркие пятнышки. В СК-рукаве мы видим именно такие ретулярно разделенные комплексы А и В. Итак, оказывается, что пространство между такими молодыми комплексами заполнено подобными, но уже провволюционировавшими комплексами. Об этом свидетельствует также то, что вслед за молодым комплексом В в направлении возрастания долгот на рис. 1 можно замететь снова несколько скоплений возрастной группы 3. Данные о скоплениях праведены в Приложении.

Для окончательного суждения о природе области С необходимо знать распределение межавездного вещества в втой шлощадке.

4. Распределение газа и пыли в СК-рукаве. Последние годы проведено несколько глубоких обзоров первого и четвертото квадрантов галактической плоскости в излучении молекулы СО [8—11]. Эти обзоры позволили построить карты распределения гигантских и больших молекулярных облаков в СК-рукаве. В интервале долгот 280° ÷ 300° обнаружены 37 ГМО, содержащихся в спиральном рукаве Киля, длиной в 25 кшк. Пять из них находятся в области А и имеют полную массу 3.6·10° М⊙. В интервале долгот 14° ÷ 55° найдены 3 ГМО, принадлежащие области В и имеющие полную массу 2·10° М⊙. По-видимому, в интервале долгот 340° ÷ 14° также

имеются ГМО, которые радионаблюдениями трудно обнаружить. Таким образом, гитантские молекулярные комплексы A и В содержат темные ГМО, как экологическую среду для звездообразования.

В области С ГМО отсутствуют. На связь ГМО с гигантскими областями Н II указывалось в [29]. Поэтому присутствие в С слабых областей Н II с потоками меньше 2 Ян, находящихся на расстоянии $1.0 \div 1.5$ кпк, позволяет уверенно говорить об отсутствии там ГМО.

Ридгрен [12] исследовал всесторонне распределение молодого звездного населения в созвездии Нормы (область С) и пришел к заключению, что скудость молодых объектов в интервале долгот $300^{\circ} \div 330^{\circ}$ реальна. Группировки звезд ОВ на $l=320^{\circ} \div 340^{\circ}$ принадлежат к следующему внутреннему рукаву. Исследования межзвездного поглощения в отдельных площадках области С показали, что потлощение в $2 \div 3$ зв. величины концентрируется в небольших облаках, находящихся на расстоянии $0.7 \div 1.0$ кпк от Солица. Возможно, что эти облака являются остатками прежних ГМО.

В области С имеется только одна группировка ОВ звезд — это ассоциация Ага ОВ1 на 1.5 кпк. Ее ядром является очень молодое скопление NGC 6193. Арналь и Церсосимо [13] объясняют образование этой ассоциации как результат звездообразования, стимулированного вэрывом сверхновой в близком, более старом скоплении группы 3 — NGC 6167.

Итак, можно считать, что область С исчерпала свои возможности для мощного звездообразования, тогда как A и В еще обладают значительными запасами молекулярного газа для последовательного звездообразования.

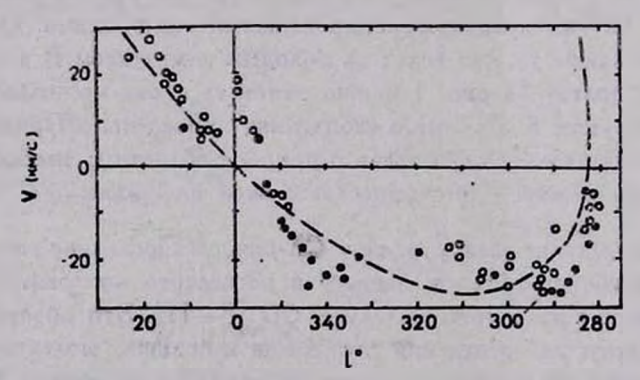


Рис. 2. Диаграмма «долгота — скорость» для областей Н II, построенная с испольвованием [1].

Область С отлична от A и B также кинематически. На рис. 2 представлена диаграмма ($l-V_{LSR}$), где V_{LSR} —лучевая окорость областей H II, приведенная к местному стандарту чокоя. При построении диаграммы ис-

пользован каталог [1]. Штриховая линия соответствует отрезку спирального рукава СК, построенного в предположении, что рукав аппроксимируется логарифмической спиралью с углом закручивания $i = -20^\circ$. Точки соответствуют отдельным областям H II. В интервале долгот $305^\circ \div 335^\circ$ наблюдаемые скорости показывают заметное отклонение от модели, что удовлетворительно объясняется в рамках теории воли плотности.

5. Параметры спирального увора. Рис. 1 показывает существование градиента возраста объектов поперек рукава: более молодые и с большей светимостью объекты располагаются, как правило, ближе к внутреннему (дальнему от нас) краю рукава. По мере приближения к противоположному краю объекты стареют, и радиосветимость их резко падает. Этот градиент хорошо виден в области В, как самой близкой. Важно отметить, что область С, как самая старая, оказалась сдвинутой, как целое, относительно А и В по направлению к Солнцу. Такое смещение и должно ожидаться у постаревших объектов.

Предположим, что спиральный узор можно аппроксимировать логарифмической спиралью: $R=R_0$ exp (— $\theta\cdot tg\,i$), где θ и R — галактоцентрические угол и радиус объектов. Оценим параметры спирали для объектов.

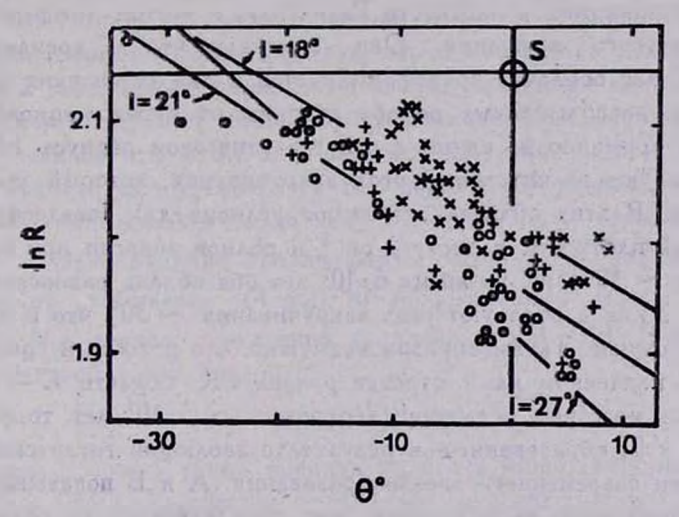


Рис. 3. Положение скоплений на графике ($\ln R = 0$). Обозначения: (•) — для скоплений с $\lg t < 7.0$; (+) — $7.0 \le \lg t < 7.5$; (×) — $7.5 \le \lg t < 8.0$.

тов различных возрастных групп и светимостей. На рис. 3 изображен график ($\ln R - \theta$), на котором точки, лежащие на логарифмической спирали, вытягиваются в прямые, а массив точек, соответствующих объектам рукава. отображается в виде полосы определенного наклона. Методом наименьших квадратов определим параметры спирального узора, соответ-10—21

ствующие объектам разных групп и классов. В таба. 3 суммированы полученные результаты: угол закручивания, i, расстояние спирали от галактического центра по линии Солице — галактический центр, R, n — число объектов.

 $T_{a6\pi uya}$ 3 ПАРАМЕТРЫ СПИРАЛЬНОЙ СТРУКТУРЫ У ОБЪЕКТОВ РАЗНЫХ ТИПОВ

Скопления	n	i	R	нп	п	· t	R
$\lg t < 7.5$	68	_21°1	7.1	$SD^2 > 100$	30	-27° ±5°	6.8
$\lg t > 7.5$	30	-18.0	7.5	$SD^2 < 100$	42	-21°8	7.0
Boe	98	-18.5	7.2	Bce	72	-24°	6.9

Табл. 3 показывает неожиданно выявленную тенденцию: у более молодых объектов угол і больше, чем у постаревших. Оказалоон, что эту тенденцию можно теоретически объяснить на основе недавно сделанных расчетов. Тенорио-Татль и Палоуш [14] промоделировали эволюцию газовой оболочки, образованной при массовых вспышках сверхновых в молодых ассоциациях в плоскости Галактики, с учетом дифференциального талактического вращения. Они показали, что за времена порядка (3÷12)·107 лет оболочка трансформируется в два гигантских молекулярных облака, расположенных по обе стороны от проэволюционировавшей ассоциации примерно на одном с ней галактическом радиусе. Но эти два облака образуют значительный угол закручивания, который уменьшается со временем. В этих облаках возникают условия для звездообразования. При средней плотности в диске 1 см-3 и полной энергии при взрыве 100 сверхновых ~ 10⁵³ эрг, за время 6⋅10⁷ лет оба облака разносятся на расстояние ~ 2 ких и образуют угол закручивания ~ 30°, что и наблюдается в нашем случае. Таким образом возможно, что подобный сценарий реализуется в изученном нами отрезке рукава СК: область С — место, гдепроисходили массовые вспышки сверхновых ~ 5.107 лет тому назад, а области А и В, образованные в результате эволюции гигантской оболочки, - области современного звездообразования. А и В покавывают фактически больший утол закручивания, чем определенный по объектам уже проэволюционировавшим.

На основе представленных данных можно также оценить угловую скорость спирального увора. Такие оценки неоднократно проводились, различными методами [15—17]. Полученные значения находились в интервале $20 \div 25$ км/с кпк. Испольвуем нашу оценку традиента возраста полерек СК-спирали [18] и возьмем принятые МАС значения для $R_0 = 8.5$ кпк и $\theta_0 = 220$ км/с. В рассматриваемом здесь случае за 40 ± 20 млн лет

положение спирали сместилось на (400 ± 100) пк. Принимая $i=-(20^{\circ}\pm4^{\circ})$, $R=(7100\pm100)$ пк получим угловую скорость узора $\Omega_p=(26.8\pm2.2)$ км/с кпк.

Эта скорость очень бливка к угловой скорости вращения Галактики на расстоянии Солнца, т. е. 25.9 км/с кпк. Таким образом, этот результат, по-видимому, снова подтверждает гипотезу Марочника [19] о том, что Солнце расположено вбливи корротационного радиуса Галактики.

6. Времена живни ГМЗК и ГМО. Эффективность ввездообразования. Приведенные выше рассуждения о природе области С позволяют заключить, что С представляет собой проэволюционировавший ГМЗК, подобный настоящим А и В. Следовательно, можно определять верхний предел времени жизни такого комплекса, а также ГМО, как 5·107 лет.

Исходя на имеющихся данных, попробуем определить вффективность ввездообразования в таких комплексах. Предположим, что все образующиеся эвезды находятся в скоплениях (группах). Учтем эффект селекции и число неизвестных скоплений. Из табл. 2 видим, что примерно половина всех зарегистрированных скоплений еще не классифицирована. Весьма вероятно, что большинство их принадлежит рукаву СК (такое соотношение у классифицированных скоплений). По оценке Линти [20] его каталот полон до 1 кпк и содержит примерно 30-40% скоплений между 1 и 2 кпк. Таким образом, можно оценить, что полное число скоплений в рукаве СК в 2 раза больше видимого. Используем данные по комплексу С. В нем 30 скоплений. Учет неклассифицированных скоплений и эффекта сележции увеличит это число в 4 раза (~ 120 скоплений). Учет эволюционного вффекта еще увеличивает это число в 1.5 раза. Следовательно, имеем ~ 180 скоплений в комплексе. Типичная масса скопления ~ 300 Мо [21]. Вполне равумно предположить, что первоначальная полная масса газового комплекса $(4\pm2)\cdot 10^8~M_{\odot}$, средняя масса скопления (300±200) M_⊙ и число рожденных скоплений (180±30). Тогда эффективность ввездообразования,

$$f_1 = 0.013 \pm 0.009$$
.

Значение f можно также оценить из более общих соображений. Известно, что в ГМО содержится $\sim 90\%$ массы всего газового компонента диска, т. е. $\sim 3\cdot 10^8~M_{\odot}$. Среднее значение темпа ввездообразования в Галактике $(6\pm3)~M_{\odot}$ в год. Считая, что время жизни ГМО $(5\pm2)\cdot 10^7$ лет, получаем

$$f_2 = 0.10 \pm 0.08$$
.

Различие этих двух вначений на порядок, по-видимому, свидетельствует о том, что большинство родившихся ввездных скоплений сразу же распадается, или же, что звезды рождаются в основном в негравитационно связанных группах.

- 7. Заключение. Исследование структуры рукава СК на основе распределения рассеянных скоплений и областей Н II позволяет сделать следующие выводы:
- 1. Между молодыми звездными комплексами, прорисовывающими спиральный рукав, существуют более старые проэволюционировавшие звездные комплексы.
- 2. Верхний предел времени жизни таких комплексов и ГМО порядка 5-107 лет.
- 3. Угол закручивания для отрезка спиральното рукава СК больше (~ 28°) для очень молодых объектов и меньше (~ 21°) для более старых. Эта картина находит объяснение в современной теории образования ГМО в результате вспышек сверхновых.
- 4. Угловая скорость спирального узора 26.8±2.2 км/с кпк приводит к заключению, что Солице находится вблизи корротационного радиуса Галактики.
- 5. Оценки эффективности звездообразования приводят к заключению, что большинство молодых звезд рождается в негравитационно связанных группах или же в быстро распадающихся скоплениях.

Автор приносит благодарность Л. А. Сат за помощь в машинной обработке данных.

Астрономический совет АН СССР

THE SAGITTARIUS-CARINA ARM STRUCTURE AND PARAMETERS OF SPIRAL PATTERN

V. S. AVEDISOVA

The spatial distribution of the young objects of various age groups — HII regions and open clusters — in the Sagittarius-Carina arm is investigated. Both transverse and longitudinal age gradients have been found in the arm. Two giant star formation complexes with the size of about 1 kpc at $l=285^{\circ}-300^{\circ}$ and at $l=340^{\circ}-20^{\circ}$ exist. Each of them contains several giant HII regions, a number of giant molecular clouds and some extremely young clusters. Between these complexes we have found an elder one of the same size, containing 30 clu-

sters with age of $(5 - 6) \cdot 10^7$ years old and a small number of faint H II regions. Assuming that it is a remnant of a giant star formation complex the upper limit of lifetimes for such complexes and giant molecular clouds is $5 \cdot 10^7$ years. The estimations of spiral pattern parameters are made. The decrease of the pitch-angle of spiral arm with object age is found that can be understood in the frame of the scenario of giant molecular cloud formation resulting in a number of supernova events. The value of spiral pattern velocity, 26.8 ± 2.2 km/s kpc. leads us to conclusion that the Sun is near the corrotation radius of the Galaxy.

ЛИТЕРАТУРА

- 1. В. С. Аведисова, Каталог областей ввездообразования в Галактике. 2 ворожи, Астросовет, 1987.
- В. С. Аведисова, Г. И. Кондратенко, Науч. виф. Астрон. сов. АН СССР, 56, 59, 1984.
- 3. G. Lynga, Catalogue of Open Clusters. Lund Observ., 1983.
- 4. Ю. Н. Ефремов, Письма в Астрон. ж., 4, 125, 1978.
- 5. Ю. Н. Ефремов, Письма в Астрои. ж., 5, 21, 1979.
- 6. Ю. Н. Ефремов, Итони наужи и техи. ВИНИТИ, Аспрои., 27, 102, 1985.
- 7. B. G. Elmegreen, D. M. Elmegreen, Mon. Notic. Roy. Astron. Soc., 203, 31, 1983.
- 8. R. S. Cohen, D. A. Grubelsky, J. May, L. Bronfman, H. Alvarez, P. Thaddeus, Astrophys. J., 290. L15, 1985.
- 9. T. M. Dame, P. Thaddeus, Astrophys. J., 297, 751, 1985.
- T. M. Dame, B. G. Elmegreen, R. S. Cohen. P. Thaddeus, Astrophys. J., 305, 892, 1986.
- 11. D. Sanders, N. Scoville, P. Solomon, Astrophys. J., 289, 373, 1985.
- 12. A. E. Rydgren, Publ. Astron. Soc. Pacif., 86, 363, 1974.
- 13. E. M. Arnal, J. C. Cersosimo, Rev. Mex. Astron. Astrofis., 12, 299, 1986.
- 14. Ю. Н. Мишуров, Е. Д. Павловская, А. А. Сучков, Астрон. ж., 56, 268, 1979.
- 15. Л. С. Марочник, Астрофизика, 19, 495, 1983.
- 16. M. Crézé, M. O. Mennester, Astron. and Astrophys., 14, 275, 1976.
- 17. J. Palous, Astron. and Astrophys., 87, 361, 1980.
- 18. K. Rohlfs, Lectures on Density Wave Thedry, Springer-Verlag, 1977.
- 19. G. Tenorio-Tagle, J. Palous, Astron. and Astrophys., 186, 287, 1987.
- 20. G. Lynga, Astron. and Astrophys., 109, 213, 1982.
- 21. A. Bruch, W. L. Sanders, Astron. and Astrophys., 121, 237, 1983.
- 22. D. G. Turner, G. R. Grieve, W. Herbet, W. E. Harris, Astron. J., 85, 1193, 1980.
- 23. A. F. G. Moffat, N. Vugt, Astron. and Astrophys, Suppl. Ser., 10, 135, 1973.
- 24.D. G. Turner, Astron. J., 92, 111, 1986.
- 25. O. j. Eggen, Astron. J., 88, 379, 1983.
- 26. L. O. Loden, Astron. and Astrophys. Suppl. Ser., 10, 125, 1973.
- K. L. V. Lohansson, Astron. and Astrophys. Suppl. Ser., 41, 43, 1980.
 A. Antalova, Bull. Astron. Inst. Czech., 23, 126, 1972.
- 29. P. C. Myers, T. M. Dame, P. Thaddeus, R. S. Cohen, R. F. Silverberg, E. Dwek, M. G. Hauser, Astrophys. J., 301, 398, 1986.

Приложение РАССЕЯННЫЕ СКОПЛЕНИЯ В ОБЛАСТИ С И ИХ ПАРАМЕТРЫ

№	Скопление	L, B	D [mx]	lg T	Литература
1	NGC 3330	284.18+3.83	1390	7.70	[3]
2	NGC 3247	284.59—0.35	1400	7.70	[3]
3	Tr 17	288.66+0.43	1400	7.50	[3]
4	Mel 101	289.955.56	2100	7.80	[4]
5	Lo 282	290.24+1.32	1300	7.80	[26]
6	Lo 309	290.72-0.11	1600	7.80	[26]
7	Tr 18	290.99-0.14	1600	7.60	[27]
8	Lo 615	299.66-2.10	1200	7.60	[27]
9	Har 5	299.96+1.97	1000	7.60	[23]
10	NGC 4439	300.08+2.66	1600	7.80	[3]
11	NGC 4463	300.65-2.01	1240	7.90	[22]
12	NGC 4609	301.90-0.11	1500	7.56	[3]
13	Cr 271	307.09-1.62	1600	7.80	[3]
14	Tr 21	307.57-0.30	1100	7.80	[3]
15	Lo 915	308.37+3.16	1000	8.00	[28]
16	NGC 5281	309.17-0.70	1300	7.70	[3]
17	Lo 1256	313.12-0.28	1600	7.70	[26]
18	Ly 2	313.78-0.49	1100	7.50	[3]
19	NGC 5617	314.67-0.10	1100	7.70	[3]
20	Tr 22	314.67-0.59	1270	7.70	[4]
21	NGC 5749	319.50+4.53	950	7.96	[3]
22	Hogg 18	320.75+6.43	1170	7.70	[3]
23	NGC 6025	324.54-5.97	800	8.00	[3]
24	NGC 6087	327.76-5.40	900	7.80	[24]
25	NGC 6067	329.76-2.20	1250	7.80	[25]
26	Ly 6	330.37+0.34	1600	7.60	[4]
27	NGC 6152	332.93-3.14	900	7.70	[3]
28	NGC 6167	335.32-1.28	1000	7.60	[3]
29	NGC 6178	338.40+1.23	900	7.70	[23]
30	NGC 6242	345.46+2.43	1200	7.70	[3]
11	1107				101

АСТРОФИЗИКА

TOM 30

ФЕВРАЛЬ, 1989

выпуск 1

УДК: 524.37

СПЕКТРАЛЬНЫЕ ПРОЯВЛЕНИЯ ЗВЕЗДНОГО ВЕТРА ЯДЕР ПЛАНЕТАРНЫХ ТУМАННОСТЕЙ

А.А. НИКИТИН, Т. Х. ФЕКЛИСТОВА, А. Ф. ХОЛТЫГИН
Поступила 18 апреля 1988
Принята к печати 24 мая 1988

Рассмотрены особенности спектров планетарных туманностей, овязанные с взаимодействием их со звездным ветром ядер туманностей. Исследовано вляяние рентгеновского излучения горячего звездного ветра и электронов высоких энергий на спектры туманностей. Обсуждаются атомные данные, требуемые для интерпретации спектров планетарных туманностей, взаимодействующих со звездным ветром.

Важную роль в динамике планетарных туманностей играет звездный ветер их ядер. Истечение вещества со скоростью 500—2000 км/с обнаружено у многих ядер туманностей, типичные значения скоростей потери массы составляют $10^{-9}-10^{-6}~M_{\odot}/\text{год}$ [1]. Взаимодействие звездного ветра с туманностью приводит как к ее ускорению [2—4], так и к формированию отраженной ударной волны, натревающей вещество ветра до $10^5-10^6~\text{K}$ [5]. Присутствие в туманности такой высокотемпературной области оказывает значительное влияние на наблюдаемые спектры туманностей. Рассмотрим особенности спектров, связанные с существованием горячего звездного ветра.

K таким особенностям следует отнести излучение планетарных туманностей в области мягкого рентгена 0.1-1 квB, наличие в звездном ветре высоковнергичных влектронов E=0.1-0.3 квB, присутствие в спектрах туманностей линий ионов с высокими потенциалами ионизации и наличие в спектрах туманностей линий переходов между уровнями двукратного возбуждения.

Вследствие относительной малости массы вещества звездного ветра (в среднем его масса составляет $10^{-6}-10^{-4}~M_{\odot}$) рентгеновское излучение планетарных туманностей относительно слабо. Ожидаемые рентгеновские светимости в области 0.2-0.3 квВ в модели взаимодействующего с туманностью звездного ветра составляют $(1-5)\cdot 10^{33}$ эрг/с [5]. К настоящему времени рентгеновское излучение зарегистрировано только у одной плане-

тарной туманности NGC 1360 [6]. Рентгеновское изаучение ветра, кроме вклада в спектр туманности, является дополнительным источником возбуждения спектральных линий, а также приводит к появлению в планатарных туманностях ионов высоких потенциалов ионизации.

 $ho_{
m OAb}$ высоковнергичных электронов в формировании спектра туманностей в принципе аналогична роли рентгеновского излучения. Длина свободного пробега таких электронов $\Lambda=(\sigma Z)^{-1}$, где $\sigma{\approx}10^{-16}$ -сечение зажата влектронов (при ионизации или возбуждении ионов C, N, O и более тяжелых элементов), $Z\approx 0.001$ — доля тяжелых элементов в туманностях, $n\approx 10^4$ см $^{-3}$ — средняя атомная концентрация. Подставляя численные значения, получим $\Lambda\approx 10^{15}$ см, что составляет 3—5% от среднего радиуса планетарной туманности [7]. Таким образом внергичные электроны практически полностью поглощаются в тонком слое, прилегающем к внутренней границе туманности и окавывают тем самым относитслымемалое влияние на спектр самой туманности (см. рис. 1).

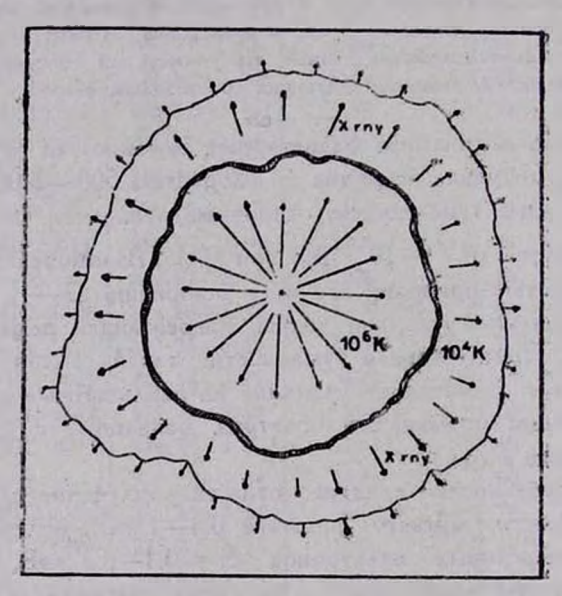


Рис. 1. Взаямодействие планетарных туманностей и ввездного ветра их ядер. Длинные стрелям показывают звездный ветер $v\approx 1000$ км/с, \rightarrow — рептеновское излучение области ввездного ветра, слабо поглощающееся в туманности; короткие стрелям показывают расширение самой туманности. Заштрихована область проникновения элеятронов с E > 100 вВ в туманность.

Обратимся теперь к наиболее яркому проявлению взаимодействия звездного ветра с туманностью — наличию в спектрах туманностей линий ионов с высокими потенциалами ионизации. Согласно каталогу [8], в спектрах планетарных туманностей присутствуют линии ионов высокой сте-

пени ионизации, такие, как OV ($I=113.90\ {
m aB}$), OVI ($I=138.12\ {
m aB}$), [NeV] ($I=126.21\ {
m aB}$); [Ne VI] ($I=157.9\ {
m aB}$), [Na V] ($I=138.4\ {
m aB}$), [Mg V] ($I=141.27\ {
m aB}$), [Fe VI] ($I=100\ {
m aB}$), [Fe VII] ($I=128.3\ {
m aB}$). Следует отметить, что линии ионов высоких потенциалов ионизации наблюдаются в слектрах туманностей как низкого, так и высокого возбуждения. Так, линии [Fe VII] присутствуют и в слектре планетарной туманности IC 418 (класс возбуждения. определенный в [9—10] — $E_{10}=2$), и в слектре туманности NGC 7027 ($E_{10}=10$).

Эффективные температуры ядер туманностей недостаточны для обравования сколько-нибудь эначительного количества ионов высоких степеней ионизации. Так, согласно ионизационной модели туманности NGC 7662 [11], для ионов O^{+5} и O^{+6} в полном содержании ионов кислорода составляет соответственно 10^{-3} и 10^{-6} . К тому же ядро NGC 7662 имеет высокую эффективную температуру $T_{eff} \approx 1.2 \cdot 10^5$ К [11]. Для большинства ядер планетарных туманностей T_{eff} значительно меньше этого значения, и число ионов O^{+5} , O^{+6} и др. пренебрежимо мало. Тепловое рентгеновское излучение горячего звездного ветра с E > 0.1 къВ способно обеспечить присутствие в планетарной туманности достаточно большого количества ионов высоких потенциалов иоńязации.

Отметим еще одну воэможность образования таких ионов: ионизация рентгеновским квантом с E>0.6 къВ с K-оболочек ионов кислорода и др. влементов приводит к образованию автоионивационных состояний, которые с вероятностью $\approx 99\%$ распадаются с отрывом еще одного влектрона (вффект Ome) или нескольких влектронов (каскадный эффект Ome). Примером такого процесса служит

$$O^{+3}(1s^2 2s^2 2p) + h\nu \rightarrow O^{+4}(1s 2s^2 2p) \rightarrow O^{+5}(1s 2s^2)$$

 $\downarrow \rightarrow O^{+5}(1s 2s 2p).$ (1)

В результате относительно обильный ион O IV трансформируется с большой вероятностью в ион O VI.

В определенной степени загадочным можно считать появление в спектрах планетарных туманностей линий переходов между уровнями двужратного возбуждения ионов С и N [12]. Уровни двукратного возбуждения (уровни термов конфигураций с двумя возбужденными электронами), по-видимому, в значительной мере образуются при двухэлектронных радиационных переходах с вышележащих уровней однократного возбуждения [13]. Значительную роль в заселении двукратно возбужденных уровней может играть диолектронная рекомбинация [14]. Однако при наличии в туманностях «горячих» электронов звездного ветра с $T_e = 10^5 - 10^6$ К возможен следующий механизм образования двукратновозбужденных состояний:

- 1. Образование метастабильных состояний при возбуждении электронным ударом или фотоотрыве электронов внутренних оболочек.
- 2. Возбуждение электронами с $E\geqslant 100$ эВ из метастабильных состояний. Приведем пример такого процесса:

Линия N III λ 3756 является наиболее интенсивной линией переходов двукратного возбуждения.

Линии переходов между уровнями двукратного возбуждения можно также рассматривать как диэлектронные сателлиты рекомбинационных линий ионов С и N. В табл. 1 дан список таких диэлектронных сателлитов.

T аблица 1 ДИЭЛЕКТРОННЫЕ САТЕЛЛИТЫ ЛИНИЙ ИОНОВ С И N В СПЕКТРАХ ПЛАНЕТАРНЫХ ТУМАННОСТЕЙ

	Сателанты								
Ион	λ (A)*	Переход	Ион	λ (A)*	Переход				
CIV	5807	3* ² S-3p ² P ⁰	CIII	4325 4665	2p3s 1P0-2p3p 1P 2p3s 3P0-2p3p 3P				
NIV	3483	2s3s 3S-2s3p 3P0	NIII	3354 3756 4195 4515	2s2p3s *P0-2s2p3p *P *P0-5 2p0-2D *P0-4D				
N IV	7109	2:3p 3P0—2:3d 3D	NIII	3792 4325	2s2p3p 4D-2s2p3d 4P0 -D-1D0				

^{*} Приведены средняе по мультиплету длины воли переходов.

В связи с отмеченными особенностями спектров планетарных туманностей, связанными с истечением вещества ядер туманностей, возникает необходимость в расчете атомных параметров процессов взаимодействия рентгеновожого излучения и электронов с энергиями E > 100 эВ с атомами и ионами планетарных туманностей. Необходимы, в частности, сечения фотоионизации с K и L-оболочек (см. [15]). Сечения и скорости возбуждения электронным ударом из метастабильных состояний. Требуется также уточнение расчетов вероятностей радиационных переходов для атомов и ионов, присутствующих в планетарных туманностях, особенно для переходов между двукратновозбужденными состояниями и двухэлектронных переходов, связывающих состояния с одним и двумя возбужденными электронами.

Наблюдаемые в спектрах планетарных туманностей линии естественно разделяются на следующие группы:

- 1. Рекомбинационные линий ионов C, N, O, Ne и др. соответствуют дипольным переходам между возбужденными уровнями с $n > n_0$, где n главное квантовое число оптического электрона, n_0 максимальное значение n для основной конфигурации рассматриваемого элемента. Для этих электронов с хорошей точностью выполняется приближение LS-связи.
- 2. Интеркомбинационные переходы с нарушением правил отбора в приближении LS-связи. Примером таких переходов служит С III] λ 1909 (2s² ^{1}S 2s2p $^{3}P^{0}$).
- 3. Линии магнитодипольных и квадрупольных переходов классические запрещенные линии спектров планетарных туманностей.

Основные усилия прилагаются для расчета вероятностей переходов групп 2—3, так как соответствующие линия — наиболее интенсивные линии спектров планетарных туманностей.

Недавние достижения в расчете вероятностей этих переходов суммированы в обзоре [16].

Расчет вероятностей раврешенных дипольных переходов осложивется наличием корреляционных эффектов и необходимостью перехода в эначительном числе случаев от одно- к многоконфитурационному приближению. Точность расчета вероятностей разрешенных переходов, особенно двух-электронных переходов, невысока — в среднем 50%. Приведем в табл. 2

Таблида 2 ВЕРОЯТНОСТИ ПЕРЕХОДОВ (10%с-1): ХФ — В ПРИБЛИЖЕНИИ ХАРТ-РИ — ФОКА, НК — С УЧЕТОМ НАЛОЖЕНИЯ КОНФИГУРАЦИИ, ТВ — РАС-ЧЕТЫ ПО ТЕОРИИ ВОЗМУЩЕНИЙ, Эксп.— ЭКСПЕРИМЕНТАЛЬНЫЕ ЗНАЧЕНИЯ

Non	λ (A)	Переход	ХФ [18]	HK [18]	TB [19]	Эксп. [20]
СШ	1247 2298	2s2p 1P0-2p2 1S 2s2p 1P0-2p2 1D	7.35 1.78	22.3 1.30	16.6 1.5	1.4
NIV	955 1719	2s2p 1P0-2p2 1S 2s2p 1P0-2p2 1D	10.6 2.69	30.7 2.23	25.1 2.44	2.2
ov	775 1371	$\begin{array}{c} 2s2p {}^{1}P^{0}-2p^{2} {}^{1}S \\ 2s2p {}^{1}P^{0}-2p^{2} {}^{1}D \end{array}$	13.9 3.66	39.4 3.19	34.0 3.45	3.3

вероятности некоторых переходов ионов С, N, О, вычисленные как с учетом, так и без учета корреляционных эффектов в сравнении с экспериментальными вероятностями. Наиболее полные таблицы вероятностей разрешенных переходов ионов С, N, О содержатся в приложении в работе [17]. В заключение отметим следующее обстоятельство. В планетарных туманностях присутствует значительное количество пылевых частиц, обравовавшихся к атмосферах «расных гигантов — предшественников планетарных туманностей. Фоторазрушение пылевых частиц квантами рентгеновского излучения зоны звездного ветра, а также в некоторой степени и непосредственно при столкновениях пылинок с ионами звездного ветра приводит к образованию ионов Mg, S, K, Ca, Mn, Fe и других элементов в возбужденных состояниях.

Лонинградский государственный униворситет
Институт астрофизика и физики
атмосфоры АН Эст.ССР

PECULIARITIES OF THE SPECTRA OF PLANETARY NEBULAE WITH STELLAR WIND OF THEIR NUCLEUS

A. A. NIKITIN, T. H. FEKLISTOVA, A. F. KHOLTYGIN

Some peculiarities of the spectra of planetary nebulae due to contribution of the stellar wind from the nucleus of the planetary nebulae are studied. The effect of X-ray emission by high-energy electrons of the hot stellar wind on the spectra of nebulae is considered. The atomic data necessary for interpretation of the spectra of hot stellar winds connected with planetary nebulae are discussed.

ЛИТЕРАТУРА

- M. Pertnotto, Planetary Nebulae, IAU Symp. No. 103, Reidel, Dordrecht, 1983, p. 323.
- 2. И. Н. Минин, Тр. IV совещ, по вопр. космогонин, АН СССР, М., 1955.
- 3. В. В. Витявев, Астрофизика, 5, 83, 1969.
- F. D. Kahn, Planetary Nebulae, JAU Symp. No. 103, Reidel, Dordrecht, 1983,. p. 305.
- 5. R. Bedegni, A. d'Ercole, Astron. and Astrophys., 157, 101, 1986.
- 6. P. J. de Corte, J. J. Claas. F. A. Jansen, Adv. Space Res., 5, 57, 1985.
- 7. С. Потташ, Планстарные туманности, Мир. М., 1977.
- 8. J. B. Kaler, Astrophys. J. Suppl. Ser., 31, 517, 1976.
- 9. К. У. Аллен, Астрофизические величины, Мир. М., 1977.
- 10. L. H. Aller, Gaseous Nebulae, Chapman and Hall, London, 1956.
- J. P. Harrington, M. J. Seaton, S. Adams, J. H. Lutz, Mon. Notic. Roy. Astron. Soc., 199, 517, 1982.
- 12. S. Grandt, Astrophys. J., 206, 658, 1976.
- 13. А. А. Никитин, А. Ф. Холгызин, Вестн. ЛГУ, № 13, 111, 1980.
- 14. А. А. Никитин, А. Ф. Холтыгин, Изв. АН СССР, сер. физ., 50, 1417, 1986.

- 15. J. J. Yeh, I. Lindau, At Data Nucl. Data Tables, 32, 1, 1985.
- S. Mendoza, Planetary Nebulae, IAY Symp. No. 103, Reidel, Dordrecht; 1983, p. 143.
- 17. H. Nussbaumer, P. J. Storey, Astron. and Astrophys. Suppl. Ser., 56, 293, 1984.
- П. О. Богданович, Р. А. Аукошявичус, А. А. Никитин, З. Б. Рудвикас, А. Ф. Холтыгин, Астрофизика, 22, 551, 1985.
- D. S. Victorov, U. I. Safronova, J. Quant. Spectrosc. and Radiat. Transfer, 17, 603, 1977.
- 20. J. Lindenberg, Phys. Lett., 29A, 467, 1969.

АСТРОФИЗИКА

TOM 30

ФЕВРАЛЬ, 1989

выпуск т

УДК: 524.354.4—77

СУЩЕСТВУЮТ ЛИ РЕАЛЬНО ТИПЫ РАДИОПУЛЬСАРОВ?

Б. М. ВЛАДИМИРСКИЙ Поступила 31 октября 1986 Пршнята к печати 20 марта 1988

Пульсары двух ранее выделеных групп (О и П) сравниваются по некоторым равее ненвученным параметрам. Показано, что между упомянутыми пруппами имеет место вначемое различие по средней по импульсу линейной полярвавции; зависимости формы импульса от расстояния до галактической плоскости; характеру изменения утла между осью магнитного диполя и осью вращения нейтронной звезды в функции расстояния от галактической плоскости; положению на днапрамме P-P. Проведенное разбиение на два типа оказывается близким к классификации, где основным разделяющим цараметром является наблюдаемый период. Совокупность всех найденных различий одновначно указывает на неоднородность наблюдаемой популяции радиопульсаров. Вероятно, П-пульсары являются аналогами пульсара PSR 0531+21 в Крабоведной туманности, а пульсары типа О ямеют свойства, вналогичные свойствам пульсара PSR 1913+16, прошедшего стадию аккреции и возобновившего ватем радвоизлучение.

1. Введение. Первая попытка классифицировать пульсары по каким-то морфологическим признакам, разбив их на определенные группы, была предпринята спустя четыре года после открытия отих объектов [1]. Одновременно была выдвинута важная идея [2, 3] о возможном существовании двух поколений пульсаров, приобретающих существенные различия в процессе эволюции. В дальнейшем этот круг вопросов рассматривался мнотими авторами (см., в частности, [4—6]).

В настоящее время большинство исследователей при анализе статистики пульсаров исходит, однако, из предположения об однородности наблюдаемой популяции. Между тем, если это исходное предположение неверно, есть основание усомниться в корректности сопоставления наблюдений с имеющимися теоретическими моделями пульсаров, в надежности оценок их важнейших астрофизических параметров.

К вопросу о классификации пульсаров воэможны, очевидно, различные подходы. Один из них —чисто эмпирический и связан с поисками эффективного классифицирующего параметра. Было показано, что тажим параметром может быть величина $\eta = L_R / \dot{E}$ — коөффициент трансфор-

мации вращательной энергии нейтронной звезды E в радиоизлучение $(L_R - paquocethmocth)$ [7]. Эта величина характеризует интегральные радиоизлучающие свойства магнитосферы и изменяется в очень широких пределах: от $\eta \simeq 5 \cdot 10^{-2}$ (PSR 1919-22) до $\eta \simeq 3 \cdot 10^{-10}$ (пульсар в Крабе). Пульсары с низким ($\eta < 10^{-6}$) и высоким ($\eta > 10^{-5}$) вначением этого нараметра обладают, видимо, существенно разными свойствами, образуя, соответственно, группы II (связаны с типичными плерионами) и O (old, обладают признаками старых объектов). Разграничивающее значение между упомянутыми группами находится также эмнирически— по резкому изменению какого-нибудь наблюдаемого параметра в функции η , например, по скачкообразному изменению $z(\eta)$ (z — расстояние от галактической плоскости).

Ниже обсуждаются различия П- и О-групп пульсаров по признакам, которые ранее не рассматривались, и кратко анализируется вопрос о вероятной природе этих двух групп.

Дальнейшее изложение существенным образом опирается на списки объектов, отнесенных к упомянутым группам. Перечень пульсаров надежно идентифицированных как Π ($\eta < 10^{-6}$), представлен в табл. 1. Он составлен на основе каталота [8].

Таблица 7

							Tuoxaga ,		
No	PSR	P (c)	No	PSR	P (c)	Ne	PSR	P (c)	
1	0105+65	1.2837	16	0906—17	0.4016	31	1719—37	0.2362	
2	0136+57	0.2724	17	0919+06	0.4306	32	174003	0.4446	
3	0154+61	2.3517	18	0922-52	0.7463	33	1742—30	0.3674	
4	020340	0.6305	19	0950-1-08	0.2531	34	1820 — 31	0.2841	
5	0355+54	0.1564	20	1001—47	0.3071	35	1822—09	0.7690	
6	0450+55	0.3407	21	1055—52	0.1971	36	1842+14	0.3755	
7	0458+46	0.6385	22	1221—63	0.2165	37	1914- -09	0.2703	
8	0531+21	0.0331	23	1237 -41	0.5122	38	1915+13	0.1946	
9	0540+23	0.2460	24	1317—53	0.2797	39	1916+14	0.1809	
10	0611+22	0.3349	25	133664	0.3786	40	1929+10	0.2265	
11	0656+14	0.3849	26	1503—51	0.8407	41	1930+22	0.1444	
12	0727-18	0.5102	27	1504-43	0.2868	42	1946-25	0.9576	
13	0740-28	0.1668	28	1642-03	0.388	43	2021+51	0.5298	
14	0833-45	0.0892	29	1702—18	0.2990	44	2151-56	1.3737	
15	0853—33	1.2675	30	1706 16	0.6531	45	2327—20	1.6436	

^{2.} Отличительные привнаки групп пульсаров с малыми и большими вначениями η . Важнейшие отличия пульсаров с $\eta > 10^{-5}$ (тип O) н.

 $\eta < 10^{-6}$ (тип П) суммированы в табл. 2. Чтобы не перегружать таблицы, она только частично перекрывается с соответствующей таблицей работы [7].

Таблица 2

Свойства, параметры	О лиТ	П пиТ			
Классифицирующий параметр $\eta = L_R/\tilde{E}$	>10 ⁻⁵	<10 ⁻⁶			
Наблюдаемый период Р для расстояний < 3 кик: N(P)	Максимумы 0.6 и 1.3 с	Одновершинное распреде- ление, максимум 0.3 с			
P (z)	N(P) не зависит от z	Период Р увеличивается с возрастанием z			
P (t)	Корреанция отсутствует	Корреавция $r = +0.5 \pm 0.1$ $P \propto -0.2$			
Начальный период P_0	≃ 0.3 c [20]	≲ 0.02 c			
Пространственное распределение, расстояния d	d нередко превышает 10 кпк	90 % объектов < 3 кпк			
шкала высот над галакти- ческой плоскостью 20	0.44 <u>+</u> 0.08	0.21±0.05			
концентрация в рукавам Н II	умеренная	тесная [9]			
поведение z в областях, занимаемых на диаграмме $\dot{P}-P$ (рис. 2)	в занимаемой области z не меняется	z увеличняеется в неправ- ление, перпендикулярно линиям т = const от 0.10 до 0.29 кпк			
Средняя поляризация по им- пульсу, 0/0 (в скобках число объектов, цифры справа— значимость разлачий)	610 MF _H [10] 15.8 (21) 400 MF _H [11] 11.6 (9) 400 MF _H [12] 14.6 (8)	35.4 (9) 0.05 34.3 (3) 0.07 29.2 (2) 0.04			
Угол между осью диполя и осью вращения, β_1 , β_2 [17]	$\beta_1 \simeq 15^\circ$ β_1 не коррежирует с β_2 и не зависит от z	$eta_1 \gtrsim 30^\circ \ eta_1, \ eta_2$ увеличиваются с возрастанием x			
Средняя форма импульса, оце-	0.22, не зависит от z	0.22 при z < 0.2 кпк - 0.06 при z > 0.2 кпк			

Различия обеих групп в распределении по периодам хорошо заметны в том случае, когда сравниваются объекты, находящиеся примерно в одной пространственной области. Поетому на рис. 1 все надежно классифицированные пульсары группы О разбиты еще на две подгруппы в зависимости от расстояния. Разграничивающее значение 3 кпк выбрано, чтобы получить примерно одинаковое число объектов в обеих подгруппах. Кроме того, большинство П-пульсаров расположено не далее 3 кпк. Заметно, что второй пик в распределении О-пульсаров появляется только за счет близких объектов (что было отмечено в [19]). Замечательно, что для пульсаров типа О распределение не изменяется с изменением высоты над

галактической плоскостью. Тенденция к увеличению в среднем периода с возрастанием z наблюдается только для П-пульсаров.

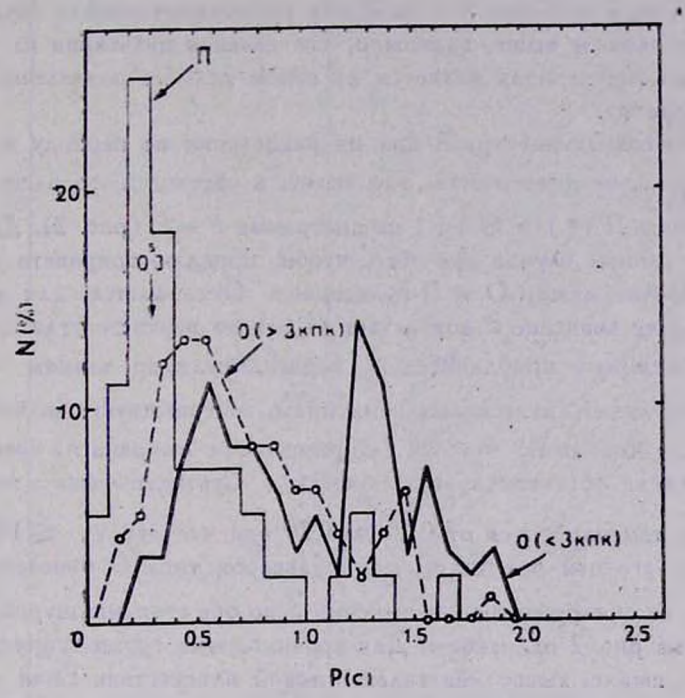


Рис. 1. Распределение по периодам P для пульсаров типа Π (гистограмма) и типа Ω (кривые для расстояний больших и меньших 3 кпк).

Существуют различные аргументы и соображения, указывающие на то, что большинство наблюдаемых пульсаров имеет большие начальные периоды $\simeq 0.3$ [5, 20, 21]. Это заключение относится к пульсарам типа О, составляющим около 2/3 всей популяции. С другой стороны, для пульсаров типа П имеет место вначимая корреляция между характеристическим воврастом т и периодом ($r=+0.5\pm0.1$ для спиока табл. 1 с добавлением PSR 1509—58). Если не обращать внимания на «тавтологический» характер этой связи (для О-пульсаров она отсутствует), то имеет место вависимость $P \propto \tau^{0.21\pm0.02}$, и тогда начальный период для пульсаров П должен лежать в пределах $12\div22$ м сек.

По крайней мере по четырем признакам пульсары с коротким периодом $P < 0.3 \div 0.7$ с эначимо отличаются от долгопериодических, причем эти различия допускают ясную физическую интерпретацию [6, 18]. В свяви с этим открывается возможность использовать наблюдаемый период в качестве классифицирующего параметра. Если для разграничивающего

значения принять P=0.3, то классификация по η и P приводит к очень. близкому результату, так как большинство короткопериодических пульсаров имеет нивкое значение η и попадает преимущественно в группу Π . В связи со оказанным выше, возможно, что деление пульсаров на два типа по наблюдаемому периоду является на самом деле их разделением по начальному периоду.

Полного совпадения групп при их разделении по периоду и по величине п, однако, не имеет места. Это видно, в частности, по расположению пульсаров типа Π (•) и O (+) на диаграмме P - P (рис. 2). Диаграмма показана в данном случае для того, чтобы проиллюстрировать еще одно важное различие между О и П-пульсарами. Оказывается, для пульсаров тиша И среднее вначение 2 возрастает от левого верхнего угла диаграммы к правому нижнему прибливительно перпендикулярно линиям $au = {\sf const.}$ Цифры блив линий, нанесенных пунктиром, соответствуют значениям 2 в. полосе между линиями т = const (ширина полос выбрана из соображений равенства числа объектов в этих полосах). Статистическая разанчий z, изменяющихся от 0.10 до 0.29 кпк, составляет $\lesssim 10^{-3}$. Применение аналогичной процедуры для пульсаров типа О отмеченной закономерности не обнаруживает — вначения г по обе стороны штриж-пунктирной линии на рис. 2 одинаковы. Для сравниваемых трупп существенно отличаются и шкалы высот над галактической плоскостью. Если аппроксимировать өти распределения экспонентами, то, жак видно из табл. 2, значения шкал высот 20 отличаются вдвое (для О-пульсаров при определении 20 даление объекты во избежание аффектов селенции не рассматривались)...

Наконец, нижние три строки таба. 2 содержат результаты поиска различий между рассматриваемыми группами по признакам, которые ранее не анализировались. Как видно, линейная поляризация, усредненная по вмпульсу, для пульсаров типа П в среднем вдвое больше, чем для Опульсаров, причем для первых имеется тенденция к уменьшению поляризации с увеличением расстояния от галактической плоскости (отсутствует для пульсаров типа О). Средние профили импульсов, сравниваемые по жиндексу сложности» / w./w50 % — 1 | (здесь w. и w50% — соответственно вквивалентные ширины импульсов и ширины на полувысоте согласно [8]), не отличаются, но для П-пульсаров значение индекса падает с увеличением 2. Это можно истолжовать в том смысле, что с увеличением возраста у пульсаров этого типа начинают презбладать простые импульсы (S). У пульсаров группы О индекс не зависит от 2.

В рамках модели полярной шапки значение угла между осью вращения нейтронной звезды и осью магнитного дипеля может быть получено

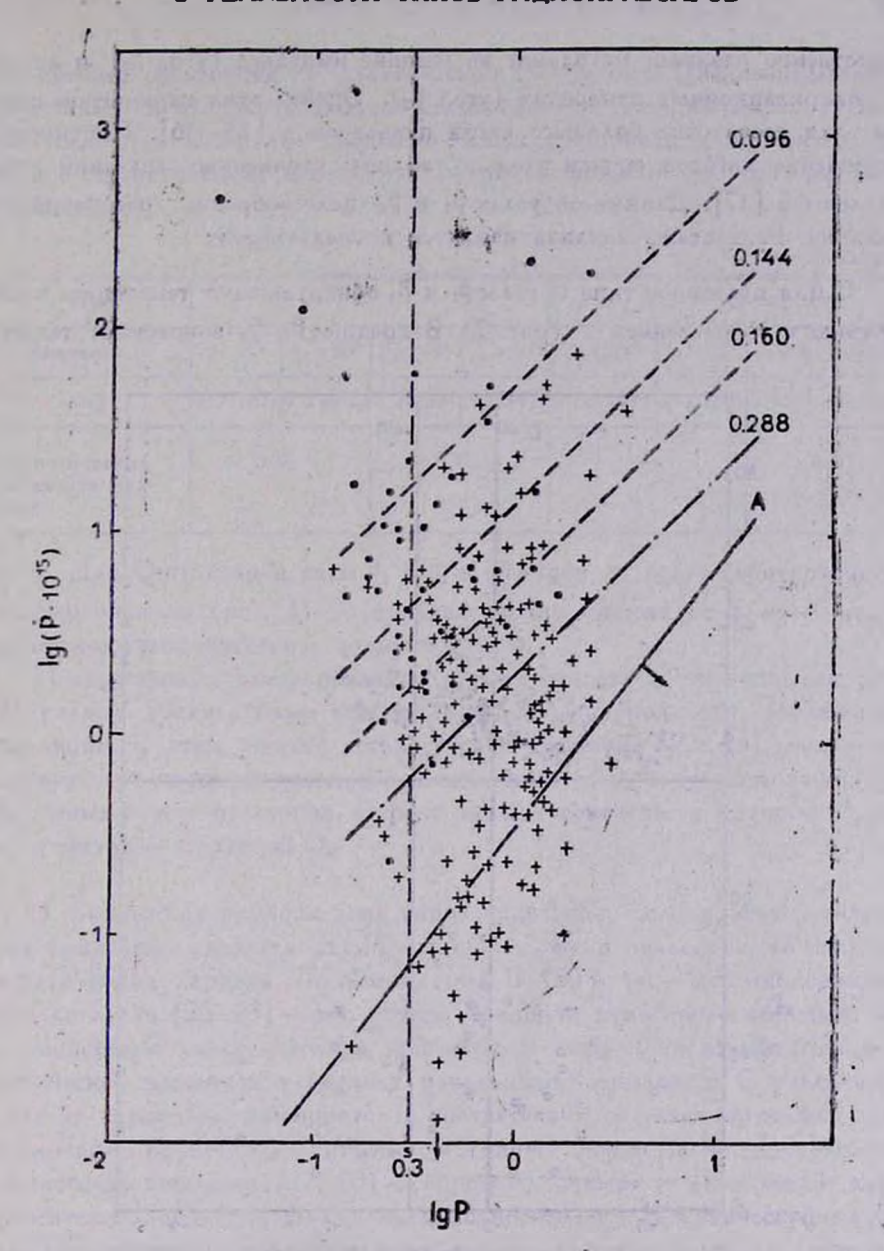


Рис. 2. Диаграмма рассеяния в координатах Р—Р. Пульсары типа П—кружка. Пульсары О—кресты. Штриховые линии — т = const. Цифры смоло них — средняе вначения 2 расстояния от галактической плоскости, ких — для объектов, расположенных выше втих линий. Шприх-пунктирная прямая — разделение объектов типа О (аначеня 2 выше и ниже втой линии не различаются). Прямая А стрелкой отмечает область, где должны располагаться пульсары, прошедшие стадию аккреции в двойных системах.

существенно разными методами: по ширине импульса (угол β_1) и исходя из поляризационных измерений (угол β_2). Оценка этих параметров получена для достаточно большего числа пульсаров в [13—16]. Критическое обсуждение методов оценки угла и таблицы уточненных значений представлены в [17]. Данные об углах β_1 и β_2 целесообразно рассматривать отдельно. Результаты анализа сводятся к следующему:

1. Для пульсаров типа Π углы β_1 и β_2 обнаруживают тенденцию к увеличению с возрастанием η (рис. 3). В среднем β_1 , β_2 возрастают также с

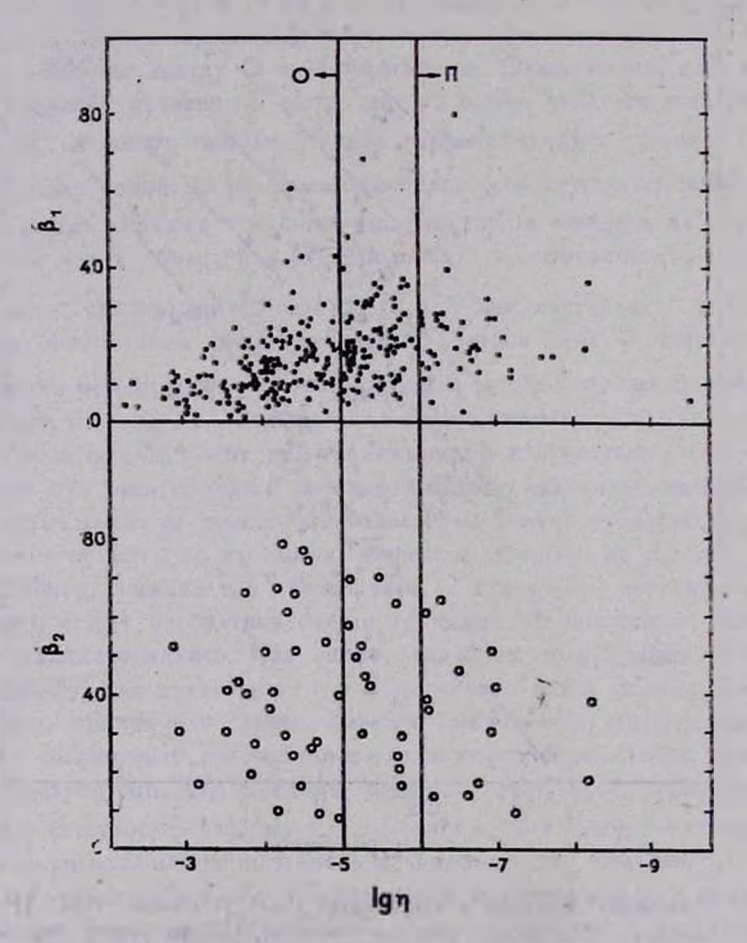


Рис. 3. Диаграммы рассеяния в координатах η (коэффициент трансформации вращательной энергии пульсара в радиоизлучение, логарифмическая шкала) — угол между осью диполя и осью вращения нейтронной звезды. β — угол оценен по ширине выпульса (верхинй рисунок). β_2 — угол вычислен из поляривационных измерений (инживий рисунок).

увеличением расстояния от галактической плоскости г. Цифровой материал представлен в отдельной табл. 3 (использованы все данные об углах, в том числе для не вполне надежно классифицированных объектов; для оценки статистической вначимости различий применяется критерий Вандер-Вардена).

Таблица 3

Тип		П			0			
Значения	β1<20°	β ₁ > 20°	β2<40°	β ₂ ≥40°	β ₁ <15°	β ₁ > 15°	β ₂ <40°	β ₂ >40°
z (n)	0.21(47)	0.29(42)	0.10(13)	0.22(9)	0.35(107)	0.32(86)	0.15(18)	0.25(23)
Статистическая значимость раз- личий	0.0	C1	0.	05	_		0.	07

2. Для О-пульсаров углы β_1 и β_2 в функции η ведут себя противоположным образом (рис. 3). β_1 определенно не зависит от z, хотя угол β_2 , возможно, увеличивается с возрастанием z.

Перечисленные выше различия в совокупности с отмеченными ранее [7] служат убедительным свидетельством неоднородности наблюдаемой популяции. С этим хорошо согласуется заключение [22, 23], полученное в результате чисто формального поиска кластеров, о существовании трех различных групп пульсаров. Первая из них совпадает с группой П, вторая и третья — с группой О.

3. Возможная природа двух типов пульсаров. Если кратко ревюмировать важнейшие свойства двух выделенных групп пульсаров, то получается следующая картина. Пульсары типа П (80% их — короткопериодические, согласно [22, 23] — это группа «ранних» пульсаров) обладают всеми свойствами «классических» нейтронных звезд. Они образуются в галактической плоскости с малыми начальными периодами. С увеличением г все их параметры изменяются в соответствии со «стандартными» представлениями об эволюции. Пульсары типа О (около 60% их — долгопериодические, согласно [22, 23] — «промежуточные» и «поздние») имеют относительно большую шкалу высот относительно галактической плоскости. Все изученные параметры этих пульсаров практически не зависят от г. Вероятно, что пульсары этого типа имеют начальный период, близкий к наблюдаемому. Обладая в среднем заметно более высокой радиосветимостью, пульсары типа О обнаруживаются вплоть до очень больших расстояний (≥10 кпк) и составляют около 2/3 всей наблюдаемой популяции.

Истолковать однозначно природу пульсаров типа О пока, видимо, затруднительно. Существуют, однако, признаки, позволяющие отождест-

вить О-пульсары с классом «раскрученных» (recycled) пульсаров, прошедших стадию аккреции при их эволюции в тесной двойной системе [7]. В соответствии с такой схемой пульсары типа П не аккрецировали — они образовались после второй вспышки сверхновой в двойной системе, либо были одиночными. В пользу предположения о тождественности пульсаров типа О с пульсарами, прошедшими стадию аккреции (и возобновившими ватем радиоизлучение), свидетельствуют следующие аргументы:

- 1. По крайней мере нехоторые пульсары компоненты двойных систем являются, чесомненно, пульсарами типа О (например, PSR 1913+16; PSR 0820+02 эти пульсары бесспорно прошли стадию аккреции [24]). Подобные объекты на диаграмме P-P располагаются в левом нижнем углу [25], ниже линии «раскрутки» (spin-up), нанесенной на рис. 2 согласно [26]. В этой области диаграммы располагаются околотрех десятков объектов, надежно классифицированных как О-пульсары.
- 2. Период пульсаров после окончания аккреции (начальный период после возобновления радиожзлучения) должен быть близок к равновесному, подчиняясь известному соотношению $P \propto H^{6/7}$ (H магнитное поле). Как это было отмечено в [7], пульсары типа O обладают именно такими свойствами.
- 3. Для аккрецировавших пульсаров, получивших дополнительный момент, их характеристический возраст т не отражает кинематического (и хронологического) возраста, что как раз и характерно для пульсаров Отипа.
- 4. О-пульсары и рентгеновские пульсары, согласно развиваемому предположению, генетически связаны и должны иметь аналогичные пространственные распределения в Галактике. Такого рода близость пространственных распределений, видимо, и а самом деле имеет место [27].
- 5. В обсуждаемой схеме должны наблюдаться пары разлетающихся пульсаров (принадлежащих типам О и П). Оказывается возможным, видимо, отыскать такие пары, обладающие признаками двойственности в прошлом [28, 29].

Если принять предположение о тождественности О-пульсаров с пульсарами, прошедшими стадию аккреции, то остается неясной причина громадного ($\simeq 10^2$) увеличения радиосветимости после ак преции. Не исключено, что вто жак-то связано с изменением химического состава поверхности нейтронной звезды после аккреции (модель генерации радиоизлучения, в которой интенсивность зависит от концентрации водорода, рассматривалась в [30]).

Из-за того, что характеристические возрасты тирульсаров типа П меньше, чем вти возрасты О-пульсаров, можно было бы предположить, что указанные группы отличаются только возрастом, так что П-пульсары переходят, вволюционируя сбычным образом, в тип О. Такое предположение, однако, неприемлемо. Можно обратить внимание, например, на то, что объекты типов ІІ и О, занимая одну и ту же область в центре P-P диаграммы, казалось бы, не должны различаться. Однако, на самом деле, астрофизически — это различные сбъекты, отличающиеся пространственным распределением. Они в действительности различаются и по своим физическим характеристикам, например, по радиосветимости. Различие по радиосветимости не может быть сбъяснено небольшим различием в средних значениях углов P_1 , Пульсары типов ІІ и О принадлежат к различным классам светимости — соответственно «ниэкой» и «высокой»: в частотном распределении по светимости они лежат по разные стороны «провала» P_2 P_3 P_4 P_5 P_6 P_6 P

Если вышеизложенное толкование природы О-пульсаров окажется правильным, то «эталонными» объектами, с которыми следовало бы сравнивать теоретические модели, должны быть П-пульсары — аналоги пульсара в Крабовидной туманности. В этой связи интересию отметить, что увеличение угла $\beta_{1,2}$ в функции z для пульсаров этого типа противоречит предположению о том, что основным механизмом замедления пульсаров являются магнитодипольные потери: если преобладает этот вид потерь, должно наблюдаться «выстраивание» (уменьшение 3). Указанная закономерность, если она реальна, согласуется с преобладанием «токовых» потерь [32].

Проведенное рассмотрение позволяет сформулировать следующие основные выводы:

- 1. Предположение об однородности наблюдаемой популяции пульсаров неверно. Пульсары с высоким ($\eta > 10^{-5}$) и низким ($\eta < 10^{-6}$) коэффициентами трансформации вращательной энергии в радиоизлучение различаются по многим признакам, образуя обособленные группы.
- 2. Вероятно, пульсары $\eta < 10^{-6}$) (тип П) аналогичны по своим свойствам пульсару в Крабовидной туманности. Пульсары $\eta > 10^{-5}$ являются, видимо, аналогами PSR 1913+16. Они в процессе эволюции прошли стадию аккреции в двойных системах.

Автор признателен И. Ф. Малову, Ю. И. Нешпору и анонимному рецензенту за критические замечания.

Крымская астрофизическая обсорватория

ARE THERE REAL TYPES OF THE RADIOPULSARS?

B. M. VLADIMIRSKY

The radiopulsars of two types— Π and O—which have been distinguished in an early paper are now compared for several other parameters. It has been shown that Π and O—pulsars significantly differ in a) mean polarisation of the pulses, b) the dependence of the form of the pulse on the distance to the galactic plane, c) the change of the angle between magnetic moment and rotation axes as a function of the distance to the galactic plane, d) the disposition at P-P diagram. The classification on the types Π and O is partly similar to the division of the pulsars based on the observable period. All these differences strongly suggest the inhomogenity of observed pulsar population. The Π —pulsars are probably analogous to PSR 0531+21 (plerions) but [the pulsars of O—type were very likely to pass the stage of the accretion in binary systems in evolution (as PSR 1913+16).

ЛИТЕРАТУРА

- 1. J. H. Tayjor, G. R. Huguenin, Astrophys. J., 167, 273, 1971.
- 2. В. Ф. Швариман, Астрон. ж., 48, № 2, 438, 1970.
- 3. Г. С. Бисноватый-Коган, Б. В. Комберг, Письма в Аспрон. ж., 2, № 7, 388, 1976.
- 4. R. R. Kochhar, Nature, 270, 39, 1977.
- 5. М. А. Мнауаканян, Астрофизика, 15, 515, 1979.
- 6. H. Ф. Малов, С. А. Сулейманов, Астрофизика, 18, 107, 1982.
- 7. Б. М. Вламимирский, Ивв. Крым. астрофиз. обсорв., 66, 192, 1983.
- 8. R. N. Manchester, J. H. Taylor, Astron. J., 86, 1953, 1981.
- 9. Б. М. Владимирский, Ивв. Крым. астрофив. обсерв., 72, 125, 1985.
- P. M. Mc Cullock, P. A. Hamilton, R. N. Manchester, J. G. Ables, Mon. Notic. Roy. Astron. Soc., 183, 645, 1978.
- 11. P. A. Hamilton, P. M. Mc Cullock, J. G. Ables, M. M. Komesaroff, Mon. Notic. Roy. Astron. Soc., 180, 1, 1977.
- 12. R. N. Manchester, Astrophys. J. Suppl. Ser., 23, No. 199, 283, 1971.
- 13. А. Д. Кувьмин, И. М. Дазкесаманская, Письма в Аспров. ж., 9, 149, 1983.
- 14. И. Ф. Малов, Астрофизика, 19, 161, 1983.
- 15. R. Narayan, M. Vtvekand, Astron. and Astrophys., 113, L3, 1982.
- А. Д. Кузьмин, И. М. Дагкесаманская, В. Д. Пузачев, Письма в Астрон. ж., 10, 854, 1984.
- 17. Н. Ф. Малов, Астрофизика, 24, 507, 1986.
- 18. И. Ф. Малов, Астрон. ж., 62, 252, 1985.
- 19. J. H. Huang, K. L. Huang, Q. H. Peng, Astron. and Astrophys., 148, 391, 1985.
- С. А. Герасимов, Ю. Н. Нешпор, А. А. Степанян, Имв. А.Н СССР, сер. фяз. 45, 629, 1981.
- 21. M. Vivekanand, R. Narayan, Astrophys. and Astron., 2, 315, 1981.

- M. Fracassini, L. E. Pasinetti, G. Raffaelli, Proc. Course and Workshop on Plasma Astrophysics, Varenna, Italy. ESA SP-207, 1984, p. 315.
- 23. M. Fracassini, P. Maggi, L. E. Pasinetti, G. Raffaelli, Proc. Intern. Course and Workshop on Plasma Astrophys. Sukhumi, USSR, ESA-SP (in press).
- 24. G. Srinivasan, E. P. J. van den Heuvel, Astron. and Astrophys., 108, 143, 1982.
- 25. P. R. Backus, J. H. Taylor, M. Damashek, Astrophys. J. Lett., 255, L63, 1982.
- 26. M. A. Alpar, A. F. Cheng, M. A. Ruderman, J. Shaham, Nature, 300, 728, 1982.
- 27. D. G. Blair, B. N. Candy, Mon. Notic. Roy. Astron. Soc., 212, 219, 1985.
- 28. Б. М. Владимирский, Астрофизика, 21, 535, 1984.
- M. Fracassini, P. Maggi, L. E. Pasinetti, Astrophys. and Space Sci., 128, 363, 1986.
- 30. Mao Xinjie, Tong Yi, Astrophys. and Space Sci., 124, 187, 1986.
- 31. S. Pineauet, Astrophys. J., 301, 145, 1986.
- 32. В. С. Бескин, А. В. Гуревич, Я. Н. Истомин, Ж. эксперим. и теор. физ., 85, 401,. 1983.

АСТРОФИЗИКА

TOM 30

ФЕВРАЛЬ, 1989

выпуск 1

УДК: 524.7—337

СТРУКТУРА МАГНИТНОГО ПОЛЯ ГАЛАКТИКИ

Р. Р. АНДРЕАСЯН, А. Н. МАКАРОВ Поступила 12 февраля 1988 Принята в печати 23 июня 1988

На основе количественного анализа мер фарадеевского вращения плоскотти поляризации радиомэлучения 185 пульсаров получены следующие значения направлений (l_0) и напряженностей (B_0) магнитных полей спиральных рукавов Галактики в офрестности Солица до расстояний $\sim 5 \div 7$ кик: рукав Персея — $l_0 \approx 90^\circ$, $B_0 \approx -2.5 \times 10^{-6}$ Гс; рукав Ориона — $l_0 \approx 80^\circ$, $B_0 = (-1.4 \div -2.0) \cdot 10^{-6}$ Гс; рукав Стрельца — Киля — $l_0 \approx 225^\circ$, $B_0 = (-2.0 \div -2.5) \cdot 10^{-6}$ Гс. Полагая, что магнитное поле в рассматриваемой части Галактики состоит из двух компонентов (плоского и области "гало") можно счятать, что приведенные данные относятся к плоскому компоненту. Что касается второго компонента ("гало"), где |z| > 0.4 кик, то для южного полушария получены $l_0 \approx 70^\circ$, $B_0 \approx -1.5 \cdot 10^{-6}$ Гс, а для северного — $l_0 \approx 245^\circ$, $B_0 \approx -1.1 \cdot 10^{-6}$ Гс.

1. Введение. Изучению магнитного поля нашей и других спиральных галактик в последнее время посвящено много работ как теоретического (например, [1, 2]), так и наблюдательного (например, [3—5]) характера. В основном рассматриваются модели кругового и бисимметричного спирального магнитного поля. Так, в работе [5] была предложена модель бисимметричного магнитного поля Галактики, в которой, в частности, направления магнитных полей спирального ружава Стрельца-Киля и местного рукава Ориона противоположны друг другу. Для изучения структуры магнитного поля в спиральных рукавах Галактики использовались меры фарадеевских вращений RM внегалактических радноисточников из описка [6]. С другой стороны, в [7] (также по RM внегалактических радиоисточников) сделан вывод о совпадении направлений магнитных полей спиральных рукавов Персея и Ориона. Но отметим, что изучение магнитных полей спиральных рукавов, кроме рукава Ориона, с использованием данных RM внегалактических радиоисточников затруднено тем, что эти рукава наблюдаются на очень низких галактических широтах. Вследствие этого излучение от внегалактических объектов проходит через несколько областей Галактики, в которых магнитные поля могут иметь различные направления и напряженности. Кроме того, на низких галактических широтах из-за большого поглощения в оптическом диапазоне затруднено отождествление радиоисточников и, следовательно, число используемых в статистике объектов сильно уменьшается. Отметим также, что на галактических широтах $|b| < 10^\circ$ наблюдаются значения RM от нескольких сотем до нескольких единиц, а это вызывает сомнение в предположении, что величины RM обусловлены в основном вкладом магнитного поля Галактики. Повтому выводы, сделанные в работах [5, 7], нуждаются в проверке с использованием другого рода данных.

Качественная проверка этих выводов с использованием данных о мерах вращений для пульсаров была сделана в [8, 9] авторами настоящей работы. Применение параметров пульсаров для изучения магнитных полей спиральных рукавов Галактики выгоднее использования внегалактических радиоисточников, поскольку пульсары — галактические объекты, расстояния для которых определены по их мерам дисперсий DM довольно уверенно. Следовательно, можно более уверенно определить местонахождение пульсаров в Галактике.

В настоящей работе с целью определения количественных характеристик магнитного поля в разных областях Галактики используются данные о мерах вращений (RM) 185 пульсаров, взятых из [10, 11]. Пульсары были разделены на несколько групп в зависимости от их положения в Галактике. Была использована модель Галактики и карта расположения спиральных рукавов из работы [12]. Предполагается, что спиральные рукава имоют полутолщину $z_0 \le 400$ пк, поэтому для изучения магнитных полей спиральных рукавов используются только пульсары, находящиеся в слое $|z| \le 400$ пк (z- расстояние от плоскости Галактики). На рис. 1 приведена карта распределения пульсаров $(c \mid z \mid \le 400 \text{ мк})$ в Галактике из работы [9]. На этой жарте нанесены линии расположения спиральных рукавов Галактики по модели Жоржоленов [12], а также условные пунктирные линии (нанесенные нами), ограничивающие области отдельных спиральных рукавов.

Поскольку в упомянутой выше работе [9] была предложена модель двужкомпонентного макнитного поля Галактики, в которой помимо плоского компонента (магнитные поля спиральных рукавов) существует и магнитное поле на достаточном удалении от плоскости Галактики (компонент «гало»), то данные RM пульсаров, находящихся вне слоя \pm 400 пк, используются для изучения магнитного поля «гало». Напомним, что поле «гало» предполагается общим для всех спиральных рукавов, а его направление в северном и южном полушариях Галактики противоположны друг другу [9]. Причем, в южном полушария это направление близко направлению поля рукава Ориона ($l_0 \approx 90^\circ$, $b_0 \approx 0^\circ$, l_c , b— галактические координаты).

2. Магнитное поле рукава Ориона. Для изучения магнитного поля местного Орионова рукава используются параметры пульсаров, которые находятся в области I (рис. 1). Отметим, что на рис. 1 не нанесены пульсары, у которых расстояния от Солнца r < 1 кых. В настоящем разделе используются и вти данные. Всего в области Орионова рукава находится 71 пульсар.

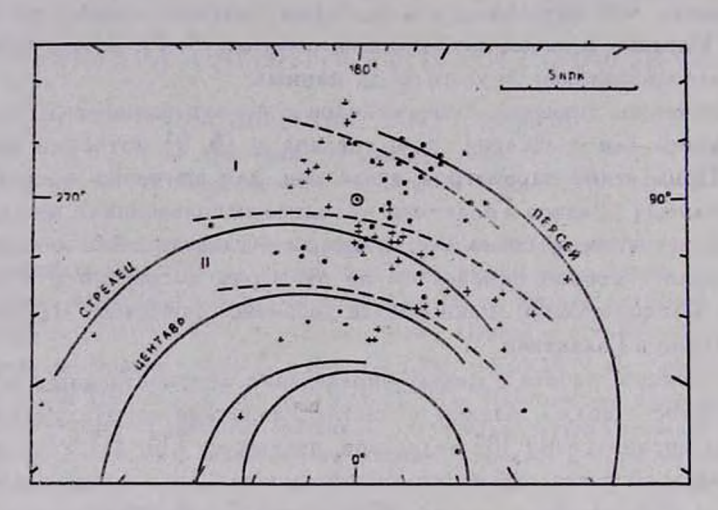


Рис. 1. Распределение пульсаров в плоскости Галактики. Знаками (+) и (●) обозначены пульсары соответственно с положительными в отрицательными значениями мер вращения.

На рис. 2 приведено распределение этих пульсаров по галактической долготе l и по расстоянию от плоскости Галактики z. При построении рисунка оказалось, что знаки мер вращений пульсаров изменяются около галактической долготы $l=10^\circ$, поэтому для наглядности на рисунке координата l меняется от 10° до 370° . Пульсары на рисунке обозначены точками и врестиками в зависимости от знака RM (для положительных RM-крестиками). Отметим, что на рис. 2 нанесены также пульсары, находящиеся вне слоя $|z|\leqslant 400$ пк, который выделен шунктирными линиями.

Из рис. 2 в слое $|z| \le 400$ пк видно, что в области $10^{\circ} < l < 190^{\circ}$ значения RM отрицательны, а в области $190^{\circ} < l < 370^{\circ}$ — в основном, положительны. Это означает, что магнитное поле в ружаве Ориона направлено приблизительно к $l_0 = 100^{\circ}$.

Надо отметить, что поскольку Солице находится вблизи внутреннего края рукава Ориона [12], то часть пульсаров, имеющая галактические координаты $l > 300^\circ$ и $l < 60^\circ$ и находящаяся от Солица на расстоянии r < 1 кпк, расположена в межрукавной области Ориона и Стрельца. Можно предположить, что магнитное поле в этой области является продолжен

нием магнитного поля «гало», упомянутого во введении, а также в работе [9]. Тогда в рамках модели двухкомпонентного магнитного поля легко объяснить то, что в сезерном полушарии в области с указанными координатами знаки RM пульсаров отличаются от знаков RM пульсаров северного полушария в целом. Данные RM пульсаров, находящихся в межру-

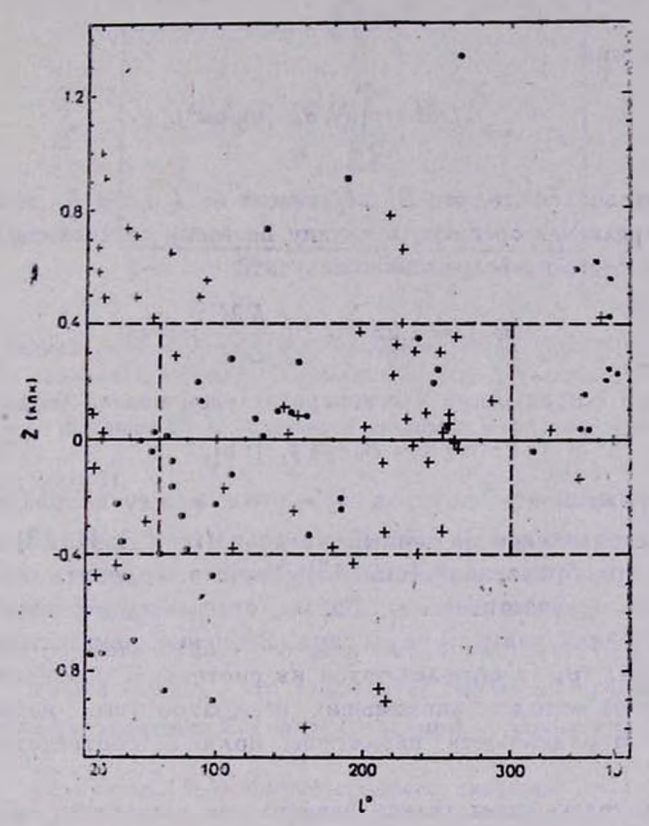


Рис. 2. Приведено распределение пульсаров области Орионова рукава ($60^{\circ} < l < < 300^{\circ}$), межрукавного пространотва Орион—Стрелец ($l > 300^{\circ}$, $l < 60^{\circ}$) и области «тало» (|z| > 400 пк).

кавной области, соответствуют направлению поля к $l_0 \approx 280^\circ$, что почти противоположно направлению поля Орионова рукава. В южном полушарии такой области с отличающимися знаками RM не наблюдается, что можно объяснить совпадением направлений магнитных полей «гало» южного полушария и рукава Ориона (см. [9], а также раздел 5 настоящей работы).

Для более точного определения параметров магнитного поля (направление l_0 , b_0 и напряженность B_0) Орионова рукава были проведены численные расчеты. Как известно (см., например, [11]), мера фарадеевско-

го вращения RM вависит от напряженности B_L (B_L — составляющая напряженности магнитного поля в направлении данного объекта), электронной концентрации N_c и пройденного излучением пути L в среде, то есть

$$RM = 8.1 \cdot 10^{5} \int_{L} N_{*} B_{L} dL \ [pa_{A}/m^{2}], \tag{1}$$

а мера дисперсии

$$DM = \int N_{\bullet} dL \left[\pi \kappa / c \mathbf{m}^3 \right]. \tag{2}$$

Если предположить, что B_L не вависит от L (или B_L вывести из-под внака интеграла как среднюю величину по всему расстоянию), то из (1) и (2) для каждого пульсара можно получить

$$(B_L)_i = 1.23 \cdot 10^{-6} \left(\frac{RM}{DM}\right) [\Gamma c].$$
 (3)

С другой стороны, при плоскопараллельной модели магнитного поля

$$(B_L)_i = B_0 \cos \psi_i \ [\Gamma c]_i \tag{4}$$

где B_0 напряженность поля, а ψ — угол между направлением поля (l_0, b_0) и направлением на данный пульсар (l_i, b_i) . Из (3) и (4), после некоторых преобразований (см. [13]), можно получить линейное уравнение с 3-мя неизвестными x, y, z (в которые входят параметры поля (l_0, b_0) и B_0) для каждого пульсара. Значения неизвестных x, y, z и дисперсий σx , σy , σz определяются из системы n уравнений (n — число пульсаров) методом наименьших квадратов (см., например, [14]), после чего определяются параметры поля и соответствующие дисперсии.

Этим методом определялись направление магнитного поля (l_0, b_0) и напряженность B_0 для рукава Ориона. В процессе вычислений, с целью улучшения статистики, были сделаны различные отраничения на параметры пульсаров, вследствие чего для величины B_0 были получены вначения в интервале от -1.4 до $-2.0\cdot10^{-6}$ Гаусс (энак «минус» указывает на направление поля от наблюдателя), а для величин l_0 и b_0 , соответственно, $65^{\circ} \div 95^{\circ}$ и $-15^{\circ} \div 30^{\circ}$. Найденные значения находятся в хорошем согласии с ранее получеными [15—18], с использованием меньшего числа пульсаров.

Из (3) и (4) для отдельных пульсаров можно получить

$$(B_0)_i = 1.23 \cdot 10^{-6} \left(\frac{RM}{DM}\right)_i \frac{1}{\cos \psi_i} [\Gamma c]. \tag{5}$$

Величину (B_0) , навовем «приведенным» к направлению (l_0, b_0) значением наприженности магнитного поля. На рис. 3 приведена зависимость вначений (B_0) , от расстояний пульсаров до плоскости Галактики.

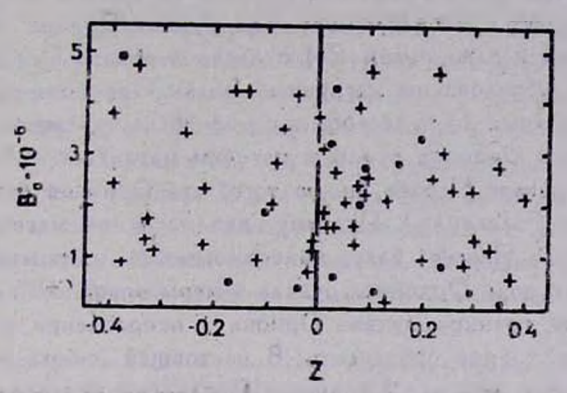


Рис. 3. Распределение вначений $(B_0)_i$ пульсаров рукава Ориона в зависимости от расстояний до плосмости Галактики. Исключены пульсары, у которых при малых вначения $\left(\frac{RM}{DM}\right)_i$ величины $(B_0)_i$ получаются большими из-за того, что соя ψ_i блинки и нулю (см. формулу 5).

Некоторые чрезмерно большие значения $(B_0)_l$ можно исключить из рассмотрения в силу того, что принятое направление магнитного поля почти перпендикулярно направлению данного шульсара, тогда как его $RM \neq 0$. Из рисунка видно, что заметной корреляции $(B_0)_l - z_l$ не набблюдается. Также видно, что существует большой разброс эначений $(B_0)_l$ от среднего значения для фиксированных z. Оказалось, что разброс $\frac{\sqrt{\sum (\Delta B_0)_l^2}}{B_0}$ величины $(B_0)_l$ вохруг среднего значения ~ 1 . Такой боль-

шой разброс частично может быть обусловлен собственными магнитными полями пульсаров (хотя в работе [15] покавано, что в меры вращений пульсаров вкладом собственного магнитного поля можно пренебречь), но, несомненно, основная часть этого разброса вызвана флуктуациями направления и величины магнитного поля, а также электронной концентрации в межавездной среде. Отметим, что эти мелкомасштабные флуктуации не имеют ничего общего с изменением поля в разных спиральных рукавах.

3. Магнитное поле спирального рукава Персея. На рис. 1 в условно разделенной области спирального рукава Персея находятся всего 13 пульсаров (пульсар 2002+31 исключен из рассмотрения из-за его большого расстояния — 8 клк от Солеца). Из рисунка видно, что распределение

знаков мео вращений RM у этих пульсаров (знак «+» означает, что RM положительна) по галактической долготе похоже на такое же распределение для Орионова рукава. Однако, основываясь только на этом факте. нельзя утверждать, что направление матнитного поля в спиральном оукаве Персея совпадает с направлением поля рукава Ориона. Это связано с тем, что величины и даже знаки RM шульсаров рукава Персея могут быть большей частью обусловлены магнитным полем Орионова рукава, так как изаучение упомянутых 13 пульсаров в основной части своего пути к Солнпу проходит через Орионов рукав, в котором магнитное поле может быть сильнее, чем в рукаве Персея (из-за того, что Орионов рукав находится ближе к центру Галактики). Поэтому, для изучения магнитного поля в спиральном рукаве Персея, надо, по возможности, аккуратнее учитывать вклад магнитного поля Орионова рукава в меры вращений пульсаров. Для отого надо внать границу рукава Орнона в направлении рукава Персея. которую, однако, трудно определить. В настоящей работе использовалась условно нанесенная на рис. 1 граница. Последующие численные расчеты показали, что выбор границы не очень сильно влияет на результаты. Были определены расстояния до этой границы в направлении 13 пульсаров, находящихся в спиральном рукаве Персея. Эти расстояния, из-за малости галактической широты пульсаров ($|b| \le 6^\circ$), практически совпадают с длиной пути, пройденного излучением пульсаров в области рукава Ориона. Для определения вклада магнитного поля Орионова рукава в величины RM пульсаров была использована формула (1), в которой интегрирование проводилось до границы рукава Персея. Как и в разделе 2 предполагалось, что в области рукава Ориона B_L не зависит от длины пути, по которому ведется интетрирование, это также означает, что напряженность не вависит от z (см. раздел 2), тогда как электронная концентрация определяется формулой

$$N_{e}(z) = N_{0}e^{-z/h_{e}}, \qquad (6)$$

где $N_0 = 0.03$ см⁻³, а эквивалентная полутолщина слоя электронов $h_0 = 1000$ пк (см. [11]). Из (1) с учетом (4) и (6), а также зная о постоянстве B_L , можно получить

$$(RM)_{i} = 8.1 \cdot 10^{6} B_{0} \cos \psi_{i} (DM)_{i},$$
 (7)

тде

$$(DM)_{i} = -\frac{N_{0}h_{e}}{\sin|b_{i}|} \left[e^{-\frac{d_{i}\sin|b_{i}|}{h_{e}}} - 1 \right]$$
 (8)

$$\cos \phi_i = \cos b_0 \cos b_i \cos (l_0 - l_i) + \sin b_0 \sin b_i, \qquad (9)$$

 d_i — расстояние до границы рукава Персея в направлении пульсара данного.

Если известны параметры магнитного поля (l_0 , b_0) и B_0 , то из (7), (8) и (9) можно определить вклад магнитного поля рукава Ориона в RM пульсаров (в некоторых случаях при определении расстояний в работе [11] были учтены поправки в DM пульсаров, связанные с тем, что из луч зрения попадают Н II-области, в (8) мы также учли эти поправки).

Как отмечалось в разделе 2, для рукава Ориона были получены параметры магнитного поля при разных ограничениях на исходные данные. Эти параметры использовались при оценке вклада магнитного поля Орионова рукава в RM 13 пульсаров, находящихся в области спирального ру-

Таблица 1

PSR	I	ь	DM	RM	r	⁷ Оржон	RM _{ost} .	RM got.	RMoct.	DM OCT.
1	2	3	4 ur/cm ³	5 pag/m²	6 жпк	7 ************************************	8 pag/m ²	9 pag/m²	10 pag/m ³	11 пк/см ³
0136+57	129.2	-4.0	73.7	_ 90	2.3	2.1	- 46.	- 56.2	– 7.7	5.3
0138+59	129.1	-2.1	34.8	— 48	3.0	2.1	8.	- 16.8	24.6	24.8
0329+54	145.0	- 1.2	26.8	— 54	2.6	1.9	- 31.6	- 42.4	- 4.5	20.0
0540- -23	184.4	-3.3	77.6	3	2.9	1.9	- 17.5	— 30.3	- 3.1	23.5
0611+22	188.9	2.4	96.7	62	3.5	2.0	38.7	25.2	47.5	39.2
0626+24	188.8	6.2	70.	82	2.7	2.0	62.4	49.9	68.	16.2
2106 + 44	86.9	-2.0	129.	—146	4.6	4.0	— 24 .	- 22.3	27.4	17.
2111+46	89.0	-1.3	141.5	-230	4.0	3.8	-111.1	-110.4	- 60.9	32.3
2255+58	108.8	-0.6	148.	-322	4.5	2.8	-229.1	-236.4	178.7	50.
2319+60	112.1	-0.6	96.	- 230	2.8	2.6	-159.8	-166.6	—120 .	19.1
2323+63	113.3	2.1	120.	-102	4.2	2.6	— 33.1	- 39.8	3.1	45.4
2324+60	112.9	0.0	120.	—221	3.4	2.6	-133.8	-142.4	- 84.6	24.
2351+61	116.2	-0.2	95.0	— 77	3.2	2.4	- 14.7	- 22.1	- 22.2	24.3

Для учета вклада магнятного поля Орионова рукава в меры вращений RM пульсаров рукава Персея, использованы параметры (l_0 , B_0) магнятного поля, найденные по данным: в столбце 8 — всех 71 пульсаров области I (рес. 1; в столбце 9 — 54 пульсаров (исключены пульсары межружавной области): в столбце 10—43 пульсара (исключены пульсары межружавной области и пульсары со знаками RM, отличными от тех, которые должны были наблюдаться при принятом направлении магнятного поля).

кава Персея. В таба. 1 приводятся первичные значения RM и DM этих пульсаров и остаточные значения $RM_{\text{ост.}}$ и $DM_{\text{ост.}}$ полученные шосле учета вклада магнитного поля Орионова ружава, с использованием пара-12—21 метров втого поля при разных ограничениях. В конце таблицы даются

разъяснения по поводу ограничений.

 M_3 таблицы видно, что, в основном, во всех вариантах вычислений внаки RM пульсаров сохраняются. Пульсар 0540 ± 23 можно было бы с самого начала исключить из рассмотрения, поскольку у него $RM = 3 \pm 6$ рад/м² (RM определено с большими относительными ошибками). Знаки RM изменяются только в последнем варианте вычислений и то всего у 3 пульсаров из 12. Это может быть из-за того, что при последнем варианте для величины B_0 получена сильно вавышенная оценка, поскольку при получении его из рассмотрения были исключены все пульсары, знаки RM которых отличались от тех, которые должны были бы наблюдаться при принятом направлении магнитного поля. Полученные значения остаточных $RM_{\text{ост.}}$ показывают, что направление магнитного шоля в спиральном рукава. Это связано с тем, что знаки $RM_{\text{ост.}}$ почти совпадают со знаками первичных RM и, следовательно, картина на рис. 1 в области рукава Персея не меняется.

Были проведены также численные расчеты для определения направления I_0 , b_0 и напряженности B_0 магнитного поля в рукаве Персея. При расчетах использовался тот же метод, что и в разделе 2, принимая, однако, вначения RMocr. и DMocr.. Но из-за того, что все пульсары. Персеева рукава расположены на очень низких галактических широтах $|b_i| \leqslant 6^\circ$, для значения bo получены очень неустойчивые результаты (см. [17]). По этой причине при расчетах принимается $b_0 = 0^\circ$, это, в свою очередь, приводит к тому, что вместо уравнений с 3-мя неизвестимми методом наименьших квадратов решвется система уравнений с 2-мя неизвестными (lo и Bo), Для направления поля вПерсеевом рукаве, как и ожидалось, получены значения lo ≈ 90°, что бли эко к направлению поля рукава Орнона. Однако, для величины напряженности поля Bo получены несколько неожиданные (см. [7]) значения $B_0 \approx -2.5 \cdot 10^{-6} \, \Gamma c$. Эти значения больше величины напряженности магнитного поля рукава Ориона, где $B_0 = (-1.4 \div -2.0) \cdot 10^{-6}$ Гс (см. равдел 2), хотя Орионов рукав расположен ближе к центру Галактики, чем рукав Персея. Данный результат можно было бы объяснить очень сильной вависимостью напряженности магнитного поля от расстояния до плоскости Галактики (2) в Орноновом рукаве, но, как это было сказано в разделе 2 и видно из рис. 3, такой вависимости не наблюдается для пульсаров с |z| 400 пк. Вероятно, это можно объяснить чреэмерно. большим значением (Во), одного или двух пульсаров при малой статистиже (см. формулу (5) равдела 2).

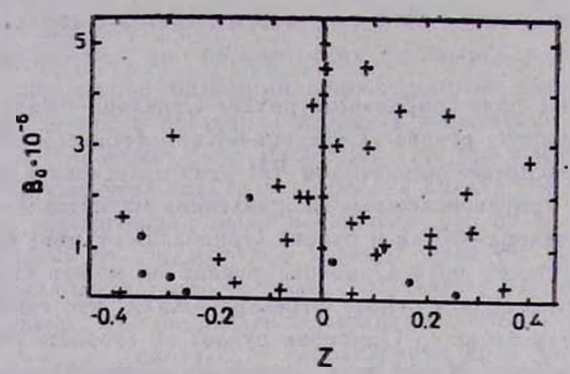
Резюмируя результаты втого параграфа, можно заключить, что направление магнитного шоля рукава Персея близко направлению поля Орионова рукава, а напряженность поля несколько больше, чем в рукаве Орнона. Отметим, однако, что втот результат получен на основе данных всего 13 пульсаров и, если немного переоценить вначения напряженности поля рукава Ориона, то можно получить несколько иные выводы для Персеева рукава.

4. Магнитное поле спирального рукава Стрельца—Киля. На рис. 1 в области спирального рукава Стрельца—Киля (область II) нанесены 38 пульсаров. По распределению знаков RM этих пульсаров в работе [9] был сделан вывод о противоположных направлениях магнитных полей спирального рукава Стрельца—Киля и рукава Ориона. В отличие от рукава Персея, вклад матенитного поля Орионова рукава не может сильно изменить значения RM пульсаров в рукаве Стрельца—Киля. Это связано с тем, что Солице находится на краю Орионова рукава со стороны спирального рукава Стрельца—Киля. Кроме того, поскольку распределение знаков пульсаров на рис. 1 отличается в рукавах Ориона и Стрельца—Киля, то учет матнитного поля рукава Ориона может только увеличить абсолютные значения RM пульсаров, находящихся в рукаве Стрельца—Киля, не изменяя при втом их знака (кроме нескольких исключительных случаев, когда на рис. 1 пульсары с отрицательными значениями RM попадают в область положительных значений RM).

Даяные этих 38 пульсаров спирального рукава Стрельца—Киля были проанализированы методом, предложенным в разделе 2. При различных ограничениях на данные пульсаров получены параметры магнитного поля спирального рукава Стрельца—Киля. Поскольку испольвованные объекты, в основном, имеют малые галактические широты (только у 3 пульсаров $|b| \ge 10^\circ$), то для b_0 нельзя получить устойчивые результаты (см. раздел 3). Поэтому принимается $b_0 = 0^\circ$. Для напряженности поля получены значения $B_0 = (-2 \div -2.5) \cdot 10^{-6} \Gamma c$, а для направления от $l_0 = 40^\circ \div 50^\circ$ к $l_0 = 220^\circ \div 230^\circ$, совпадающее с направлением рукава Стрельца—Киля или противоположное направлению поля Орионова рукава. Это направление совпадает с направлением магнитното поля, полученным по данным межзвездной поляризации взлучения звезд (см., например, [19]), или, можно сказать, что, вероятно, що данным межзвездной поляризации было найдено направление магнитного поля рукава Стрельца.

Были рассчитаны также «приведенные» значения $(B_0)_i$ (см. раздел 2) для пульсаров рукава Стрельца—Киля. На рис. 4 приведена вависимость значений $(B_0)_i$ от расстояния до плоскости Галактики (z). Из рисунка видно, что в северном полушарии рукава Стрельца—Киля нет заметной корреляции $(\overline{B_0})$ — z. В южном же полушарии наблюдается сильная зависимость $(\overline{B_0})$ от z, которую, вероятно, можно объяснить тем, что

излучение пульсаров проходит через две области (рукав Стрельца и межрукавное пространство) с противоположными направлениями магнитных полей (см. раздел 5).



Рыс. 4. Распределение значений $(B_0)_t$ пульсаров рукава Стрельца—Киля в зависимости от расстояний до плоскости Галактики. Исключены пульсары с большими значениями $(B_0)_t$ (см. подпись к рис. 3).

5. Магнитное поле области «гало». Как было изложено во введении. к области «гало» отнесены все пульсары с |z| > 400 пк. Таких пульсаров в нашем списке 48. Но некоторые из них находятся очень далеко от Солнца $r \sim 8 \div 15$ кпк по направлению центра Галактики и, следовательно, излучение от этих пульсаров проходит через несколько спиральных рукавов, учет магнитных полей которых в значения RM рассматриваемых пульсаров в настоящее время затруднителен. Поотому мы ограничились только теми пульсарами области «гало», которые находятся над и под рукавами Ориона и Стрельца-Киля. Таких пульсаров 36. После учета вклада матнитного поля Орионова рукава в RM, пульсары были нанесены на рис. 2. Эти пульсары с | z | >400 пк отделены от пульсаров Орионова рукава пунктирными линиями. Точно также отделены пульсары межрукавной области с |z| \$\leq 400 пк (между рукавами Ориона и Стрельца), поскольку эти пульсары тоже, окорее всего, можно отнести к области «гало» (в разделе 2 было предложено рассматривать поле «гало» простирающимся в межрукавную область до плоскости Галактики). Тогда в области «гало» будем иметь 54 пульсара.

Магнитные поля области «гало» северного и южного полушариев Галактики изучались отдельно. Из рис. 2 видно, что в области «гало» южного полушария Галактики распределение знаков RM пульсаров совпадает с распределением знаков RM пульсаров рукава Ориона, то есть в области «гало» южного полушария направление магнитного поля бливко направлению магнитного поля Орионова рукава. Этот вывод проверялся и численными расчетами ($l_0 = 73^\circ$, $B_0 = -1.5 \cdot 10^{-6}$ Гс).

Распределение знаков RM пульсаров в области «гало» северного полушария противоположно распределению знаков RM пульсаров Орионова рукава и области «гало» южного полушария. Из численных расчетов получили: $l_0=245^\circ$, $B_0=-1.1\cdot 10^{-6}\,\Gamma c$.

Пульсары с известными RM северного полушария области «гало» расположены, в основном, на галактических долготах $0^\circ < l < 100^\circ$ и $300^\circ < l < 360^\circ$. Примерно на отих же талактических долготах $(0^\circ < l < 60^\circ$ и $270^\circ < l < 360^\circ$) находится Северный Полярный Выступ, наличием которого во многих работах (см., например, [4, 5, 20]) объясняется аномальное распределение энаков RM внегалактических радиоисточников. Меры вращения (RM) пульсаров, в отличие от RM внегалактических радиоисточников, дают возможность проверить такое предположение. Это связано с тем, что Полярный Выступ, вероятно, имеет размеры ≤ 100 пк и находится на расстоянии ~ 100 пк от Солнца (см., например, [21]), а пульсары, проектирующиеся на область Северного Полярного Выступа, расположены на разных, и во многих случаях больших, расстояниях от него. Следовательно, если бы значения RM пульсаров, находящихся за областью Полярного Выступа, определялись, в основном, магнитным полем Полярного Выступа, то они не зависели бы от расстояния до Солнца.

С целью проверки өтого предположения были сделаны численные расчеты [22], которые показали наличие корреляции $RM_i - r_i$ (r— расстояние от Солица) для пульсаров, находящихся в направлении Северного Полярного Выступа. Достоверность корреляции между этими величинами оказалась больше 95% (см., например, [23]). Это дает нам право утверждать, что магнитное поле Северного Полярного Выступа, если оно существует, не в состоянии полностью определить наблюдаемые меры вращений RM пульсаров в этом направлении. С другой стороны, вклад магнитногоо поля Полярного Выступа в RM оценивается ~ 5 рад/м² [24], тогда как наиболее частые эначения наблюдаемых RM пульсаров $\sim 30 \div 50$ рад/м².

Имея в виду вышеизложенное, кажется наиболее вероятным вместо магнитного поля Северного Полярного Выступа принимать модель магнитного поля «гало». Отметим, что использованные нами пульсары находятся на расстояниях до 1 кпк от плоскости Галактики, и, следовательно, наши выводы о «гало» касаются только области полутолщиной $z_0 \sim 1$ кпк. Иллюстрации можно найти в работе авторов [22].

6. Заключение. В заключение приведем общую картину магнитного поля Галактики, полученную из количественного анализа наблюдаемых параметров 185 пульсаров.

В Галактике можно выделить два основных компонента магнитного поля. Это магнитное поле в плоской подсистеме Галактики (магнитные по-

ля в спиральных рукавах) и магнитное поле так называемого «гало», охватывающее область спиральных рукавов. Направления магнитных полей в рукавах параллельны самим спиральным рукавам, причем, направления магнитных полей в спиральных рукавах Ориона и Стрельца—Киля почти противоположны (в Орионе поле направлено примерно от 260° к 80°, а в Стрельце — от 45° к 225°). В опиральном руказа Персея направление поля (по данным 13 пульсаров) примерно совпадает с направлением поля Орионова рукава.

Получены также напряженности магнитных полей в спиральных рукавах: в Орионе — $B_0 \approx -1.5 \cdot 10^{-6}$ Гс, в Стрельце—Киле — $B_0 \approx$ $\approx -2.5 \cdot 10^{-6}$ Гс, в Персее — $B_0 \approx -2.5 \cdot 10^{-6}$ Гс.

Магнитное поле «гало» имеет противоположные направления в северном и южном полушариях Галактики, причем, в южном полушарии направление поля близко направлению магнитного поля Орионова рукава. Величина напряженности поля «гало» $\sim 1.0 \cdot 10^{-6}$ Гс.

В конце отметим, что в настоящей работе для нахождения картины магнитного поля использовалась известная модель спиральных рукавов Галактики. Однако, если считать известной модель магнитного поля в плоскости Галактики, то распределение мер фарадеевских вращений пульсаров в Галактике (см. рис. 1) дает косвенный метод для уточнения моделе спиральных рукавов Галактики.

Авторы искрение признательны академику В. А. Амбарцумяну и доктору физ-мат. наук М. А. Мнацаканяну, а также участникам теоретического семинара Бюраканской обсерватории за стимулирующие обсуждения и плодотворные замечания.

Бюраканская астрофизическая обсерватория

THE STRUCTURE OF THE MAGNETIC FIELD OF THE GALAXY

R. R. ANDREASSIAN, A. N. MAKAROV

On the basis of the quantitative analysis of Faraday rotation measures of polarization planes of 185 pulsars the direction (l_0) and field strength (B_0) of the galactic spiral arms of the magnetic field in the neighbourhood of the Sun $\sim 5+7$ kpc are obtained (Perseus arm $l_0 \approx 90^\circ$, $B_0 \approx -2.5 \cdot 10^{-6}$ G; Orion arm $l_0 \approx 80^\circ$, $B_0 \approx (-1.4+-2.0) \times 10^{-6}$ G, Sagittarius-Carina arm $l_0 \approx 225^\circ$, $B_0 = (-2.0+-2.5) \cdot 10^{-6}$ G). Supposing that the magnetic field in the observed part of the Galaxy consists of two components (flat and region "halo"), we can consider

that the data refer to the flat component. As for the second component ("halo"), where |z| > 0.4 kpc., for the Southern hemisphere $l_0 \approx 70^\circ$, $B_0 \approx -1.5 \cdot 10^{-6}$ G, and for the Northern hemisphere the values $-l_0 \approx 245^\circ$, $B_0 \approx -1.1 \cdot 10^{-6}$ G are received.

ЛИТЕРАТУРА

- A. A. Ruzmatkin, D. D. Sokoloff, A. H. Shukarov, Astron. and Astrophys., 148, 335, 1985.
- 2. T. Sawa, M. Fujimoto, Publ. Astron. Soc. Jap., 38, 133, 1986.
- 3. J. P. Vallee, J. Roy. Astron. Soc. Can., 78, 57, 1984.
- 4. J. P. Vallee, N. W. Broten, J. M. Maclood, Astron. and Astrophys., 134, 199, 1984.
- 5. J. Sojue, M. Fujimoto, Astrophys. J., 265, 722, 1983.
- 6. H. Tabira, M. Inoue, Astron. and Astrophys. Suppl. Ser., 39, 379, 1980.
- 7. J. P. Valles, Astron. and Astrophys., 124, 147, 1983.
- 8. Р. Р. Андреасин, А. Н. Макаров, Аспрон. циркуляр, No 1500, 2, 1987.
- 9. Р. Р. Андреасян, А. Н. Макаров, Астрофизика, 28, 419, 1988.
- 10. P. A. Hamilton, A. G. Lyne, Mon. Notic. Roy. Astron. Soc., 224, 1073, 1987.
- 11. Р. Н. Манчестер, Дж. Тейлор, Пульсары, Мир, М., 1980.
- 12. Y. M. Georgelin, Y. P. Georgelin, Astron. and Astrophys., 49, 57, 1976.
- 13. Р. Р. Андреасян, Астрофизяка, 24, 363, 1986.
- А. С. Чеботарев, Способ наименьших квадратов с основами теории вероятностей, М., 1958.
- 15. R. N. Manchester, Astrophys. J., 172, 43, 1972.
- 16. R. N. Manchester, Astrophys. J., 188, 637, 1974.
- 17. A. A. Ruzmaukin, D. D. Sokoloff, Astrophys. and Space Sci., 52, 375, 1977.
- 18. Р. Р. Андреасян, Астрофизика, 16, 707, 1980.
- 19. Т. А. Т. Спулстра, Успехи физ. ваук, 121, 679, 1977.
- 20. M. Simard-Normandia, P. P. Kronberg, Astrophys. J., 242, 74, 1980.
- 21. R. Hanburg Brown, R. D. Davies, G. Hazard, Observatory, 80, 1960.
- 22. Р. Р. Андреасян, А. Н. Макаров, Астрон. циркуляр, № 1527, 1, 1988.
- Е. И. Пустыльник, Статистические методы анализа и обработми неблюдений, Наужа, М., 1968.
- 24. J. P. Vallee, Astron. and Astrophys., 136, 373, 1984.

АСТРОФИЗИКА

TOM 30

ФЕВРАЛЬ, 1989

выпуск 1

УДК: 524—52

СТАЦИОНАРНЫЕ ВОЛНЫ ИНДУЦИРОВАННОГО ЗВЕЗДООБРАЗОВАНИЯ

В. И. КОРЧАГИН, В. А. КРОЛЬ, А. Д. РЯБЦЕВ Поступила 8 декабря 1987 Принята к печати 19 января 1988

Рассмотрене модель распространяющегося звездообразования в межзвездной ореде, состоящей из отдельных облаков, которые под валинием ранее возникших звезд становятся центрами последующего звездообразования. Модель описывается системой интегро-дифференциальных уравнений, в которых учтены эффекты запаздывания и баланс массы. Получено аналитическое решение уравнений, описывающее стационарную волну звездообразования.

1. Введение. Данные наблюдений, а также бурное развитие теоретических представлений о физических условиях в сбластях звездообразования приводят ко все большему пониманию того, что многие крупномасштабные явления в галактиках определяются закономерностями процесса рождения звезд. Природа вспышек звездообразования [1, 2], воли звездообразования [3, 4] в звездообразующих комплексах, спиральных ветвей в флоккулентных спиральных галактиках, возможно, и глобальных спиральных ветвей в некоторых галактиках [1, 4, 5] теснейшим образом связана с вффектами процесса рождения звезд.

Глобальная роль звездообразования в галактиках в значительной стслени обусловлена его самораспространяющимся характером. В настоящее время триггерный характер звездообразования находит все большее число наблюдательных подтверждений. Например, наблюдения показывают, что массивные ОВ-звезды рождаются не независимо, а группами. Наиболее мелкой «единицей» такого коррелированного звездообразования являются звездные ассоциации [6], входящие в состав гигантских звездообразующих комплексов [7]. Подтверждением существования индуцированного рождения звезд служит тот факт, что во многих ближайших ассоциациях звездное население разделено на подгруппы с различным возрастом. Первые доказательства наличия последовательности возрастов звезд в ассоциациях представлены в работе Блаау [8]. В дальнейшем в Галактике был исследован ряд областей с признаками последовательного рождения звезд [4]. Примером такой области может служить комплекс S 156, S 157,

S 158, S 159, в котором зоны Н II и инфракрасные источники вытянуты от более провволюционировавших на одном конце к более молодым и компактным на другом [2]. Распространение звездообразования наблюдается также в звездообразующем комплексе W 51 в рукаве Стрельца [9].

Свидетельства индуцированного самораспространяющегося ввездообравования имеются и в других галактиках. В неправильных галактиках, например, в распределении областей Н II одинакового возраста прослеживаются одномерные структуры типа цепочек [10]. Активное ввездообравование попеременно охватывает различные области в галактиках, по образному сравнению Хантера и Галлахера [10] ввездообразование «пузырится» в них подобно кипящей на плите овсяной каше.

Большое Магеленово Облако — одна из наиболее исследованных галантик, в готорых видны области распространяющегося звездообразования. Сейчас в ЕМО известно 9 таких областей, покрывающих 12—15% общ й поверхности галактики и имеющих линейные размеры 0.5÷2.0 кпк [11, 12]. Характерные свойства таких структур прослеживаются на примере комплекса LMC 4 [11]. В состав LMC 4 входит «ожерелье» из зон Н ІІ диаметром 1.4 кпк, очерченное по внешней кромке оболочкой нейтрального водорода. Скорость расширения оболочки 36 км с⁻¹. Детальное изучение звездного населения скопления Shapley III, связанного с областью LMC 4, свидетельствует о том, что звездообразование в этой области БМО началось приблизительно 15 млн. лет назад и распространяется с постоянной скоростью ~ 36 км с⁻¹. Таким образом, скопление Shapley III демонстрирует яркий пример волны самораспространяющегося звездообразования.

К распространению звездообразования могут приводить различные механизмы воздействия звезд на межзвездную среду. Ударные волны от вспышек сверхновых [13—16], ионизационные фронты расширяющихся зон Н II [3], звездный ветер от массивных ОВ-звезд [3], красных тигантов [16], а также молодых звезд типа Т Тельца [17] могут инициировать последующее рождение звезд.

Численный вксперимент — один из возможных путей теоретического исследования индуцированного звездообразования [1, 5, 18]. В основу численных вкспериментов положен механизм распространения звездообразования, который связан с нелокальным воздействием звезд на облака и в котором природа нелокальности этого воздействия не обусловлена диффузией звезд или облаков. Указанный механизм (см. [1, 5]) имеет сходство с процессом распространения лесного пожара, котда горящее дерево зажигает деревья в некотором радиусе вокруг себя. На наш вэгляд, втот процесс отражает основные черты индуцированного звездообразования в резльных системах. В настоящей работе согласно такой аналогии предлагается модель «макроскопического» описания распространяющегося звездо-

образования, в которой учитывается нелокальный паражтер влияния звезд на межввездную среду, а также баланс массы и неигнозенность протекания процессов в системе. В рамках этой модели получены нетривигльные пространственные структуры простейшего вида — стационарные одномерные волны звездообразования.

2. Основные уравнения. Рассмотрим индуцированное звездообразование в межэвездной среде, состоящей из отдельных уплотнений или облаков, которые под воздействием звезд становятся центрами последующего звездообразования. Система, таким образом, язляется бесстолкновительной и передача влияния осуществляется не за счет меканического переноса звезд или облаков, а за счет нелокального воздействия звезд на облака. Облако, подвергшееся воздействию достаточно близкой звезды, порождает новые звезды спустя время Т после этого воздействия. Темп прироста плотности звезд в некоторой точке с радпусом-вектором г, обусловленный

триггерным влиянием уже имеющихся звезд, опишем следующим образом:

$$a \cdot c(\vec{r}, t-T) \cdot \int d\vec{r}' \cdot f(\vec{r}-\vec{r}') \cdot s(\vec{r}', t-T).$$
 (1)

Это выражение описывает скорость прироста плотности молодых звезд s из облаков c, подвергшихся влиянию звезд в прошлом, причем звезды могут эффективно элиять на процесс рождения новых звезд только в некоторой своей окрестности. Этот фактор учитывается зведением функции «влияния» f(r-r'), которая отлична от нуля при малых значениях некоторого радиуса злияния L. Поэтому, в отличие от предыдущих подходов, процесс рождения звезд, описываемый выражением (1), носит нелокальный характер. Нелокальность процесса отрожает, на наш взгляд, основные черты механизма индуцированного звездообразования в реальных системах.

Выражение (1) справедливо, если время передачи влияния много меньше времени образования звезд из облака.

В дальнейшем будем рассматривать одномерную задачу распространения звездообразования в среде, все карактеристики которой являются функциями только одной координаты. Учтем также конечность времени жизни звезд. Тогда уравнения баланса массы в звездно-облачной системе запишутся в виде:

$$\frac{\partial s(x, t)}{\partial t} = -r \cdot s(x, t) + a \cdot c(x, t - T) \cdot \int dx' \cdot f(x - x') s(x', t - T);$$

$$\frac{\partial c(x, t)}{\partial t} = -a \cdot c(x, t) \cdot \int dx' \cdot f(x - x') \cdot s(x', t).$$
(2)

В первом уразнении системы (2) член — -rs(x, t) описывает убыль ввезд. Второе уразнение описывает темп убыли плотности облачного компонента вследствие взаимодействия со звездами.

3. Уединенный импульс звсядообразования. Будем искать решение з виде стационарной волны, бегущей вдоль оси х в положительном направлении. т. е. решение, зависящее только от комбинации $x-ut=\xi$. Выберем функцию влияния в виде

$$f(x) = \frac{1}{2L} \Theta(L - |x|), \tag{3}$$

эдесь L — характерный масштаб влияния звезд, Θ — функция Хевисайда. Тогда в системе отсчета, движущейся вместе с волной, уравнения (2) можно записать следующим образом:

$$-u\frac{\partial s}{\partial \xi} = -rs(\xi) + \alpha \cdot c(\xi + uT) \cdot \int_{\xi + uT - L}^{\xi + uT + L} \frac{d\xi'}{2L} \cdot s(\xi');$$

$$-u\frac{\partial c}{\partial \xi} = -\alpha \cdot c(\xi) \cdot \int_{\xi - L}^{\xi + L} \frac{d\hat{\xi}'}{2L} \cdot s(\xi').$$
(4)

Рассмотрим процесс распространения звездообразования в среде с постоянной плотностью облачного компонента c_0 . Перейдем в уравнениях (4) к безразмерным величинам, принимая за единицу дляны L, единицу времени T, единицу плотности c_0 . В результате система уравнений (4) принимает вид

$$-u\frac{\partial s}{\partial \xi} = -xs + \frac{1}{2} \alpha \cdot c (\xi + u) \cdot \int_{\xi + \alpha - 1}^{\xi + \alpha + 1} d\xi' \cdot s (\xi');$$

$$-u\frac{\partial c}{\partial \xi} = -\frac{1}{2} \alpha \cdot c (\xi) \cdot \int_{\xi - 1}^{\xi + 1} d\xi' \cdot s (\xi').$$
(5)

Здесь введены параметры x=rT, $\alpha=\alpha\cdot c_0T$, u — безразмерная скорость в единицах L/T.

Систему уравнений (5) можно свести к одному уразнению, ясключив плотность облаков с помощью соотношения

$$c(\xi+u)=1-s(\xi)-\frac{u}{u}\int_{\xi}^{\infty}d\xi'\cdot s(\xi'). \tag{6}$$

Подставляя (6) в первое уравнение системы (5), получим:

$$\frac{\partial s}{\partial \xi} = \frac{\varkappa}{u} s(\xi) - \frac{\alpha}{2u} \left\{ 1 - s(\xi) - \frac{\varkappa}{u} \int_{\xi} d\xi' s(\xi') \right\} \cdot \int_{\xi-1+u}^{\xi+1+u} d\xi' \cdot s(\xi'). \tag{7}$$

Введем функцию $\varphi(\xi)$:

$$\varphi(\xi) = -\int_{\xi}^{\infty} d\xi' \cdot s(\xi'), \qquad (8)$$

так что $s(\xi) = p'(\xi)$.

Тогда уравнение (7) можно записать таким образом:

$$\varphi''(\xi) = \frac{x}{u} \varphi' - \frac{\alpha}{2u} \left(1 - \varphi' + \frac{x}{u} \varphi \right) \cdot \{ \varphi(\xi + 1 + u) - \varphi(\xi - 1 + u) \}. \tag{9}$$

Пусть решение имеет вид уединенной волны ввездообразования с граничными условиями:

$$s(+\infty) = \varphi'(+\infty) = 0;$$

$$s(-\infty) = \varphi'(-\infty) = 0.$$
(10)

Граничные условия (10) означают отсутствие звезд перед фронтом волны звездообравования и далеко за фронтом, где время, истекшее после прохождения волны, значительно превышает время жизни звезд. Из определения тремента следует, что

$$\varphi(+\infty) = 0; \quad \varphi(\xi) \leqslant 0. \tag{11}$$

Будем искать плавно меняющееся решение малой амплитуды. Из уравнения (9), разложив правую часть и сохранив производные до второго порядка в линейном члене и до первого порядка в нелинейности, получим:

$$\varphi''(\xi) = \frac{x}{u} \varphi'(\xi) - \frac{\alpha}{u} [\varphi'(\xi) + u\varphi''(\xi)] - \frac{\alpha x}{2u^2} (\varphi^2(\xi))'. \tag{12}$$

Выполняя интегрирование в (12) с учетом граничных условий (10), приходим к нелинейному уравнению первого порядка:

$$(1+\alpha)\varphi'=\frac{x-\alpha}{u}\varphi-\frac{\alpha x}{2u^2}\varphi^2. \tag{13}$$

Решение уравнения (13), удовлетворяющее условиям (10), (11) при $\alpha > x$, имеет вид:

$$\varphi(\xi) = u \frac{\alpha - x}{\alpha x} \cdot \left\{ \operatorname{th} \left[\frac{\alpha - x}{2(1+\alpha)} \cdot \frac{\xi}{u} \right] - 1 \right\}. \tag{14}$$

Для плотности звезд S (ξ) получим соответственно:

$$s(\xi) = \frac{(\alpha - x)^2}{2x(1 + \alpha)x} \cdot \frac{1}{\cosh^2\left[\frac{\alpha - x}{2(1 + \alpha)} \cdot \frac{\xi}{u}\right]}.$$
 (15)

Формула (15) описывает уединенную бегущую волну звездообразования (см. рис. 1), возникающую в среде, если плотность облачного компонента c_0 и величина коэффициента a таковы, что темп индуцированного рождения звезд $(ac_0)^{-1}$ превышает критическое значение. Отметим, что решение (15) справедливо в случае, если $(a-x)^2/2a(1+a) \times \ll 1$. В частности, это условие выполняется в слабонадкритическом случае, т. е. когда $(a-x) \ll 1$.

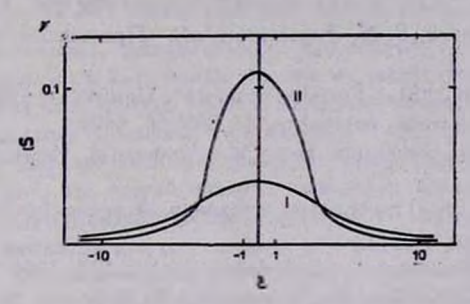


Рис. 1. Вид функции s (ξ/u): кривая I соответствует набору параметров u=1, u=1.5, u=1, u=1,

4. Сравнение с наблюдениями. Оценим параметры теории по данным о рождении подгрупп в ОВ-ассоциациях [3]. Оценку величины $(ac_0)^{-1}$ дает наблюдаемое время рождения подгруппы $\sim 3\cdot 10^6$ лет. Считая, что время эволюции протозвезды T того же порядка, найдем, что параметр $\alpha \sim 1$. Если принять время жизни массивной звезды $1/r \approx 10^7$ лет, то тогда x = 0.3. Значения безразмерных параметров α и x позволяют оценить наблюдаемую величину — ширину фронта волны звездообразования. При $u \sim 1$ ширина фронта $\sim 10L$, что при $L \sim 10$ пк по порядку величины совпадает с данными по LMC4-комплексу [11].

НИИ физики Ростовского государственного университета Ивститут теоретической физики АН УССР

STATIONARY WAVES OF THE INDUCED STAR FORMATION

V. I. KORCHAGIN, V. A. KROL'. A. D. RYABTSEV

The model of self-propagating star formation in the interstellar medium, consisting of separate clouds which become centres of sequent star formation is considered. The set of integro-differential equations describing the balance of mass in star-cloud system is proposed. An analytical solution of these equations representing a stationary self-propagating wave of star formation is obtained.

ЛИТЕРАТУРА

- 1. P. E. Seiden, L. Schulman, J. V. Feitzinger, Astrophys. J., 253, 91, 1982.
- 2. G. Bodifee, C. de Loore, Astron. and Astrophys., 142, 297, 1985.
- 3. Ч. Дж. Лада, Л. Блиту, Б. Ж. Элмегрин, в сб.: «Протоввовды в планеты», Мир, М., 1982.
- 4. B. G. Elmegreen, In. "Star Forming Regions", Dordrecht, 1987.
- 5. P. E. Seiden, H. Gerola, Astrophys. J., 233, 56, 1979.
- В. А. Амбарцумян, Эволюция звезд и астрофизика, Ив-во АН Арм.ССР, Еревея. 1947.
- Ю. Н. Ефремов, в сб. «Итоги науки и техники, Аспрономия», т. 27, ВИНИТИ АН СССР, М., 1985.
- 8. A. Blaauw, Ann. Rev. Astron. and Astrophys., 2, 213, 1964.
- J. F. Lightfoot, W. Cudlip, D. Furniss, W. M. Gencross, R. E. Jennings, K. J. King, G. Poulter, Mon. Notic. Roy. Astron. Soc., 205, 653, 1983.
- 10. D. A. Hunter, J. S. Gallagher III, Publ. Astron. Soc. Pecif., 98, 5, 1986.
- 11. M. A. Dopita, D. S. Mathewson, V. L. Ford, Astrophys. J., 297, 599, 1985.
- J. Meaburn, A. P. Marston, R. X. McGee, L. M. Newton, Mon. Natic. Roy. Astron. Soc., 225, 591, 1987.
- 13. P. R. Woodward, Astrophys. J., 207, 484, 1976.
- 14. J. Krebs, W. Hillebrandt, Astron. and Astrophys., 128, 411, 1983.
- 15. C. F. McKee, D. J. Hollenbach, Ann. Rev. Astron. and Astrophys., 18, 219, 1980-
- 16. A. G. W. Cameron, Icarus, 60, 416, 1984.
- 17. C. Norman, J. Silk, Astrophys. J., 238, 158, 1980.
- 18. W. Roberts, M. Hausman, Astrophys. J., 277, 744. 1984.

АСТРОФИЗИКА

TOM 30

ФЕВРАЛЬ, 1989

выпуск 1

УДК: 524.4:521.19:517.537.6

ПРОБЛЕМА ДИРИХЛЕ В ЗВЕЗДНОЙ ДИНАМИКЕ. 111. ДВИЖЕНИЕ БЕССТОЛКНОВИТЕЛЬНЫХ ЭЛЛИПСОИДОВ. В ФАЗОВОМ ПРОСТРАНСТВЕ

Б. П. КОНДРАТЬЕВ Поступила 15 декабря 1987 Принята к печати 13 июля 1988

Сделан анализ некоторых принципельных трудностей, вонижающих в проблеме при переходе к стационарным состояним. Группа из шести уравнений, определяющих зависимость от времени компонентов тензора двеперсии сморостей, объединена в одно линейное дифференциальное уравнение для матрицы втого тенвора. С его помощью выведено специальное дифференциальное уравнение для определятеля матрицы дисперсии скоростей. Докавано, что третий фазовый инвариант является интегралом только дакного уравнения. В шестимерном фазовом простращетве рассматриваются тенворный вллипсонд матрицы моментов второго порядка и обратный ему, названный фазовым вллипсондом модели. Фазовый вллипсонд стационарной модель имеет физический смысл только в вырогиденном пятимерном состоянии. Указанное вырождение приводит к особой прямой и к сохращению у моделей числа своболных параметров с трех до двух.

1. Введение. Развитый в работах [1—3] новый подход к исследованию движения, равновесия и устойчивости однородного гравитирующего бесстолкновительного волипсоида пока не привел к логически удовлетворительной теории равновесных конфигураций. Напомним, что в общем случае движение однородного нестационарного волипсоида вписывается вамкнутой системой из пятнадцати временных автономных дифференцигольных уравнений. Девять из них выводятся с помощью первого и второго моментных уравнений от кинетического уравнения Больцмана; эту группу можно представить здесь тремя уравнениями:

$$a_{1} - a_{1} (\lambda_{2}^{2} + \lambda_{3}^{2} + \Omega_{2}^{2} + \Omega_{3}^{2}) + 2 (a_{3}^{2})_{2} \Omega_{2} + a_{2}^{2} \lambda_{3} \Omega_{3}) + 2A_{1}a_{1} - \frac{2\sigma_{11}^{0}}{a_{1}} = 0, \quad (1)$$

$$2 \frac{d}{dt} (a_{1}\lambda_{3} - a_{2}\Omega_{3}) - a_{1}\lambda_{3} + a_{2}\Omega_{3} + a_{1}\lambda_{1}\lambda_{2} + a_{2}\Omega_{1}\Omega_{2} - 2a_{2}\lambda_{1}\Omega_{2} - \frac{2\sigma_{12}^{0}}{a_{2}} = 0, \quad (2)$$

$$2 \frac{d}{dt} (a_{3}\Omega_{2} - a_{1}\lambda_{2}) - a_{3}\Omega_{2} + a_{1}\lambda_{1}\lambda_{2} + a_{1}\lambda_{1}\lambda_{3} + a_{3}\Omega_{1}\Omega_{3} - 2a_{2}\lambda_{1}\Omega_{3} - \frac{2\sigma_{13}^{0}}{a_{3}} = 0, \quad (3)$$

так как остальные восстанавливаются из данных круговой перестановкой индексов. Вторая группа из шести уравнений описывает поведение компонентов дисперсии скоростей. Эти уравнения получены с помощью моментного уравнения третьего порядка при необходимом условии равенства нулю всех моментов третьего порядка от фазовой плотности. Всю группу здесь целесообразно выписать полностью:

$$\begin{split} & \dot{\sigma}_{11}^{0} + 2 \left[\frac{\dot{a}_{1}}{a_{1}} \sigma_{11}^{0} + \left(\frac{a_{1}}{a_{2}} \lambda_{3} - 2\Omega_{3} \right) \sigma_{12}^{0} + \left(-\frac{a_{1}}{a_{3}} \lambda_{2} + 2\Omega_{2} \right) \sigma_{13}^{0} \right] = 0, \\ & \dot{\sigma}_{22}^{0} + 2 \left[\frac{\dot{a}_{2}}{a_{2}} \sigma_{22}^{0} + \left(-\frac{a_{2}}{a_{1}} \lambda_{3} + 2\Omega_{3} \right) \sigma_{12}^{0} + \left(\frac{a_{2}}{a_{3}} \lambda_{1} - 2\Omega_{1} \right) \sigma_{23}^{0} \right] = 0, \\ & \dot{\sigma}_{33}^{0} + 2 \left[\frac{\dot{a}_{3}}{a_{3}} \sigma_{33}^{0} + \left(-\frac{a_{3}}{a_{2}} \lambda_{1} + 2\Omega_{1} \right) \sigma_{23}^{0} + \left(\frac{a_{3}}{a_{1}} \lambda_{2} - 2\Omega_{2} \right) \sigma_{13}^{0} \right] = 0; \end{split}$$

$$\begin{split} \dot{\sigma}_{12}^{0} + \left(\frac{\dot{\alpha}_{1}}{a_{1}} + \frac{\dot{\alpha}_{2}}{a_{2}}\right) \sigma_{12}^{0} + \left(-\frac{a_{2}}{a_{1}}\lambda_{3} + 2\Omega_{3}\right) \sigma_{11}^{0} + \left(\frac{a_{1}}{a_{2}}\lambda_{3} - 2\Omega_{3}\right) \sigma_{22}^{0} + \\ & + \left(-\frac{a_{1}}{a_{3}}\lambda_{2} + 2\Omega_{2}\right) \sigma_{23}^{0} + \left(\frac{a_{2}}{a_{3}}\lambda_{1} - 2\Omega_{1}\right) \sigma_{13}^{0} = 0, \\ \dot{\sigma}_{23}^{0} + \left(\frac{\dot{\alpha}_{2}}{a_{2}} + \frac{\dot{\alpha}_{3}}{a_{3}}\right) \sigma_{23}^{0} + \left(-\frac{a_{3}}{a_{2}}\lambda_{1} + 2\Omega_{1}\right) \sigma_{22}^{0} + \left(\frac{a_{2}}{a_{3}}\lambda_{1} - 2\Omega_{1}\right) \sigma_{33}^{0} + \\ & + \left(\frac{a_{3}}{a_{1}}\lambda_{2} - 2\Omega_{2}\right) \sigma_{12}^{0} + \left(-\frac{a_{2}}{a_{1}}\lambda_{3} + 2\Omega_{3}\right) \sigma_{13}^{0} = 0, \end{split}$$
(5) $\ddot{\sigma}_{13}^{0} + \left(\frac{\dot{\alpha}_{1}}{a_{1}} + \frac{\dot{\alpha}_{3}}{a_{3}}\right) \sigma_{13}^{0} + \left(\frac{a_{3}}{a_{1}}\lambda_{2} - 2\Omega_{2}\right) \sigma_{11}^{0} + \left(-\frac{a_{1}}{a_{3}}\lambda_{2} + 2\Omega_{2}\right) \sigma_{33}^{0} + \\ & + \left(\frac{a_{1}}{a_{2}}\lambda_{3} - 2\Omega_{3}\right) \sigma_{23}^{0} + \left(-\frac{a_{3}}{a_{2}}\lambda_{1} + 2\Omega_{1}\right) \sigma_{12}^{0} = 0. \end{split}$

При переходе к стационарным моделям производные в (1)—(5) исчевают и векторы Ω и λ могут протыкать фитуру эллипсоида только в тех геометрических местах, которые образованы главными сечениями. Поэтому у стационарного (как жидкого, так и бесстолкновительного!) эллипсоида с наклонным относительно главных осей положением вектора Ω одна пара компонентов (Ω_i , λ_i) должна быть равна нулю. В случае эллипсоида, вращающегося вокруг оси симметрии, две пары данных компонентов равны нулю. От (1)—(5) остается семь (четыре) уравнений равновесия, соответственно для десяти (семи) неизвестных, так что эллипсоидальные модели, согласно этой логике, должны располагать тремя свободными параметрами.

Но, как известно из статей [4] и [5], при кинетическом методе построения аналогичных бесстолкновительных эллипсоидов модели имеют не три, а два свободных параметра. Этот факт указывает на необходимость серьезного анализа вопроса о числе свободных параметров.

При построении моделей кинетическим способом контроль физической разумности полученных решений прост: неотрицательность фазовой функции. Как установил Хантер [6], именно этот критерий накладывает на эллипсоид Фримана [4] дополнительное ограничение*

$$Q^2 = 2A, \tag{6}$$

 $(a_3$ —ось вращения, $a_1 \geqslant a_2$). В модели с условием (6) сила тяготения вдоль оси a_1 полностью уравновешена центробежной силой; в конечном итоге это и делает модель двухпараметрической. Подобные же проблемы пришлось решать автору этой статьи при создании весьма непростой модели эллипсоида с наклонным вращением [5]. Физическая разумность этой модели обеспечивалась введением в нее так называемой особой прямой. В каждой точке особой прямой существует стротий баланс между гравитационной и центробежной силами, для чего должно выполняться условие

$$\frac{Q_2^2}{2A_3} + \frac{Q_3^2}{2A_2} = 1. ag{7}$$

Введение особой прямой также приводит к двухпараметрической модели.

Уменьшение числа параметров моделей с жинетической точки эрения напрямую связано с глубокими ограничениями на фазовую плотность**. Игнорирование этого условия и проявило себя в статье [2], где особая прямая была введена не согласно логике исходных уравнений (1)—(5), а только по аналогии, учитывая опыт введения этой прямой в статье [5]. Ясно, что полная гидродинамическая теория в подобных ad hoc подпорках не должна нуждаться.

В данной статье произведен строгий анализ уравнений (1)—(5) и логическая незавершенность теории в применении ее к стационарным фигурам устранена. В разделе 4 уравнения (4)—(5) представлены в предельно краткой изящной форме линейного дифференциального матричного уравнения, что позволит в разделе 5 доказать одно замечательное равенство для определителя матрицы тензора дисперсии скоростей. В результате выясняется, что из трех фазовых инвариантов бесстолкновительного эллипсоида один является особым, так как он оказывается интегралом не всей системы (1)—(5), а лишь шести уравнений (4)—(5). Именно осо-

^{*} Сам Фриман никак не аргументировал введенного им условия (6).

^{**} Это относится только к эллипсондам. Двумерные модели в особой прямой не нуждаются.

бый характер третьего фазового инварианта позволяет, как мы увидим далее, обратиться ему в нуль без дополнительного требования уменьшенця числа независимых уравнений равновесия. В разделе 6 нестационарная модель представлена вллипсоидом в шестимерном фазовом пространстве. В разделе 7 докавано, что при переходе к стационарным состояниям шестимерный фазовый эллипсоид вырождается в пятимерный, что и делает модели двухпараметрическими. Как и следовало ожидать, фазовое вырождение прямо связано с появлением в эллипсоядах особой прямой.

2. О вырожденности тенвора дисперсии скоростей в кинетических моделях с особой прямой. Существование в бесстолкновительных влаипсоцдах особой прямой сопряжено с вырождением матрицы тензора дисперсии скоростей: влаипсоид дисперсии скоростей вырождается в плоский влаипс. Элаипс втот расположен нормально к особой прямой. Это важное свойство доказано в статьях [4, 5]. Так, в модели [4] при условии (6) обращается в шуль компонент дисперсии от, в модели с наклонным вращением [5] при условии (7) выполняется

$$\begin{vmatrix} \frac{\sigma_{22}^0 \sigma_{23}^0}{\sigma_{23}^0 \sigma_{23}^0} \end{vmatrix} = 0. \tag{8}$$

В последней статье также доказано, что одновременно с введением в модель особой прямой для частиц будет существовать линейный по скоростям и координатам интеграл движения,

$$x_1 + \frac{\Omega_3}{4A_2} x_2 - \frac{\Omega_2}{4A_3} x_3 = 0. {9}$$

3. Уравнение для матрицы тенвора дисперсии скоростей. Вернемся в нестационарным уравнениям (4)—(5) и запишем симметрическую матриду тенвора дисперсии скоростей

$$\sigma^{0} = \begin{pmatrix} \sigma_{11}^{0} & \sigma_{12}^{0} & \sigma_{13}^{0} \\ \sigma_{12}^{0} & \sigma_{22}^{0} & \sigma_{23}^{0} \\ \sigma_{13}^{0} & \sigma_{23}^{0} & \sigma_{33}^{0} \end{pmatrix}. \tag{10}$$

Вводим также вспомогательную матрицу вида

$$H = \begin{pmatrix} -\frac{a_1}{a_1} & \frac{a_2}{a_1} \lambda_3 - 2\Omega_3 & -\frac{a_3}{a_1} \lambda_2 + 2\Omega_2 \\ -\frac{a_1}{a_2} \lambda_3 + 2\Omega_3 & -\frac{a_2}{a_2} & \frac{a_3}{a_2} \lambda_1 - 2\Omega_1 \\ \frac{a_1}{a_3} \lambda_2 - 2\Omega_2 & -\frac{a_3}{a_3} \lambda_1 + 2\Omega_1 & -\frac{a_3}{a_3} \end{pmatrix}. \tag{11}$$

Тогда все шесть довольно громовдиях уравнений (4)—(5) можно представить в изящной форме линейного дифференциального уравнения для матрицы (10)

$$\frac{d\sigma^0}{dt} = \sigma^0 H + H'\sigma^0. \tag{12}$$

В правой части этого уравнения два произведения введенных матрица (произведения не коммутативны), где H'— транспонированная матрица H. Всегда, когда возможна матричная запись дифферонциальных уравнений, это говорит о присущей им внутренней симметрии и позволяет влементарным способом получить важные выводы. Убедимся в этом.

4. Интеграл матричного уравнения.

Теорема 1. При условиях, когда матрица о удовлетворяет линейному дифференциальному уравнению (12), определитель втой матрицы о | будет удовлетворять уравнению

$$\frac{d}{di}|\sigma^0| = -2\left(\frac{a_1}{a_1} + \frac{a_2}{a_2} + \frac{a_3}{a_3}\right) \cdot |\sigma^0|. \tag{13}$$

Докавательство. Очевидно,

$$\frac{d}{dt} |\sigma^{0}| = \begin{vmatrix}
\frac{1}{\sigma_{11}^{0}} & \frac{1}{\sigma_{12}^{0}} & \frac{1}{\sigma_{13}^{0}} & \frac{1}{\sigma_{$$

В определители вместо производных об будем подставлять соответствующие им из (12) выражения. В силу того, что правая часть (12) состоит из суммы двух произведений матриц, нам будет удобно учитывать вклад каждого из них отдельно.

Сравнительно просто оценить вклад от произведения $H'\sigma^0$, где

$$c_{ij} = H' \sigma^0 = H'_{ik} \sigma^0_{kj} = H_{ki} \sigma^0_{kj}. \tag{15}$$

Подставляя выражения c_{1J} из (15) в первую строку определителя из (14) на место производных \dot{c}_{1J}^0 , находим

$$\begin{vmatrix} H_{11}\sigma_{11}^{0} + H_{21}\sigma_{12}^{0} + H_{31}\sigma_{13}^{0} & H_{11}\sigma_{12}^{0} + H_{21}\sigma_{22}^{0} + H_{31}\sigma_{23}^{0} & H_{11}\sigma_{13}^{0} + H_{21}\sigma_{23}^{0} + H_{31}\sigma_{33}^{0} \\ \sigma_{12}^{0} & \sigma_{22}^{0} & \sigma_{23}^{0} \\ \sigma_{13}^{0} & \sigma_{23}^{0} & \sigma_{33}^{0} \end{vmatrix} =$$

180

$$= H_{11} \cdot \left| \begin{array}{c} \sigma_{11}^{0} \sigma_{12}^{0} \sigma_{13}^{0} \\ \sigma_{12}^{0} \sigma_{22}^{0} \sigma_{23}^{0} \\ \sigma_{13}^{0} \sigma_{23}^{0} \sigma_{23}^{0} \end{array} \right|.$$

Аналогично находим второй и третий определители в правой части (14). В итоге вклад члена $H'\sigma_0$ оказывается равным

$$(H_{11} + H_{22} + H_{33}) \cdot \begin{vmatrix} \sigma_{11}^{0} \sigma_{12}^{0} \sigma_{13}^{0} \\ \sigma_{12}^{0} \sigma_{22}^{0} \sigma_{23}^{0} \\ \sigma_{13}^{0} \sigma_{23}^{0} \sigma_{33}^{0} \end{vmatrix}$$

$$(16)$$

Сложнее найти вклад в производную (13) от другого члена $\sigma^0 H$. Рассмотрим вначале первый определитель в правой части [14]. Заменяя в нем производные σ^0_{1J} членами первой строки произведения матриц σ^0_{1J}

$$\begin{vmatrix} \sigma_{1k}^{0}H_{k1} & \sigma_{1k}^{0}H_{k2} & \sigma_{1k}^{0}H_{k3} \\ \sigma_{12}^{0} & \sigma_{22}^{0} & \sigma_{23}^{0} \\ \sigma_{13}^{0} & \sigma_{23}^{0} & \sigma_{33}^{0} \end{vmatrix} = \begin{vmatrix} \sigma_{11}^{0}H_{11} + \sigma_{12}^{0}H_{21} + \sigma_{13}^{0}H_{31} & \sigma_{12}^{0}\sigma_{13}^{0} \\ \sigma_{11}^{0}H_{12} + \sigma_{12}^{0}H_{22} + \sigma_{13}^{0}H_{32} & \sigma_{22}^{0}\sigma_{23}^{0} \\ \sigma_{11}^{0}H_{13} + \sigma_{12}^{0}H_{23} + \sigma_{13}^{0}H_{33} & \sigma_{23}^{0}\sigma_{33}^{0} \end{vmatrix} =$$

$$= \sigma_{11}^{0} \begin{vmatrix} H_{11}\sigma_{12}^{0}\sigma_{13}^{0} \\ H_{12}\sigma_{22}^{0}\sigma_{23}^{0} \\ H_{12}\sigma_{22}^{0}\sigma_{23}^{0} \end{vmatrix} + \sigma_{12}^{0} \begin{vmatrix} H_{21}\sigma_{12}^{0}\sigma_{13}^{0} \\ H_{22}\sigma_{22}^{0}\sigma_{23}^{0} \\ H_{23}\sigma_{23}^{0}\sigma_{33}^{0} \end{vmatrix} + \sigma_{13}^{0} \begin{vmatrix} H_{31}\sigma_{12}^{0}\sigma_{13}^{0} \\ H_{32}\sigma_{22}^{0}\sigma_{23}^{0} \\ H_{33}\sigma_{23}^{0}\sigma_{33}^{0} \end{vmatrix}$$

$$(17)$$

Аналогичные преобразования над другими определителями из (14) дают

$$\begin{vmatrix} \sigma_{11}^{0} & \sigma_{12}^{0} & \sigma_{13}^{0} \\ \sigma_{2k}^{0} H_{k1} & \sigma_{2k}^{0} H_{k2} & \sigma_{2k}^{0} H_{k3} \\ \sigma_{03}^{0} & \sigma_{03}^{0} & \sigma_{03}^{0} \end{vmatrix} = \sigma_{12}^{0} \begin{vmatrix} \sigma_{11}^{0} H_{11} \sigma_{13}^{0} \\ \sigma_{12}^{0} H_{12} \sigma_{23}^{0} \\ \sigma_{13}^{0} H_{13} \sigma_{33}^{0} \end{vmatrix} + \sigma_{22}^{0} \begin{vmatrix} \sigma_{11}^{0} H_{21} \sigma_{13}^{0} \\ \sigma_{12}^{0} H_{22} \sigma_{23}^{0} \\ \sigma_{13}^{0} H_{23} \sigma_{33}^{0} \end{vmatrix} + \sigma_{23}^{0} \begin{vmatrix} \sigma_{11}^{0} H_{31} \sigma_{13}^{0} \\ \sigma_{12}^{0} H_{32} \sigma_{23}^{0} \\ \sigma_{13}^{0} H_{33} \sigma_{33}^{0} \end{vmatrix};$$

$$\begin{vmatrix} \sigma_{11}^{0} & \sigma_{12}^{0} & \sigma_{13}^{0} \\ \sigma_{12}^{0} & \sigma_{22}^{0} & \sigma_{23}^{0} \\ \sigma_{3k}^{0} H_{k1} & \sigma_{3k}^{0} H_{k2} & \sigma_{3k}^{0} H_{k3} \end{vmatrix} = \sigma_{13}^{0} \begin{vmatrix} \sigma_{11}^{0} \sigma_{12}^{0} H_{11} \\ \sigma_{12}^{0} \sigma_{22}^{0} H_{12} \\ \sigma_{3k}^{0} H_{k1} & \sigma_{3k}^{0} H_{k2} & \sigma_{3k}^{0} H_{k3} \end{vmatrix} = \sigma_{13}^{0} \begin{vmatrix} \sigma_{11}^{0} \sigma_{12}^{0} H_{11} \\ \sigma_{12}^{0} \sigma_{22}^{0} H_{13} \end{vmatrix} + \sigma_{3k}^{0} H_{k2} + \sigma_{3k}^{0} H_{k3} \end{vmatrix}$$

$$(18)$$

[•] Доказано известное в теории матриц равенство Якоби.

$$+ \left. \begin{array}{c|c} \sigma_{23}^{0} & \sigma_{12}^{0} \sigma_{12}^{0} H_{21} \\ \sigma_{12}^{0} & \sigma_{22}^{0} H_{22} \\ \sigma_{13}^{0} & \sigma_{23}^{0} H_{23} \end{array} \right| + \left. \begin{array}{c|c} \sigma_{33}^{0} & \sigma_{12}^{0} H_{31} \\ \sigma_{12}^{0} & \sigma_{22}^{0} H_{32} \\ \sigma_{13}^{0} & \sigma_{23}^{0} H_{33} \end{array} \right|$$
(19)

Собирая в (17)—(19) тройки определителей с одинаковыми столбцами из коөффициентов матрицы H имеем, например:

$$= H_{11} \begin{vmatrix} \sigma_{11}^{0} \sigma_{12}^{0} \sigma_{23}^{0} \\ \sigma_{11}^{0} & \sigma_{13}^{0} \\ H_{12}\sigma_{22}^{0} \sigma_{23}^{0} \\ H_{13}\sigma_{33}^{0} & \sigma_{33}^{0} \end{vmatrix} + \begin{vmatrix} \sigma_{11}^{0} \sigma_{11}^{0} \sigma_{13}^{0} \\ H_{12}\sigma_{12}^{0} \sigma_{23}^{0} \\ H_{13}\sigma_{13}^{0} \sigma_{33}^{0} \end{vmatrix} + \begin{vmatrix} \sigma_{11}^{0} \sigma_{12}^{0} \sigma_{13}^{0} \\ H_{13}\sigma_{13}^{0} \sigma_{33}^{0} \end{vmatrix} + \begin{vmatrix} \sigma_{11}^{0} \sigma_{12}^{0} \sigma_{13}^{0} \\ H_{13}\sigma_{13}^{0} \sigma_{23}^{0} \end{vmatrix} + \begin{vmatrix} \sigma_{11}^{0} \sigma_{12}^{0} \sigma_{13}^{0} \\ \sigma_{11}^{0} \sigma_{12}^{0} \sigma_{22}^{0} \\ \sigma_{13}^{0} \sigma_{22}^{0} \sigma_{23}^{0} \end{vmatrix} + \begin{vmatrix} \sigma_{11}^{0} \sigma_{12}^{0} \sigma_{13}^{0} \\ H_{12}\sigma_{22}^{0} \sigma_{23}^{0} \\ H_{12}\sigma_{12}^{0} \sigma_{22}^{0} \end{vmatrix} + \begin{vmatrix} \sigma_{11}^{0} \sigma_{13}^{0} \sigma_{13}^{0} \\ H_{12}\sigma_{12}^{0} \sigma_{23}^{0} \end{vmatrix} + \langle \sigma_{11}^{0} \sigma_{13}^{0} \sigma_{13}^{0} \rangle + \langle \sigma_{11}^{0} \sigma_{13}^{0} \sigma_{13}^{0} \rangle + \langle \sigma_{11}^{0} \sigma_{13}^{0} \sigma_{13}^{0} \rangle + \langle \sigma_{11}^{0} \sigma_{13}^{0} \sigma_{13}^{0} \sigma_{13}^{0} \rangle + \langle \sigma_{11}^{0} \sigma_{13}^{0} \sigma_{13}^{0} \sigma_{13}^{0} \rangle + \langle \sigma_{11}^{0} \sigma_{13}^{0} \sigma_{13}^{0} \sigma_{13}^{0} \rangle + \langle \sigma_{11}^{0} \sigma_{13}^{0} \sigma_{13}^{0} \sigma_{13}^{0} \rangle + \langle \sigma_{11}^{0} \sigma_{13}^{0}$$

Определители в фигурной скобке в сумме дают нуль, так что остается только первый член $H_{11}|_{\sigma^0}|$. Аналогично, от следующей тройки определителей

$$= H_{22} \begin{vmatrix} H_{21}\sigma_{12}^{0} \sigma_{13}^{0} \\ H_{22}\sigma_{22}^{0} \sigma_{23}^{0} \\ H_{23}\sigma_{23}^{0} \sigma_{33}^{0} \end{vmatrix} + \begin{vmatrix} H_{21}\sigma_{11}^{0} \sigma_{13}^{0} \\ H_{22}\sigma_{12}^{0} \sigma_{23}^{0} \\ H_{23}\sigma_{33}^{0} \sigma_{33}^{0} \end{vmatrix} + \begin{vmatrix} \sigma_{11}^{0} \sigma_{13}^{0} \\ \sigma_{12}^{0} \sigma_{22}^{0} \\ H_{23}\sigma_{13}^{0} \sigma_{23}^{0} \end{vmatrix} + \begin{vmatrix} \sigma_{11}^{0} \sigma_{12}^{0} \\ \sigma_{12}^{0} \sigma_{22}^{0} \\ \sigma_{12}^{0} \sigma_{22}^{0} \sigma_{23}^{0} \\ H_{23}\sigma_{23}^{0} \sigma_{33}^{0} \end{vmatrix} + \begin{vmatrix} \sigma_{11}^{0} \sigma_{12}^{0} \\ \sigma_{12}^{0} \sigma_{22}^{0} \sigma_{23}^{0} \\ H_{23}\sigma_{23}^{0} \sigma_{33}^{0} \end{vmatrix} + \begin{vmatrix} \sigma_{12}^{0} \sigma_{12}^{0} \\ \sigma_{12}^{0} \sigma_{22}^{0} \sigma_{23}^{0} \\ H_{23}\sigma_{23}^{0} \sigma_{33}^{0} \end{vmatrix} + \begin{vmatrix} \sigma_{12}^{0} \sigma_{12}^{0} \\ \sigma_{12}^{0} \sigma_{22}^{0} \sigma_{23}^{0} \\ H_{23}\sigma_{23}^{0} \sigma_{33}^{0} \end{vmatrix} + \begin{vmatrix} \sigma_{12}^{0} \sigma_{12}^{0} \\ \sigma_{12}^{0} \sigma_{22}^{0} \sigma_{23}^{0} \\ H_{23}\sigma_{23}^{0} \sigma_{33}^{0} \end{vmatrix} + \begin{vmatrix} \sigma_{12}^{0} \sigma_{12}^{0} \\ \sigma_{12}^{0} \sigma_{22}^{0} \\ \sigma_{12}^{0} \sigma_{23}^{0} \\ \sigma_{13}^{0} \sigma_{23}^{0} \sigma_{33}^{0} \end{vmatrix} + \begin{vmatrix} \sigma_{11}^{0} \sigma_{12}^{0} \\ \sigma_{12}^{0} \sigma_{22}^{0} \sigma_{23}^{0} \\ H_{23}\sigma_{23}^{0} \sigma_{33}^{0} \end{vmatrix} + \begin{vmatrix} \sigma_{11}^{0} \sigma_{11}^{0} \sigma_{12}^{0} \\ \sigma_{12}^{0} \sigma_{22}^{0} \sigma_{23}^{0} \\ \sigma_{13}^{0} \sigma_{23}^{0} \sigma_{33}^{0} \end{vmatrix} + \begin{vmatrix} \sigma_{11}^{0} \sigma_{12}^{0} \\ \sigma_{12}^{0} \sigma_{22}^{0} \sigma_{23}^{0} \\ \sigma_{13}^{0} \sigma_{23}^{0} \sigma_{33}^{0} \end{vmatrix} + \begin{vmatrix} \sigma_{11}^{0} \sigma_{12}^{0} \\ \sigma_{12}^{0} \sigma_{22}^{0} \sigma_{23}^{0} \\ \sigma_{13}^{0} \sigma_{23}^{0} \sigma_{33}^{0} \end{vmatrix} + \begin{vmatrix} \sigma_{11}^{0} \sigma_{12}^{0} \\ \sigma_{12}^{0} \sigma_{22}^{0} \sigma_{23}^{0} \\ \sigma_{13}^{0} \sigma_{23}^{0} \sigma_{33}^{0} \end{vmatrix} + \begin{vmatrix} \sigma_{11}^{0} \sigma_{12}^{0} \\ \sigma_{12}^{0} \sigma_{22}^{0} \sigma_{23}^{0} \\ \sigma_{13}^{0} \sigma_{23}^{0} \sigma_{33}^{0} \end{vmatrix} + \begin{vmatrix} \sigma_{11}^{0} \sigma_{12}^{0} \\ \sigma_{12}^{0} \sigma_{12}^{0} \sigma_{23}^{0} \\ \sigma_{13}^{0} \sigma_{23}^{0} \sigma_{33}^{0} \end{vmatrix} + \begin{vmatrix} \sigma_{11}^{0} \sigma_{12}^{0} \\ \sigma_{12}^{0} \sigma_{12}^{0} \sigma_{23}^{0} \\ \sigma_{13}^{0} \sigma_{23}^{0} \sigma_{33}^{0} \end{vmatrix} + \begin{vmatrix} \sigma_{11}^{0} \sigma_{12}^{0} \\ \sigma_{12}^{0} \sigma_{12}^{0} \sigma_{23}^{0} \\ \sigma_{13}^{0} \sigma_{23}^{0} \sigma_{33}^{0} \end{vmatrix} + \begin{vmatrix} \sigma_{11}^{0} \sigma_{12}^{0} \\ \sigma_{12}^{0} \sigma_{12}^{0} \sigma_{23}^{0} \\ \sigma_{13}^{0} \sigma_{23}^{0} \sigma_{33}^{0} \end{vmatrix} + \begin{vmatrix} \sigma_{11}^{0} \sigma_{12}^{0} \\ \sigma_{13}^{0} \sigma_{12}^{0} \sigma_{23}^{0} \\ \sigma_{13}^{0} \sigma_{23}^{0} \sigma_{13}^{0} \sigma_{13}^{0} \\ \sigma_{13}^{0} \sigma_{13}^{0} \sigma_{13}^{0} \end{pmatrix} + \begin{vmatrix} \sigma_{11}^{0} \sigma_{12}^{0} \\ \sigma_{13}^{$$

сохранитоя только член $H_{22} | \sigma^0 |$. Нетрудно доказать, что три оставшихся в (17)—(19) определителя дают $H_{33} | \sigma^0 |$. Следовательно, вклад в производную $\frac{d}{dt} | \sigma^0 |$ от члена $\sigma^0 H$ оказывается равным уже известному нам выражению (16). В итоге, удванвая (16), получаем уравнение (13). Доказательство закончено.

Следствие. Уравнение (13) приводится к виду

$$\frac{d}{dt} \ln \left[(a_1 a_2 a_3)^2 | \sigma^0 | \right] = 0$$
 (22)

$$l_3 = 8\alpha_1^2 \alpha_2^2 \alpha_3^2 \begin{vmatrix} \sigma_{11}^0 \sigma_{12}^0 \sigma_{13}^0 \\ \sigma_{12}^0 \sigma_{23}^0 \sigma_{23}^0 \\ \sigma_{13}^0 \sigma_{23}^0 \sigma_{33}^0 \end{vmatrix}$$
 (23)

Таким образом, фазовый инвариант и является особым среди пяти: он оказывается интегралом не всех пятнадцати уразнений движения эллипсоида, а лишь шести уравнений (4)—(5). Этот факт будет иметь принципиальное значение при переходе в разделе 6 к стационарным состояниям.

5. Модель в фавовом пространстве. Рассмотрим шестимерное декартово фазовое пространство обычных координат x_i (i=1, 2, 3) и соответствующих им скоростей $x_i=x_{i+3}$, вектор в котором имеет вид

$$x = x(x_1, x_2, x_3, x_4, x_5, x_6).$$
 (24)

Оно имеет кососимметрическую метрику

$$g = \begin{pmatrix} 0 & E \\ -E & 0 \end{pmatrix}, \quad \text{rate} \quad E = \begin{pmatrix} 1 & 0 & 0 \\ 0 & 1 & 0 \\ 0 & 0 & 1 \end{pmatrix}. \tag{25}$$

Каждая звезда в этом пространстве представлена саоей изображающей точкой, а модель з целом — объемным континуумом таких точек.

Форма и структура рассматриваемого ансамбля точек определяется фазовой функцией модели $f(t, \mathbf{x})$. В силу того, что у моделей рассматриваемого типа все моменты третьего порядка равны нулю, т. е.

$$\int \cdots \int f x_k x_l x_m d\Gamma = 0, \quad (k, l, m = 1, ..., 6),$$
 (26)

их фазовая функция будет зависеть только от эполне определенной квадратичной формы в фазовом пространстве (см. ниже). Коэффициенты в квадратичной форме оказываются связанными со вторыми моментами типа

$$F_{ij}(t) = \frac{5}{M} \int \cdots \int f x_i x_j d\Gamma, \qquad (27)$$

где $M = \frac{4}{3} \pi a_1(t) a_2(t) a_3(t) \cdot \rho(t)$ — масса эллипсоидальной модели. Матрица (27) является симметрической вещественной матрицей шестого порядка, члены которой находим с учетом формул полной скорости частицы (x' — вектор остаточной скорости)

$$x_1 = x_1 + \frac{a_1}{a_1}x_1 + \left(\frac{a_1}{a_2}\lambda_3 - \Omega_3\right)x_2 + \left(\Omega_2 - \frac{a_1}{a_3}\lambda_2\right)x_3, \quad (28)$$

прячем остальные два компонента восстанавливаются из данной круговой перестановкой индексов. На главной диагонали расположены члены

$$F_{ii} = a_{ii}^{2} \quad (i = 1, 2, 3),$$

$$F_{ii} = 2z_{11}^{0} + a_{1}^{2} + (a_{1}\lambda_{3} - a_{2}Q_{3})^{2} + (a_{3}Q_{2} - a_{1}\lambda_{2})^{2}, \tag{29}$$

 F_{44} и F_{06} — круговой перестановкой из F_{44} .

На диагоналях, параллельных главной, находятся члены:

$$F_{12} = F_{23} = 0$$
, $F_{31} = a_3(a_3Q_2 - a_1\lambda_2)$,

$$F_{45} = 2\sigma_{12}^{0} + \alpha_{1}(\alpha_{1}\Omega_{3} - \alpha_{2}\lambda_{3}) + \alpha_{2}(\alpha_{1}\lambda_{3} - \alpha_{2}\Omega_{3}) + (\alpha_{3}\Omega_{2} - \alpha_{1}\lambda_{2})(\alpha_{2}\lambda_{1} - \alpha_{3}\Omega_{1}), (30)$$

 F_{50} — круговой перестановкой из F_{45} ;

$$F_{13} = 0$$
, $F_{24} = \alpha_2 (\alpha_1 \lambda_3 - \alpha_2 \Omega_3)$, $F_{35} = \alpha_3 (\alpha_2 \lambda_1 - \alpha_3 \Omega_1)$,

$$F_{40} = 2^{3} + \alpha_1 (\alpha_3 \lambda_2 - \alpha_1 \Omega_2) + \alpha_3 (\alpha_3 \Omega_2 - \alpha_1 \lambda_2) + (\alpha_1 \lambda_3 - \alpha_2 \Omega_3)(\alpha_2 \Omega_1 - \alpha_3 \lambda_1); (31)$$

$$F_{14} = a_1 a_1, \quad F_{25} = a_2 a_2, \quad F_{35} = a_3 a_3;$$
 (32)

$$F_{15} = a_1 (a_1 \Omega_3 - a_2 \lambda_3), \quad F_{26} = a_2 (a_2 \Omega_1 - a_3 \lambda_1);$$
 (33)

$$F_{10} = a_1 (a_3 \lambda_2 - a_1 \Omega_2). \tag{34}$$

Рассмотрим тензорный эллипсонд матрицы (27)

$$\sum_{i,j=1}^{6} F_{ij} x_i x_j = 1, \tag{35}$$

уравнение которого можно также записать скалярным произведением

$$(\vec{x}, F\vec{x}) = 1. \tag{36}$$

Объем этого эллипсоида равен

$$V = \int_{x_0}^{1} \cdots \int_{x_1}^{\infty} dx_1 \dots dx_6 = \frac{\pi^3}{3! |F|^{1/2}},$$
 (37)

тде | F | — определитель матрицы (27). Легко находим, что

$$|F| = I_3. \tag{38}$$

В общем нестационарном случае эллипсонд моментов (36) эволюционирует во времени, причем эволюция может быть представлена как ре-

вультат линейных канонических преобразований в шестимерном фазовом пространстве. Такие преобразования называются симплектическими [7]. Характер движения зависит от собственных значений матрицы (27), знание которых необходимо также для нахождения фазовых инвариантов, сохраняющихся при симплектических преобразованиях над нашей динамической системой. Обобщенная задача на собственные значения заключается в вычислении определителя характеристической матрицы (см. также [8])

$$\det (F_{ij} - \beta g_{ij}) = 0, \tag{39}$$

где матрица д из (25).

Задача на собственные значения допускает и другую формулировку. Умножая характеристическую матрицу (39) на матрицу g^{-1} и учитывая, что

$$g^{-1} = -g, (40)$$

приведем задачу к вычислению собственных значений новой матрицы

$$\Phi = g^{-1}F = -gF. \tag{41}$$

При этом собственные значения матряцы Ф находятся в пространстве с обычной евклидовой метрикой, т. е. из определителя

$$\det \left(\Phi - \beta E \right) = 0. \tag{42}$$

Испольвуя выражения (29)—(34), уравнение (39) приводим к виду [1]

$$\beta^6 + I_1 \beta^4 + I_2 \beta^2 + I_3 = 0. {43}$$

Коэффициенты этого бикубического уравнения и есть рациональные фазовые инварианты*

$$I_1 = \sum_{i=1}^{3} (2a_i^2 \circ_{ii}^0 + c_i^2), \tag{44}$$

$$I_{2} = \sum_{1, 2, 3} \left[4a_{1}^{2}a_{2}^{2} \left| \frac{\sigma_{11}^{0} \sigma_{12}^{0}}{\sigma_{12}^{0} \sigma_{22}^{0}} \right| + a_{1}^{2} \sigma_{11}^{0} c_{1}^{2} + 2a_{1}a_{2} \sigma_{12}^{0} c_{1}c_{2} \right], \tag{45}$$

а I₂ дано в (23). Величины в сами являются инвариантами, но иррациональными. Для них доказана следующая важная теорема.

^{*} В статье [1] в выражении для J_2 (формула 51) по ведоравумению выпал последний член.

Теорема 2. Собственные значения вещественной симметрической матрицы (27) в фазовом пространстве с кососимметрической метрикой (25) могут быть лишь чисто мнимыми величинами (в особых случаях—нулями).

Доказательство. Собственный вектор матрицы (27) должен удовлетворять уравнению

$$\vec{Fx} = \beta \cdot \vec{gx}$$
. (46)

Допуская существование сопряженных величин и учитывая вещественность матриц (25) и (27), получим

$$\tilde{Fx} = \tilde{\beta} \cdot gx. \tag{47}$$

В силу симметричности матрицы F имеет место

$$(\vec{x}, F\vec{x}) = (\vec{x}, F'\vec{x}) = (\vec{x}, F\vec{x}).$$
 (48)

Составим скалярные произведения

$$(\vec{x}, F\vec{x}) = (\vec{x}, \beta \cdot g\vec{x}),$$

$$(\vec{x}, F\vec{x}) = (\vec{x}, \beta \cdot g\vec{x})$$
(49)

и вычтем их одно из другого; учитывая при этом (48) и косую симметрию матрицы (25), в итоте приходим к уравнению

$$(x, gx)(\beta + \overline{\beta}) = 0. (50)$$

Следовательно,

$$\beta = -\tilde{\beta},\tag{51}$$

что и требовалось докавать.

Замечание. Фавовые инварианты I_i не могут принимать отрицательных значений. По теореме Виета для корней уравнения (43) имеем

$$\beta_1^2 + \beta_2^2 + \beta_3^2 = -I_1,$$

$$\beta_1^2 \beta_2^2 + \beta_1^2 \beta_3^2 + \beta_2^2 \beta_3^2 = I_2,$$

$$\beta_1^2 \beta_2^2 \beta_3^2 = -I_3.$$
(52):

Но в силу только что доказанного, среди величин β^2 нет положительных. так что

$$I_1 > 0, \quad I_2 > 0, \quad I_3 > 0.$$
 (53)

У нестационарных эллипсоидов с отличной от нуля дисперсией скоростей ни один из трех инвариантов нулю не равен. Второй и третий инвариант оказываются равными нулю только в случаях стационарных и нестационарных эллипсоидов без дисперсии окоростей. Для этого две пары сопряженных величин В, должны быть равны нулю. Исключительно важное значение имеет (см. следующий раздел) то, что для стационарных бесстолкновительных эллипсоидов даже с отличной от нуля дисперсией скоростей живариант 13 обращается в нуль.

Но, несмотря на всю важность эллипсоида моментов (35)—(36), уровенным будет не он и подобные ему, а семейство эллипсоидов, взаимных к ним. Уравнение эллипсоида, взаимного к (36), имеет вид

$$(x, F^{-1}x) = 1, (54)$$

где F^{-1} есть матрица, обратная (27). Именно на семействе подобных (54) вълипсоидов фазовая плотность остается постоянной, и поэтому

$$f(t, \vec{x}) = f[(\vec{x}, F_{(t)}^{-1} \vec{x})].$$
 (55)

Объем, который занимает наша модель в шестимерном фазовом пространстве, будет равен

$$V^{-1} = \int \cdots \int_{(x_{i}, F^{-1}x) < 1} dx_{1} \dots dx_{6} = \frac{3! |F|^{1/2}}{\pi^{3}},$$
 (56)

Как и следовало ожидать, этот объем обратен данному в (37).

Для вычисления уравнения фазового эллипсоида (54) требуется расжрыть окаймленный определитель

$$\begin{vmatrix} F_{11} F_{12} F_{13} F_{14} F_{15} F_{16} x_{1} \\ F_{12} F_{22} F_{23} F_{24} F_{25} F_{20} x_{2} \\ F_{13} F_{23} F_{33} F_{34} F_{35} F_{36} x_{8} \\ F_{14} F_{24} F_{84} F_{44} F_{45} F_{46} x_{4} \\ F_{15} F_{25} F_{85} F_{45} F_{55} F_{56} x_{5} \\ F_{10} F_{26} F_{30} F_{46} F_{50} F_{06} x_{0} \\ x_{1} x_{2} x_{8} x_{4} x_{5} x_{6} 1 \end{vmatrix} = 0.$$
 (57)

6. Переход к стационарным состояниям. В стационарном случае в выражениях (29)—(34) исчезнут не только производные от величин, но надо также положить (см. Введение)

$$\Omega_1 = \lambda_1 = \sigma_{12}^0 = \sigma_{13}^0 = 0. \tag{58}$$

В этих условиях уразнение граничного фазового эллипсонда (57) будет следующим:

$$Q(\mathbf{x}) = F_{11}^{-1} x_1^2 + F_{22}^{-1} x_2^2 + F_{23}^{-1} x_3^2 + F_{44}^{-1} x_4^2 + F_{55}^{-1} x_5^2 + F_{66}^{-1} x_6^2 + 2F_{23}^{-1} x_2 x_3 + 2F_{15}^{-1} x_1 x_6 + 2F_{16}^{-1} x_1 x_6 + 2F_{24}^{-1} x_2 x_4 + 2F_{34}^{-1} x_3 x_4 + 2F_{55}^{-1} x_5 x_6 = 1.$$
(59)

Ковффициенты F_{iJ}^{-1} в этом уравнении оказываются равными

$$F_{11}^{-1} = \frac{1}{a_1^2} \left(1 + \frac{\sigma_{22}^0 r_2^2 + \sigma_{33}^0 k_3^2 - 2\sigma_{23}^0 r_2 k_3}{2\Delta} \right);$$

$$F_{22}^{-1} = \frac{1}{a_2^2} \left(1 + \frac{r_3^2}{2\sigma_{11}^0} \right); \quad F_{33}^{-1} = \frac{1}{a_3^2} \left(1 + \frac{k_2^2}{2\sigma_{11}^0} \right); \quad F_{44}^{-1} = \frac{1}{2\sigma_{11}^0};$$

$$F_{55}^{-1} = \frac{\sigma_{33}^0}{2\Delta}; \quad F_{66}^{-1} = \frac{\sigma_{22}^0}{2\Delta}; \quad F_{23}^{-1} = \frac{k_2 r_3}{2\sigma_{11}^0 a_1 a_3}; \quad F_{24}^{-1} = -\frac{r_3}{2\sigma_{11}^0 a_2};$$

$$F_{34}^{-1} = -\frac{k_2}{2\sigma_{11}^0 a_3}; \quad F_{15}^{-1} = \frac{\sigma_{23}^0 r_2 - \sigma_{33}^0 k_3}{2a_1 \Delta}; \quad F_{16}^{-1} = -\frac{\sigma_{22}^0 r_2 - \sigma_{23}^0 k_3}{2a_1 \Delta};$$

$$F_{56}^{-1} = -\frac{\sigma_{53}^0}{2\Delta};$$

где для краткости обозначено

$$k_{1} = a_{3} \Omega_{2} - a_{1} \lambda_{2}, \quad k_{3} = a_{1} \Omega_{3} - a_{2} \lambda_{3}, \quad \Delta = \begin{vmatrix} 0 & 0 \\ \sigma_{22} & \sigma_{23} \\ \sigma_{23} & \sigma_{33} \end{vmatrix}$$

$$r_{1} = a_{3} \lambda_{2} - a_{1} \Omega_{2}, \quad r_{3} = a_{1} \lambda_{3} - a_{2} \Omega_{3}, \quad \Delta = \begin{vmatrix} 0 & 0 \\ \sigma_{22} & \sigma_{23} \\ \sigma_{23} & \sigma_{33} \end{vmatrix}$$
(61)

Наша эадача эаключается теперь в том, чтобы представить уравнение (59) суммой квадратов. Для начала выделим трехчлен

$$\frac{x_1^3}{a_1^2} + \frac{x_2^2}{a_2^2} + \frac{x_3^2}{a_3^2}$$

и преобразуем оставшиеся з (59) члены к сумме квадратов: имеем

$$Q(\vec{x}) = (\vec{x}, F^{-1}\vec{x}) = \frac{x_1^2}{a_1^2} + \frac{x_2^2}{a_2^2} + \frac{x_3^2}{a_3^2} + \frac{[x_1 - (r_3/a_2)x_2 - (k_2/a_3)x_3]^2}{2\sigma_{11}^0} + \frac{[x_3 - (r_2/a_1)x_1]^2}{2\sigma_{33}^0} + \frac{\sigma_{33}^0}{2\Delta} \left[\left(x_2 - \frac{k_3}{a_1} x_1 \right) - \frac{\sigma_{23}^0}{\sigma_{33}^0} \left(x_3 - \frac{r_2}{a_1} x_1 \right) \right]^2 = 1. \quad (62)$$

Однако последний и предпоследний члены нарушают, вообще говоря, требуемую гармонию выражения (62), так как в сумме эти члены дают

$$\frac{1}{2\Delta} \left\{ \sigma_{33}^{0} \left(\dot{x}_{3} - \frac{k_{3}}{a_{1}} x_{1} \right)^{2} + \sigma_{22}^{0} \left(\dot{x}_{3} - \frac{r_{2}}{a_{1}} x_{1} \right)^{2} - \right. \\
\left. - 2\sigma_{23}^{0} \left(\dot{x}_{2} - \frac{k_{3}}{a_{1}} x_{1} \right) \left(\dot{x}_{3} - \frac{r_{2}}{a_{1}} x_{1} \right) \right\} \tag{63}$$

и мы не получаем эдесь в общем случае суммы квадратов. Важно подчеркнуть, что никакими поворотами выбранной системы координат нельзя добиться исчезновения смешанных членов (или одного члена в (59). В самом деле, если пытаться поворотом осей Ox_2x_3 , где

$$x_2 = x_2 - \frac{k_3}{a_1} x_1, \quad x_3' = x_3 - \frac{r_2}{a_1} x_1$$
 (64)

— компоненты остаточной скорости звезды, избавиться в (63) от смешанного члена, это будет связано и с поворотом координатных осей $O_{x_2x_3}$, а значит приведет к появлению столь нежелательных смешанных членов в гирационном вллипсоиде нашей модели. Поэтому более обещающей является попытка представить (63) в виде произведения двух линейных множителей

$$(\sqrt{\pm \mu_2} x_2 + \sqrt{\mp \mu_3} x_3) (\sqrt{\pm \mu_2} x_2 - \sqrt{\mp \mu_3} x_3). \tag{65}$$

Здесь ра и ра - корни характеристического уравнения

$$\begin{vmatrix} \sigma_{22}^{0} - \mu & \sigma_{23}^{0} \\ \sigma_{23}^{0} & \sigma_{33}^{0} - \mu \end{vmatrix} = 0.$$
 (66)

Так как $I_8 \gg 0$ (см. формулу 53), то и $\Delta \gg 0$; следовательно,

$$\mu_2 > \mu_3 \geqslant 0. \tag{67}$$

При положительных μ_2 и μ_3 сомножители в (65) суть комплексные величины, не имеющие повтому физического смысла. Остается единственная возможность придать разложению (65) физический смысл — положить

$$\Delta = \begin{vmatrix} 3_{22}^0 & 5_{23}^G \\ 5_{23}^0 & 5_{23}^G \end{vmatrix} = 0. \tag{68}$$

При выполнении условия (68) $\mu_3 = 0$, и мнимости в (65) исчезают.

Но вернемся к выражению фазового валипсонда модели (62). В этой формуле при выполнения необходимого условия (68) нужно положить

$$\frac{\sigma_{33}^0}{\sigma_{23}^0} \left(\dot{x}_2 - \frac{k_3}{a_1} x_1 \right) - \left(\dot{x}_3 - \frac{r_2}{a_1} x_1 \right) = 0. \tag{69}$$

Дифференцируя по времени это выражение и замениз вторые производные с помощью соответствующих уравнений движения частицы (см. [5], формула 4), мы приходим к замечательным равенствам

$$tg x = \frac{\sigma_{33}^0}{\sigma_{23}^0} = \frac{\sigma_{43}}{\sigma_{23}} = \frac{\Omega_1 \Omega_3}{2A_2 - \Omega_3^2} = \frac{2A_3 - \Omega_2^2}{\Omega_2 \Omega_3} = \frac{\Omega_3 A_3}{\Omega_2 A_2},$$
 (70)

$$tg = \frac{\frac{r_2}{a_1} - 2\Omega_2}{\frac{k_3}{a_1} + 2\Omega_3}.$$
 (71)

Соотношения из (70) исчерпывающе характеризуют угол наклона ($\equiv \varkappa$) особой прямой в главной плоскости Ox_2x_3 . Эти же соотношения были получены в [5] другим способом.

Переходя к вращающейся системе координат, во всех кооффициентах из (61) следует положить $\Omega_2=\Omega_3=0$. Исключив $tg\times$ из (70) и (71), в частности получим

$$\frac{\Omega_3^2}{2A_3 - \Omega_3^2} = \frac{pa_3 - 2a_1}{2a_1 - qa_2}, \text{ rate } p = \frac{\lambda_2}{\Omega_2}, \quad q = \frac{\lambda_3}{\Omega_3}$$
 (72)

Отсюда следует еще одно соотношение

$$\eta = \frac{\Omega_3^2}{2A_2} = (2a_1 - pa_3)/(qa_2 - pa_3), \tag{73}$$

также известное для модели [5].

Итак, доказав необходимость вырождения (68) эллипсоида дисперсии скоростей в плоский эллипс, мы сразу же приходим к особой прямой. Выражение (69) есть не что иное, как линейный интеграл (9), полученный в [5] из кинетических соображений. Метод фазового эллипсоида повволяет найти все характеристики равновесных бесстолкновительных эллипсоидов. Здесь достаточно привести лишь функцию распределения. Как известно из (55), эта функция эависит только от уравнения фазового эллипсоида (62). С учетом вырождения (68) фазовый эллипсоид становится пятимерным и функция имеет вид:

$$f[Q(x)] = \frac{2V\overline{2\rho}}{\pi V \frac{\overline{\sigma_{11}^0} \sigma_{33}^0}{\sigma_{33}^0}} \delta \left[x_3 - x_2 \operatorname{tg} x - \frac{4A_3}{\Omega_2} x_1 \right] \times \\ \times \delta \left[\frac{\left(x_1 - \frac{a_1}{a_2} \lambda_3 x_2 + \frac{a_1}{a_3} \lambda_2 x_3 \right)^2}{2\sigma_{11}^0} + \frac{\left(x_2 + \frac{a_2}{a_1} \lambda_3 \right)^2}{2\sigma_{22}^0} + \frac{\left(x_3 - \frac{a_2$$

$$+\frac{\left(x_3-\frac{a_3}{a_1}\lambda_2x_1\right)^2}{2a_{33}^0}+\frac{x_1^2}{a_1^2}+\frac{x_2^2}{a_2^2}+\frac{x_3^2}{a_3^2}-1$$
 (74)

Именно такая функция приводится и в [5].

7. Эаключение. Один из главных результатов втой статы — доказательство необходимости фазового вырождения в стационарных бесстолкновительных валипсоидах с нулевыми моментами третьего порядка от функции распределения. Объектом доказательства стала модель валипсоида с наклонным вращением, которая содержит модель Фримана (с фиксированным отношением полуосей, см. [5]) в качестве частного случая. Именно повтому проведенное здесь доказательство касается более общего случая, чем случай, исследованный в [6]. Так, условие существования особой прямой (6) в модели Фримана следует из условия (7) при обращения в нуль одного из компонентов вектора угловой скорости, т. е. когда валипсоид с наклонным вращением переходит в режим вращения вокруг одной из главных осей симметрии. По своей сути наш метод гидродинамический и поотому принципиально отличен от метода Хантера.

Данная статья дополняет работы [1—3] и делает развитую в них теорию логически полной. С удовлетворением надо отметить, что одновременно устранена брешь в статье [5], где не было дано доказательства необходимости особой прямой.

Педагогический институт г. Главов

DIRICHLET'S PROBLEM IN STELLAR DYNAMICS. III. MOTION OF THE COLLISIONLESS ELLIPSOIDS IN PHASE SPACE

B. P. KONDRAT'EV

In the frame of the problem we have discussed some basic details of the transition to stationary configurations. Six equations for the components of the velocity dispersion tensor (equations of micromotion) to the linear matrix equation are reduced. Owing to the time derivative for the Edeterminant of the velocity dispersion matrix is derived. It has been proved that the third phase invariant is the integral of only that. In six-dimentional phase space our collisionless model represents an ellipsoid. The phase ellipsoid of stationary model to five-dimentional figure has been degenerated. As a result of this

degeneration the family of the equilibrium models has some special line in each point of that balance between centrifugal and gravitational forces the existing. Therefore, the stationary collisionless models have only two parameters.

ЛИТЕРАТУРА

- 1. Б. П. Кондраться, Е. А. Малков, Астрофизика, 25, 587, 1986.
- 2. Б. П. Коняратьев, Е. А. Малков, Астрофизика, 26, 511, 1987.
- 3. Б. П. Кондратьев, Е. А. Малков, Астрофизика, 27, 311, 1987.
- 4. K. C. Freeman, Mon. Notic. Roy. Astron. Soc., 134, 1, 1966.
- Б. П. Кондратьев, Астрофизика, 21, 499, 1984.
- 6. C. Hunter, Mon. Notic. Roy. Astron. Soc., 166, 633, 1974.
- 7. Б. А. Дубровин, С. П. Новиков, А. Т. Фоменко, Современныя геомотрия, Наука, . М., 1986, стр. 321.

TOTAL OF THE REAL PROPERTY OF THE PARTY AND

8. В. А. Антонов, Вестн. ЛГУ, № 13, 136, 1965.

АСТРОФИЗИКА

TOM 30

ФЕВРАЛЬ, 1989

выпуск 1

УДК: 521.14

ГРАВИТИРУЮЩИЕ КОНФИГУРАЦИИ С МАГНИТНЫМ ПОЛЕМ. III. ЭЛЛИПСОИДЫ ДЕДЕКИНДА И РИМАНА

О. В. КРАВЦОВ, М. Ю. КОВАЛЬ Поступила 15 октября 1987 Принята к печати 2 августа 1988

Получены условия равновесия и исследованы свойства эллипсоидов Дедекинда и S-эллипсоидов Рамана с магнитным полем. Показано, что S-эллипсоидов Рамана обладают двумя возможными значениями условой скорости, которая независимо от величены магнитного поля не может превышать условой окорости соответствующих твердотельно вращающихся эллипсоидов с магнитным полем. Доказано, что «магнитные» вланисоиды Дедекинда и аналогичные «магнитные» твердотельно вращающиеся эллипсоиды имеют идентичные харамтеристики. Найдена новая серия эллипсоидальных раввовесных конфигураций с магнитным полем и энутренним движением, которая при всчезновении магнитного поля переходит в серию эллипсоидов Якоби.

1. Введение. Данная работа является продолжением работ [1, 2], посвященных исследованию гравитирующих вллипсоидальных форм равновесия с магнитным полем и внутренним движением (относительно вращающихся главных осей эллипсоида) с постоянной завихренностью. Поскольку при таком движении тензор скоростей деформации отличен от нуля, то
исследуемый случай является простейшим примером нетвердотельного вращения. При втом, как было показано нами в [2], и при наличии магнитного поля возможно существование как S-оллипсоидов, так и I—III эллипсоидов Римана [3]. В данной работе исследуются свойства «магнитных»
S-оллипсоидов Римана, а также оллипсоидов Дедекинда, и определяются
условия существования новой серии оллипсоидальных фигур равновесия с
магнитным полем, которые, котя и обладают внутренним движением, тем
не менее, при исчезновении магнитного поля переходят в серию оллипсоидов Якоби, а не Римана или Дедекинда.

В статье сохранены все обозначения работ [1, 2].

2. Эллипсоиды Дедекинда. Самогравитирующие равновесные конфитурации Дедекинда представляют собой вллипсоиды, главные оси которых неподвижны относительно инерциальной системы отсчета, а стацио-

нарная форма объекта сохраняется за счет наличия внутреннего движения с постоянной завихренностью $\bar{\epsilon} = \nabla \times u$ [3].

В нашем случае наличия магнитного поля стационарное состояние влаипсоидов Дедекинда будет описываться матричным уравнением (1) из работы [2], если положить в нем матрицу угловой скорости Ω равной нулю. Имеем

$$A\Lambda^2 + t\Xi A\Lambda = -k\Phi A + A^{-1}\delta. \tag{1}$$

Напомним, что параметр t равен отношению плотности энергии магнитного поля к плотности кинетической энергии, и в рассматриваемом случае, как несложно показать, равен отношению энергии магнитного поля, сосредоточенного внутри эллипсоида, к полной кинетической энергии объекта. Как и ранее, $\delta = 2P_e \mid \rho$, где P_e — давление в центре конфигурации.

Типичные диагональные и недиагональные компоненты уравнения (1) имеют вид

$$-\alpha_i(\lambda_i^2 + \lambda_k^2) - t(\alpha_i\lambda_k\xi_k + \alpha_k\lambda_i\xi_i) = -k\Phi_i\alpha_i + (\delta/\alpha_i), \qquad (2a)$$

$$a_i \lambda_i \lambda_i + t a_k \lambda_i \dot{\epsilon}_i = 0, \tag{26}$$

$$a_i \lambda_i \lambda_j + t a_s \lambda_i \xi_j = 0.$$
 (2B)

В уравнениях (2) индексы i, j, k принимают значения 1, 2, 3, и нет суммирования по повторяющимся индексам. Вектор завихренности \bar{t} и вектор $\bar{\lambda}$ связаны соотношением

$$\xi_j = -\frac{a_k^2 + a_i^2}{a_i a_k} \lambda_j, \quad (i \neq j \neq k).$$
 (3)

Учитывая (3), из уравнений (26) и (2в) немедленно получаем

$$a_t^2(1-t)=ta_k^2, (4a)$$

$$a_j^2(1-t) = ta_k^2. (46)$$

Из (4) следует, что $a_t = a_j$, то есть $a_1 = a_2 = a_3$, и t = 1/2. Таким образом,

если все три компонента вектора λ отличны от нуля, то единственно возможной фигурой равновесия является сфера. При этом кинетическая энергия оказывается ровно в 2 раза больше магычтной. Для инерциального наблюдателя такая «намагниченная сфера Дедекинда» неотличима от

твердотельно вращающегося с угловой скоростью λ шара с магнитным по- 14—21

лем. Далее мы покажем, что угловая скорость λ такой сферы действительно в точности равна угловой скорости о твердотельно вращающейся сферы, рассмотренной в работе [2].

Пусть теперь $\lambda = \{0, \lambda_2, \lambda_3\}$. При етом, как легко показать, уравнения (26, в) приводят к условию $a_2 = a_3$, что, с точностью до несущественного поворота координат в плоскости (x_2 , x_3), эквивалентно ситуации,

когда не равен нулю лишь один компонент λ : либо λ_2 , либо λ_3 . Повтому, чтобы получить нетривиальный случай эллипсоида с неравными полуося-

ми $a_1 \neq a_2 \neq a_3$, сразу положим в уравнениях (2) $\lambda = \{0, 0, \lambda\}$. Тогда недиагональные уравнения (26, в) удовлетворяются тождественно, а диагональные уравнения (2a) дают

$$-a_1\lambda^2-ta_2\lambda\xi=-k\Phi_1a_1+(\delta/a_1), \qquad (5a)$$

$$-a_2\lambda^2-ta_1\lambda\xi=-k\Phi_2a_2+(\delta/a_2), \qquad (56)$$

$$0 = -k\Phi_3 a_3 + (\delta/a_3). \tag{5B}$$

Используя формулу (3) и связь между интегральными ковффициентами Φ_t и B_{tj} [3]

$$\Phi_i a_i^2 - a_i^2 \Phi_j = (a_i^2 - a_i^2) B_{ij}, \qquad (6)$$

из уравнений (5) находим

$$\lambda^2 = k B_{12} = 2\pi G \rho B_{12}, \tag{7}$$

$$t = \frac{B_{12} + (y^2 - 1) B_{13}}{B_{12} (1 + x^2)}$$
 (8)

где обозначено $x = a_2/a_1$, $y = a_3/a_1$.

Выполнение соотношений (7)—(8) является условием равновесия влаипсондов Дедекинда с магнитным полем.

Заметим сразу, что для случая сферы из (8) получаем t=1/2, что уже было найдено ранее. Величина λ^2 , характеризующая интенсивность внутреннего движения, равна при этом $2\pi G \rho B_{11}$, что равно угловой скорости намагниченной твердотельно вращающейся сферы, рассмотренной в [2].

Согласно результатам работы [1], магнитное поле определяется вектором d, свяванным с вектором λ соотношением $d^2 = (\gamma^2 \lambda^2 = 4\pi t \lambda^2/\rho)$. То есть, согласно (7), $d^2 = 8\pi^2 Gt B_{12}$. Или, используя (8),

$$d_{\bullet}^{2} = \frac{d^{2}}{\pi^{2}G} = 8tB_{12} = 8\frac{B_{12} + (y^{2} - 1)B_{13}}{1 + x^{2}}$$
(9)

Таким образом, соотношение (9) эквивалентно (8). Поэтому можно сказать, что условиями равновесия намагниченных эллипсоидов Дедекинда являются выражения (7) и (9). Соотношение (9) есть не что иное, как соотношение (12) работы [2], которое является одним из условий равновесия твердотельно вращающихся эллипсоидов с магнитным полем, а выражение (7) с точностью до замены х→о совпадает с другим условием равновесия твердотельно вращающихся объектов (формула (11) работы [2]). Из этого следует, что отпадает необходимость в дальнейшем анализе эллипсоидов Дедекинда с магнитным полем, поскольку для них оказываются верными все выводы работы [2] (наличие вытянутых форм, предельная сплюснутость, выражения для магнитных моментов и т. д.). Более того, остаются в силе и численные данные таблиц, полученные для твердотельно вращающихся эллипсоидов с магнитным полем, разумеется, при условии замены ш → λ. Доказанная эквивалентность намагниченных аллипсоидальных форм равновесия Дедекинда и твердотельно вращающихся валипсоидов с магнитным полем связана с сопряженностью валипсондов Римана, для которых смена ролей матриц Л и Ω не нарушает условий равновесия [3]. Как отмечалось в [1], при наличии магнитного поля это выполнимо при определенных условиях лишь для случая S-эллипсондов Римана, частными случаями которых как раз и являются как твердотельно вращающиеся влаипсоиды, так и влаипсоиды Дедекинда.

В заключение этого раздела обратим внимание на важный момент. Для сплюснутых сфероидов $(a_2=a_1)$ выражение (8) принимает вид t=1/2 $(1-(e^2B_{13}/B_{11}))$, где e- эксцентриситет. Но, как известно из классической теории фигур равновесия [3], угловая скорость эллипсоидов Маклорена $\omega_M^2=ke^2B_{13}$, а эллипсоидов Якоби $-\omega_f^2=k_3^2B_{12}$. В точке бифуркации (где e=0.81267, см. [3]) они равны, то есть $e^2B_{13}=B_{11}$. Это означает, что в точке бифуркации параметр t магнитного поля обращается в нуль. Таким образом, серия намагниченных эллипсоидальных форм равновесия (Дедекинда и твердотельно вращающихся) начинается в указанной точке бифуркации, чем и объясняется наличие предельной сплюснутости, отмеченной в работе [2].

3. Условия равновесия S-вллипсоидов Римана с магнитным полем. Как было показано в [2], в присутствии магнитного поля остается в силе теорема Римана о векторах завихренности ξ и угловой скорости ω [3]. В данной работе мы рассмотрим случай S-вллипсоидов Римана, когда ξ и ω направлены вдоль одной из главных осей инерции вллипсоида. Пусть $\xi = \{0, 0, 1\}$ и $\omega = \{0, 0, \omega\}$.

Система уравнений (2) работы [2], описывающих стационарное состояние таких объектов, принимает вид

$$a_1(k^2 + \omega^2) - \theta \omega \lambda a_2 = k \Phi_1 a_1 - (\delta/a_1), \qquad (10a)$$

$$a_2(\lambda^2 + \omega^2) - \theta \omega \lambda a_1 = k \Phi_2 a_2 - (\delta/a_2),$$
 (106)

$$0 = k\Phi_3\alpha_3 - (\delta/\alpha_3), \tag{10a}$$

где, как и ранее, $\theta = 2 - t (\xi/\omega)$.

Исключая с помощью (10в) величину в и используя формулы (3) н (6), из уравнений (10а, 6) находим

$$\lambda^2 + \omega^2 = kB_{12}, \tag{11}$$

$$2\omega\lambda + t\lambda^2 \frac{1+x^2}{x} = k \frac{B_{12} + (y^2 - 1) B_{13}}{x}, \tag{12}$$

где, как и в разделе 2, х и у есть отношение полуосей. Разрешая (11) — (12) относительно λ и ω , получаем следующие уравнения:

$$\lambda^4 \left(4 + t^2 b^2\right) + 2k\lambda^2 \left(\psi t b + 2B_{12}\right) + k^2 \psi^2 = 0, \tag{13a}$$

$$\omega^4(4+t^2b^2)+2k\omega^2(\psi tb-B_{12}(2+t^2b^2))+k^2(\psi-B_{12}tb)^2=0, \quad (136)$$

где обозначено $b=(1+x^2)/x$ и $\psi=(B_{12}+(y^2-1)\,B_{13})/x$..

Из уравнений (13) окончательно находим

$$\lambda_{1, 2}^{2} = \frac{k}{4 + t^{2}b^{2}} \left(2B_{12} + \psi tb \pm \sqrt{(2B_{12} + \psi tb)^{2} - \psi^{2}(4 + t^{2}b^{4})}\right), \quad (14a)$$

$$\omega_{1,2}^2 = \frac{k}{4 + t^2 b^2} (2B_{12} + tb (B_{12}tb - \psi) \pm \pm \sqrt{(2B_{12} + tb (B_{12}tb - \psi))^2 - (B_{12}tb - \psi)^2 (4 + t^2b^2)}).$$
(146)

Таким образом, условием равновесия S-оллипсондов Римана с магнитным полем является выполнимость соотношений (14).

4. Аналия условий равновесия намагниченных S-валипсоидов Римана. Сраву обратим внимание на то, что из сравнення формулы (11) и соответствующих ей формул для вальпсоидов Дедекинда ($\lambda^2 = kB_{12}$) и твердотельно вращающихся объектов ($\omega^2 = kB_{12}$, [2]), следует вывод: независимо от величины магнитного поля из двух вальпсоидов (Римана и твердотельно вращающегося) с одинаковой массой и одинаковым отношением полуосей большей угловой скоростью обладает твердотельно, вращающийся вальпосонд.

Вторым важным свойством условий равновесия ябляется наличие двух типов внутренних двежений $(\lambda_1^2, \lambda_2^2)$ и, соответственно, двух значений угловой скорости вращения (ω_1^2, ω_2^2) , при которых допустима валип-соидальная форма равновесия. Физический смысл валичия двух значений, как λ^2 , так и ω^3 , заключается в именении величины и направления силы Кориолиса при смене направления и интенсивности внутреннего движения при заданном магнитном поле. Здесь необходимо подчеркнуть, что в отличие от намагниченных твердотельно вращающихся валипсондов и валипсондов Дедекинда, где отношение t внергии магнитного поля (в объеме валипсонда) к кинетической внергии объекта одновначно выражается через полуоси валипсонда, для валипсондов Римана t является параметром, величина которого задает сервю намагниченных валипсондальных форм равновесия.

 $M_{\rm S}$ выражений (14), помимо отмеченного, следует наличие как вытянутых, так и сплюснутых вланисондов и офероидов, а также вращающихся сфер. Условие существования λ^2 и ω^3 , как видно из '(14), приводит к двум неравенствам:

$$1 + (\psi t b/B_{12}) \geqslant (\psi/B_{12})^2, \tag{15a}$$

$$-\psi tb + 2B_{12} + t^2b^2B_{12} > 0. (156)$$

В выражениях (15) лишь величина у может быть отрицательной. Повтому из (15) следует, что

если
$$\psi < 0$$
, то $|\psi| < B_{12}/tb$; (16)

ecam
$$\psi > 0$$
, to $\psi < B_{12}((2/tb) + tb)$. (17)

Неравенства (16)—(17) определяют предельные значения магнитного поля (через параметр t), при котором возможны S-оллипсовды Римана. Так как $\psi \ge 0$ означает, что $1+(y^2-1)\cdot \frac{B_{13}}{B_{12}} \equiv \alpha \ge 0$, то учитывая, что при $y \geqslant x$, $B_{12} \geqslant B_{13}$, неравенства (16)—(17) дают:

если
$$y < x \le 1$$
, то $t < t_1 = \frac{x^2}{|\alpha|(1+x^2)}$; (16a)

если
$$y \geqslant x$$
, то $t^2 - t \frac{\alpha}{1+x^2} + \frac{x^2}{(1+x^2)^2} > 0$. (17a)

Для упрощения исследования усилим неравенство (17a), записав его в форме $t^2-t\frac{\alpha}{1+x^2}>0$, откуда находим

$$y \geqslant x$$
, $t > t_2^* = \frac{\alpha}{1+x^2}$ (176)

Таким образом, неравенство (16а) отвечает магнитным полям, которые допускают существование лишь сплюснутых эллипсоидов и сфероидов ($a_1=a_2$), а неравенство (176)-полям, которые допускают как вытянутые вланпсоиды, так и сплюснутые, но при условии, что $y \ge x$. Заметим, что в случае сферы неравенство (17а) удовлетворяется при любом t>0. Для офероидов (x=1) из (17а) легко получить строгие соотношения, которые мы не будем здесь приводить. Укажем лишь, что если $y^2=1+(B_{11}/B_{13})$, то $t\ne 1$, то есть скорость внутреннего движения не должна совпадать с альфвеновской скоростью. В табл. 1 для различных x и y даны вычисленные предельные значения параметра t^* , согласно неравенствам (16а) и (176), а на рис. 1 для случаев x=0.5 и x=1 приведены графики зависимости величины угловой скорости от параметра t при разных значениях y.

	$x=a_2/a_1$					
$y=a_3a_1$	0.30	0.50	0.70	0.90	1.00	
0.183524	0.414521	0.339633	0.334016	0.320940	0.311400	
0.325609	0.130671	1.391089	0.750315	0.600950	0.553822	
0.433781	0.308046	0.45568	2.827699	1.254857	1.039869	
0.450	0.331785	0.059417	4.514609	1.471823	1.180448	
0.50	0.401303	0.200000	0.018355	2.992182	1.959226	
0.582724	0.506146	0.322430	0.083038	0.023315	•	
0.80	0.739011	0.593553	0.452925	0.166924	0.141416	
1.00	0.917431	0.800000	0.671141	0.552486	0.500000	
1.50	1.276696	1.212242	1.105606	0.987409	0.929967	

^{*} Здесь $\alpha = -0.000005$ и t^* неопределен; при x = 1.20, $t^* = 3.379902$.

5. Предельные случаи условий равновесия S-эллипсоидов. При t=0 из выражений (14) получаются соотношения, которые легко вывести для S-эллипсоидов Римана из соответствующих формул работы Чандрасекара [3], а именно $\omega^2 = \lambda^2 = \pi G r (B_{12} \pm 1 \overline{B_{12}^2 - \psi^2})$. В случае наличия магнитного поля $(t \neq 0)$ такое равенство в общем случае невозможно. В частном случае сферы, как нетрудно показать, $\omega^2 = \lambda^2$ при t=1.

Предельный переход $t\to\infty$ (то есть $\lambda\to0$) приводит формулу (146) ж виду $\omega^2=kB_{12}$, то есть к одному из условий равновесия твердотельно вращающихся валипсоидов с магнитным полем [2]. Второе условие равновесия втих валипсоидов (формула (12) в [2]) легко получаєтся из (14a) или (13a), если учесть, что (согласно работе [2]) $t = \gamma^2 \rho/4\pi = \rho d^2/4\pi \lambda^2$.

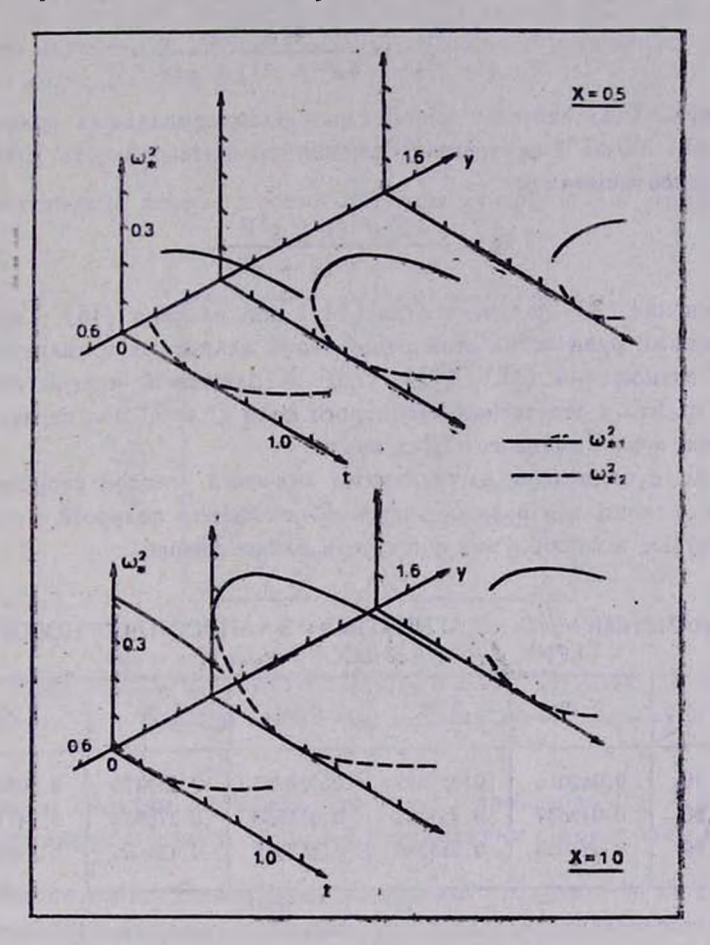


Рис. 1. Изменение величины угловой скорости $\omega_{\bullet}^2 = \omega^2/\pi G \rho$ S — эллипсондов: Римана в зависимости от параметра t магнитного поля и $y = a_3/a_1$ для $x = (a_2/a_1) = 0.5$ и x = 1.

Нетрудно увидеть также, что из условий равновесия (14) следуют как условия равновесия влаипсоидов Дедекинда, так и новых эллипсоидальных фитур равновесия с одним значением угловой скорости, не существующих в отсутствие матнитного поля. Покажем это.

Из (146) следует, что при

$$t = \psi/B_{12}b = \frac{B_{12} + (y^2 - 1)B_{13}}{B_{12}(1 + x^2)}$$
 (18)

угловая скорость принимает значения: либо $\omega_1^2=0$, что соответствует вланисондам Дедекинда, поскольку (18) совместно с (14a) дает $\lambda_1^2=kB_{12}$, либо

$$\omega_2^2 = \frac{4kB_{12}}{4 + t^2b^2} = \frac{4kx^2B_{12}}{4x^2 + t^2(1 + x^2)^2}.$$
 (19)

Формула (19) отвечает новой серии эллипсоидальных конфигураций с магнитным полем и внутренним движением, интенсивность которого определяется соотношением

$$\lambda_2^2 = \frac{kB_{12}t^2(1+x^2)^2}{4x^2+t^2(1+x^2)^2}.$$
 (20)

Выражение (20) получается из (14a) при условии (18). Таким образом, условиями равновесия этой новой серии эллипсоидов является выполнимость соотношений (18), (19), (20). Характерной чертой этой серии является то, что в отсутствие магнитного поля (t=0) она переходит в серию Якоби, а не Римана или Дедекинда.

В табл. 2 приведены вычисленные эначения угловой скорости эллипсоидов втой серии для разных значений отношения полуосей х и у, включая вытянутые а сплюснутые фигуры, а также сферы.

Таблица 2 ЗНАЧЕНИЯ $\omega^2/\pi G\rho$ «МАГНИТНЫХ» ЭЛЛИГКОИДОВ НОВОЙ СЕРИИ ДЛЯ РАЗНЫХ $y=a\sqrt{a_1}$ И $x=a_2/a_4$

1	0.10	0.40	0.60	1.00	1.20
0.10	0.062016	0.021697	0.014995	0.009478	0.008036
0.50	0-049837	0.319122	0.355538	0.278934	0.241732
1.00	0.036098	0.255383	0.382075	0.426666	0.399863

Заметим, что так как одно из условий равновесия (18) новой серии совпадает с таким же условием равновесия эллипсоидов Дедекинда, то к этой серии полностью относится замечание, сделанное в конце раздела 2, согласно которому эта серия тоже начинается в точке бифуркации эллипсоидов Якоби и Маклорена.

На рис. 2 для эллипсоидов новой серии приведены графики зависимости параметра t от отношения полуосей $y=a_0/a_1$ для трех значений $x=a_0/a_1$, а также график зависимости момента импульса сфероидов (x=1) от y. Момент импульса вычислялся согласно формуле

$$L = \frac{2}{5} Ma_1^2(\omega - \lambda). \tag{21}$$

Выражение (21) получено с использованием формулы (3) данной работы

и формул (15) и (37) работы [1] для случая $\mathfrak{c} = \{0, 0, \mathfrak{c}\}$. Легко также найти магнитные моменты сфероидов рассматриваемой серин. Для этого заметим, что, согласно формулам (20)—(22) работы [2], они определяются через параметр d, который связан с параметром t соотношением (9). Исходя из этого, находим

$$\bar{\mu} = \mu_0 t / (1 + t^2)^{1/2}, \tag{22}$$

где μ_0 —магнитный момент соответствующего твердотельно вращающегося сфероида.

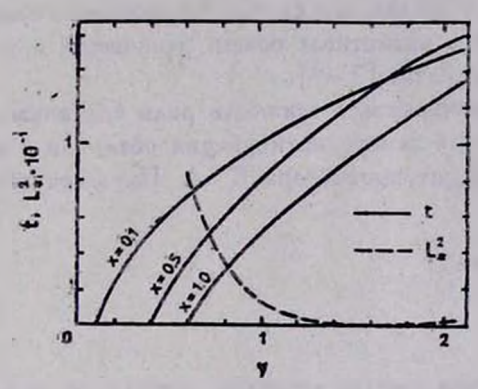


Рис. 2. Зависимость параметра t магнитного поля и квадрата момента импульов (в единицах $L^2 = L^2/GM^3a$) новой серии эллипсондальных форм от g для x=0.1; 0.5: 1.

Наконец обратим внимание, что связь параметров t и d однозначно определяет линии магнитного поля в соответствии с формулами (16) в [2].

6. Заключение. Резюмяруем основные результаты. «Магнитные» эллипсоиды Дедекинда, поверхность которых неподвижна относительно инерциального наблюдателя, по своим свойствам идентичны твердотельно вращающимся «магнитным» эллипсоидам [2], что заранее неочевидно. Не очезиден и вывод (в рамках модели идеальной магнитогидродинамики), что угловая скорость S-эллипсоидов Римана не может превышать угловой скорости соответствующих твердотельно вращающихся объектов, изученных в [2]. Неожидачным является наличие новой серии вращающихся эллипсоидажьных фигур разновесия с магнитным полем и внутренними движениями, предельным случаем которой при исчезновении магнитного поля оказывается серия эллипсоидов Якоби, а не S-эллипсоидов Римана. Отметим также, что, котя «S-сфероиды» (и сферы) для инерциального на-

блюдателя выглядят как твердотельно вращающиеся, существует принципиальное отличие от «чистого» твердотельного вращения. Оно состоит в том, что, как и трехосные вллипсоиды, такие объекты имеют по два различных значения угловой скорости вращения, зависящих от величины магнитного поля (впервые на существование двух значений угловой скорости для объектов с внутренними движениями было указано в [4]). Возможно, что устойчивыми окажутся объекты только с одним из этих значений угловой скорости. Указанные аспекты остались вне поля врения работ [5] и [6]. В [6] рассмотрена устойчивость «S-офероидов» с магнитным полем. В работе [5] исследованы свойства «магнитных» S-оллипсоидов Римана при иных, чем принятые нами в данной работе и в [2], граничных условиях. Это приводит к отличию в условиях равновесия как вллипсоидов Римана и Дедекинда, так и в предельном случае твердотельно вращающихся эллипсоидов и сфероидов с магнитным полем, равновесие и устойчивость которых исследованы в работах [7—9].

Это еще раз подчеркивает важность роли граничных условий при исследовании равновесия самогравитирующих объектов с магнитным полем.

Авторы благодарят профессора К. А. Пирагаса за полезные обсуждения.

Кновский политехнический институт

GRAVITATING CONFIGURATIONS WITH A MAGNETIC FIELD. III. DEDEKIND AND RIEMANN ELLIPSOIDS

O. V. KRAVTSOV, M. Yu. KOVAL

Equilibrium conditions have been obtained and the properties of Dedekind ellipsoids and Riemann S-ellipsoids with a magnetic field have been investigated. Riemann S-ellipsoids are shown to have two possible values of angular velocity, which cannot be higher than that of the corresponding rigidly rotating ellipsoids with magnetic field, independent of magnetic field value. "Magnetic" Dedekind ellipsoids and similar "magnetic" rigidly rotating ellipsoids have been proved to possess identical characteristics. A new series of ellipsoidal equilibrium configurations with magnetic field and internal motion has been found, which changes to a Jacobi ellipsoid series when the magnetic field disappears.

AUTEPATYPA

- 1. О. В. Кравцов, Астрофизика, 24, 603. 1986.
- 2. О. В. Кравцов, С. Н. Колычко, Астрофизика, 29, 556, 1988.
- 3. С. Чандрасскар, Эллипсондальные фигуры равновесня, Мвр. М., 1973.
- 4. N. P. Bondarenko, O. V. Krautsov, Astrophys. and Space Sci., 46, 341, 1977.
- 5. M. Г. Абрамян, Письма Астрон. ж., 13, 539, 1987.
- 6. В. А. Антонов, О. А. Железияк, Астрофизика, 27, 111, 1987.
- 7. Р. С. Озанесян, М. Г. Абрамян, Астрофизика, 8, 599, 1972.
- 8. Р. С. Олонесян, М. Г. Абрамян, Изв. АН Арм.ССР, сер. физ., 7, 449, 1972...

The State of the S

9. Р. С. Озанесян, М. Г. Абрамян, Астрофизика, 9, 401, 1973.

АСТРОФИЗИКА

том 30 ФЕВРАЛЬ, 1989

выпуск 1

КРАТКИЕ СООБЩЕНИЯ

УДК: 524.45Плеяды:524.338.6-335

ДИАГРАММА СПЕКТР-СВЕТИМОСТЬ ДЛЯ ВСПЫХИВАЮЩИХ ЗВЕЗД СКОПЛЕНИЯ ПЛЕЯДЫ

Обнаружение большого числа вспыхивающих звезд в области окопления Плеяды, а также вывод о том, что все или почти все слабые члены скопления ($m_v > 13^m$) являются вспыхивающими [1], делает интересной задачу построения диаграммы Г-Р для этих слабых членов Плеяд. Однахо, из-за слабости большинства вспыхивающих звезд, спектральная классификация для них не была проведена. Ко времени начала этой работы лишь для 90 вспыхивающих звезд были известны спектральные классы [2].

Спектральные классы слабых звезд в области окопления Плеяды были впервые определены Маккарти и Тренором [3, 4]. Метод позволяет легко выделить звезды типа К7-М на пластинках, полученных на телескопах системы Шмидта в сочетании с объективной призмой и красным фильтром. Ими было показано, что в области Плеяд есть значительное число звезд типа М—вероятных членов скопления. Этот же метод был использован и нами. Наблюдения были выполнены на 40" телескопе оистемы Шмидта Бюраканской обсерватории. Спектры были получены с помощью 1.5 объективной призмы на пластинках Kodak IN, Kodak IIa-F и Коdak 103a-E (дисперсия 1800 A/мм у H_T). Таким путем были определены с точностью до одного-двух подклассов спектральные классы 333 вспыхивающих звезд*.

Диаграмма цвет—светимость для скопления Плеяды впервые была построена Герцшпрунгом [5], который отметил необычную протяженность главной последовательности тю сравнению с диаграммами других скоплений и отсутствие желтых гигантов и белых карликов. Впоследствии Люйтен обнаружил несколько белых карликов в этой области.

^{*} Спектральные классы звезд будут опублякованы в Сообщениях Бюраканской об-

Джонсон и Митчел: [6] на основе фотоэлектрической и фотографической фотометрии построили диаграмму цвет—светимость для Плеяд. Подтвердив прежний вывод о большой протяженности главной последозательности, они обнаружили необычное расширение диаграммы охоло $M_{\rm e}=+6.5$. Слабые звезды Плеяд находились как над, так и под средней линией главной последовательности. Такой результат был в противоречии с теорией гразитационного сжатия, согласно которой звезды должны достигать главной последозательности сверху при предположении, что возраст всех звезд скопления одного порядка.

Для объяснения наблюдаемого расширения диаграммы в работе [6] сделано предположение о том, что наиболее слабые члены окопления старше, чем остальные. Однако авторы сами отказались от этой возможности, аргументируя это отсутствием в скоплении субгигантов и желтых гигантов, т. е. звезд высоких светимостей, которые уже достаточно проэволюционировали.

Оставалось единственное допущение, что многие звезды на диаграмме не являются членами скопления. По мнению Джонсона и Митчелла [6], членами окопления следует считать лишь те звезды, которые находятся из главной последовательности или выше нее; ввезды же, находящиеся ниже главной последовательности, не являются членами скопления.

Большое число вспыхивающих звезд, открытых впоследствии в области Плеяд, оказалось находящимся как над, так и под глазной последовательностью.

Используя все имеющиеся к настоящему времени данные о вспыхивающих ввездах, мы построили диаграмыу спектр—светимость для вспыкивающих ввездах, мы построили диаграмыу спектр—светимость для вспыкивающих ввезды, которые наблюдались во вспышке только один раз и имели амплитуду < 1.00, были исключены из диаграммы. Кроме того, были отброшены и те вспыхивающие ввезды, которые, вероятно, являются звездами фона. Аналогичная диаграмма, приведенная в работе [7]. была построена по измерениям одного из авторов. В данной работе наблюдательный материал был расширен и использованы независимые измерения обоих авторов. Использованные ввездные величины взяты из каталога [2].

Впервые полученная диаграмма $M_v - S_\rho$ для зспыхивающих звезд до $M_v = 13^m$ показывает, что с продвижением к слабым звездам продолжается расширение главной последовательности окопления. Возможно ли объяснить это расширение лишь ошибками фотометрии и классификации? В работе [7] показано, что вряд ли.

Сравнение построенной таким образом главной последовательности звезд окрестности Солнца и Плеяд показывает, что наблюдаемое расши-

рение главной последовательности Плеяд нельзя объяснить только ошибками измерений и примененной методики. Существует действительное расширение главной последовательности слабых вспыхивающих звезд скоп-

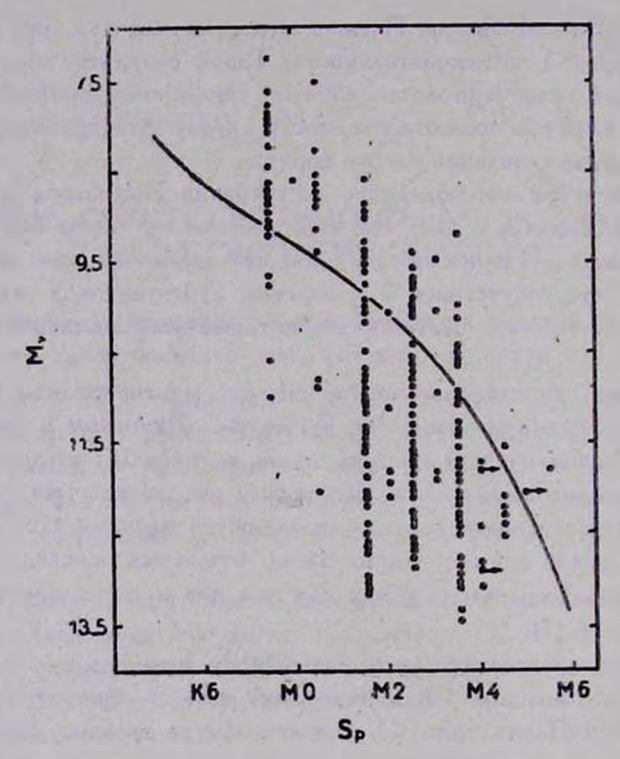


Рис. 1. Диаграмма спектр—светимость испыхивающих звезд скопления Плеяды. Сплошная линия — линия главной последовательности.

ления Плеяды. Это наблюдаемое явление, по всей вероятности, связано со вспышечной активностью звезд, обусловленной возрастом скопления [8].

Spectrum-Luminosity Diagram for the Pleiades Cluster Flare Stars. The spectral classification of 333 flare stars in the Pleiades cluster region has been carried out. It has been shown, that flare stars are situated both above and below H-R diagram.

23 августа 1988

Бюраканская астрофизическая обсерватория Э. С. ПАРСАМЯН Г. Б. ОГАНЯН

ЛИТЕРАТУРА

- В. А. Амбарцумян, Звезды, туманности, галактики, ред. Л. В. Мирзоян, Изд. АН Арм.ССР, Ереван, 1969, стр. 283.
- 2. G. Haro, E. Chavira, G. Gonzalez, Bol. Inst. Tonantzintla, 3, No. 1, 1982.
- 3. M. F. McCarthy. P. J. Treanor, Specola Vaticana, 6, No. 26, 535, 1964.
- 4. M. F. McCarthy, P. J. Treanor, Specola Vaticana, 7. No. 12, 367, 1968.
- 5. E. Hertzsprung, C. Sanders, G. J. Korreman, Ann. Observ. Leiden, 19, 1947.
- 6. H. L. Johnson, R. I. Mitchell, Astrophys. J., 128, 31, 1958.
- 7. E. S. Parsamian, Star Clusters and Associations, eds. B. A. Balazs, G. Szeczenye-Nagi, Budapest, 1986, p. 115.
- 8. G. Haro, E. Chavira, Vistas in Astronomy, 8, 89, 1964.

УДК: 524.726-77

О ПОВЫШЕННОМ РАДИОИЗЛУЧЕНИИ СПИРАЛЬНЫХ КОМПОНЕНТОВ ДВОЙНЫХ ГАЛАКТИК И ГРУПП ГАЛАКТИК

В работах [1—3] показано, что спиральные галактики — члены двойных систем галактик по сравнению со спиральными одиночными галактиками одних и тех же абсолютных звездных величии обладают в среднем в 2—2.5 раза более мощным радиоизлучением. В [1] для сравнения использованы каталоги двойных галактик [4] и изолированных одиночных галактик [5]. В [2] и [3] для этой целя использованы каталог [5] и каталог изолированных пар галактик [6].

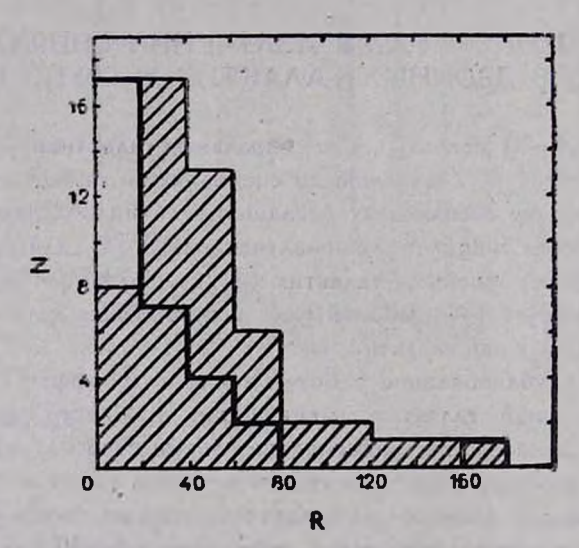
В недавно опубликованной работе Гавази и Джаффе [7] на основании радионаблюдений галактик, находящихся в области сверхскопления Сота/А 1367, сравниваются радионалучательные свойства одиночных галактик, членов двойных и кратных систем и членов групп и скоплений галактик. Согласно [7] спиральные галактики — члены скоплений по отношению радиосветимости к оптической светимости в 6—10 раз превосходят опиральные галактики, не являющиеся членами скоплений. Спиральные члены групп, кратных систем, пар и одиночные спиральные талактики, согласно [7], по своим радиоизлучательным способностям почти не отличаются.

Для сравнения результатов, полученных в работе [7], с результатами работ. сделанных ранее, авторы [7] пересмотрели также работу [1]. Для втого они вместо радиосветимостей использовали отношения радиосветимостей к оптическим светимостям [8, 9].

$$\mathcal{R} = S \cdot 10^{\frac{m-12.5}{2.5}}$$

где S — плотность потока радиоизлучения на жакой-нибудь частоте (в данном случае на частоте 2.38 ГГц, т — видимая звездная величина, исправленная за поглощение. Гавази и Джаффе справедливо полагали, что при использовании радиосветимостей для сравнения ивлучательных способностей в радиодиапазоне галактик, принадлежащих к системам галактик разной кратности, вффекты селекции могут сыграть более существенную роль, чем при использовании не зависящих от расстояний отношений R. После пересмотра данных работы [1] они пришли к выводу, что по отношению R одиночные спиральные талактики из [5] и спиральные члены двойных систем галактик из [4] почти не отличаются.

В связи с втим мы решили пересмотреть работу [2] аналогичным образом, то есть используя отношения радио- и оптических светимостей вместо радиосветимостей на 2.38 ГГц. Результаты пересмотра представленына рис. 1.



Р. С. 1. Гостограммы распределения отношений светимостей на частоте 2.38 ГГд. к оптическим светимостим R для одиночных галактик (жирные лении) и компонентов-двойных галактик (заштряхования область).

Как видно из рис. 1, распределение отношений радио- и оптических светимостей спиральных членов изолированных двойных галактик существенно отличается от такового для изолированных одиночных спиральных галактик. Если доля объектов с R > 40 среди одиночных галактик составляет всего 23% (7 из 31 обнаруженной галактики), то среди компонентов пар она составляет 49% (25 объектов из 51). Медианные значения R для одиночных галактик и компонентов пар равны соответственно 19 и 40. Важно отметить, что при учете всех галактик (обнаруженные + необнару-

женные) с использованием верхних пределов отношений R, среди спиральных одиночных галактих количество объектов с R>40 может составить от 8% до 11%, а среди членов пар — от 27% до 31%. То есть количество галактих с R>40 среди последних в 25—4 раза превышает количество таких объектов среди одиночных талактик.

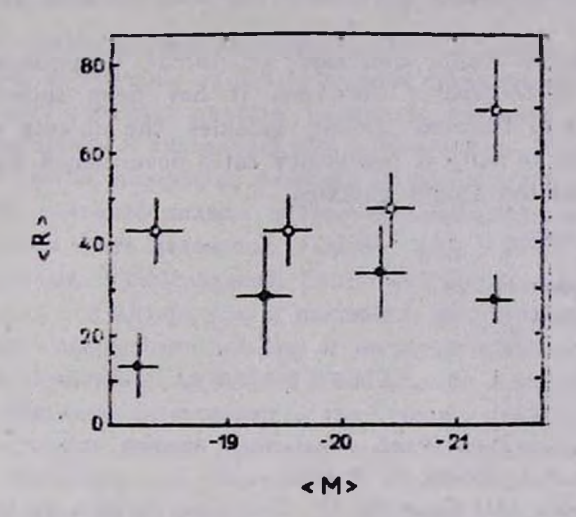


Рис. 2. Сравнение отношений светимостей ва 2.38 ГГц к оптическам светимостям спиральных одиночных галактик (точки) и компонентов двойных галактик (кружки). Отрезками линий указаны ореднеквадратические ошибки. Объяснение в тексте.

На рис. 2 на торевонтальной оси отложены средние абсолютные величины обнаруженных талактик для интервалов шириной $\Delta M=1$, а по вертикальной оси — соответствующие средние значения R. Как видно из этого рясунка, для объектов однах и тех же абсолютных величин отношения R у компонентов пар систематически выше (в среднем более, чем в два разв), чем у одиночных галактик. Это означает, что избыток объектов с большим отношением радио- и оптических светимостей среди членов пар обусловлен именно повышенным радиоизлучением таких объектов.

Таким обравом, сравнение отношений радиосветимостей и оптических светимостей спиральных компонентов пар галактик из каталога [6] и одиночных спиральных галактик из [5] показывает, что среди компонентов пар гораздо чаще встречаются объекты, обладающие повышенным радиовраучением. Спиральные компоненты двойных систем галактик обладают в среднем в два с лишним раза большей радиосветимостью, чем спиральные одиночные галактики. Тем самым подтверждается вывод, сделанный ранее в работах [2, 3] путем прямото сравнения радиосветимостей на частоте 2.38 ГГц.

Радиосвойства спиральных членов групп галактик из [10] обсуждались в [11]. По отношению радио- и оптических светимостей, так же, как и по радиосветимостям, они занимают промежуточное положение между одиночными галактиками и членами пар. Доля галактик с R > 40 среди спиральных членов групп составляет 36% (37 объектов из 103 обнаруженных галактик). Медианное значение R для этих галактик равно 30.

On Enhanced Radio Emission of Spiral Components of Double Galaxies and of Groups of Galaxies. It has been shown that among spiral members of isolated double galaxies the objects with the large 2.38 GHz radio to optical luminosity ratio occur much more frequently than among isolated single galaxies.

20 апреля 1988

Бюраканская астрофизическая обсерватория

В. Г. МАЛУМЯН

ЛИТЕРАТУРА

- 1. D. R. Altschuler, C. A. Pantoja. Astron. J., 89, 1531, 1984.
- 2. В. Г. Малумян, Астрофиявка, 25, 19, 1986.
- 3. V. H. Malamian, IAU Symp. No. 121, Dordrecht, Netherlands, 1987, p. 415.
- 4. S. D. Peterson, Astrophys. J. Suppl. Ser., 40, 527, 1979.
- 5. В. Е. Караченцева, Сообщ. Спец. астрофив. обсерв. АН СССР, 8, 3, 1973.
- 6. И. Д. Караченцев, Сообщ. Спец. астрофиз. обсерв. АН СССР, 7, 3, 1972.
- 7. G. Gavazzi, W. Jaffe, Astrophys. J., 310, 53, 1986.
- 8. J. Condon, Astrophys. J., 242, 894, 1970.
- 9. E. Hummel, Astron. and Astrophys., 93, 93, 1981.
- 10. M. Geller, J. Huchra, Astrophys. J. Suppl. Ser., 52, 61, 1983.
- 11. В. Г. Малумян, Астрофизика, 26, 311, 1987.

CONTENTS

Correlation between radio and optical flux variations of BL Lac	
V. N. Belov, V. A. Hagen-Thorn, S. G. Marchenko	7
Detail surface photometry of the galaxy with polar ring NGC 2685	
V. V. Makarov, V. P. Reshetnikov, V. A. Yakovleva	15
Comparison of unidentified absorption lines of quasar spectra with unidentified	
lines of stellar spectra	27
Study of far infrared emission Markarian galaxies I. Comparison of the galaxy	
characteristics in optical and far infrared ranges	
Yu. I. Izotov, I. Yu. Izotova	34
Formation and early evolution of galaxies: constraints on the properties of "hot"	
protogalaxies · · · · · · · · · · · · · · · · · · V. G. Berman, A. A. Suchkov	48
Evolution of clusters of galaxies · · · · · · S. G. Simakov, S. F. Shandarin	60
Structure of clusters-application of new methods of investigation B. I. Fesenko	71
Spectrophotometric study of the Pleione's continuum in 1972-1986	
V. T. Doroshenko	79
A spectroscopic study of Hg-Mn star x Cnc. I. A choice of model atmosphere	
parameters and determination of helium abundance	
V. M. Dobrichev, D. V. Raykova, T. A. Ryabchikova, G. P. Topilskaya	91
On the observed carbon underabundance in the atmospheres of B stars	
L. S. Lyubimkov	99
The emission doublet 2800 Mg II in the spectra of cool stars • V. G. Cholakyan	111
Flares of maser radio line emission H ₂ O in GGD 25 and Sgr B2	101
I. V. Gosachinski, R. A. Kandalian, F. S. Nazaretian, N. A. Yudaeva	121
Statistical analysis of galactic HII regions observed in continuum and recombi-	100
nation line H 110a. II	128
The Sagittarius-Carina arm structure and parameters of spiral pattern V. S. Avadisova	140
Peculiarities of the spectra of planetary nebulae with stellar wind of their	140
nucleus · · · · · · · A. A. Nikitin, T. Kh. Feklistova, A. F. Kholtygin	151
Are there real types of the radiopulsars? · · · · · · · · · · · · · · · · · · ·	158
The structure of the magnetic field of the galaxy	130
R. R. Andreassian, A. N. Makarov	170
Stationary waves of the induced star formation	170
V. I. Korchagin, V. A. Krol', A. D. Ryabisev	184
Dirichlet's problem in stellar dynamics. III. Motion of the collisionless ellipsoids	101
in phase space · · · · · · · · · · · · · · · · · · ·	191
Gravitating configurations with a magnetic field. III. Dedekind and Riemann	171
ellipsoids O. V. Krautsou, M. Yu. Koval	208
Notes · ·	200
Spectrum-luminosity diagram for the Pleiades cluster flare stars	
E. S. Parsamian, G. B. Ohanyan	220
On enhanced radio emission of spiral components of double galaxies and of	
Groups of galaxies · · · · · · · · · · · · · · · · · · ·	223

CONTENTS

Correlation between radio and optical flux variations of BL Lac	
V. N. Belov, V. A. Hagen-Thorn, S. G. Marchenko	7
Detail surface photometry of the galaxy with polar ring NGC 2685	
V. V. Makarov, V. P. Reshetnikov, V. A. Yakovleva	15
Comparison of unidentified absorption lines of quasar spectra with unidentified	
lines of stellar spectra	27
Study of far infrared emission Markarian galaxies I. Comparison of the galaxy	
characteristics in optical and far infrared ranges	
Yu. I. Izotov, I. Yu. Izotova	34
Formation and early evolution of galaxies: constraints on the properties of "hot"	
protogalaxies · · · · · · · · · · · · · · · · · · V. G. Berman, A. A. Suchkov	48
Evolution of clusters of galaxies · · · · · · S. G. Simakov, S. F. Shandarin	60
Structure of clusters-application of new methods of investigation B. I. Fesenko	71
Spectrophotometric study of the Pleione's continuum in 1972-1986	
V. T. Doroshenko	79
A spectroscopic study of Hg-Mn star x Cnc. I. A choice of model atmosphere	
parameters and determination of helium abundance	
V. M. Dobrichev, D. V. Raykova, T. A. Ryabchikova, G. P. Topilskaya	91
On the observed carbon underabundance in the atmospheres of B stars	
L. S. Lyubimkov	99
The emission doublet 2800 Mg II in the spectra of cool stars • V. G. Cholakyan	111
Flares of maser radio line emission H ₂ O in GGD 25 and Sgr B2	101
I. V. Gosachinski, R. A. Kandalian, F. S. Nazaretian, N. A. Yudaeva	121
Statistical analysis of galactic HII regions observed in continuum and recombi-	100
nation line H 110a. II	128
The Sagittarius-Carina arm structure and parameters of spiral pattern V. S. Avadisova	140
Peculiarities of the spectra of planetary nebulae with stellar wind of their	140
nucleus · · · · · · · A. A. Nikitin, T. Kh. Feklistova, A. F. Kholtygin	151
Are there real types of the radiopulsars? · · · · · · · · · · · · · · · · · · ·	158
The structure of the magnetic field of the galaxy	130
R. R. Andreassian, A. N. Makarov	170
Stationary waves of the induced star formation	170
V. I. Korchagin, V. A. Krol', A. D. Ryabisev	184
Dirichlet's problem in stellar dynamics. III. Motion of the collisionless ellipsoids	101
in phase space · · · · · · · · · · · · · · · · · · ·	191
Gravitating configurations with a magnetic field. III. Dedekind and Riemann	171
ellipsoids O. V. Krautsou, M. Yu. Koval	208
Notes · ·	200
Spectrum-luminosity diagram for the Pleiades cluster flare stars	
E. S. Parsamian, G. B. Ohanyan	220
On enhanced radio emission of spiral components of double galaxies and of	
Groups of galaxies · · · · · · · · · · · · · · · · · · ·	223

СОДЕРЖАНИЕ (продолжение)

о наблюдаемом дефиците углерода в атмосферах	
В-ЗВЕЗД Л. С. Любимков	99
ЭМИССИОННЫЙ ДУБЛЕТ 2800 Mg II В СПЕКТРАХ ХОЛОДНЫХ	
ЗВЕЗД В. Г Чолакян	111
ВСПЫШКИ МАЗЕРНОЙ РАДИОЛИНИИ H ₂ O В ИСТОЧНИКАХ GGD 25	
И Sgr B2	7 4
И. В. Госачинский, Р. А. Кандалян, Ф. С. Наваретян, Н. А. Юдаева	121
СТАТИСТИЧЕСКИЙ АНАЛИЗ ГАЛАКТИЧЕСКИХ ОБЛАСТЕЙ Н II,	
наблюденных в континууме и радиолинии н 110 ₄ . II	400
А. В. Осканян	128
СТРОЕНИЕ СПИРАЛЬНОГО РУКАВА СТРЕЛЬЦА—КИЛЯ И ПАРА-	445
МЕТРЫ ОПИРАЛЬНОЙ СТРУКТУРЫ В. С. Аведисова	140
СПЕКТРАЛЬНЫЕ ПРОЯВЛЕНИЯ ЗВЕЗДНОГО ВЕТРА ЯДЕР ПЛАНЕ-	
ТАРНЫХ ТУМАННОСТЕЙ	454
А. А. Никитин, Т. Х. Феклистова, А. Ф. Холтызин	151
СУЩЕСТВУЮТ ЛИ РЕАЛЬНО ТИПЫ РАДИОПУЛЬСАРОВ?	450
Б. М. Владимирский	158
СТРУКТУРА МАГНИТНОГО ПОЛЯ ГАЛАКТИКИ	450
Р. Р. Андреасян, А. Н. Макаров	170
СТАЦИОНАРНЫЕ ВОЛНЫ ИНДУЦИРОВАННОГО ЗВЕЗДООБРАЗО-	40.
ВАНИЯ В. И. Корчагин, В. А. Кроль, А. Д. Рябцев	184
ПРОБЛЕМЫ ДИРИХЛЕ В ЗВЕЗДНОЙ ДИНАМИКЕ. III. ДВИЖЕНИЕ	
БЕССТОЛКНОВИТЕЛЬНЫХ ЭЛЛИГСОИДОВ В ФАЗОВОМ ПРО-	40.1
CTPAHCTBE	191
ГРАВИТИРУЮЩИЕ КОНФИГУРАЦИИ С МАГНИТНЫМ ПОЛЕМ.	
III. ЭЛЛИПСОИДЫ ДЕДЕКИНДА И РИМАНА О. В. Кравцов, М. Ю. Коваль	208
О. В. Кравдов, М. Ю. Коваль	200
КРАТКИЕ СООБІДЕНИЯ	
ДИАГРАММА СПЕКТР—СВЕТИМОСТЬ ДЛЯ ВСПЫХИВАЮЩИХ	
ДИАГРАММА СПЕКТР—СВЕТИМОСТЬ ДЛЯ ВСПЫХИВАЮЩИХ ЭВЕЭД СКОПЛЕНИЯ ПЛЕЯДЫ	
Э. С. Парсамян, Г. Б. Озанян	220
О ПОВЫШЕННОМ РАДИОИЗЛУЧЕНИИ СПИРАЛЬНЫХ КОМПОНЕН-	
ТОВ ДВОЙНЫХ ГАЛАКТИК И ГРУПП ГАЛАКТИК	
В. Г. Малумян	223